

# АТЛАС

## ГЕОЛОГИЧЕСКИХ ПАМЯТНИКОВ ПРИРОДЫ ЯРОСЛАВСКОЙ ОБЛАСТИ



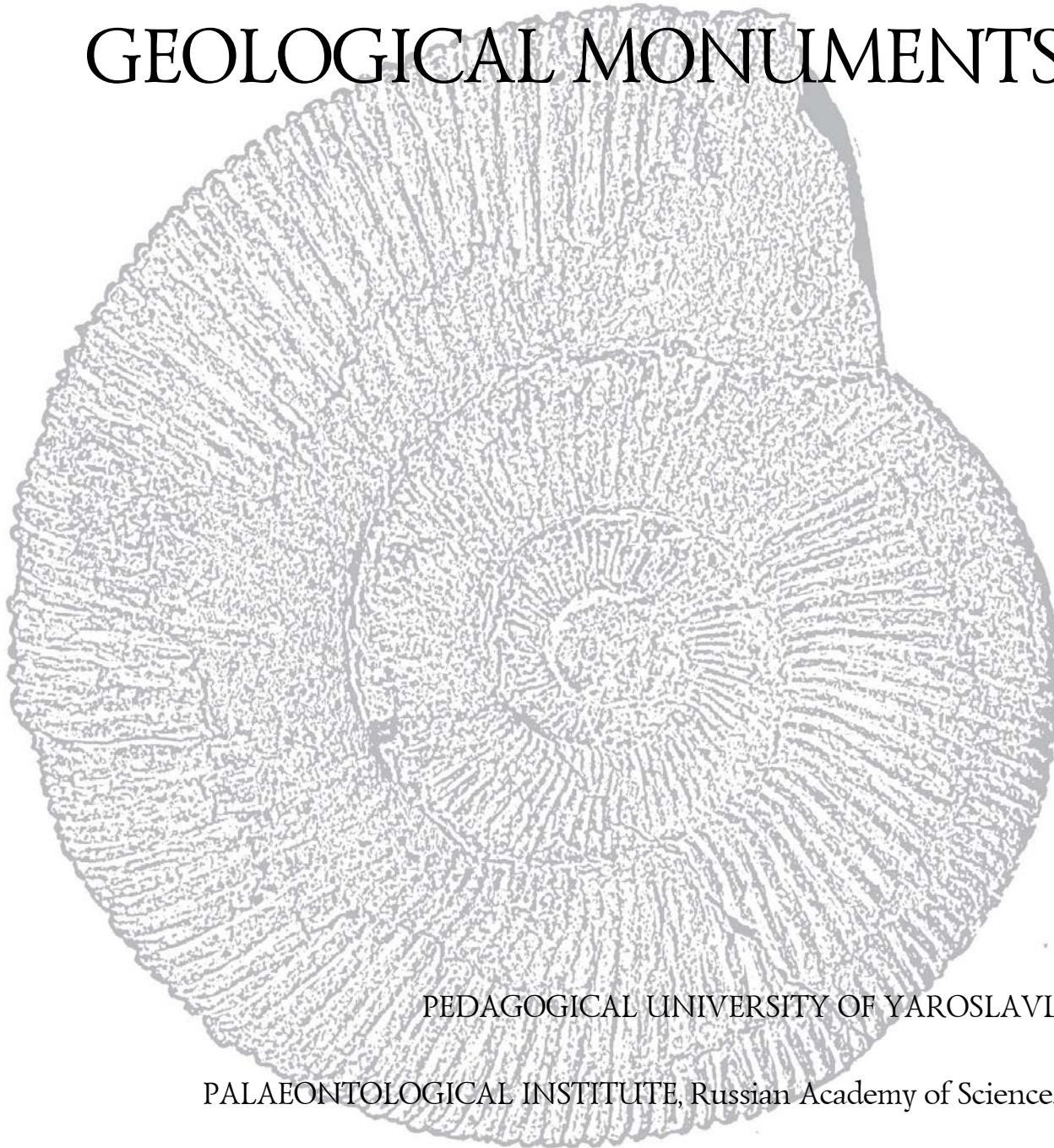
STRATIGRAPHY



PALaeontolOgy

# ATLAS

## OF THE YAROSLAVL REGION GEOLOGICAL MONUMENTS



PEDAGOGICAL UNIVERSITY OF YAROSLAVL

PALAEONTOLOGICAL INSTITUTE, Russian Academy of Sciences

ADMINISTRATION OF YAROSLAVL REGION  
NATURAL RESOURCES MINISTRY OF RUSSIA

CENTRAL ADMINISTRATIVE BOARD OF NATURAL RESOURCES AND ENVIRONMENT  
PROTECTION ON THE YAROSLAVL REGION

# АТЛАС ГЕОЛОГИЧЕСКИХ ПАМЯТНИКОВ ПРИРОДЫ ЯРОСЛАВСКОЙ ОБЛАСТИ

ЯРОСЛАВСКИЙ ГОСУДАРСТВЕННЫЙ ПЕДАГОГИЧЕСКИЙ  
УНИВЕРСИТЕТ им. К. Д. УШИНСКОГО

ПАЛЕОНТОЛОГИЧЕСКИЙ ИНСТИТУТ, Российская Академия Наук

АДМИНИСТРАЦИЯ ЯРОСЛАВСКОЙ ОБЛАСТИ  
МИНИСТЕРСТВО ПРИРОДНЫХ РЕСУРСОВ РОССИЙСКОЙ  
ФЕДЕРАЦИИ  
ГЛАВНОЕ УПРАВЛЕНИЕ ПРИРОДНЫХ РЕСУРСОВ И ОХРАНЫ ОКРУЖАЮЩЕЙ  
СРЕДЫ МПР ПО ЯРОСЛАВСКОЙ ОБЛАСТИ

УДК 55: 001. 89

Б Б К

Àòë àñ ãåî ëî ãè ÷åñê è õ ï àì ÿòí è êî â ï ðè ðî äû ß ðî ñë àâñê î é î áë àñòè.  
ß ðî ñë àâë ü: è çä-âî ß ÄÍ Ó, 2003. 121 ñ, 56 ôî ðî òàáë.

**Ðåäàê öèî í í àÿ êî ëë åâè ÿ:**

В. М. Федоров, Д. И. Лабутин, Н. Ф. Тимошенко, И. А. Маслов

**Ðåö åí çáí ðû :**

Б. В. Поярков, доктор геолого-минералогических наук, профессор  
И. В. Новиков, кандидат геолого-минералогических наук  
А. К. Воронцов, кандидат геолого-минералогических наук

**Àâòî ðñê è é êî ëë åâè ðè â:**

Д. Н. Киселев, В. Н. Баранов, Е. С. Муравин, И. В. Новиков, А. Г. Сенников

**ISBN 5-87555-394-4**

© Ярославский государственный педагогический университет  
имени К. Д. Ушинского, 2003  
© Коллектив авторов, 2003  
© Администрация Ярославской области, 2003

## СОДЕРЖАНИЕ

От составителей	Д. Н. Киселев	3
Введение	Д. Н. Киселев	4
Особенности размещения		
геологических памятников природы в Ярославской области	Д. Н. Киселев	9
Шарна	Д. Н. Киселев	11
Лунка	В. Н. Баранов, Д. Н. Киселев	16
Тихвинское	И. В. Новиков, А. Г. Сенников	18
Максимовское	А. Г. Сенников	29
Переборы	Д. Н. Киселев	33
Дмитриевка	Д. Н. Киселев	42
Конюшино	Д. Н. Киселев	43
Иода	Д. Н. Киселев	45
Акулинское	Д. Н. Киселев	51
Ивановское-Михалево	Д. Н. Киселев	54
Сельцо-Воскресенское	Д. Н. Киселев	58
Глебово	Д. Н. Киселев, В. Н. Баранов, Е. С. Муравин	63
Бабурин-Городок	Д. Н. Киселев	76
Сутка	Д. Н. Киселев	78
Васильки	Д. Н. Киселев	81
Крестовский карьер	Д. Н. Киселев, В. Н. Баранов	83
Палеогеография Ярославской области в юрское и меловое время	Д. Н. Киселев	94
Черемошник	Д. Н. Киселев, В. Н. Баранов	100
Долгополка	Д. Н. Киселев	104
Черменино-Забава	Д. Н. Киселев	108
Захарынский валун	Д. Н. Киселев	111
Синий камень	Д. Н. Киселев	114
Краткий словарь специальных терминов		115
Литература		116

## От составителей

Настоящая публикация представляет собой первую попытку создания сводного справочного руководства по всем геологическим памятникам природы (ГПП) Ярославской области. В книге дано описание 22 геологических памятников. В каждом случае рассматриваются особенности местоположения ГПП с указанием его точных границ и охранной зоны, исторический обзор, стратиграфия, палеогеография, уникальность и научное значение, современное состояние, вопросы охраны, и другие особенности.

Первоначально его авторами планировалось создание научно-популярного справочника, предназначенного, преимущественно, для неспециалистов, в т. ч. и для школьников. Это подразумевало опускание узкоспециальной научной тематики. Однако, на практике оказалось, что полностью исключить узкоспециальный элемент из описания ГПП практически невозможно, поскольку уникальность большинства геологических памятников определяется, в первую очередь, их научным содержанием. Также, за последние 15-20 лет появилось много новых данных о стратиграфии и палеонтологии некоторых уникальных геологических объектов Ярославской области, нигде еще не опубликованных. Их первичное изложение в популярной форме невозможно. Большинство ГПП Ярославской области описываются впервые. Все это привело к необходимости создания книги универсального содержания, доступного для широкого круга читателей, и интересного специалистам – геологам-стратиграфам, палеонтологам, а также работникам системы охраны природы, специалистам комитетов по землеустройству, активистам общественных экологических организаций. Как известно, создание публикаций столь широкого значения является весьма сложной задачей, поскольку научно-популярный стиль всегда вступает в острое противоречие с научной формой изложения материала. Каждый автор, кто сталкивался с подобной задачей, знает, насколько это трудно. Для облегчения восприятия специальной информации книга снабжена многочисленными фотоиллюстрациями и рисунками. В схемах геологических разрезов используются нестандартные, более образные символы горных пород, что, по мнению авторов этой книги, способствуют более живому восприятию схематических рисунков. Специальные разделы, посвященные дискуссионным вопросам корреляции отложений и описанию новых таксонов, выделены мелким шрифтом. Для большинства ГПП введена рубрика «палеогеография», раскрывающая особенности геологической истории, связанной с данным памятником (для ГПП юрской и меловой систем данные по палеогеографии объединены в отдельную главу). В конце работы дан краткий словарь специальных геологических и палеонтологических терминов, употребляемых в тексте.

Это издание осуществлено в рамках проекта «Геологические памятники природы Ярославской области» при поддержке Главного Управления природных ресурсов и охраны окружающей среды МПР России по Ярославской области. Благодарим всех, кто способствовал появлению книги: В. М. Федорова (ГУПР по Ярославской области), взявшего на себя ответственность в инициировании проекта и оказавшего живейшее участие в его создании, а также Д. И. Лабутина и других сотрудников ГУПР по Ярославской области; Е. Ю. Колбовского (ЯГПУ), участовавшего в ряде экспедиционных поездок, давшего ценные советы и рекомендации в области регламентации и охраны ГПП, предоставившему цифровую матрицу для моделирования рельефа окрестностей Ярославля; В. В. Морозову (ЯГПУ), помогавшей проведению экскурсионных поездок по Ярославской области и решению трудных административных вопросов; Б. В. Пояркова (ЯрГУ), А. К. Воронцова (НПЦ «Недра»), любезно прочитавших рукопись и сделавших ценные критические замечания; В. Н. Аристова (КГПИ, Комсомольск-на-Амуре), чьи материалы были использованы при описании Крестовского карьера; Е. Ю. Барабошкина (МГУ), В. А. Захарова (ГИН), И. И. Сей, Е. Д. Калачеву (ВНИГРИ), И. Г. Климуову (СНИИГГиМС), Ю. И. Богомолова (Москва), оказавших консультации в определении меловых аммонитов и двустворчатых моллюсков и решении некоторых спорных вопросов стратиграфии нижнего мела; А. В. Гужова (ПИН), давшего современные определения ряда юрских и меловых гастропод; Ю. Л. Болотского (Благовещенск), предоставившего изображения уникальных остатков триасовых рыб; Д. Б. Гуляева (НПЦ «Недра»), давшего ценные рекомендации и советы по вопросам стратиграфии отдельных местонахождений юры и мела; А. И. Лобанова (Ярославль), чьи консультации по четвертичной геологии Ярославской области были использованы при написании некоторых разделов; М. И. Казаченко (Москва), чья техническая поддержка позволила вскрыть мощный оползень, закрывшего обнажение в ГПП «Тихвинское» и провести стратиграфические исследования; Т. М. Жукову, А. Н. Кузьмина (Рыбинск, ЦКиТ), Е. Спиридонова (Ярославль), предоставивших для публикации палеонтологические образцы из своих коллекций; В. Ю. Блатова и Н. И. Кибрик (Государственная Дума Ярославской области), принимавших участие в решении вопросов финансирования поездки одного из авторов работы на международный симпозиум по юрской системе в г. Палермо (2002 г.).

# ВВЕДЕНИЕ

Впервые геологические памятники природы (ГПП) в Ярославской области были официально зарегистрированы в 1966 г. Ярославским облисполкомом по инициативе геологов, преподавателей Ярославского педагогического института (ныне университета) А. Н. Иванова и В. А. Новского. В первой официальной сводке памятников природы (Охрана природы, 1975) название «ГПП» не используется и все уникальные геологические объекты находятся в общем списке памятников природы, наряду с парками, гидрологическими объектами, усадьбами и пр. К ГПП из этого списка можно отнести, в первую очередь, объекты, обозначенные как «обнажения», «валуны», и во вторую – как «минеральные источники» и «холмы». По этому принципу было выделено 17 ГПП. Основанием для выделения этих геологических объектов в категорию ПП послужил лишь личный авторитет специалистов, поскольку в то время не были разработаны четкие критерии для их выделения. В Ярославской области, а также как и в других районах России, не издавалось какой-либо справочной литературы, где были бы даны основные сведения о конкретных геологических памятниках, способные объяснить их уникальность и необходимость охраны. Предварительной попыткой такого издания была научно-популярная книга А. Н. Иванова (1950) «Геологические экскурсии по Ярославской области», где он подробно изложил сведения о 9 неординарных геологических объектах (из них только 4 получили статус ПП). Вскоре после регистрации ярославских памятников природы в 1978 г. вышла в свет первая публикация с описанием ГПП Ярославской области. Это небольшая статья в научном сборнике



Профессор Анатолий Николаевич Иванов во время полевых исследований на ГПП «Крестовский карьер». Снимок 1970-г.

педагогического института, написанная преподавателями геологии А. Н. Ивановым, В. Н. Барановым и студентом Ю. Л. Болотским. Ими описаны три самых важных геологических памятника Ярославской области, «имеющих наиболее выдающееся научное значение (Иванов и др., 1978, с. 10)»: Глебово, Крестовский карьер и Тихвинское. Здесь же дан и первый перечень памятников природы с приставкой «геологический». Их выделяется 19 в следующих группах: мезозойские, плейстоценовые (погребенные торфяники, валунные скопления, отдельные валуны, холмы), минеральные источники.

Последней публикацией, связанной с описанием и популяризацией ярославских ГПП, была брошюра, являющаяся сейчас библиографической редкостью и посвященная геологическим обнажениям у с. Глебово (Иванов и др., 1987). В ней подробно раскрываются все стороны геологической уникальности этого памятника.

В последнее время охрана геологических объектов в нашей стране и за рубежом превращается в целый клубок проблем, неизвестных ранее (палеонтологическое браконьерство, отсутствие единых подходов к регламентации деятельности ГПП и др.). В связи с этим созрела серьезная необходимость в составлении полного кадастра ГПП Ярославской области со всеобъемлющим их описанием. Помимо того, что такого издания до сего дня еще не было, накопилось достаточно много новой информации, позволяющей несколько пересмотреть старый список ГПП. Публикации подобного рода – «красные книги» геологических памятников, появляются лишь недавно. Самая крупная из них – сводка ГПП России, составленная сотрудниками ЦНИИГМ им. Чернышева (Карпунин и др., 1998). В работе описано 492 памятника,



В. А. Новский (слева), изучающий четвертичные отложения в одном из обнажений в долине р. Которосли. Снимок 1960-х гг.

выделенных в 8 типов ГПП. В этой книге дано краткое описание только трех ГПП Ярославской области (Глебово, Тихвинское и озеро Сомино).

Вопросы регламентации, составления кадастров и охраны ГПП в литературе рассматриваются лишь в последнее время, поэтому на сегодняшний день не существует четких унифицированных и общепринятых определений даже того, что такое ГПП, а также геологической уникальности и разработанной классификации ГПП. В этом смысле общероссийская сводка ГПП (Карпунин и др., 1998) также представляет ценность как первый опыт разработки классификации ГПП и критериев их ранжирования.

Разработка классификации ГПП представляется необходимой, поскольку режим охраны различных геологических объектов, также должен быть разным.

В России под ГПП понимаются все охраняемые геологические объекты. Несмотря на то, что стандартного определения геологического памятника природы не существует, их разнообразие и критерии выделения отражены в типовом определении памятника природы (выделено курсивом): “Гос. памятниками природы объявляются *уникальные или типичные, ценные в научном, культурно-познавательном и оздоровительном отношении природные объекты*, представляющие собой небольшие урочища (реки, озера, участки долин и побережий, достопримечательные горы) и отдельные объекты (*редкие и опорные геологические обнажения, эталонные участки месторождений полезных ископаемых, водопады, пещеры, минеральные источники, живописные скалы, метеоритные кратеры*, отдельные редкие или исторически ценные деревья и т. д.), а также природные объекты искусственного происхождения (старинные аллеи и парки, участки заброшенных каналов, карьеры, пруды и т. п.), не признанные памятниками истории или культуры или не входящие в состав единых природно-исторических памятников. Охране подлежат также *метеориты*, найденные на территории СССР” (Типовое положение о государственных заповедниках, памятниках природы, ботанических садах и дендрологических парках, зоологических парках, заказниках и природных национальных парках. Утверждено пост. Госплана СССР и ГКНТ СССР 27 апреля 1981 г. 77/106 (Реймерс, 1990)).

Более детальный перечень природных, в том числе и геологических (выделено курсивом), объектов, которые могут быть объявлены памятниками природы, дан в общей характеристике памятников природы РЭФИА (Российское экологическое федеральное информационное агентство, 2002): “*участки живописных местностей; эталонные участки нетронутой природы; участки с преобладанием культурного ландшафта (старинные парки, аллеи, каналы, древние копи); места произрастания и обитания ценных, реликтовых, малочисленных, редких и исчезающих видов растений и животных; лесные массивы и участки леса, особо ценные по своим характеристикам (породный состав, продуктивность, генетические качества, строение насаждений), а также образцы выдающихся достижений лесохозяйственной науки и практики; природные объекты, играющие важную роль в поддержании гидрологического режима; уникальные формы рельефа и связанные с ним природные ландшафты (горы, группы скал, ущелья, каньоны, группы пещер, ледниковые цирки и отроговые долины, моренно-валунные гряды, дюны, барханы, гигантские наледи, гидролакколиты); геологические обнажения, имеющие особую научную ценность (опорные разрезы, стратотипы, выходы редких минералов, горных пород и полезных ископаемых); геологогеографические полигоны, в том числе классические участки с особо выразительными следами сейсмических явлений, а также обнажения разрывных и складчатых нарушений залегания горных пород; местонахождения редких или особо ценных палеонтологических объектов; участки рек, озер, водно-болотных комплексов, водохранилищ, морских акваторий, небольшие реки с поймами, озера, водохранилища и пруды; природные гидроминеральные комплексы, термальные и минеральные водные источники, месторождения лечебных грязей; береговые объекты (косы, перешейки, полуострова, острова, лагуны, бухты); отдельные объекты живой и неживой природы (места гнездования птиц, деревья-долгожители и имеющие историко-мемориальное значение, растения причудливых форм, единичные экземпляры экзотов и реликтов, вулканы, холмы, ледники, валуны, водопады, гейзеры, родники, истоки рек, скалы, утесы, останцы, проявления карста, пещеры, гроты)*”.

Геологические памятники природы занимают определенное место в системе особо охраняемых природных территорий (ООПТ). В отличие от большинства из них (государственные природные заповедники, в том числе биосферные; национальные парки; государственные природные заказники; дендрологические парки и ботанические сады; лечебно-оздоровительные местности и курорты; природные резерваты; природные парки; охраняемые природные (природно-исторические) ландшафты; охраняемые речные системы; памятники природы (не геологические); охраняемые природные объекты; дендрологические и ботанические сады; лечебно-оздоровительные местности; туристско-рекреационные местности; участки и территории, связанные с местами обитания и (или) размножения редких и находящихся под угрозой исчезновения видов растений и животных; водно-болотные угодья; охраняемые природные объекты; лечебно-оздоровительные местности; туристско-рекреационные местности (в т.ч. зоны рекреации); охраняемые природные (природно-исторические) ландшафты; охраняемые водные (озерные, речные) системы [Колбовский, Морозова, 2001]) своеобразие положения ГПП в экологическом каркасе определяется их низкими средостабилизирующими возможностями (там же) и особенностями геологического строения территории. Свообразие ГПП также не зависит от субъективных причин, связанных с рекреационно-туристической деятельностью и бальнеологическими потребностями человека. *Ãâî ё î àè ãñê è é î àì ÿðí è è î ðè ðî äû* представляет, по сути, материально запечатленный отрезок эволюционной лестницы географической оболочки в виде пространственно ограниченного естественного выхода геологических слоев на поверхность, доступного непосредственному наблюдению и обладающего

*научной* уникальностью. ГПП, на взгляд авторов этой работы, должны являться важнейшими документами геологического строения и развития данной территории. В соответствии с этим принципы выделения, ранжирования и типизации ГПП должны принципиально отличаться от остальных ООПТ и исходить из потребностей фундаментальной геологии и научного просвещения. Другие критерии выделения и систематизации ГПП (рекреационный и бальнеологический), на основе которых выделено большинство ГПП в России, имеют второстепенное значение и относятся к критериям выделения других разновидностей ООПТ. Геологические объекты, преимущественно бальнеологического (например, большинство минеральных источников) или рекреационно-эстетического значения, а также недоступные для наблюдения (большинство скважин, кроме сверхглубоких; донные отложения ниже уреза воды в любых водоемах и др.), следует перевести в статус ООПТ другого типа.

За рубежом (в европейских странах) существуют довольно расплывчатые представления о статусе ГПП. Это связано с тем, что законодательная регуляция охраны исторического и природного наследия во многих странах появилась недавно: в Испании в 1985-1989 гг. (Delvene et al., 2002), в Германии в 1972 г. (Bloos, 2002), в Бразилии в 1989-1990 (Rocha-Campos, 2000). Например в Португалии ГПП в российском понимании обозначаются как «значимые геологические местонахождения (СГМ), нуждающиеся в геоконсервации» (Henriques, 2002). В эту когорту входят и ГПП (Natural Monuments), под которыми понимаются небольшие СГМ самого низкого (местного) ранга. (сюда автор относит ГПП со следами динозавров). К более значимым СГМ, не являющимися ГПП по Henriques, относятся «СГМ регионального значения» - объекты, «важные для публичного использования, в особенности для музейных и педагогических целей». К еще более высокой когорте относятся «СГМ интернационального значения» - эталонные стратиграфические разрезы. Таким образом, здесь под ГПП понимается охраняемый геологический объект низшего ранга. Геологические объекты, в значительной мере определяющие ландшафт, выделяются в категорию охраняемых объектов другого типа. Например, песчаная пустыня Чихуахуан (США, штат Нью-Мексико), золовые пески которой состоят из чистого гипса, представляющая уникальный геологический объект под названием «Белые Пески», отнесена, тем не менее, к категории «национальные памятники» (LeMone, D.V., 1987).

При анализе результатов использования классификации в работе (Карпунин и др., 1998) нами оценивалась её функциональность (Киселев, 2001). Результаты этой оценки оказались следующими:

1) Среди всех ГПП России основной объем занимают геоморфологические, гидрологические и гидрогеологические и комплексный типы. Значительная доля первых двух объясняется тем, что большинство из них было выделено по критерию рекреационной и бальнеологической ценности. Поэтому представляется целесообразным отделить ГПП, выделенные по этим критериям и отнести их в специально предназначенные для этого категории ООПТ «лечебно-оздоровительные местности» и «туристско-рекреационные местности». Большинство ГПП геоморфологического типа совпадает с признаками ООПТ «охраняемые природные (природно-исторические) ландшафты»; «охраняемые речные системы» либо ГПП комплексного, гидрогеологического или историко-геологического типов, поэтому целесообразно этот тип не использовать.

2) ГПП тектонического типа имеют наименьшую долю среди остальных памятников (0,4%). Это явно свидетельствует о том, что критерии этого типа не выработаны. Вероятно это объясняется тем, что ГПП тектонического типа скорее имеют комплексный характер и в чистом виде не встречаются. В связи с этим вызывает сомнение в необходимости выделения тектонических ГПП. Возможно, более продуктивно дифференцировать тектонические объекты и выделять отдельно вулканический тип ГПП, как это производится в США (где большинство вулканов отнесено к национальным вулканическим памятникам).

Разработанная типология ГПП в Карпунин и др., 1998, несмотря на ее отдельные недостатки, является принципиально верной, поскольку учитывает основные, онтологические, особенности геологических объектов. В настоящей работе используется тот же принцип типизации и ранжирования, дополненный некоторыми изменениями. Соответственно, все ГПП подразделяются на 7 типов:

*Стратиграфический тип* включает только особо важные разрезы, описанные в литературе (не обязательно общепризнанные) - стратотипы, опорные разрезы и пр.

*Историко-геологический тип* - уникальные геологические объекты, наиболее характеризующие определенный(е) этап(ы) развития земной коры на данной территории.

*Палеонтологический тип* выделяется для геологических обнажений в том случае, если из них происходят эталонные образцы видов (голотипы и пр.) или редкие окаменелости с хорошей сохранностью.

*Минералогический и петрографический типы* – местонахождения редких видов минералов или горных пород, а также метеориты.

*Вулканический тип* включает вулканические конусы действующих или молодых потухших вулканов, поствулканические образования (гейзеры, фумаролы, моффетты и пр.). Все вулканогенные образования, связанные с более древними геологическими эпохами (траппы, трубы взрыва и др.) удобнее относить к историко-геологическому типу ГПП.

*Гидрогеологический тип* – карстовые объекты, некоторые минеральные источники.

*Комплексный тип* включает комбинации вышеперечисленных типов (например, гигантские эрратические валуны – петрологический, историко-геологический ГПП).

**Одна из 1. Типологическое и иерархическое разнообразие ГПП Ярославской области.**

Типологические подразделения ГПП		ГПП Ярославской области	Ранг
ТИП	Группа		
историко-геологический	стратиграфический	Пермской системы	Шарна
		Триасовой системы	Лунка
		Юрской системы	Дмитриевка
			Сутка
			Конюшино
		Меловой системы	Иода
			Акулинское
			Бабуринско-Городок
			Васильки
			Крестовский карьер
Комплексный	Палеонтологический		Сельцо-Воскресенское
	Четвертичной системы	Черемошник	
		Долгополка	
		Черменино-Забава	
	Триасовой системы	Максимовское	
		Тихвинское	
		Глебово	
	Юрской системы	Переборы	
		Ивановское-Михалево	
	Четвертичной системы	Синий камень	
		Захарьинский валун	

Кроме типов, предлагается выделять также *группы* ГПП. Их состав может устанавливаться по различным принципам в зависимости от набора объектов и типа подразделений. Так, в стратиграфическом типе ГПП можно выделять группы по геохронологическому принципу (например, палеозойская, мезозойская и прочие группы ГПП) или по характеру объекта (стратотип, референтный разрез и пр.). Для палеонтологических памятников природы групповая классификация была предложена в статье В. И. Давыдова, А. В. Лапо (1994): микробиот и водорослей; высших растений и грибов; морских беспозвоночных; наземных и пресноводных беспозвоночных; морских позвоночных; наземных и пресноводных позвоночных; проблематичных фоссилий.

Ранжирование ГПП России (Карпунин и др., 1998) проводится по условно территориальному признаку, при этом выделяется 5 рангов: мировой, национальный, федеральный, республиканский и местный. Статистический анализ проведенного ранжирования (Киселев, 2001), показывает, что среди ГПП России достаточно заметную долю имеют памятники мирового, федерального и местного рангов, среди которых доминирует доля ГПП федерального ранга. Незаметная доля ГПП национального и республиканского рангов показывает, что критерии их определения, очевидно, не являются выработанными. В связи с тем, что ранжирование представляет процесс достаточно субъективный (поскольку уникальность объекта трудно выразить количественно), установление дробной иерархии рангов, видимо, не может быть полезным, поэтому для ранжирования ГПП удобнее ограничиться трехранговой системой. Последняя прослеживается в работах, посвященных палеонтологическим памятникам природы (ППП). Согласно С. М. Синице (1994), ранг ППП должен определяться по плотности встреченных окаменелостей, при этом выделяются ППП “со скучными ископаемыми остатками, богатые местонахождения и уникальные”. К трехранговой приближается система ранжирования ППП в статье В. И. Давыдова, А. В. Лапо (1994). В ней предлагается 4 ранга (уровня): глобальный, надрегиональный, региональный и местный. Из приведенных в работе критериев для каждого уровня наименее четкими представляются критерии надрегионального уровня (так же, как расплывчато по смыслу и само понятие “надрегиональный”). Это также подтверждает удобство трехранговой системы ранжирования. Последняя нередко используется и за рубежом: в Испании – национальный, региональный и местный ранги (Delvene et al, 2002); в Португалии – интернациональный, региональный и местный (Henriquez, 2002).

В табл. 1 и 2. представлена система типов и видов ГПП Ярославской области с учетом ранжирования, используемая в данной работе. В число геологических памятников природы Ярославской области не включены озера Неро, Плещеево и Сомино, столь важные для геологического познания территории и истории плейстоцена. Этот выбор связан с тем, что донные отложения этих озер, обладающие высокой мощностью, многократно изученные и представляющие уникальный геологический объект, находятся под водой и недоступны непосредственному наблюдению. Эти природные объекты ранее выделены в другой тип ООПТ и находятся по охране. Из когорт ГПП исключены и минеральные источники, которые также удобно относить к другому типу ООПТ.

**Однотипные отложения** 2. Интервал общой стратиграфической шкалы, представленный отложениями в Ярославской области и соответствующие ГПП. Горизонтальной штриховкой обозначены отложения, присутствующие в осадочном чехле и ГПП; клетчатой штриховкой – отложения, известные только по скважинам, черным цветом – проблематичные отложения.

Эра-титул	Система	Отдел	Ярус	Отлож-ния	ГПП
Кайнозойская	Четвертичная	Неогеновая	Голоцен	█	
			Плейстоцен	█	Черемошник, Долгополка, Черменино-Забава, Синий камень, Захарьинский валун
	Палеогеновая	Миоцен	Плиоцен	█	
			Гелазский		
			Пьяченцкий		
		Олигоцен	Занклский		
			Мессинский		
			Тортонский		
			Серравальский		
			Лангийский		
	Палеоцен	Эоцен	Бурдигальский		
			Аквитанский		
			Хатский		
			Рюпельский		
			Приабонский		
Мезозойская	Меловая	Верхний	Бартонский		
			Лютетский		
			Ипрский		
			Танетский		
			Зеландский		
		Нижний	Датский		
			Маастрихтский	█	
			Кампанский	█	
			Сантонский	█	
			Коньякский	█	
	Юрская	Верхний	Туронский	█	
			Сеноманский	█	
			Альский	█	
			Аптский	█	
			Барремский	█	
	Триасовая	Средний	Готеривский	█	
			Валанжинский	█	Крестовский карьер
			Берриасский	█	
			Титонский	█	
			Кимериджский	█	
	Нижний	Нижний	Оксфордский	█	
			Келловейский	█	
			Батский	█	
			Байосский	█	
			Ааленский	█	
Палеозойская	Пермская	Верхний	Тоарский	█	
			Плинсбахский	█	
			Синемюрский	█	
			Геттингский	█	
			Ротский	█	
		Средний	Норийский	█	
			Карнийский	█	
		Нижний	Ладинский	█	
			Анзийский	█	
			Оленекский	█	Шарна
		Верхний	Индский	█	
			Тихвинское	█	
			Максимовское	█	
		Верхний	Лунка	█	
			Переборы	█	
			Дмитриевка	█	

## Особенности размещения геологических памятников природы в Ярославской области

В Ярославской области геологические памятники природы расположены в 8 из 17 районов (муниципальных округов) - Рыбинском, Некоузском, Ярославском, Даниловском, Любимском, Мышкинском, Переславском и Ростовском. Размещение ГПП на территории Ярославской области непосредственно зависит от особенностей ее геологического строения (**дөй. 1**).

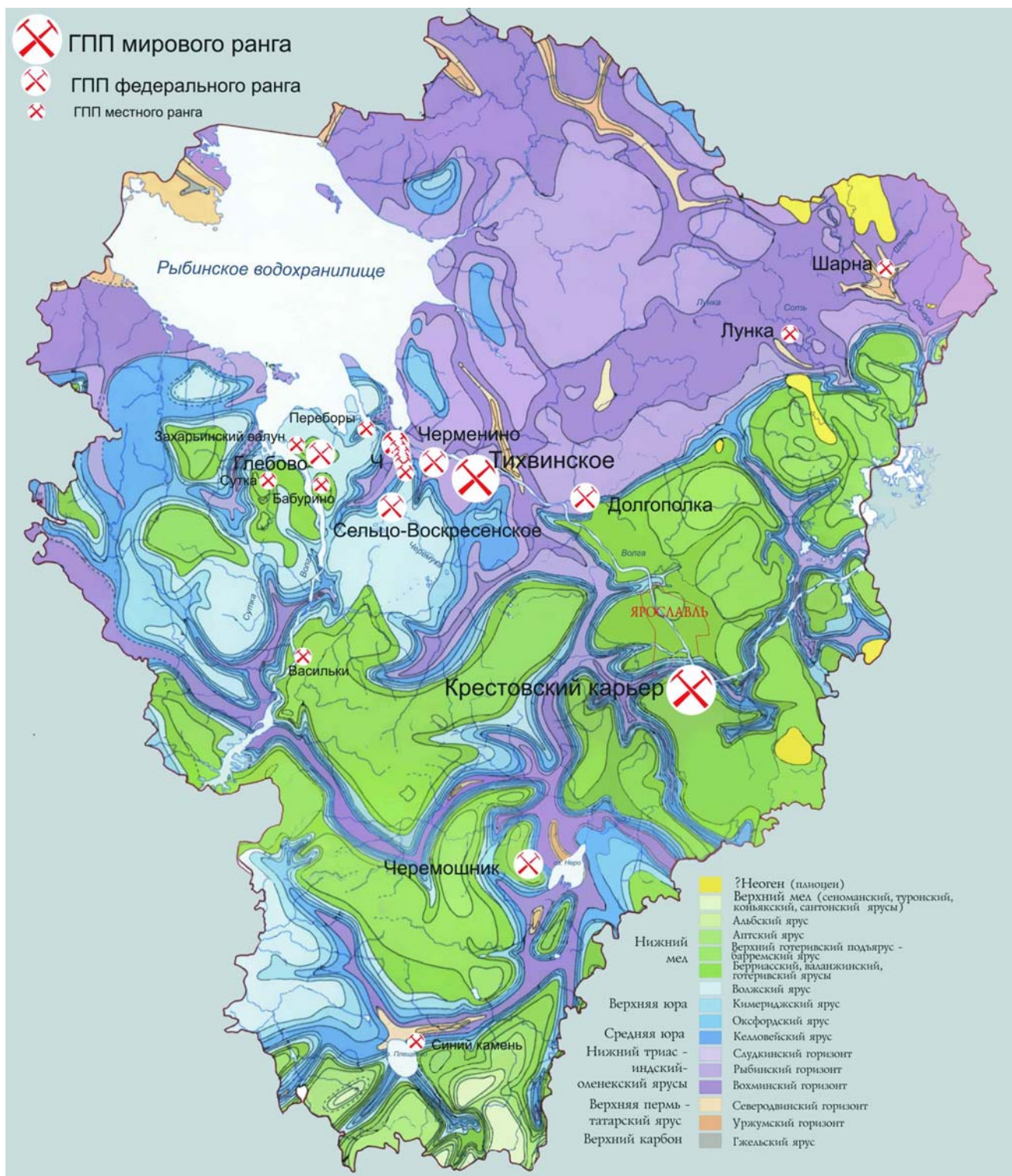
Территория области находится в пределах Восточно-Европейской платформы – консолидированного участка земной коры. В ее основании залегает мощный, до 35-40 км, докембрийский кристаллический фундамент, сложенный гранито-гнейсовыми метаморфическими образованиями, прорванный интрузиями магматических пород различного состава и возраста. Выше расположен осадочный чехол, образованный морскими, континентальными, реже вулканогенными отложениями рифея, венда, палеозойской, мезозойской и кайнозойской эратем. Максимальная его мощность в Ярославской области достигает около 3-3,5 км северо-восточнее г. Любим. Границы Ярославской области совпадают с центром большого чашеобразного прогиба фундамента, получившего название Московской синеклизы. Его поверхность осложнена местными разломами, грабенами, горстовидными выступами, куполами и поднятиями различного возраста.

Большинство местных уникальных геологических объектов представляют обнажения геологических слоев и связанные с ними образования (валуны, валунные россыпи и пр.). В обнажениях доступны непосредственному наблюдению только самые верхние горизонты осадочного чехла. Нижние горизонты, палеозойского и протерозойского возраста, вскрываются только скважинами. Нижележащий кристаллический фундамент полностью закрыт осадочным чехлом и недоступен для непосредственного наблюдения.

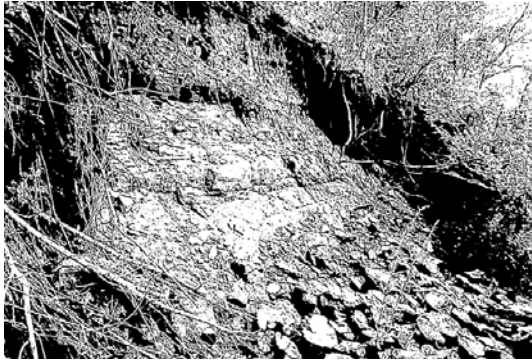
В ГПП Ярославской области обнажаются слои четвертичной, меловой (берриасский-сантонский ярусы), юрской (келловейский-титонарский ярусы), триасовой (оленекский ярус) и пермской (татарский ярус) систем, т. е. осадки возрастом не древнее 250 млн. лет. Их суммарное время образования примерно оценивается в 85-90 млн. лет., т. е. 35% от всего временного интервала. Остальные отрезки геологического времени не представлены отложениями, т.к. господствовал континентальный режим, и отложения не накапливались (за исключением, возможно, проблематичных верхнемеловых и неогеновых осадков). Часть отложений было уничтожено юрскими и меловыми морскими трансгрессиями, а позднее ледниками геологическими процессами в плейстоцене.

Дочетвертичные (коренные) отложения на большей части территории закрыты напластованиями плейстоцена, преимущественно ледникового происхождения. Они обнажаются в речных долинах или вскрыты искусственно достаточно редко и в связи с этим являются уникальными геологическими объектами, большинство из которых заслуживает статуса ГПП. Причина появления коренных отложений на поверхности из под мощного слоя четвертичных суглинков и песков (максимальной мощностью 193 м) заключается не только в том, что они вскрываются речной эрозией или карьерами по добыче полезных ископаемых. Часть из них приурочена к тектоническим поднятиям или куполам – небольшим сводовым взаимозамещениям палеозойского или мезозойского возраста. Так, большая часть ГПП мезозойской эратемы приурочена к Рыбинскому куполу, пермские отложения – к Любимскому поднятию. Другая группа обнажений дочетвертичных слоев выходит на поверхность в виде ледниковых отторженцев. К таким образованиям относятся меловые отложения ГПП «Крестовский карьер» и, возможно, ряд других геологических местонахождений.

Четвертичные отложения – самые распространенные в пределах Ярославской области. Они наблюдаются в многочисленных обнажениях по берегам рек и в карьерах и сами по себе не являются уникальными. Из них к ГПП отнесены только те обнажения, которые представляют особое значение для стратиграфии плейстоценовых отложений. На их основе возможна подробная реконструкция событий ледниковых и межледниковых эпох. В основном это отложения с большим содержанием органического вещества (погребенные торфяники, сапропелиты, гумусированные осадки и пр.) большой мощности. Для их образования нужны особые условия (озерные котловины, болотистые низины, западины). Поэтому они встречаются достаточно редко и являются уникальными геологическими объектами.



**Дея́н. 1.** Геологическая карта Ярославской области (по Геология..., 2000) и расположение ГПП, рассматриваемых в настоящей публикации.



# ШАРНА

Sharna

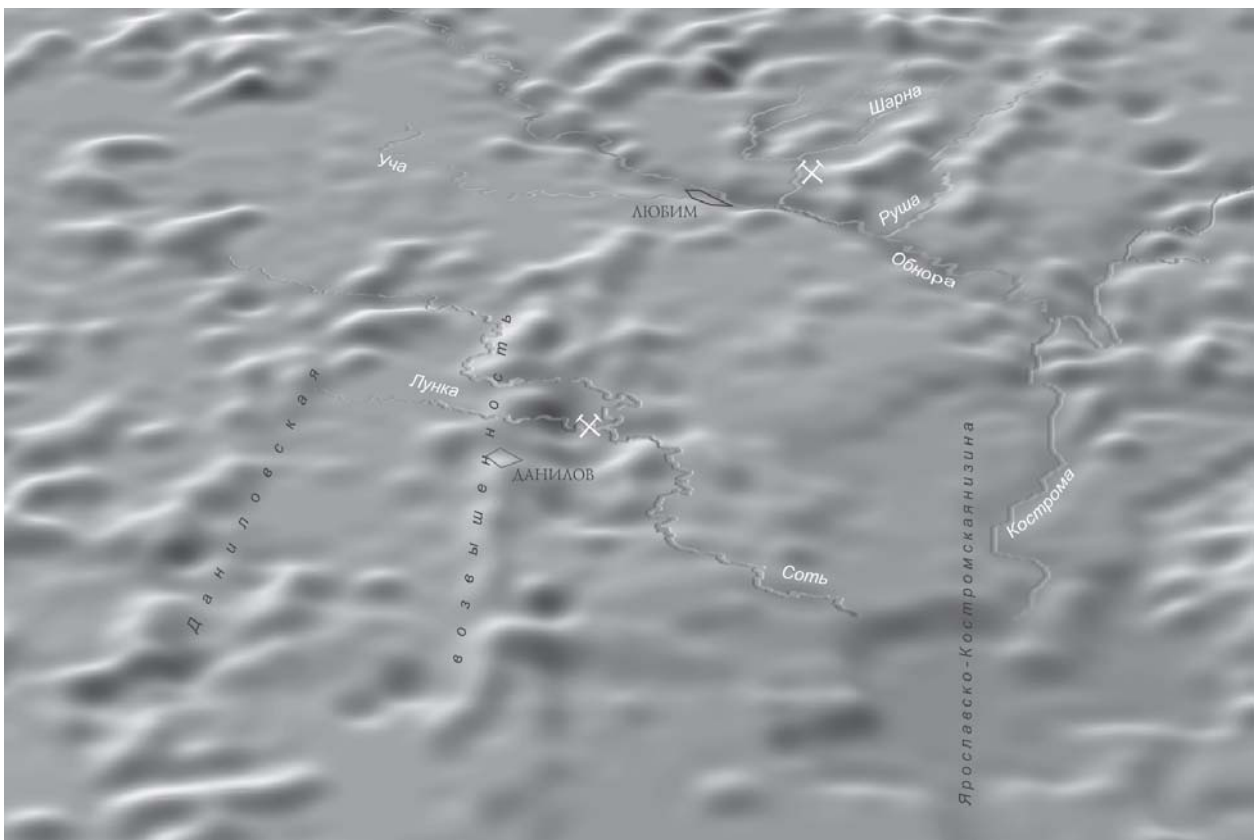
Ñò àò óñ. ГПП историко-геологического типа пермской системы местного ранга.

Óí èêäëïï î ñò ii. Наиболее представительное обнажение пермской системы и татарского яруса в Ярославской области.

Î ãñò i ii ëí æ áí è á è êí i ô è äödäöèÿ. Любимский район, левый берег р. Шарны (левый приток р. Обноры). ГПП находится в разрезе первой надпойменной террасы второго левого меандра в 1 км севернее устья и с. Шарны (окрестности бывшего хутора Крюкова, упоминавшегося А. Н. Ивановым (1950)). Обнажение пермских слоев, как и первая надпойменная терраса, имеет высоту до 8 м. Длина обнажения не превышает 50 м (ðàáë. 1, ô èä. 1). Река Обнора начинается в северной, наиболее высокой части Даниловской возвышенности (район Шуйской горы, абс. высота 252 м). На большей части своего пути, в среднем течении она течет по полого-волнистой озерно-ледниковой равнине (Введенская и др., 2001) с северо-запада на юго-восток (ðèñ. 2). В поперечном направлении хода реки (с юго-запада на северо-восток) в Любимском районе развиты протяженные гряды, сложенные мореной московского горизонта. Большинство крупных притоков Обноры, к которым относится и р. Шарна (а также рр. Кузя, Руша, Уча и Никша), приурочено к межгрядовым понижениям, поэтому их направление определяется ориентацией моренных гряд. Реки Шарна и Руша протекают в районе развития двух особенно длинных моренных гряд. К северной гряде (абс. выс. 149-187м) примыкает Шарна. В верхнем течении она отстоит от гряды, а в низовьях, до д. Федотово, примыкает вплотную и прорезает в ней относительно глубокую долину с высокой первой надпойменной террасой. Именно здесь и наблюдаются обнажения пермских пород (от д. Дворянкино до д. Федотово) составляющих уникальность памятника. В верхнем течении пермские отложения вскрываются Шарной в районе д. Бряково и ее левым притоком р. Савинка вблизи урочища Добродеево (Иванов, 1950). Здесь река течет в районе небольшой моренной гряды такой же ориентации, как и упомянутые более крупные. Не исключено, что выходы пермских пород связаны с образованием моренных гряд, т.е. могут быть небольшими отторженцами от местных пермских коренных образований. В целом же не представляют сомнений, что появление островка пермских пород, окруженных полем более молодых триасовых образований в районе Любима, связано с тектоническим поднятием, получившим название Любимского (Бакиров, 1948; Люткевич, 1963).

Î öðäáí àù çí á. Бечевник и 50 м вдольбереговой полосы выше бровки склона первой надпойменной террасы.

È ñò i ðèÿ èçó÷åí èÿ. Обнажения дочетвертичных пород в районе р. Шарны впервые были обнаружены летом 1866 П. Н. Пикторским – геологом, преподавателем Московского университета, изучавшим геологическое строение бассейна р. Обноры, а также верхнего течения р. Костромы. В бассейне Шарны он описал несколько выходов пестроцветных пород и известняков, которые отнес к пермской системе (Пикторский, 1868). Позднее, в 1882 г., бассейны рек Обноры и Шарны был обследованы С. Н. Никитиным, который известен в первую очередь своими исследованиями юрской системы Европейской России. В первой половине 1880-х гг. по поручению Минералогического общества им изучались геологические отложения Любимского и Даниловского уездов (Никитин, 1885). В верхнем течении Обноры им описаны обнажения пестроцветных глин, ошибочно отнесенные к триасовой системе. Однако в долине р. Шарны (или Шерны, как указывается в работе этого исследователя) Никитин не нашел выходов коренных пород («даже и кусков породы», с. 33), в том числе и в тех местах, которые описывал Пикторский. Современные представления о пермских отложениях, выходящих в берегах р. Шарны, связаны с исследованиями А. Н. Иванова. Им описаны многочисленные выходы пестроцветных и карбонатных пород в нижнем и среднем течении Шарны и ее притоков (Иванов, 1950). Наиболее заметные обнажения отмечаются у с. Гиганово, д. Ермолино, д. Федотово, д. Бряково и хутора Крюкова. Самое полное описание разреза пермских отложений приводится для обнажения у хутора Крюкова. Рассматриваются условия образования местных пестроцветных пород. Пермские отложения, обнажающиеся в этом районе, справедливо относятся Ивановым к татарскому ярусу. Позднее А. И. Иванов (Иванов, Новский, 1959) им уточняет возраст этих отложений. Изучение нижележащих слоев, выявленных буровыми скважинами, и проведение аналитических исследований местных пермских карбонатных пород позволили предположить, что они относятся к верхней части татарского яруса – северодвинскому горизонту (Иванов, Кошкина, 1959).



**Де́й. 2.** Трехмерное перспективное изображение территории долины рек Костромы, Обноры и Соти. Символами показано расположение ГПП «Шарна» и «Лунка».

После исследований А. Н. Иванова выходы пермских отложений на р. Шарне изучались сотрудниками Московской геологосъемочной экспедиции территориальной геологической службы в Центральных районах А. А. Медем, П. А. Большаковой, Н. И. Строк (Горбаткина, Строк, 1971). Ими был уточнен стратиграфический возраст северодвинских отложений на основе более детальных литологических и палеонтологических исследований и сопоставления с данными буровых скважин в районе Любимского, Даниловского и Дьяконовского поднятий.

В 2001 г. пермские отложения бассейна р. Шарны были изучены Д. Н. Киселевым. Обнаружилось, что многие из обнажений, упомянутых А. Н. Ивановым, оказались задернованными. В низовьях Шарны сохранился разрез в районе бывшего хутора Крюкова, который, вероятно, является наиболее представительным разрезом татарских отложений в данном районе. Его описание дается ниже.

**№ 2 аа ё аа ё ё ё.** В разрезе обнажаются красноцветные и пестроцветные глинистые, алевритистые и песчанистые породы верхнетатарского подъяруса, предположительно относящиеся к северодвинскому горизонту (снизу вверх, **де́й. 3**):

1. Мергель тонкогоризонтальнослоистый, мягкий, кирпично-красного цвета. Слой находится ниже уреза воды и выстилает дно реки, где он образует плиты с ровной поверхностью. Видимая мощность до 0,3 м.

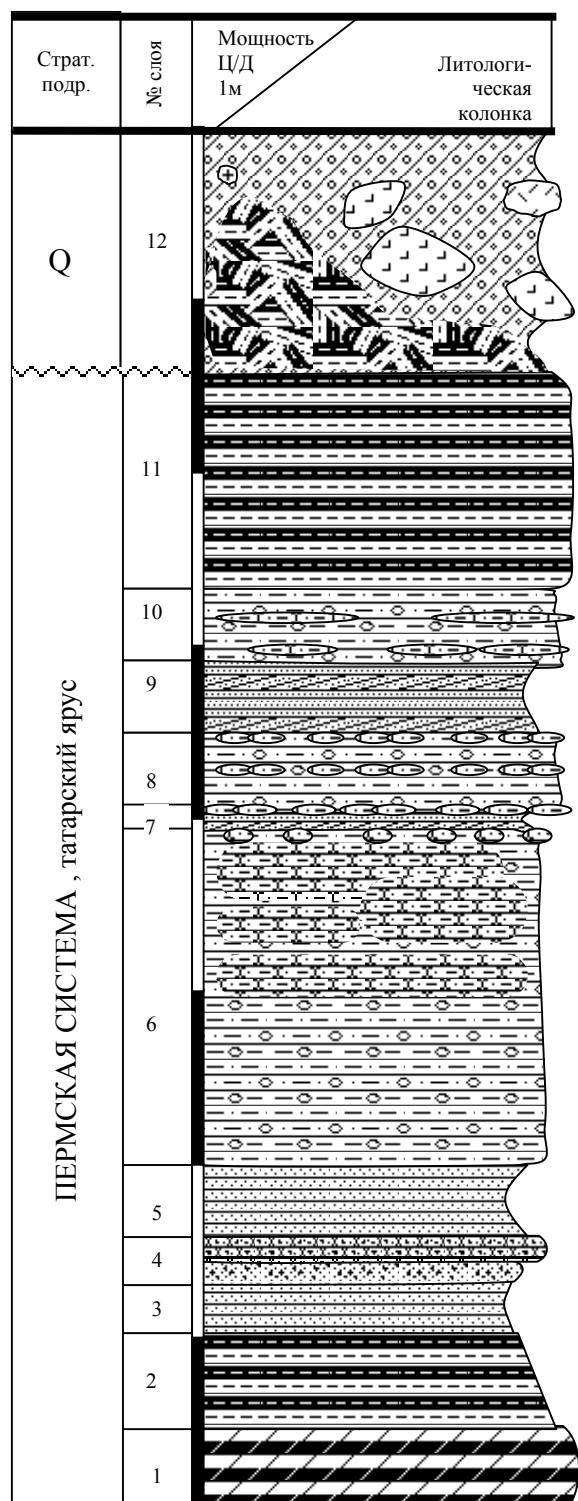
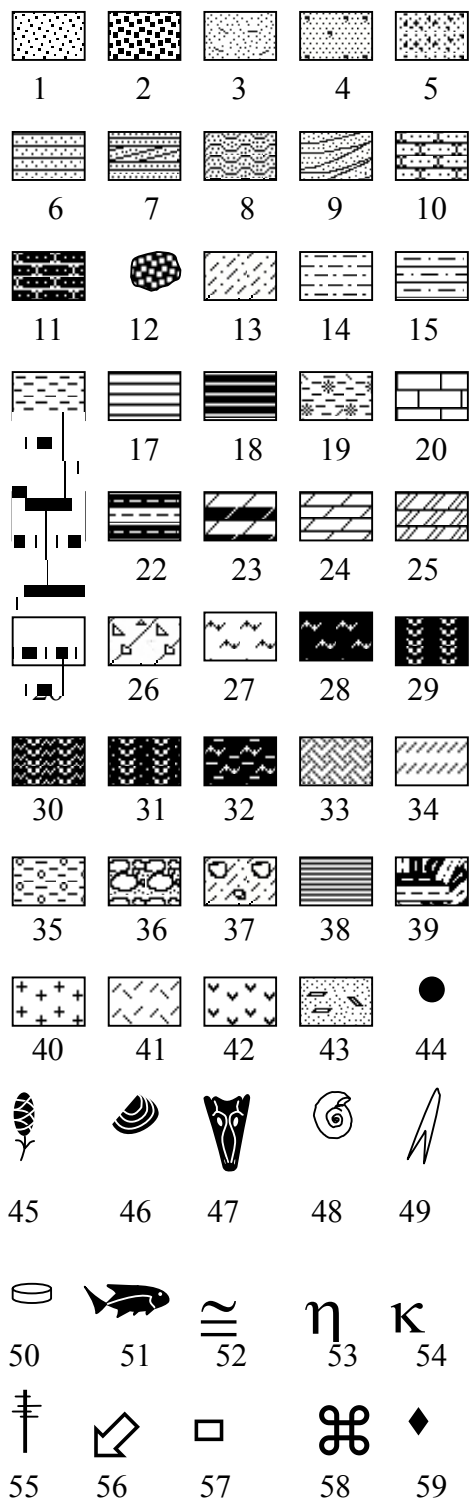
2. Глина алевритистая, переходящая в алеврит, пестроцветная, с чередованием кирпично-красных и голубовато-серых слоев. Последние не выдержаны по простиранию и форме, пронизывают красные прослои вертикально и субвертикально и не превышают толщины 4 см. Возможно, они представляют следы корней растений. Красные слои преобладают. Подошва слоя находится ниже уреза воды. Мощность до 0,7 м.

3. Песок среднезернистый кварцевый тонкослоистый, зеленовато-серый или серовато-зеленый. Нижняя граница ровная и четкая. Слой является водоносным: на его уровне образуются роднички, подпруживаемые глинами нижележащего слоя. Мощность 0,2 м.

4. Песок среднезернистый буровато-розовый, в кровле рыжий, обогащенный окатанными гравелистыми частичками известняка и переходящий в гравелистистый конгломерат. В кровле слой переходит в песчаник кварцевый, плотный, светло-серый или охристый, переполненный известковыми гранулами (**дааё. 1, ё а. 4**). Мощность 0,07 м.

5. Песок средне-мелкозернистый, рыхлый, темного рыжевато-красного цвета с черными прослойками, обогащенными оксидами марганца. В кровле слой светлеет и становится разбеленно-бурым. Мощность 0,3 м.

6. Алеврит или песок мелкозернистый, известковистый, плотный, тонкослоистый, белесовато-кирпично-красного цвета. Слоистость выражается в чередовании широких светлых и узких темных



**Рис. 3.** Геологический разрез ГПП «Шарна». Литологические обозначения: 1 - песок мелко- и среднезернистый; 2 - песок крупнозернистый и гравелистый; 3 - песок слюдистый; 4 - песок глауконитовый; 5 - песок калькредизированный или карбонатный; 6 - песок горизонтально-слоистый; 7 - песок тонко-косослоистый; 8 - песок волнисто-слоистый; 9 - песок крупно-косослоистый; 10 - песчаник; 11 - песчаник сильно-ожелезненный; 12 - конкреции фосфатизированного песчаника; 13 - песчанистая супесь; 14 - алеврит; 15 - алевритистая или песчанистая глина; 16 - глина неслоистая; 17 - глина слоистая; 18 - глина сильно пиритизированная или битуминозная; 19 - глина пиритизированная; 20 - известняк; 21 - оолиты (известковые или железистые); 22 - глина пестроцветная; 23 - мергель пестроцветный; 24 - мергель; 25 - мергель доломитизированный; 26 - алевролит; 27 - гиттия; 28 - гиттия гумусированная; 29 - торф; 30 - торфянистая гиттия; 31 - гумусированная порода; 32 - гумусированная глина или ил; 33 - почва; 34 - супесь; 35 - глина с гравием и галькой; 36 - песок галечниковый; 37 - супесь или легкий суглинок с галькой и валунами; 38 - ленточные глины и алевриты; 39 - пестроцветная порода со следами нарушения; 40 - 42 - кристаллические породы; 43 - чешуя рыб; 44 - мелкие фосфоритовые конкреции; 45 - растительные остатки; 46 - остатки беспозвоночных; 47 - остатки тетрапод; 48 - аммониты; 49 - белемниты; 50 - морские лилии; 51 - остатки рыб; 52 - дуб, граб, бук; 53 - ель; 54 - береза; 55 - сосна; 56 - похолодание; 57 - потепление; 58 - отложения климатического оптимума межледниковых (термомер); 59 - отложения ледниковой эпохи (криомер).

прослоек. Последние обогащены песчинками из темноцветных минералов (**ðàáë. 1, ðèä. 3**). Ближе к кровле (верхние 0,4 м) порода становится более плотной и приближается к песчанику или алевролиту. Ее цвет приобретает более интенсивный карминно-красный цвет (**ðàáë. 1, ðèä. 5**). В слое равномерно рассеяны ореховидные конкреции плотного карбонатного песчаника. В кровле конкреции образуют выраженный горизонт. Мощность 2 м.

7. Песок среднезернистый тонкогоризонтально- и косослоистый, обогащенный частичками темной слюды. Мощность 0,05 м.

8. Алеврит или песок мелкозернистый, известковистый, плотный, тонкослоистый, белесовато-красного или кофейного цвета, с мелкими ореховидными конкрециями плотного карбонатного песчаника. В подошве, кровле и середине слоя проходят горизонты лепешковидных конкреций карбонатного песчаника. Мощность 0,2-0,3 м.

9. Песок среднезернистый белесовато-розовый, косослоистый, обогащенный частичками темной слюды. Мощность 0,3-0,4 м.

10. Алеврит или песок мелкозернистый, известковистый, плотный, тонкослоистый, серовато-окристо-красного цвета с двумя горизонтами плитчатых конкреций карбонатного песчаника. Мощность 0,4 м.

11. Глина пестроцветная с четким чередованием красных и голубовато-серых слоев (**ðàáë. 1, ðèä. 2**). Видимая мощность до 1 м.

Выше расположен слой четвертичного валунного суглинка, замещающегося по простирию крошкой пестроцветных глин.

Остатки позвоночных, являющиеся основой для расчленения и датировки позднепермских отложений Восточно-Европейской платформы, в пермских отложениях Любимского района не известны, поэтому их возраст определяется по остракодам.

В районе Любимского поднятия позднетатарские отложения подразделяются на две пачки: нижнюю – песчано-карбонатно-глинистую и верхнюю песчано-глинистую. В разрезах р. Шарны обнажается преимущественно верхняя пачка, изученная А. А. Медем, П. А. Большакова, Н. И. Строк (Горбаткина, Строк, 1971). В её подошве отмечаются пески кварцевые и конгломераты с присутствием мелких зерен известняка (до 10%). Вероятно, они соответствуют слою 4 разреза. Соответственно, слои 1-3 могут принадлежать нижней пачке слоев. Вышележащие красноцветные песчанистые алевролиты составляют наиболее характерную часть верхней пачки. Для них свойственно высокое содержание тяжелых минералов, как темноцветных (магнетита и др.), так и прозрачных (циркона, граната, турмалина, эпидота и др.). Из окаменелостей в песчано-глинистой пачке встречаются остракоды, среди которых преобладает род *Suchonella*. Общая мощность верхней пачки изменяется от нуля до 28 м, а в бассейне Шарны уменьшается до 7-13 м, что связано с существованием здесь Любимского поднятия.

**І ðàéëí ááí ððàð èў.** В татарское время территория всей Ярославской области находилась в составе обширной низменности, занимавшей восточную половину Восточно-Европейской платформы и окруженней с запада более приподнятой Фенно-Сарматской сушей. Территория представляла плаккат - низменный ландшафт с относительно выполненным рельефом и чрезвычайно сложным и переменчивым гидрологическим режимом в условиях теплого, вероятно тропического, и влажного климата. Осадконакопление широко распространенных в татарское время красноцветных и пестроцветных пород, зачастую сильно известковистых, происходило в мелководных испаряющихся лагунах, русловых потоках и своеобразных мелководных временных водоемах – виэссах (Ивахненко, 2001). Последние представляют тип водных потоков, в настоящее время не имеющих аналогов (там же, с. 9): «... водные потоки, прорезавшие русла на склонах возвышенных участков, спускаясь к обширной равнине, покрытой преимущественно глинистыми отложениями, могли, не встречая препятствий, широко разливаться по плоским низменностям, образуя подчас очень обширные, но крайне мелководные мореподобные структуры ("виэссы": very shallow sea, v.s.s.), иногда открывавшиеся в настоящие морские бассейны, иногда распресненные стоками. Обширные болотистые периодически заливавшиеся маршеводобные структуры по берегам, покрытые полужидкой грязью с зарослями не образовавших корневых сплетений гелофитов, видимо, преимущественно членистостебельных, и мелководные обширные площади "виэссы" легко прорезались узкими глубокими руслами временных потоков, возникавших при усилениях стока с возвышенностей, например, с западного склона Палеоурала. Встречая очень слабое сопротивление и грунта, и растительности, такие потоки, постепенно ослабевая, могли проникать очень далеко. При слабом влиянии растений на регуляцию процесса эвакотранспирации, при обсыханиях маршей возникали такыроподобные структуры. При относительно длительном обсыхании и сильной инсоляции по микротрещинам почвы и корням растений шло обызвествление, образуя породы типа современных калькретов». Образование подобных водотоков связывается с отсутствием в пермское время закрепляющей почвы растительности, в результате чего гидрологический режим плакката приобретает крайне изменчивый характер. Эта изменчивость отражается на осадконакоплении татарского времени и отражается в частом чередовании красных и голубовато-серых прослоев в пестроцветных породах. Красная окраска пород связана с присутствием окисных соединений железа, образующихся в насыщенной кислородом водной среде. Голубоватая окраска отражает присутствие закисных соединений железа, формирующихся при недостатке кислорода. Частое чередование красноватых и голубоватых слоев свидетельствует о периодических и быстрых изменениях условий водной среды. Тонкая горизонтальная слоистость и глинистость пород (слои 1, 2, 11 настоящего ГПП) отражают спокойную гидродинамику водоема. Вероятно, отложения подобного типа образовывались в периодически высыхавших лагуноподобных озерах или гигантских «лужах», чей режим осадконакопления контролировался деятельностью водотоков типа «виэссы».

Изменчивость режима осадконакопления приводила к частой смене пестроцветных пород красноцветными (слои 6-10 настоящего ГПП) и калькетизированными (?слой 4). Красноцветные породы насыщены оксидами железа типа лимонита или гематита, свидетельствующими о насыщенной кислородом обстановке. Более крупнозернистый состав (пески, песчаники) и присутствие косой слоистости (слои 7, 9) отражают условия сравнительно высокой гидродинамики вод бассейна. Все эти признаки красноцветных пород отвечают их происхождению в русловых потоках типа виэсс. Сильная известковистость красноцветов свидетельствует об образовании их в условиях жаркого климата.

Любимское поднятие, образовавшееся в палеозое, вероятно, определяло приподнятость рассматриваемой территории в татарское время. Возможно, бассейн р. Шарны принадлежал к пологим водораздельным пространствам, более сухим, чем затопленные озерами и лагунами низины. Здесь преимущественное развитие могли получать кратковременные плоские растекающиеся потоки, отлагавшие песчано-глинистые осадки.

Наземные сообщества северодвинского времени на территории Европейской России характеризуются господством «парейазавровой фауны», в которую входили крупные растительноядные парарептилии (парейазавры) и териодонты (дицинодонты), мелкие хищные рептилии - проколофоны, теридонты (двиния) и крупные хищники – саблезубые горгонопсы (иностраницевия) (Сенников, 1995). В водных сообществах характерно присутствие специфических рептилий (парарептилии) и земноводных (котлассия, двинозавр, хрониозухи) (там же).

#### Объяснения к таблице 1. ГПП «Шарна»

- Оèä. 1. Общий вид обнажения с правого берега р. Шарны. Снимок сделан в 2002 г.  
Оèä. 2. Граница между красноцветными отложениями (слой 10) и пестроцветными (слой 11). Снимок сделан в 2002 г.  
Оèä. 3. Песчано-алевритистая порода слоя 6 при увеличении в 64 раза. Красные песчинки состоят, преимущественно, из кварца, покрытого лимонитовой «рубашкой», темные – из темноцветных минералов (эпидот, турмалин, магнетит).  
Оèä. 4. Кварцевый песчаник, переполненный окатанными обломками кальцита (слой 4).  
Оèä. 5. Известковистые красноцветные пески, песчаники и алевриты (слои 6-10). Снимок сделан в 2002 г.

Таблица 1

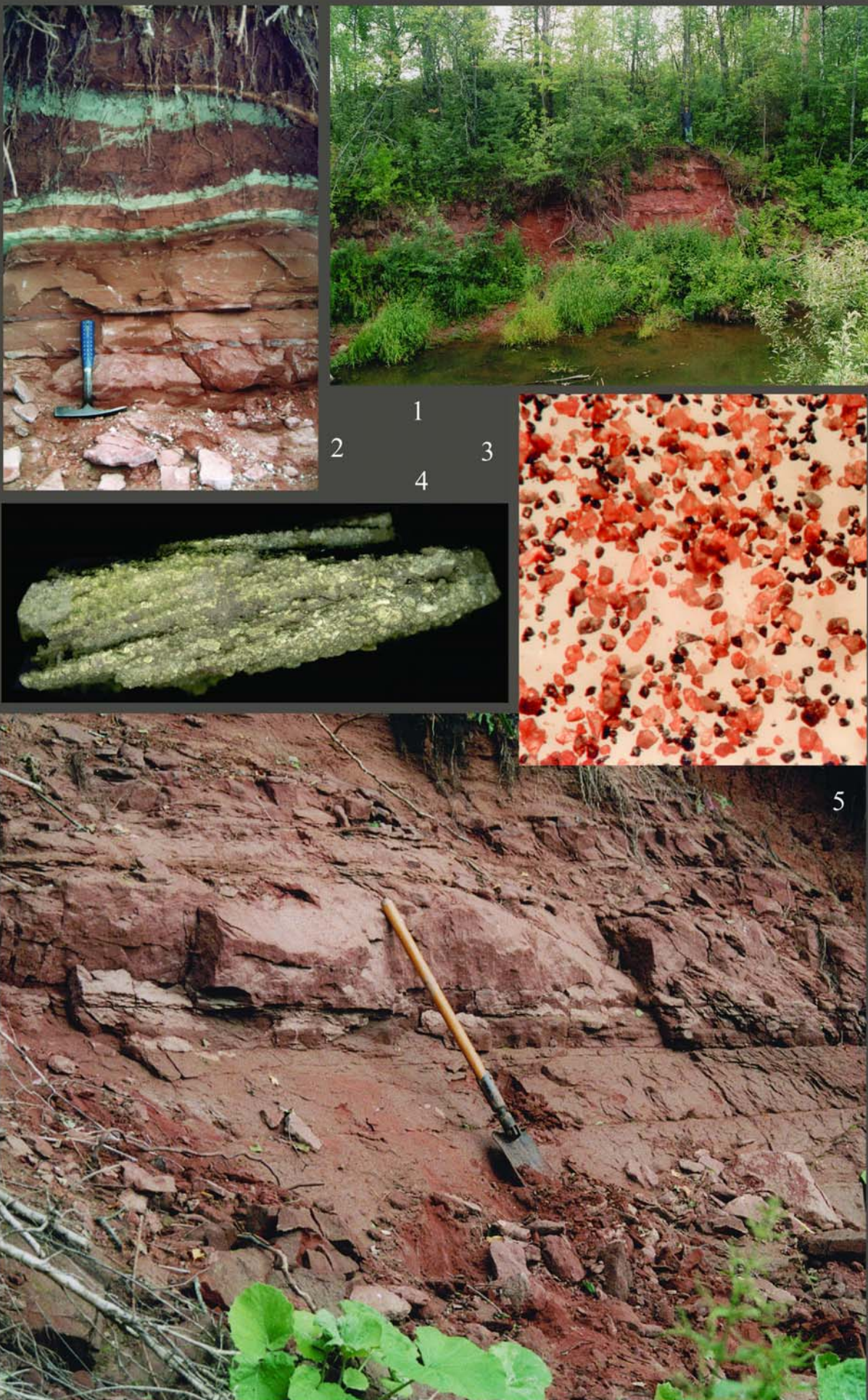
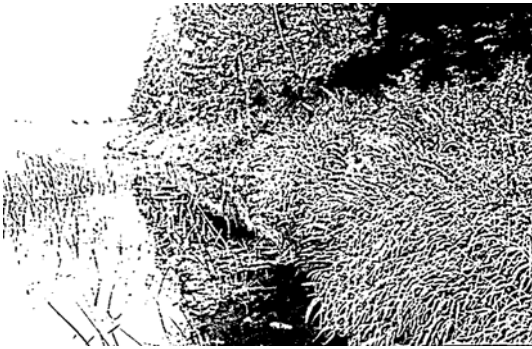


Таблица 2





# ЛУНКА

Lunka

**№ 20 20**. ГПП историко-геологического типа триасовой системы местного ранга.

**Óí è êàëëü í ïò ü.** Один из наиболее крупных выходов рыбинского горизонта в Ярославской области, охарактеризованных находками позвоночных. Единственное местонахождение дочетвертичных отложений в Даниловском районе.

**I** *åñò ñ ëè å è êî í ô è åôðâöèëü*. Даниловский район, берега р. Лунки (правый приток р. Соть) в районе дд. Китаево и Ристово (**ðèñ. 4**). ГПП состоит из двух выходов на поверхность пестроцветных глин. Первый находится на левом берегу в 200-х метрах ниже деревни Ристово. Второе обнажение расположено на расстоянии 1,1 км вниз по течению у д. Китаево в 300-900х метрах выше устья (**ðääë. 2, ô èä. 1, 2**). Река в этом месте имеет ширину 10,6 метра, глубина ее от 0,9 м до 0,32 м, скорость течения 0,1 м/сек. В русле под валунно-галечниковым наносом проступают очень плотные коричневые глины. Правый берег здесь вогнутый, крутой и обнажается лишь в основании. Верхняя часть обнажения расположена в 5 м над урезом воды. Над обнажением — крутой, бугристый склон, поросший смешанным лесом из березы, ольхи, осины, ели, сосны. Левый пойменный берег — выпуклый, пологий, поросший у кромки кустарником. Обнажение у д. Китаево представляет крутой обрыв в первой надпойменной террасе, является более крупным и имеет протяженность около 50 метров вдоль реки. Оно прислоняется к плесу излучины (самой глубокой части русла), поэтому стенка обрыва интенсивно подмывается и является очень крутой, а пойма отсутствует. По той же причине разрез прекрасно обнажен и доступен непосредственному изучению. Ниже, на спрямленной части русла вблизи устья, пестроцветные слои, в основном, скрыты под осыпями, и их можно вскрыть путем расчисток.

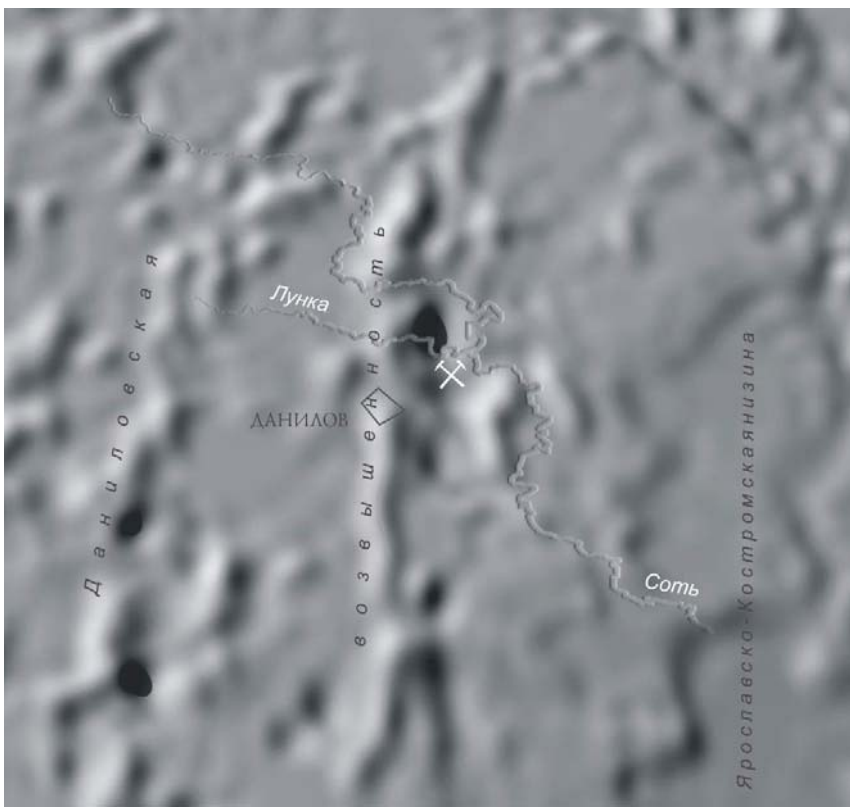
Î ôðåí í àÿ çí í à включает 50 м вдольбереговой полосы выше склона 2 надпойменной террасы.

«Впервые об обнажении пестроцветных глин на р. Лунке сообщила учительница географии Кендеревской школы В. А. Каракозова. Летом 1960 года группа студентов естественно-географического факультета Ярославского педагогического института под руководством В. А. Новского находилась на полевой практике по геоморфологии и гидрологии близ д. Кендерево Даниловского района. Наряду с основными задачами предполагалось проверить сведения о наличии выхода пестроцветной толщи в бассейне реки Лунки». Изучение разрезов под дд. Ристово и Китаево обнаружило, что пестроцветные отложения отличаются как от заведомо пермских (ГПП на р. Шарне), так и известных триасовых (ГПП у с. Тихвинское). «Все наши попытки найти в породах какие-либо остатки фауны или флоры, оказались безуспешными. При определении возраста слоев приходится руководствоваться литологическим составом их. По Люткевичу, нижний триас ветлужского яруса бывает яркий по своей окраске. На красных глинах характерны сиреневые и фиолетовые пятна. Пески имеют разную окраску: часто бывают серыми, в прослойках среди глин — зеленовато-серые. Конгломераты, встречающиеся особенно среди зеленоватых песков, характерны присутствием в них плоских галек, глинистых и мергельных пород. Вышеописанное обнажение по своему литологическому составу очень близко к слоям, возраст которых Е. М. Люткевич относил к нижнему триасу. Это совпадение позволяет сделать вывод, что обнаруженное и описанное нами обнажение пестроцветных глин по своему возрасту относится также к нижнему триасу (Баранов, 1962)».

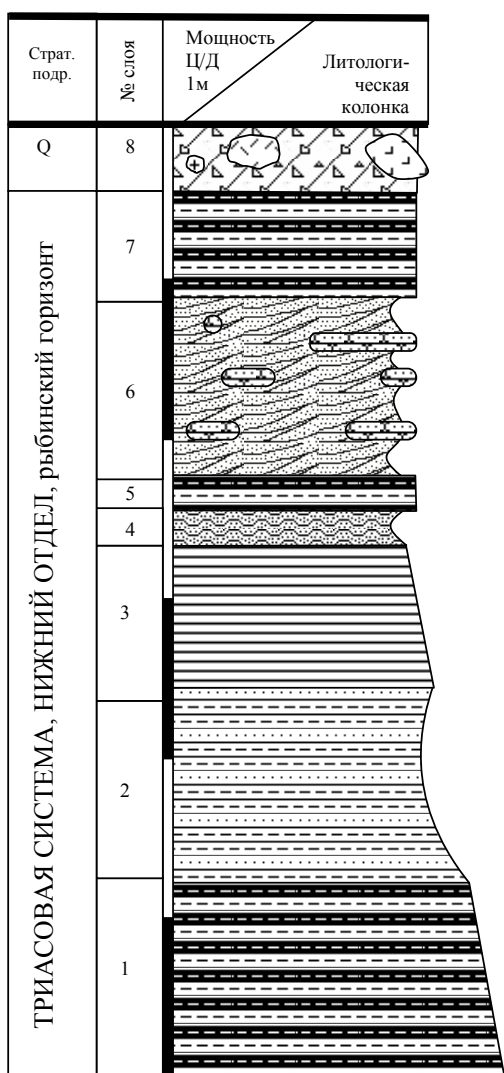
Летом 1992 г. разрез на р. Лунке посетил сотрудник ВНИГНИ В.В. Митта. Им был обнаружен здесь фрагмент черепа лабиринтодонта *Benthosuchus korobkovii*, который позволил уверенно отнести вмещающие отложения к рыбинскому горизонту нижнего триаса.

*Ñò ðàò è ãðàô è ÿ.* Снизу вверх в обнажении наблюдаются следующие слои (ðèñ. 5):

- Глина красная со сложным рисунком из голубых пятен. Нижняя часть слоя лежит ниже уровня воды и скрывается под водой. Видимая мощность 1,2 м.
  - Переслаивающиеся друг с другом красновато-коричневые глины и серые пески. Вверху, в одной из песчаных прослоек, отмечена галька из песчаника. Толщина отдельных прослоек глины 5—7 см; прослоек песка 2—3 см. Глина очень легко раскалывается на мелкие остроребристые куски (щебень). Общая мощность 1,3 м.
  - Глина красноватая, плотная, с известковыми выделениями в виде журавчиков. Мощность 0,8 м.
  - Песок зеленовато-серый, мелкозернистый, с волнистой слоистостью, местами переходящий в конгломерат с галькой из серой глины, сцементированной известковым песчаником. Глыбы



**Фиг. 4.** Трехмерное перспективное изображение территории долины р. Соти. Символом показано расположение ГПП «Лунка».



чаника. Мощность 1,1 м.

7. Пестроцветная глина, в основном красновато-коричневая, с голубыми и фиолетовыми пятнами. Структура глины плитчатая; наблюдается микроскладчатость, перемятость, которая, вероятно, возникла в связи с оползневым смещением или за счет мерзлотных явлений. Нижняя граница слоя почти горизонтальная. На поверхности плиточек глины — черный налет и дендриты марганца. Видимая мощность слоя 0,6 м.

Рассматриваемые слои относятся к самым нижним слоям триасовой системы в Ярославском Поволжье и принадлежат к нижней подсерии ветлужской серии (Горбаткина и др., 1971) или вохминскому горизонту В. Р. Лозовского (1967).

**І аё âї ââї âðâô è ў.** Подробно описана в разделе, посвященном ГПП «Тихвинское».

Объяснения к таблице 2.

**Ôèä. 1-3.** Пестроцветные нижнетриасовые отложения в ГПП «Лунка». Наблюдаются край небольшой антиклинальной складки — проявление небольшой гляциодислокации. Снимок сделан в 2002 г.

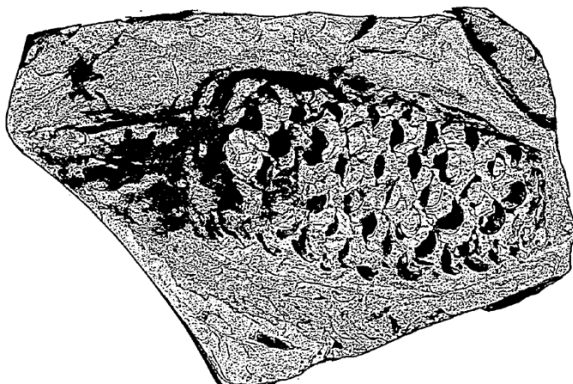
**Ôèä 4.** Пестроцветные верхнепермские отложения в обнажениях верхнего течения р. Обноры (окрестности с. Воскресенское). Снимок любезно предоставлен С. Н. Хреновым.

**Фиг. 5.** Геологический разрез ГПП «Лунка». Литологические обозначения см. на рис. 3.

конгломерата были обнаружены в осипах, но в одной из небольших рывин конгломерат наблюдался в коренном залегании. Мощность 0,10—0,15 м.

5. Глины красновато-коричневые и с голубовато-серыми прожилками до 1 см толщиной. Имеют плотное сложение. Излом раковистый, крупноглыбистый (**ôââé. 2, ô è ä. 3**). Мощность 0,15—0,20 м.

6. Песок желтовато-серый, мелкозернистый, кварцевый, с многочисленными зернами темных минералов, плотный. Слоистость косая, не ярко выраженная. В песке наблюдаются караваеобразные и плитчатые сростки известковистого пес-



# ТИХВИНСКОЕ

Tichvinskoe

**Óí è êàëüí í ñò ü.** Обнажение нижнетриасовых отложений у с. Тихвинское и дер. Паршино на р. Волге является типовым (опорным) обнажением паршинских слоёв рыбинской свиты. Здесь наиболее полно обнажены породы рыбинской свиты, поэтому данный разрез имеет эталонное значение для стратиграфии континентального триаса Европейской России. Этот разрез известен как уникальное местонахождение фауны и флоры “Тихвинское”, которое по количеству органических остатков, их сохранности и таксономическому разнообразию является самым богатым местонахождением в нижнем триасе Восточной Европы.

**Ñò àò óñ.** Обнажение зарегистрировано как государственный памятник природы областного значения по решению Ярославского облисполкома от 25 июля 1966 № 582 (подтверждено решением Ярославского облсовета народных депутатов от 27.05.93 № 118, постановлением губернатора Ярославской области от 19.07.94 № 370, объединенной администрации г. Рыбинска и Рыбинского района от 19.10.94 № 800). Утверждено в качестве палеонтологического ГПП республиканского ранга с заказным режимом охраны (Карпунин и др., 1998). Включено во “Всемирный предварительный список геологических площадей” (GILGES) “Мирового наследия ЮНЕСКО” (раздел “Геология и палеобиология”) в 1993 г. Предлагается в качестве комплексного (палеонтологического и стратиграфического) ГПП мирового ранга с заказным режимом охраны.

**Í ãñò í ï í èí æ áí è á.** Ярославская обл., Рыбинский р-н, Панфиловская с/адм., правый берег р. Волги на протяжении около 7 км. (примерно 5-12 км ниже г. Рыбинска) от дер. Малое Красное до устья р. Яковки (правый приток р. Волги). В территорию ГПП входит долина р. Яковки на протяжении 1 км вверх от устья.

**Ôàðèò ð í ðèý í àí ùò í èéà è á, èí í ô è àððàðèý.** Пляж и коренной берег р. Волги до его бровки и долина р. Яковки на протяжении 1 км вверх от устья.

Ширина пляжа (бечевника) меняется в зависимости от уровня воды в Волге от 0 до нескольких десятков метров. Коренной берег р. Волги (от 100 до 300 м шириной и до 50-70 м высотой) осложнен многочисленными оползнями. По оврагам и ручьям обнажения протягиваются до 500 м, по берегам р. Яковки - на протяжении около 2 км. Обнаженность в целом незначительная - спорадические обнажения по пляжу и небольшие (до 10 м в высоту) обрывы в основании коренного берега р. Волги. Наиболее крупные обнажения расположены около устья овр. Степана Разина у нижнего конца дер. Паршино (**ðàáë. 3, ô è á. 1, 2**) и по р. Яковке (**ðàáë. 3, ô è á. 5**). На бечевнике Волги накапливаются многочисленные окаменелости, вымытые из коренных пород (**ðàáë. 3, ô è á. 4**).

**Í ôðàí í àý çí í à** включает 50 м вдольбереговой полосы выше склона коренного берега Волги и склонов первой надпойменной террасы обоих берегов Яковки.

**È ñò í ðèý è çó÷åí è ý.** Впервые нижнетриасовые отложения под г. Рыбинском были обнаружены английским геологом Р.И. Мурчисоном во время путешествия по России в 1841 году, однако были отнесены им к пермской системе (Мурчисон и др., 1849). Местонахождение Тихвинское было открыто в двадцатые годы двадцатого века рыбинскими геологами В. К. Ливановым, А. И. Филипповым и И.В. Васильевым, которые первоначально также считали его возраст пермским (Филиппов, 1927; Васильев, 1927). В конце сороковых годов данное обнажение вновь было обследовано сотрудниками Ярославского государственного педагогического института им. К. Д. Ушинского В. А. Новским и А. Н. Ивановым, причём В. А. Новский впервые обнаружил здесь фрагмент черепа лабиринтодонта (Болотский, 1979). Впоследствии местонахождение Тихвинское стало местом геологических практик Ярославского пединститута, сбора ископаемых органических остатков и геолого-палеонтологических исследований сотрудников и студентов этого института. Благодаря усилиям А.Н. Иванова это уникальное обнажение впервые получило статус геологического памятника в 1966 году. С середины семидесятых годов местонахождение Тихвинское становится местом постоянных комплексных экспедиционных работ сотрудников различных лабораторий Палеонтологического института АН СССР (РАН), г. Москва. Данное местонахождение также изучали геологи и палеонтологи из других институтов Москвы, из Горького, Саратова, Ленинграда. По материалам из Тихвинского опубликовано несколько монографий и множество научных статей, посвященных его

геологическому строению, фауне и флоре. В настоящее время это местонахождение приобрело мировую известность, его посетили специалисты из Англии, США, Франции, Австралии, Китая, Южной Африки.

*Ааі ёі ае-дінегі а нө ді аі еә е пә даð еәдаð ёү.* На территории Восточно-Европейской платформы и, в частности, Московской синеклизы широко распространены отложения нижнего триаса, охарактеризованные остатками различных групп позвоночных. В раннетриасовой истории фауны позвоночных Восточной Европы выделяются шесть последовательных этапов, на основании чего здесь возможно выделение максимально дробных стратиграфических подразделений.

В Верхнем Поволжье, то есть в центральной и западной частях Московской синеклизы, распространены породы рыбинской свиты нижнего триаса. В её состав входят (снизу вверх) тутаевские, паршинские и черемухинские слои. Общая мощность рыбинской свиты по данным геолого-съёмочных исследований, достигает более 60 метров (тутаевских слоёв - 7-13 м, паршинских слоёв - 6-27 м, черемухинских слоёв - 32-34 м) (Строк, Горбаткина, 1974; Решение..., 1982; Сстрок и др., 1984).

В разрезе местонахождения Тихвинское у дер. Паршино на р. Волге представлены породы триасового и четвертичного возраста. Оно является типовым (опорным) обнажением паршинских слоёв. В строении разреза (в его верхней части) принимают участие черёмухинские слои. Это обнажение известно в научной литературе как местонахождение фауны и флоры "Тихвинское" (Ефремов, Вьюшков, 1955). По р. Яковке также обнажаются паршинские и черемухинские слои. Ниже приводится описание коренных отложений обоих разрезов.

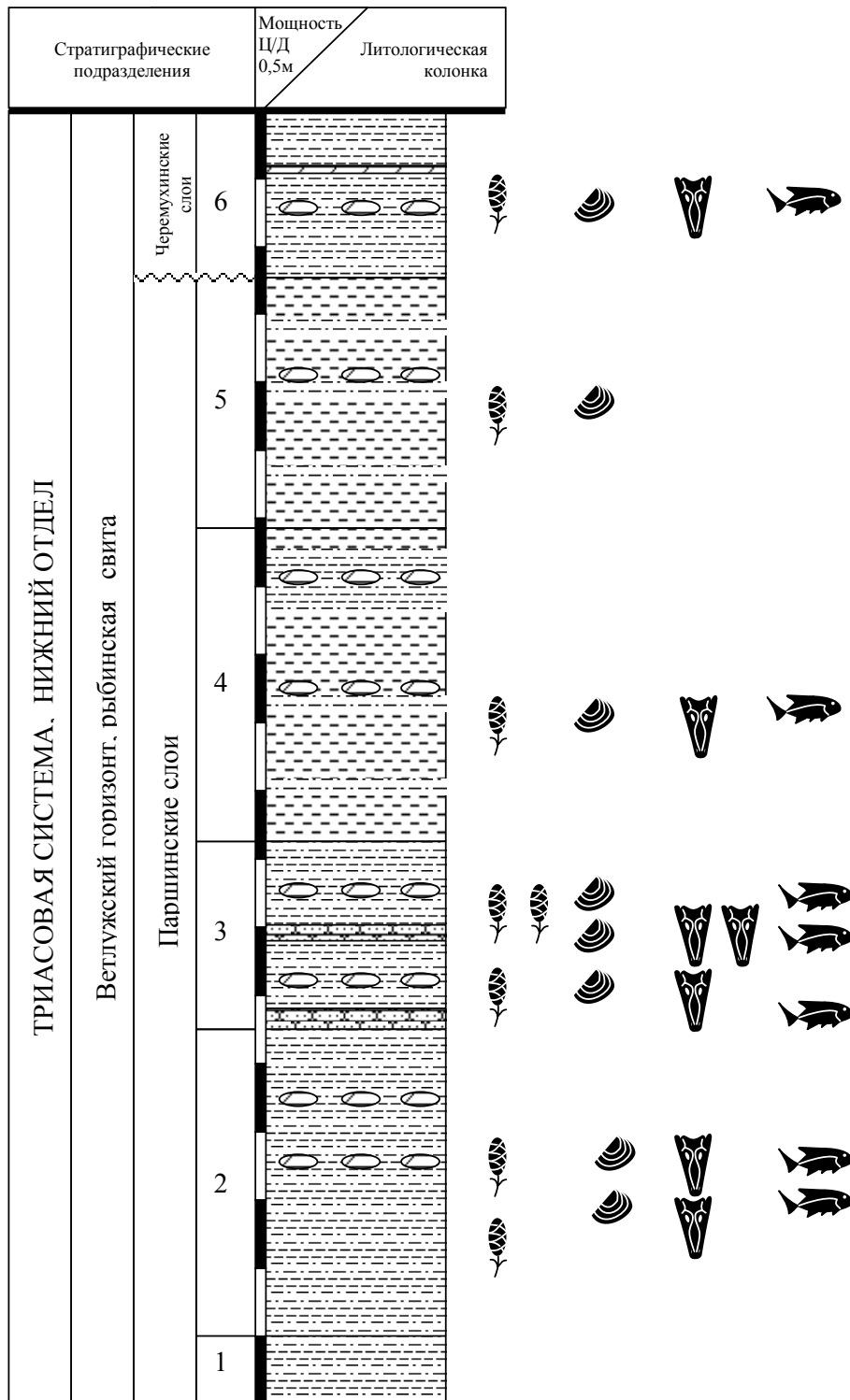
**I.** Геологический разрез у устья овр. Степана Разина у дер. Паршино (**ðеї. 6, 7; ðаáë. 3, 6 еә. 1, 2**), снизу вверх (составлен в 1977 году А. Г. Сенниковым и Н. И. Хамизури, с последующими дополнениями и изменениями).

**T<sub>1</sub> rb (ї аðø ёі ñêèå ñëїð)**

1. Глины красно-бурые и бурые, плотные, трещиноватые и алевриты зеленовато-серые, глинистые, переслаивающиеся, слойки мощностью 1-2 см, границы слойков нечёткие, местами с небольшими пятнами и карманами. Видимая мощность - около 0,5 м.

2. Глины плотные, серые, с голубоватым оттенком, с подчинёнными прослойками глинистых алевритов, мощность прослоев последних- до 5 - 7 см. Породы трещиноватые, плитчатые, слоистые, толщина прослоев (плиток) около 2-5 см. Прослои глин и алевритов с относительно ровными или волнистыми поверхностями напластования, часто не выдержаны (изменчивы) по простиранию. В целом заметен ритмический характер отложений - повторяются небольшие ритмы алеврит-глина. В слое горизонтально (послойно) расположены мергелистые (глинисто- и алевритисто-мергелистые) конкреции, имеющие округлые очертания - овальные, удлинённые, субтреугольные или более сложной формы, размером по длине, ширине и толщине до 50x30x10 см, причём более крупные конкреции - обычно более плоские. В слое найдены многочисленные остатки растений, филlopод, рыб и лабиринтодонтов, обычно изолированные, иногда образующие скопления. Черепа лабиринтодонтов и другие органические остатки часто заключены в мергелистые конкреции. Нижняя граница нечеткая, переход от нижележащего слоя постепенный. Мощность до 2, 2 м.

3. Глины, алевриты и песчаники сероцветные с зеленоватым оттенком. Все породы трещиноватые, по трещинам слабо ожелезнены. Прослои глин, алевритов и песчаников с относительно ровными или волнистыми поверхностями напластования, часто не выдержаны (изменчивы) по простиранию. В целом заметен ритмический характер отложений - повторяются небольшие ритмы песчаник-алеврит-глина или алеврит-глина. Глинистые алевриты образуют прослои до 5 - 7 см мощностью. Глины и алевриты плитчатые, слоистые, средняя толщина прослоев (плиток) около 2-5 см. Редко встречаются тонкие прослои (1-2 см) брекчированных глин (микротектоника). Песчаники тонкозернистые, рыхлые, алевритистые, с карбонатным цементом, прослои до 10 - 15 см мощностью, часто линзовидные, иногда в них заметна слабая косая слоистость (слойки 1-2 мм). В основании песчаных прослоев встречается мелкая галька и гравий сероцветных глин и карбонатных пород (серых мергелей и грязно-белых известковистых стяжений). Во всём слое горизонтально (послойно) располагаются мергелистые конкреции - глинисто-мергелистые и алевритисто-мергелистые, а также плотные мелкозернистые алевритистые песчаники с карбонатным цементом, по соответствующим прослойям, причём внутри конкреций сохраняется слоистость данного прослоя (как и в других слоях разреза). Помимо подобной слоистости, в конкрециях слоя 3 (как и в других слоях разреза) иногда заметна концентрическая структура (слоистость). Эти конкреции имеющие округлые очертания - овальные, удлинённые, субтреугольные или более сложной формы, размером по длине, ширине и толщине до 50x30x10 см, причём более крупные конкреции - обычно более плоские. В слое найдены многочисленные остатки животных и растений, обычно изолированные, иногда образующие скопления. Наряду с крупными остатками встречается большое количество чешуй, обломков костей и органического детрита, образующих в относительно грубозернистых прослоях линзы органической брекчии (конгломерата). В данном слое, как и в других слоях, органические остатки приурочены в большей степени к песчаникам и алевритам, чем к глинам. Черепа лабиринтодонтов и другие органические остатки часто заключены в мергелистые конкреции (**ðаáë. 4, 6 еә. 3**). Остатки растений замещены черным мягким углистым веществом, иногда слабо пиритизированы. Среди растительных остатков преобладают стволики плевромей, часто образующие ориентированные скопления. В массовом количестве встречаются филlopоды. Изредка встречаются остатки мечехвостов, насекомых и других беспозвоночных. Остатки рыб представлены чешуями, изолированными костями, зубами, реже нижними челюстями, фрагментами черепов и черепами. Остатки лабиринтодонтов представлены черепами, фрагментами черепов, нижними



**Рис. 6.** Геологический разрез у д. Паршино ГПП «Тихвинское». Литологические и другие обозначения см. на рис. 3.

челюстями, реже костями посткраиального скелета (посткраиальных остатков непропорционально мало). Сочленённых остатков позвоночных нет, как и в других слоях. На нижней поверхности мергелистых или песчаниковых плиток встречаются углубления (удлинённые или более сложные), вероятно, следы ползания донных организмов, значительно реже полигональные выступающие структуры (трещины усыхания) (так же, как и в слоях 2 и 4). Нижняя граница нечеткая, переход от нижележащего слоя постепенный. Мощность до 1,4 м.

4. Глины серые, с зеленоватым оттенком, с прослойми алевритов (до 7 см мощностью), количество и мощность которых уменьшается снизу вверх по слою. Глины и алевриты плитчатые, слоистые, средняя толщина прослоев (плиток) около 2-5 см, поверхности напластования слегка пологоволнистые, трещиноватые. Слой имеет местами буроватую окраску за счет ожелезнения по трещинам. В целом заметен ритмический характер отложений - повторяются небольшие ритмы алеврит-глина. Характерны пропластки

**Рис. 7.** Геологический разрез у д. Паршино ГПП «Тихвинское» по наблюдениям 2001 г. (составлено Д. Н. Киселевым). Нумерация слоев приведена в соответствие с описанием разреза в тексте и на рис. 8а. При сравнении рис. 8а и 8б наблюдаются отличия в мощности отдельных слоев и их литологических особенностях. Эти отличия объясняются линзующимся характером большинства слоев и латеральным изменением их породного состава. В особенности это характерно для песчанисто-алевритистых прослоев, часто выклинивающихся на расстоянии ближайших метров. Литологические и другие обозначения см. на рис. 3.

(до 5 см) брекчированной перетёртой глины (микротектоника). В слое горизонтально (послойно) располагаются мергелистые (глинисто- и алевритисто-мергелистые) конкреции, имеющие округлые очертания - овальные, удлинённые, субтреугольные. Количество конкреций и их размер (по длине, ширине и толщине до 40 на 20 на 7 см) несколько меньше, чем в слоях 2 и 3. В слое встречаются остатки растений, филлопод, рыб и лабиринтодонтов, обычно изолированные. Нижняя граница нечеткая, переход от нижележащего слоя постепенный. Мощность до 2,3 м.

5. Глины и алевриты серые и зеленовато-серые, известковистые, тонкослоистые, трещиноватые, плитчатые (**ðàáë. 4, ðèä. 1**). Средняя толщина прослоев (плиток) около 0,5-5 см. Поверхности напластования слегка пологоволнистые. Слой имеет во многих местах буроватую окраску за счет ожелезнения по трещинам. Прослои глин часто тонкополосчатые - буроватые, тёмно- и светлосерые полоски (слойки) толщиной в несколько миллиметров. Ритмичность в данном слое также заметна. Мергелистые конкреции расположены послойно, относительно небольшие (по длине, ширине и толщине до 40 на 20 на 7 см), сильно карбонатизированы - с концентрическими грязно-белыми известковыми корочками и уплотнением в центре. В слое встречены редкие остатки остракод, насекомых и органический детрит. Нижняя граница нечеткая, переход от нижележащего слоя постепенный. Мощность до 1,9 м.

#### Т<sub>1</sub> rb (÷âð, ï óðèí ñèå ñéî è)

6. Глины и алевриты блеклые пестроцветные - от голубовато-серых до розоватых и кирпично-красных, известковистые, плитчатые, слоистые, средняя толщина прослоев (плиток) около 2-5 см, поверхности напластования слегка пологоволнистые, трещиноватые (**ðàáë. 4, ðèä. 2**). Заметна ритмичность отложений - алеврит-глина. Мергелистые конкреции и пропластики сильно известковистые, расположены послойно в глинах и алевритах, также имеют пестроцветную окраску - от голубоватых до кирпично-красных, иногда их красноцветность уменьшается от поверхности внутрь конкреции или пропластика. Органические остатки редки, изолированы, разрознены, принадлежат в основном позвоночным и филлоподам. На нижней поверхности мергелистых плиток встречаются полигональные выступающие структуры (трещины усыхания) и другие углубления (удлинённые или более сложные), вероятно, следы ползания донных организмов. Нижняя граница неровная. Видимая мощность - около 1 м.

Замечания. Слои 1 и 2 обнажаются на пляже при низкой воде, слои 3 и выше - в обрыве в основании коренного берега.

На пляже местами встречаются обломки и глыбы из пластов зеленовато-серых оолитовых известняков (вероятно, из вышележащих слоев) с редкими окатанными органическими остатками. На нижней поверхности мергелистых плиток и глыб оолитового известняка заметны полигональные выступающие структуры (трещины высыхания) и другие углубления (удлинённые или более сложные), вероятно, следы ползания донных организмов.

В четвертичных моренных суглинках, перекрывающих триасовые отложения, часто встречаются валуны, примазки, перемятые фрагменты слоев и изредка отторженцы (размером до нескольких метров) нижнетриасовых и верхнеюрских пород. Также нередки валуны и глыбы каменноугольных известняков. Валуны, глыбы и отторженцы этих пород нередко содержат органические остатки. Вымываемые из морены крупные валуны кристаллических пород образуют на пляже и в оврагах живописные группы, скопления и гряды. Иногда встречаются глыбы розоватых протерозийских кварцитов с волноприбойными знаками по поверхностям напластования. На участке оползневого берега у сёл Красное и Тихвинское местами можно наблюдать современные торфяники и известковые туфы. К интересным гидрогеологическим явлениям относятся выходы грунтовых вод и родники с чистой питьевой водой. Изредка на пляже (бечевнике) встречаются орудия древнего человека.

**II.** Сводный геологический разрез по р. Яковке (правый приток р. Волги) (**ðèñ. 8**), снизу вверх (составлен в 1977 году А. Г. Сенниковым и Н. И. Хамизури, с последующими дополнениями и изменениями). По руслу и берегам р. Яковки почти от устья на протяжении около 2 км можно наблюдать ряд небольших изолированных обнажений нижнетриасовых пород (**ðàáë. 3, ðèä. 5**), по описанию которых составлен сводный разрез. Эти обнажения достаточно непостоянны в связи с изменениями берегов при ежегодном их подмыве.

#### Т<sub>1</sub> rb (ï àðø èí ñèå ñéî è)

1. Глины голубовато-серые, с прослойями зелено-серого алеврита. Глины и алевриты плитчатые, слоистые, средняя толщина прослоев (плиток) около 3-7 см, поверхности напластования слегка пологоволнистые, трещиноватые, с линзовидными прослойями зелено-серого рыхлого тонкозернистого песчаника (до 15 см мощностью). В целом заметен ритмический характер отложений - повторяются небольшие ритмы песчаник-алеврит-глина или алеврит-глина. В слое горизонтально (послойно) расположены мергелистые конкреции, имеющие округлые очертания - овальные, удлинённые, субтреугольные или более сложной формы, размером по длине, ширине и толщине до 50 на 30 на 10 см. В слое найдены изолированные остатки растений, филлопод, рыб и лабиринтодонтов, обычно в песчанистых

и алевритистых прослоях и в конкрециях. В верхней части слоя слоистость становится более тонкой. Видимая мощность - около 3,0 м.

Выше - перерыв в обнаженности.

#### T<sub>1</sub> rb (÷àáë. 1 óðèéí ñéèå ñéíè)

2. Глины и алевриты блеклые пестроцветные - от голубовато- и зеленовато-серых до розоватых, кирпично-красных или красно-коричневых и бурых, известковистые, плитчатые, слоистые, средняя толщина прослоев (плиток) около 2-5 см, поверхности напластования слегка пологоволнистые, трещиноватые. Заметна ритмичность отложений - алеврит-глина. Мергелистые конкреции и пропластки расположены послойно в глинах и алевритах, также имеют пестроцветную окраску - от голубоватых до кирпично-красных, иногда их красноцветность уменьшается от поверхности внутрь конкреций или пропластка. На нижней поверхности мергелистых плиток встречаются полигональные выступающие структуры (трещины усыхания), реже - другие углубления (удлинённые или более сложные), вероятно, следы ползания донных организмов. Органические остатки очень редки, принадлежат в основном филлоподам. Видимая мощность - около 1,0 м.

Выше - перерыв в обнаженности.

3. Глины и алевриты пестроцветные - преимущественно кирпично-красные и розовые, с сиреневыми, светло-фиолетовыми, голубовато- и зеленовато-серыми прослоями, известковистые, плитчатые, слоистые, средняя толщина прослоев (плиток) около 2-5 см, поверхности напластования слегка пологоволнистые, трещиноватые. Заметна ритмичность отложений - алеврит-глина. В слое наблюдаются мергелистые конкреции, расположенные послойно, тонкие (до 5-7 см) прослои мергеля и линзы тонкозернистого известковистого песчаника (до 10-15 см) и оолитового известняка, также имеющие пестроцветную окраску. На нижней поверхности мергелистых плиток, плиток известковистого песчаника и прослоев оолитового известняка встречаются полигональные выступающие структуры (трещины усыхания) и другие углубления (удлинённые или более сложные), вероятно, следы ползания донных организмов. Органические остатки очень редки, принадлежат в основном филлоподам. Видимая мощность - около 3,3 м.

*Замечания.* Слой 1 разреза на р. Яковке можно сопоставить со слоями 3 - 4 разреза у дер. Паршино, слой 2 - со слоем 6.

Крупные валуны кристаллических пород, вымываемые из четвертичных моренных отложений, образуют в русле р. Яковки живописные скопления и гряды.

*Ôàóí à è ô ëî ðà.* Из местонахождения известны находки позвоночных (тетраподы, рыбы), беспозвоночных (членистоногие, моллюски) и растений.

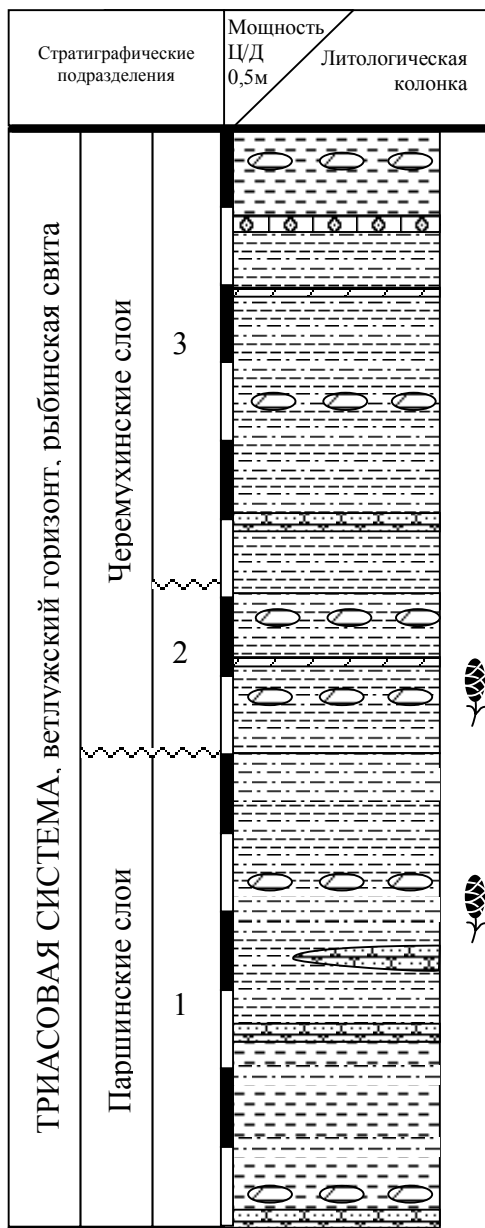
*Тетраподы.* Комплекс тетрапод включает лабиринтодонтов (трематозавриды *Thoosuchus yakovlevi* (Riabinin) (÷àáë. 7, ô èä. 1-3; ÷àáë. 5, ô èä. 3), *Benthosuchus korobkovi* Ivachnenko (÷àáë. 6, ô èä. 1, 2; ÷àáë. 5, ô èä. 2) и капитозаврид (÷àáë. 4, ô èä. 4; ÷àáë. 5, ô èä. 4) *Wetlugasaurus angustifrons* Riabinin) и текодонта (÷àáë. 7, ô èä. 4-6; ÷àáë. 5, ô èä. 5) *Chasmatosuchus rossicus* Huene (Сенников, 1995; Новиков, Сенников, 1996; Новиков, 2000). Эта ассоциация является типичной для группировки *Benthosuchus-Thoosuchus* фауны *Wetlugasaurus*, характеризующей рыбинский горизонт (нижеоленекский подъярус) нижнего триаса Восточно-Европейской платформы и Западного Приуралья.

*Рыбы.* Ихтиокомплекс состоит из двоякодышащих (*Gnathorhiza triassica triassica* Minich, *G. lozovskii* Minich, *G. otschevi* Minich), лучеперых - хрящевых ганоидов (*Saurichthys obrutchevi* A. Minich, *S. proximus* A. Minich, *S. tertius* A. Minich, *S. eximius* A. Minich (÷àáë. 8, ô èä. 1-4)), палеоников (÷àáë. 6, ô èä. 3, 4) (*Pteronisculus* sp., *Boreosomus* (?) sp., *Birgeria* (?) sp.), акул (*Hybodus spasskiensis* A. Minich, *Lissodus* sp. ÷àáë. 8, ô èä. 5) и химер (неопределенные брахиодонты) (Новиков, Сенников, 1996; Новиков 2000; Миних, 1977; Миних, 1981, 1982; Миних, Миних, 1998).

*Членистоногие* представлены насекомыми, хелицеровыми (мечехвост *Limulitella volgensis* Ропотаренко (Пономаренко, 1985) (÷àáë. 9, ô èä. 2) и ракообразными (филлоподы (÷àáë. 9, ô èä. 3-5) и остракоды). Насекомые включают прямокрылых семейства Elcanidae, гриллоблаттид *Tomia sennikovi* Aristov, 2003 (Аристов, 2003) (÷àáë. 9, ô èä. 1) и не определимых жуков (Coleoptera) и тараканов (Blattodea) (ср. Новиков, Сенников, 1996). Комплекс насекомых из местонахождения представляет особый интерес, т. к. нижнетриасовые местонахождения насекомых крайне редки как в России, так и во всем мире, а раннетриасовый этап - практически "белое пятно" в их эволюции. Среди многочисленных филлопод определены *Pseudestheria rybinskensis* Novoj., *P. kashirtzevi* Novoj., *Cyclotungusites gutta* Lutk., *C. gazimuri* Novoj., *Notocrypta begitchevi* Novoj., *Estheriina aequalis* Lutk., *Lioestheria quellaensis* Novoj. и *L. jaroslavensis* Novoj. Комплекс остракод включает: *Kostromella salubris* Misch., *K. aspera* Misch., *Marginella granuliformis* Misch., *M. necessaria* Misch., *Nerechtina plana* Misch., *N. cordata* Misch., *Darwinula activa* Starozh., *D. regia* Misch., *D. postparallelia* Misch. и *D. temporalis* Misch. (Миних, 1984; Строк и др., 1984; Миних, Миних, 1998).

Неопределенные раковины моллюсков (гастропод, ÷àáë. 9, ô èä. 7) известны из местонахождения в оолитовых известняках черёмухинского возраста (Блом, 1972).

*Растения.* Из высших растений в местонахождении преобладает один вид плауновидных - *Pleuromeia rossica* Neub. (Нейбург, 1960; Добрускина, 1982) (÷àáë. 10, ô èä. 1-3), редко встречаются хвоши рода *Equisetites*, а также неопределенные листья (Миних, 1984). Отмечено присутствие золотистых водорослей - кокколитофорид (Миних, Миних, 1998). Г. И. Блом (1972) указывает на присутствие прослоев оолитово-водорослевых известняков. Выделенный палинокомплекс характеризуется бедным



**Рис. 8.** Геологический разрез по р. Яковке ГПП «Тихвинское». Литологические и другие обозначения см. на рис. 3.

таксономическим составом, доминированием спор плауновидных и субдоминантной ролью пыльцы гинкгоциадофитов (Арефьев, Шелехова, 1991).

Основные из собранных на местонахождении коллекций хранятся в Палеонтологическом и Геологическом институтах РАН, Москва, Саратовском государственном университете им. Н. Г. Чернышевского и Ярославском государственном педагогическом университете им. К. Д. Ушинского, Ярославском и Рыбинском музеях-заповедниках.

**Даёйи и ёй.** Местонахождение относится к прибрежноозерному тафономическому типу (Миних, 1984; Блом, 1972). Этот вывод обоснован как литологическими особенностями вмещающих отложений (см. разрез), так и составом известного отсюда орнитоценоза. Так, подавляющее число органических остатков принадлежит животным и растениям водного (озерного) сообщества, обитавшим в воде или на мелководьях и отмелях. Компоненты наземного сообщества (текодонты, насекомые) весьма редки.

Материал по наземным позвоночным приурочен в основном к мергелистым конкрециям (реже – глинам) и представлен черепами, нижними челюстями, разрозненными костями и зубами, не несущими, как правило, следов окатанности. Следует

отметить, что обнаруженные “*in situ*” черепа лабиринтодонтов обращены крышей вверх (далее. 4, бёа. 3).

Очевидно, что органические остатки подвергались достаточно длительной мацерации на дне водоема и захоронялись тут же без длительного переноса. Отмечены случаи скоплений мелких костей тетрапод и рыб в алевритистых и песчаных линзообразных прослоях, слагающих порой “костный конгломерат” и образовавшихся, по-видимому, в прибрежной волноприбойной зоне крупного водоема. Такие изолированные кости иногда несут следы окатанности разной степени. Судя по накопленному определимому материалу (черепам), в орнитоценозе среди тетрапод преобладают тоозухи. Остатки бентозухов встречаются в три раза реже, а ветлугазавров – вообще единичны, что, вероятно, отражает соотношение этих родов лабиринтодонтов и в палеобиоценозе. Резкое преобладание остатков активных и быстрых рыбоядных тритоматозаврид (тоозухин) также косвенно может свидетельствовать об образовании местонахождения в крупном бассейне (Паршинском озере).

Среди остатков рыб наиболее полный скелетный материал отнесен для лучеперых - заурихтид. Он представлен черепами (и их фрагментами), костями плечевого пояса и жаберного аппарата, челюстями, реже – чешуей и отдельными зубами (далее. 8, бёа. 1-4). Остатки двоякодышащих (зубные пластинки) нередко сочленены с верхне- и нижнечелюстными костями. Материал по хрящевым рыбам представлен изолированными зубами (акулы), плавниковыми шипами (акулы) и кожными бляшками (химеры). Палеономики определены по челюстям и единичным черепам. Массовые скопления костей рыб приурочены в основном к упомянутым выше песчано-алевритистым линзовидным прослоям. Черепа заурихтидов совместно с костями и чешуями других рыб, остатками тетрапод и растений нередко встречаются в мергелистых конкрециях (Миних, Миних, 1998). Раковины брюхоногих моллюсков обнаружены в оолитовых известняках (Блом, 1972). Остатки филлопод (объемные отпечатки раковин) встречаются в рассеянном виде в алевритистых и песчаных линзовидных прослоях. Значительные скопления раковин часто наблюдаются в мергелистых конкрециях. Такая концентрация остатков филлопод, по мнению А. В. Миних

(1984), является результатом пересыхания небольших остаточных луж, западин в рельефе дна, образовавшихся при отступлении береговой линии водоема. Раковины остракод встречены в алеврито-песчаных прослоях, тонко расслоенных глинами (Миних, 1984). Редкие находки насекомых (надкрылья, фрагменты крыльев) и отпечатки хелицеровых приурочены к глинистым прослойям и мергелистым конкрециям.

Многочисленные остатки плевромей (стебли, иногда с листьями, стробилами и ризофорами, отдельные спорангии и мегаспоры (**ðàáë. 10, ð è ä. 1-4**)) отмечаются во всех литологических разностях, порой образуя значительные скопления с одинаковой ориентировкой длинных осей, отвечающей, вероятно, направлению береговой линии. Такие скопления, как правило, покрывают поверхность глин или залегают в песчано-алевритовых разностях и встречаются на разных уровнях разреза (Миних, 1984). Следует отметить, что находки плевромей в других районах земного шара (Прикаспий, Западная Европа, Дарваз, Приморье) приурочены к прибрежно-морским и морским отложениям.

Разрозненность, изолированность, часто фрагментарность, изредка окатанность органических остатков, отсутствие сочленённых скелетов позвоночных и сильная сортированность их остатков говорит о существенной мацерации умерших организмов и их частей перед захоронением. О том, что остатки позвоночных захоранивались в донных осадках после практически полного разложения мягких тканей, свидетельствует нахождение внутри черепов лабиринтодонтов изолированных костей рыб и лабиринтодонтов, остатков беспозвоночных и растений. Остатки различных групп организмов встречаются местами изолированно или однородными скоплениями (черепа лабиринтодонтов, рыб, мечехвосты, раковины филлопод, чешуя рыб, стволики плевромей и т.д.), но часто и совместно - в одном прослое или линзе. Встречаются скопления органических остатков, образовывавшиеся, вероятно, в депрессиях дна, где перемешаны органический детрит, остатки растений, филлопод, рыб и лабиринтодонтов различного размера, полноты и сохранности.

По многочисленности, сохранности и разнообразию остатков всех групп организмов паршинские слои повсеместно существенно богаче черёмухинских. Кроме того, в черёмухинских слоях гораздо меньше полных крупных окаменелостей (например, черепов) и преобладает фрагментарный материал, часто окатанный, а также органический детрит (особенно в оолитовых известняках).

Состав ихтиокомплекса (в первую очередь присутствие брадиодонтов) и ассоциации остракод, находки кокколитофорид и плевромей, также как и особенности литологического строения разреза (наличие прослоев оолитовых известняков, многочисленных мергелистых конкреций и зерен глауконита) указывают на солоноватоводный характер Паршинского озера.

В местонахождении встречены следы жизнедеятельности, в частности, копролиты, возможно, принадлежащие рыбам (Миних, 1984). На нижней поверхности мергелистых плиток или плиток известковистых песчаников в паршинских слоях и прослоев оолитовых известняков в черёмухинских слоях встречаются следы ползания донных организмов и (реже) трещины усыхания.

**Ї ðëåî ãåî ãðàô è ÿ è ôñëî ñèëü î áðàçî ãâí è ÿ.** В течение образования рыбинской свиты (рыбинское время раннего триаса) территория центральной и западной частей Московской синеклизы (включая Ярославское Поволжье) была покрыта обширным мелководным солоноватоводным бассейном, имевшем на западе сообщение с морем (Палеобалтика) (Строк, Горбаткина, 1976; Лозовский, 1987).

В раннерыбинское (туаевское) время на территории Ярославского Поволжья в условиях мелководного бассейна шло накопление глинистых илов с частыми маломощными прослойями песков. Неоднократно эта территория подвергалась осушению, на что указывает наличие трещин усыхания на поверхности глин. В середине раннерыбинского времени здесь несколько раз возникали застойные озера, где обитали солоноватоводные остракоды и произрастали (по берегам и на отмелях) плевромей. В конце туаевского времени вся территория была выведена из области аккумуляции, происходило образование погребенных почв (Строк, Горбаткина, 1976).

В середине рыбинского времени (паршинское время) вся территория Ярославского Поволжья вновь покрывается мелководным бассейном (Паршинское озеро) (Блом, 1972), среди фаций которого начинают преобладать фации застойной зоны бассейна (сероцветные глины и алевролиты). Многочисленные плевромей образовывали заросли типа маршей на огромных участках побережий (**ðàáë. 5, ð è ä. 1**). М.Ф.Нейбург (1960) полагала, что плевромея была типичным галофитом - растением, произраставшим в условиях достаточно жаркого климата по берегам озёр или лагун и заливов на солонцовой почве. Солоноватые воды Паршинского озера были населены многочисленными рыбами (двойкодышащие, палеониски, лучеперые, акулы, химеры), на которых охотились лабиринтодонты. Среди последних преобладали быстрые и юркие третматозавроиды (тооухи и бентоухи). Донное сообщество озера включало брюхоногих моллюсков и членистоногих (хелицеровые, филлоподы, остракоды). Сведения о биоценозе водораздельных пространств ограничиваются скучными данными по насекомым (жуки, гриллоблатиды, тараканы, прямокрылые) и текодонтам (Сенников, 1995; Новиков, Сенников, 1996; Новиков, 2000).

Присутствие в паршинских глинах минерала каолинита позволяет говорить о теплом и влажном климате среднерыбинского времени (Миних, 1984). Ритмичность отложений, хотя и не очень чёткая и закономерная, может быть обусловлена колебанием количества приносимой в озеро воды, интенсивности её течения и, соответственно, изменением зернистости приносимого и осаждаемого осадочного материала. Мелкое переслаивание глин, алевритов или иных пород может указывать на сезонные климатические изменения (Блом, 1972). В разрезе у дер. Паршино отмечены даже косослоистые песчаные прослои, что указывает на наличие локальных участков водоёма с интенсивным течением. В то же время закономерная ориентация и совместная аккумуляция органических остатков говорит о волнении воды на мелководных

прибрежных участках (Миних, 1984). Относительно мелкую субпараллельную волнистость, наблюдалась иногда на поверхностях напластования, вероятно, также можно интерпретировать как волноприбойные знаки ряби на прибрежном мелководье. Для паршинских слоёв характерна редкость прослоёв с трещинами усыхания, сероцветность и отсутствие прослоёв оолитовых известняков, что можно рассматривать как признаки достаточно стабильного, постоянного режима субаквального осадконакопления (Блом, 1972). На основании всех этих данных в паршинское время реконструируется обширный слабо солоноватоводный или почти опреснённый бассейн с жесткой водой, состоящий из системы соединяющихся протоками мелководных водоёмов и илистых отмелей. Судя по огромному количеству и разнообразию органических остатков, условия для существования и расцвета озёрного сообщества в этом регионе были максимально благоприятны именно в паршинское время.

В позднерыбинское (черемухинское) время палеогеографическая обстановка на территории Ярославского Поволжья почти не изменилась, в то время как границы солоноватоводного бассейна еще дальше отодвинулись на восток. Повсеместно накапливались глинистые илы. Одной из отличительных особенностей черемухинских слоев является наличие в разрезе прослоев мергелей и оолитовых или органогенно-обломочных известняков, накапливающихся на мелководье теплых солоноватоводных водоёмов в зоне интенсивного движения воды (волнения) (Блом, 1972; Строк и др., 1984). Для черемухинских слоёв характерны многочисленные трещины усыхания по поверхностям напластования, редкие в паршинских слоях, что также свидетельствует о мелководности и частом пересыхании отдельных участков водоёма. Среди остракод стали резко преобладать солоноватоводные остракоды – ципридиты и цитериды. Отмечено появление двустворок - бакевиллий, широко распространенных в морских отложениях Прикаспия. Все это свидетельствует о значительном повышении солености этого обширного бассейна, его обмелении, распадении на ряд отдельных непостоянных водоёмов, периодически пересыхавших и вновь возникавших (Строк, Горбаткина, 1976). Однако ископаемые почвы в черемухинских слоях не обнаружены, то есть пересыхание этих водоёмов было кратковременным. Редкость и меньшее разнообразие органических остатков указывают на угнетение и обеднение озёрного сообщества в это время, меньшую благоприятность условий существования для фауны и флоры.

Таким образом, Паршинский озёрный бассейн прошёл три последовательные стадии своего развития (туаевскую, паршинскую и черёмухинскую), причём в паршинское время этот бассейн имел наиболее устойчивый режим, максимум обводненности и опреснения, и его биота достигла максимума богатства, разнообразия и многочисленности.

Основным поставщиком обломочного материала в рыбинское время были растущие Уральские горы, т.к. на востоке бассейна среди прозрачных минералов тяжелой фракции преобладающими являются эпидот и цоизит, а паммитовые породы повсеместно полимиктовые. Вместе с тем, начинает сказываться влияние Балтийской питающей провинции. Так, в западных районах развития рыбинских отложений (например, в Ярославском Поволжье) содержание эпидота в тяжелой фракции сокращается, а граната и циркона увеличивается (Строк, Горбаткина, 1976).

*Ñî ñò i ÿí èå i ài ýò i èéà è åäà èçì áí áí èý.* Обнажение постоянно размывается р. Волгой, коренной берег при этом постепенно отступает (с 1977 до 2001 года всего примерно на 1-2 метра, местами более), что особенно заметно в устьях оврагов. Динамика размыва такова, что максимум обнаженности нижнетриасовых отложений по пляжу (бечевнику) и в коренном берегу был в шестидесятые и семидесятые годы двадцатого века. В настоящее же время обнаженность ухудшается, размыв ослабевает, берег и верхняя часть пляжа (бечевника) начинает зарастать травянистой и кустарниковой растительностью. Повсеместно по коренному берегу сходят оползни, включая крупные блоки с древесной растительностью, и происходят съёмы (**ðàáë. 3, ôèä. 2**). Пляж покрывается современными речными наносами и породами, выносимыми из оползней и съёпов коренного берега. Такие естественные изменения связаны, очевидно, с изменениями гидрологического режима р. Волги на данном участке, вызванного постройкой Рыбинского, а затем Горьковского водохранилищ.

С конца восьмидесятых годов двадцатого века обнажение у дер. Паршино в значительной степени варварски разрушается несанкционированными браконьерскими (коммерческими) и любительскими раскопками, засыпается отвалами, способствуя образованию съёпов и оползней. При относительно небольших размерах обнажения подобное антропогенное воздействие по разрушительным последствиям становится сравнимым с естественными процессами изменения обнаженности.

**Çà-áí èå i ài ýò i èéà i ðèðí äí ðèðâèí ñêí á.** Памятник природы Тихвинское имеет огромное научное, культурно-просветительское и рекреационное значение (Сенников, 1991, 1996).

В первую очередь, следует отметить научное значение этого уникального местонахождения раннетриасовой фауны и флоры, содержащего необычно полный комплекс остатков организмов озёрного сообщества, разрез которого имеет эталонное значение для стратиграфии континентального триаса Европейской России.

Памятник природы Тихвинское имеет также большое научно-просветительское значение - он описан в ряде научно-популярных публикаций, представлен в музеиных экспозициях Москвы, Ярославля, Рыбинска, Нижнего Новгорода и других городов, а также на передвижных палеонтологических выставках Палеонтологического института РАН. Территория памятника является местом проведения геологических практик Ярославского пединститута, Московского государственного университета, других вузов, а также школьных экскурсий.

Живописный берег Волги от с. Красное до устья р. Яковки является одним из основных мест отдыха жителей г. Рыбинска. Долина р. Волги на этом участке представляет собой уникальный природный и историко-архитектурный комплекс, неповторимый культурно-природный ландшафт, имеющий общероссийскую ценность - геолого-палеонтологический памятник природы Тихвинское и примыкающие к нему парк усадьбы с. Тихвинское, берёзовая роща с. Красное, парк с. Красное, ряд памятников архитектуры восемнадцатого - девятнадцатого веков и типичной деревенской застройки в сёлах Тихвинское, Красное и других.

**Дâѣ i ái äöâi û é ðâæ è i è ði i è üçi âáí è ý è i ððâá û.** Необходимо соблюдение режима ГПП “Тихвинское” и проведение охранных мероприятий в соответствии со статусом ГПП, с требованиями законодательства России и постановлениями администрации, Губернатора Ярославской области и администрации г.Рыбинска и Рыбинского района.

Следует ввести запрет на аренду, продажу и приватизацию земли, несанкционированную строительную и иную хозяйственную деятельность на территории ГПП “Тихвинское”, запрет на несанкционированные раскопки и сборы ископаемых на территории ГПП “Тихвинское”.

Необходимо проведение специалистами на территории памятника регулярных научных наблюдений, научно-исследовательских работ и сборов ископаемых (с ограниченными раскопками на разрушаемых размывом участках берега) для научных и музейно-экспозиционных целей.

Необходимо проведение под контролем специалистов на территории памятника студенческих практик, школьных и иных экскурсий с ограниченным поверхностным сбором ископаемых для учебно-просветительских целей, обеспечение строгого учёта, сохранности (надлежащих условий хранения) всего собранного ископаемого материала, а также доступности его для научного изучения.

Объяснение к таблицам. ГПП «Тихвинское»

Таблица 3

- Ôèä. 1.** Общий вид обнажения триасовых отложений у дер. Паршино на р. Волге в 1990-е годы (фото И. В. Новикова, А. Г. Сенникова). Большая часть стенки разреза обнажена.

**Ôèä. 2.** Общий вид обнажения у дер. Паршино на р. Волге в 2002 г. Разрез почти на всем протяжении закрыт оползнями и оплывинами. В средней части обнажения сделана расчистка, вскрывающая серые глины паршинских и черемховских слоев.

**Ôèä. 3.** Бечевник правого берега Волги, покрытый триасовой мергельной галькой севернее оврага Степана Разина. Такая обнаженность берега наблюдается только в выходные дни, когда Рыбинская плотина останавливает спуск воды. Снимок 2001 г.

**Ôèä. 4.** Мергельная «мостовая», показанная крупным планом. В центре, среди серой и розовой мергельной гальки, виден окатанный обломок черепа небольшого капитозавроидного лабиринтодонта рода *Thoosuchus*.

**Ôèä. 5.** Обнажение триасовых слоев в берегах устья р. Яковки. Снимок 2002 г.

Таблица 4

- Оèä. 1.** Отложения паршинских и черемховских слоев, обнаженных расчисткой 2001 г. Паршинские слои отличаются выраженной серой окраской и расположены ниже.

**Оèä. 2.** Пестроцветные отложения черемховских слоев, показанные крупным планом. В их основании наблюдается прослойка, переполненная ганондной чешуей и скелетными остатками рыб.

**Оèä. 3.** Череп трекматозавроидного лабиринтодонта *Benthosuchus korobkovi* Ivachnenko, залегающий “*in situ*” в мергелистой конкреции в слое алеврита (паршинские слои у дер. Паршино) (фото И. В. Новикова, А. Г. Сенникова).

**Оèä. 4.** Череп капитозавроидного лабиринтодонта *Wetlugasaurus angustifrons* Riabinin, вид сверху (местонахождение Тихвинское). Из коллекции Палеонтологический института (фото И. В. Новикова, А. Г. Сенникова).

Таблица 5

- Ôèä. 1.** Реконструкция раннетриасового озёрного ландшафта в окрестностях Рыбинска с третмозавроидными лабиринтодонтами бентозухами (*Benthosuchus korobkovi* Ivachnenko) и зарослями плауновидного растения плевромея (*Pleuromeia rossica* Neub.).

**Ôèä. 2.** Реконструкция третмозавроидных лабиринтодонтов бентозухов (*Benthosuchus korobkovi* Ivachnenko).

**Ôèä. 3.** Реконструкция третмозавроидных лабиринтодонтов тоозухов (*Thoosuchus yakovlevi* (Riabinin)), на заднем плане рыбы - хрящевые ганоиды заврихтисы и двоякодышащие гнаторизы.

**Ôèä. 4.** Реконструкция капитозавроидного лабиринтодонта ветлугазавра (*Wetlugasaurus angustifrons* Riabinin).

**Ôèä. 5.** Реконструкция протерозухидного текодонта хасматозуха (*Chasmatosuchus rossicus* Huene).

Все изображения предоставлены И. В. Новиковым А. Г. Сенниковым.

Таблица 6

- Одн. 1, 2.** Череп третиавройдного лабиринтодонта *Benthosuchus korobkovi* Ivachnenko, фиг. 1 - вид сверху, фиг. 2 - вид снизу (местонахождение Тихвинское). Из коллекции ГМ им. А. Н. Иванова (ЯГПУ). Уменьшено ( $\times 0.74$ ).

Таблица 3

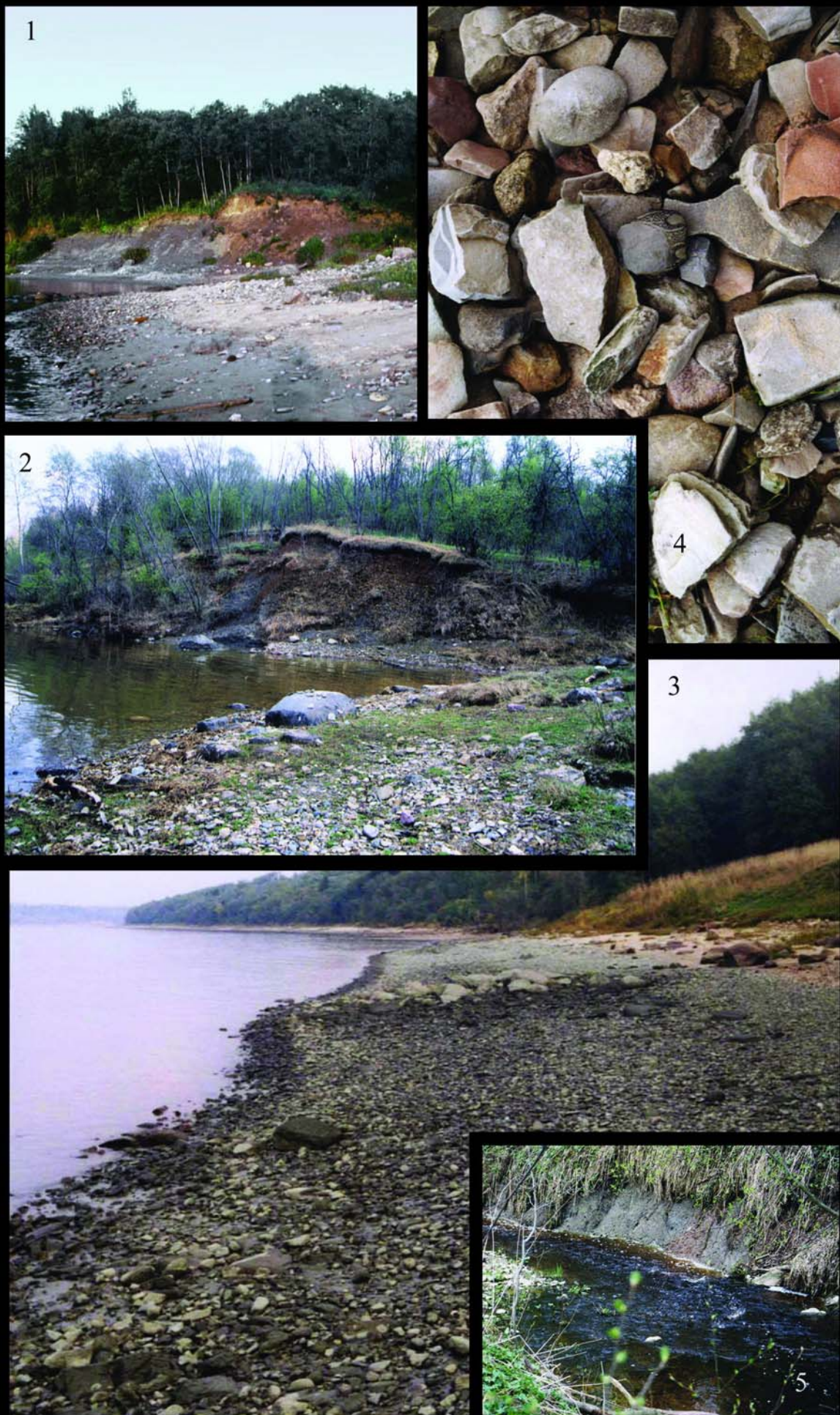


Таблица 4



4

Таблица 5

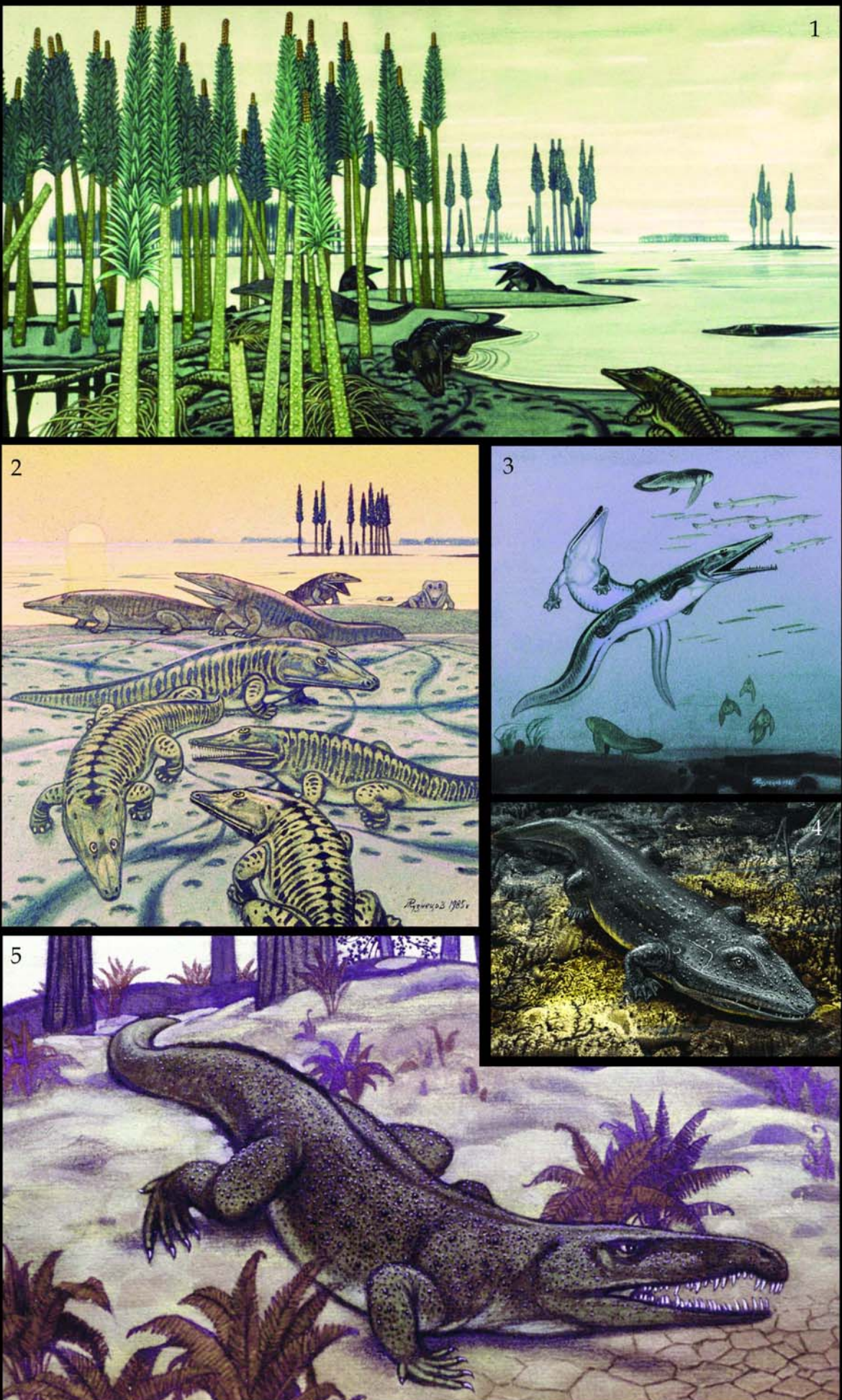


Таблица 6



Таблица 7



Таблица 8

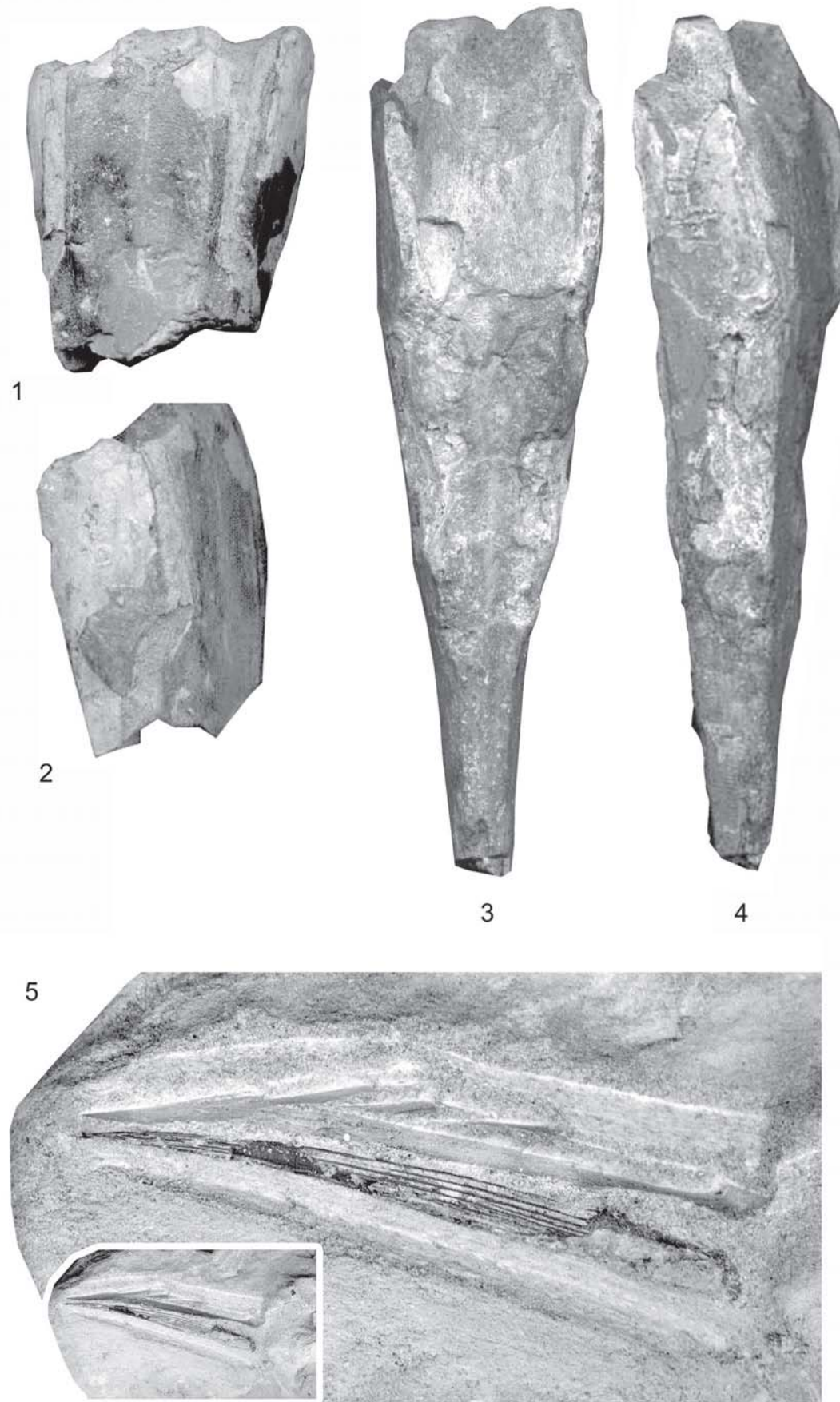


Таблица 9

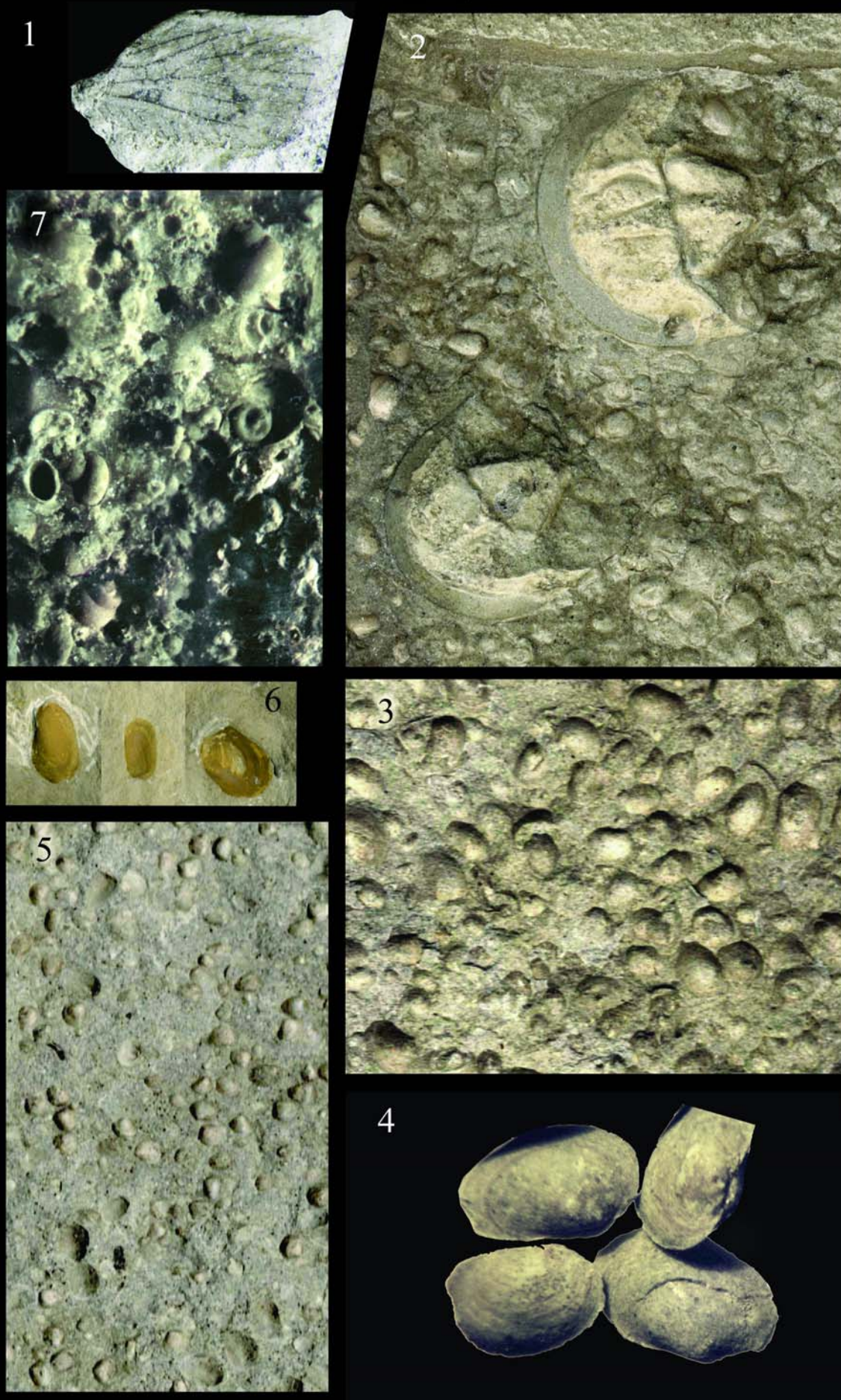
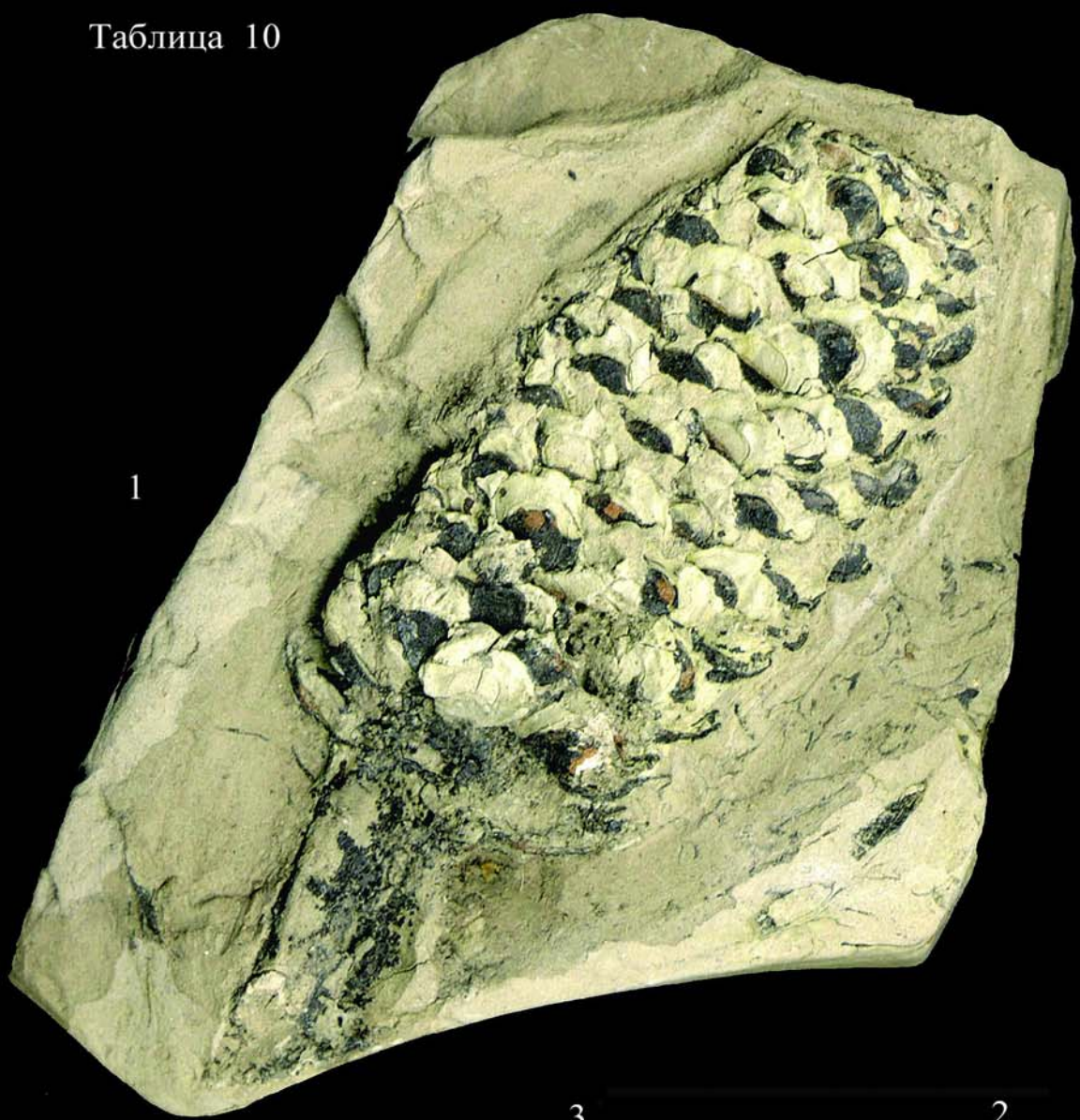
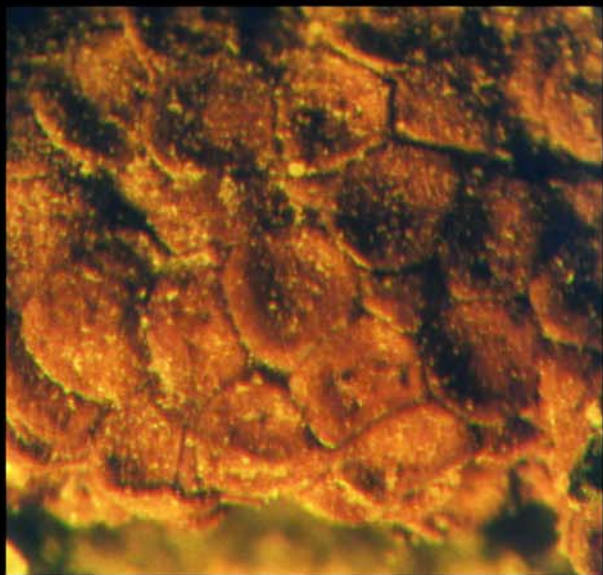


Таблица 10



3



2



- Ôèä. 3.** Ганоидная чешуя палеониксовых рыб. Разрез у д. Паршино, базальный слой черемховских слоев, переполненный рыбными остатками. Из коллекции ГМ им. А. Н. Иванова (ЯГПУ). Увеличено в 38 раз.
- Ôèä. 4.** Зубы палеониксовых рыб. Местонахождение и слой те же, что и на фиг. 3. Из коллекции ГМ им. А. Н. Иванова (ЯГПУ). Увеличено в 38 раз.

Таблица 7

- Ôèä. 1.** Череп трематозавроидного лабиринтодонта *Thoosuchus yakovlevi* (Riabinin), вид сбоку (местонахождение Тихвинское). Из частной коллекции.
- Ôèä. 2.** Нижняя челюсть трематозавроидного лабиринтодонта *Thoosuchus yakovlevi* (Riabinin), вид сбоку (местонахождение Тихвинское). Из коллекции Палеонтологический института (фото И. В. Новикова, А. Г. Сенникова).
- Ôèä. 3.** Череп трематозавроидного лабиринтодонта *Thoosuchus yakovlevi* (Riabinin), вид сверху (местонахождение Тихвинское). Из коллекции Палеонтологический института (фото И. В. Новикова, А. Г. Сенникова).
- Ôèä. 4, 5, 6.** Позвонки протерозухидного текодонта *Chasmatosuchus rossicus* Huene, вид сбоку (местонахождение Тихвинское). Из коллекции Палеонтологический института (фото И. В. Новикова, А. Г. Сенникова).

Таблица 8

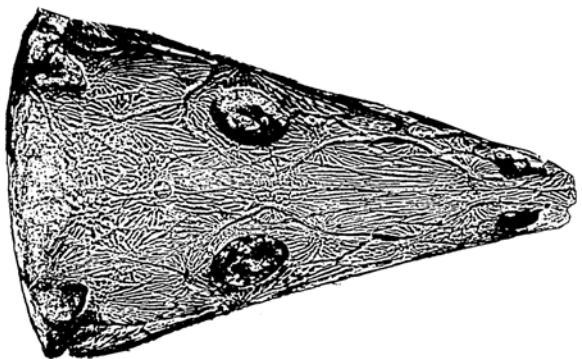
- Ôèä. 1, 2.** Фрагмент черепа хрящевого ганоида *Saurichthys* sp. (местонахождение Тихвинское). Из коллекции Ю. Л. Болотского (Благовещенск).
- Ôèä. 3, 4.** Череп хрящевого ганоида *Saurichthys* sp. (местонахождение Тихвинское). Из коллекции Ю. Л. Болотского (Благовещенск).
- Ôèä. 5.** Ихиодорулит (плавниковый шип) акулы *?Hybodus* sp. Из коллекции ГМ им. А. Н. Иванова (ЯГПУ). В нижнем левом углу показан образец в натуральную величину, выше – тот же образец увеличен в 3,3 раза.

Таблица 9

- Ôèä. 1.** Отпечаток крыла насекомого - гриллоблаттида *Tomia sennikovi* Aristov (местонахождение Тихвинское). Из коллекции Палеонтологический института (фото И. В. Новикова, А. Г. Сенникова).
- Ôèä. 2.** Отпечаток панцирей мечехвостов *Limulitella volgensis* Ponomarenko (местонахождение Тихвинское). Из коллекции ГМ им. А. Н. Иванова (ЯГПУ). Увеличено в 1,8 раз.
- Ôèä. 3, 5.** Сколы мергельных конкреций с отпечатками листоногих раков конхостраков. Паршинские слои (местонахождение Тихвинское). Из коллекции ГМ им. А. Н. Иванова (ЯГПУ).
- Ôèä. 4.** Ядра конхостраков из мергельных конкреций (местонахождение Тихвинское). Из коллекции ГМ им. А. Н. Иванова (ЯГПУ). Увеличено в 3,5 раз.
- Ôèä. 6.** Отпечатки двустворчатых моллюсков в мергельной конкреции (местонахождение Тихвинское, 2002 г.). Из коллекции ГМ им. А. Н. Иванова (ЯГПУ).
- Ôèä. 7.** Мергельная конкреция с ядрами гастропод (местонахождение Тихвинское). Из коллекции ГМ им. А. Н. Иванова (ЯГПУ). Увеличено в 8 раз.

Таблица 10

- Ôèä. 1.** Стробил («шишка») плауновидного растения *Pleuromeia rossica* Neub. с куске серого алеврита (паршинские слои, местонахождение Тихвинское). Черные углефицированные остатки растительных тканей (фитолеймы) сохранились на стробиле и ризофоре. На чешуевидных мегаспорофилах наблюдаются мегаспорангии, наполненные красноватыми мегаспорами. Из коллекции ГМ им. А. Н. Иванова (ЯГПУ).
- Ôèä. 2.** Мегаспорангий с мегаспорами *Pleuromeia rossica* Neub. из экземпляра на фиг. 1. Увеличено в 64 раза.
- Ôèä. 3.** Мегаспоры *Pleuromeia rossica* Neub. из мегаспорангия, показанного на фиг. 2. Увеличено в 100 раз.

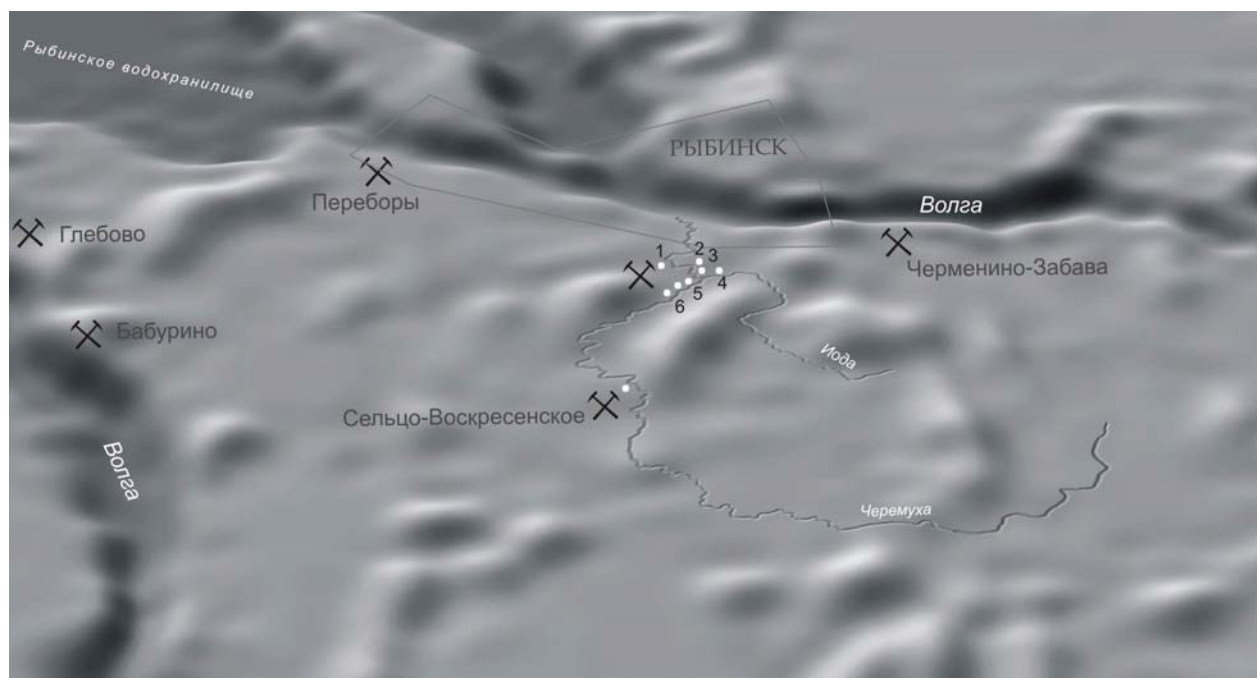


## МАКСИМОВСКОЕ

Maximovskoe

**№ 20 20.** Обнажение зарегистрировано как государственный памятник природы областного значения по решению Ярославского облисполкома от 25 июля 1966 № 582 (подтверждено решением Ярославского облсовета народных депутатов от 27.05.93 № 118). Предлагается в качестве комплексного (стратиграфического и историко-геологического) ГПП местного ранга.

**Описание.** Обнажение нижнетриасовых отложений у дер. Максимовское и дер. Дмитриевка на р. Черемухе (правый приток р. Волги) является типовым (опорным) обнажением черёмухинских слоёв рыбинской свиты. Этот разрез имеет эталонное значение для стратиграфии континентального триаса Европейской России, известен как местонахождение фауны и флоры “Черемха”.



**Фиг. 9.** Трехмерное перспективное изображение территории долины р. Черемухи и прилегающих районов. Символами показано расположение ГПП Рыбинского района. Цифровые обозначения: 1 – ГПП «Максимовское»; 2 - ГПП «Дмитриевка»; 3 - ГПП «Конюшино»; 4 - ГПП «Иода»; 5 - ГПП «Акулинское»; 6 - ГПП «Ивановское-Михалево».



**Фёд. 10.** Долина р. Черемухи в районе ГПП «Максимовское». На коренном берегу расположена д. Максимовское. Территория памятника обозначена пунктирной линией. К сожалению, триасовые отложения на склоне коренного берега задернованы и обнажаются лишь у уреза воды. Снимок сделан в 2001 г.

**І аңа ірі ет аңа**. Рыбинский р-н, Михайловская с/адм, по р. Черемухе (правый приток р. Волги) на протяжении 2 км от дер. Максимовское до дер. Дмитриевка (**дөң 9**).

**Обнажение** в долине р. Черемухи. Долина р. Черемухи и её коренные берега до их бровки. Обнаженность в целом незначительная - спорадические обнажения по берегам (**дев. 12**), продолжающиеся под водой в русле р. Черемухи. Наиболее крупное обнажение расположено на левом берегу р. Черемухи под дер. Максимовское (**дев. 10**).

**È ñò î ðè ÿ è çó-áí è ÿ.** Местонахождение “Черемха (Максимовское)” было открыто в двадцатые годы двадцатого века рыбинскими геологами В. К. Ливановым, А. И. Филипповым, которые первоначально также посчитали его возраст пермским (Ливанов, Филиппов, 1923). В конце сороковых годов данное обнажение вновь было обследовано сотрудниками и студентами Ярославского педагогического института им. К. Д. Ушинского под руководством А. Н. Иванова, и здесь впервые были обнаружены два черепа лабиринтодонта (Иванов, 1950). Впоследствии местонахождение “Черемха (Максимовское)” стало местом геологических практик Ярославского пединститута, сбора ископаемых органических остатков и геолого-палеонтологических исследований сотрудников и студентов этого института. Благодаря усилиям А. Н. Иванова это обнажение впервые получило статус геологического памятника в 1966 году. Данное местонахождение также изучали геологи и палеонтологи из различных научных учреждений Москвы, Горького, Саратова и Ленинграда.

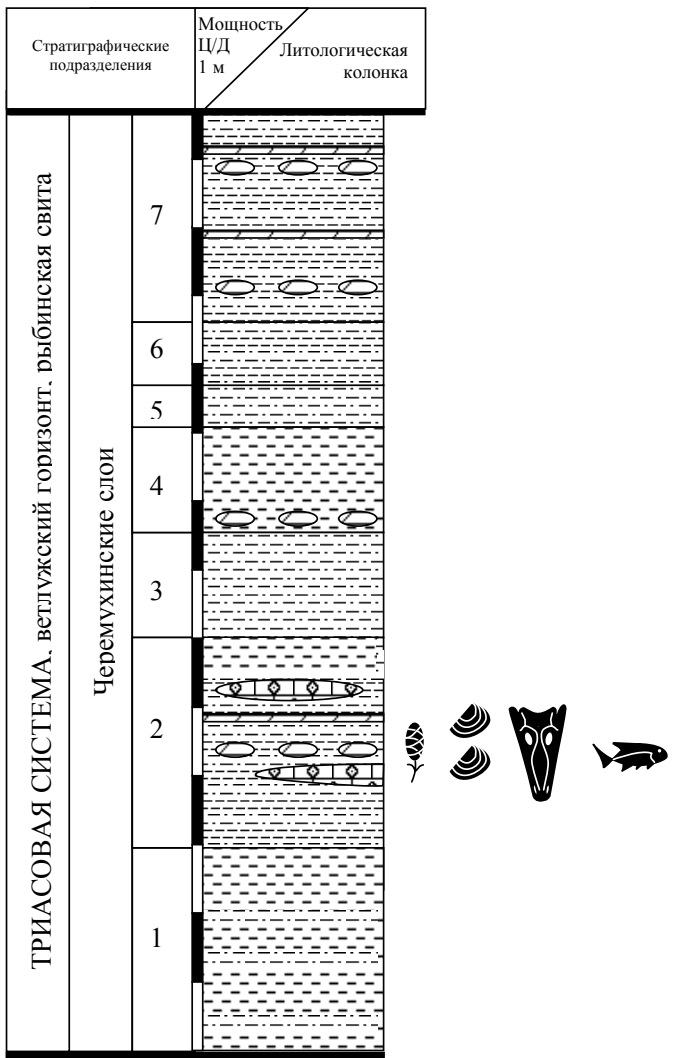
Обнажение нижнетриасовых отложений у дер. Максимовское на р. Черемхе является типовым (опорным) обнажением черёмухинских слоёв рыбинской свиты нижнего триаса, и поэтому его разрез имеет эталонное значение для стратиграфии континентального триаса Европейской России (Строк, Горбаткина, 1974; Решение..., 1982; Строк и др., 1984). Это обнажение известно в научной литературе как местонахождение "Черемха" (Ефремов, Вьющков, 1955).

В разрезе местонахождения Черемха представлены породы триасового и четвертичного возраста. Ниже мы даём разрез только триасовых коренных пород.

Геологический разрез отложений у дер. Максимовское на р. Черемхе (**д.п. 11**), снизу вверх (составлен в 1977 году А.Г. Сенниковым и Н.И. Хамизури).

T. *rb* (÷åð ì óõèí ñêèå ñëî è )

- Глины кирпично-красные, розовые и алевриты зеленовато-серые, переслаивающиеся, плитчатые, средняя толщина прослоев (плиток) около 5-8 см, трещиноватые. Видимая мощность - около 1,5 м.
  - Глины кирпично-красные, фиолетовые и зелено-серые, слоистые, плитчатые, средняя толщина прослоев (плиток) около 5-8 см, трещиноватые и алевриты зелено- и жёлто-серые, переслаивающиеся с глинами (**дён 12**), с прослойками



**Де́й.** 11. Геологический разрез ГПП «Максимовское». Литологические и другие обозначения см. на рис. 3.

выступающие структуры (трещины усыхания). Нижняя граница нечеткая, переход от никележащего слоя постепенный. Видимая мощность - около 1,7 м.

**Замечания.** В нижнетриасовых отложениях местами заметна складчатость и наклонное залегание слоёв. Слой 1 обнажается ниже уровня воды в русле реки.

Разрез нижнетриасовых отложений у дер. Максимовское в сороковые годы двадцатого века по А. Н. Иванову (1950) имел общую мощность 14 м, причём в верхней его части были отмечены пестроцветные глины, а в нижней - зеленовато-серые.



пестроцветных мергелистых конкреций, иногда прослоев мергелей и линзами оолитовых известняков (мощность около 10 см) с плоской глинистой и мергелистой преимущественно сероцветной хорошо окатанной галькой. Органические остатки встречены в мергелистых конкрециях (относительно крупные костные остатки позвоночных и филлоподы) и в линзах оолитового известняка (растительный детрит, окатанные чешуя, кости рыб и кости лабиринтодонтов). На нижней поверхности мергелистых плиток и прослоев оолитового известняка заметны полигональные выступающие структуры (трещины усыхания) и другие углубления (удлинённые или более сложные), вероятно, следы ползания донных организмов. Нижняя граница нечеткая, переход от нижележащего слоя постепенный. Мощность - около 1,5 м.

3. Алевриты зелено-серые и глины вишнёвые и фиолетовые, переслаивающиеся, плитчатые, средняя толщина прослоев (плиток) около 1-3 см, трещиноватые. Нижняя граница нечеткая, переход от никележащего слоя постепенный. Мощность - около 0,8 м.

4. Глины зеленовато-серые с отдельными вишневыми и малиново-красными прослойками. В основании слоя расположен прослой мергелистых конкреций. Нижняя граница нечеткая, переход от нижележащего слоя постепенный. Мощность - около 0,7 м.

5. Алевриты зеленовато-серые, в основании - жёлтые и кирпично-красные. Нижняя граница чёткая ровная. Видимая мощность - около 0,3 м.

6. Глины вишнёво-красные и алевролиты зеленовато-серые, переслаивающиеся. Нижняя граница нечеткая, переход от нижележащего слоя постепенный. Мощность - около 0,5 м.

7. Глины кирпично-красные, красные, розовые и алевриты зеленовато-серые, переслаивающиеся, с прослойми плоских мергелистых конкреций и прослойми мергелей. На нижней поверхности мергелистых плиток заметны полигональные

Выше залегают четвертичные моренные суглинки и пески. Вымытые из четвертичных отложений валуны образуют живописные группы и скопления в русле р. Черемхи и по её берегам.

*Ôàóí à è ô ëí ðá.* Специально не изучалась. Из местонахождения известны находки позвоночных (тетраподы, рыбы), беспозвоночных (членистоногие) и растений.

*Temrapodы*. Комплекс тетрапод включает лабиринтодонтов (трематозавроиды *Thoosuchus yakovlevi*

**№ 12.** Выход пестроцветных триасовых отложений вблизи уреза р. Черемухи у д. Максимовское. Снимок сделан в 2001 г.

(Riabinin) и *Benthosuchus korobkovi* Ivachnenko.

**Рыбы.** Ихтиокомплекс состоит из лучеперых *Saurichthys* sp. и палеонисков.

**Членистоногие** представлены ракообразными (филlopоды).

**Растения** представлены неопределенными фрагментами.

Основные из собранных на местонахождении коллекций хранятся в Палеонтологическом и Геологическом институтах РАН (Москва), Саратовском государственном университете им. Н. Г. Чернышевского и Ярославском педагогическом университете им. К.Д. Ушинского, Ярославском и Рыбинском музеях-заповедниках.

**Øàð î í ì è ý.** Местонахождение также относится к прибрежноозерному тафономическому типу (Миних, 1984; Блом, 1972). Все органические остатки принадлежат животным и растениям водного (озёрного) сообщества, обитавшим в воде или на мелководьях и отмелях. Компоненты наземного сообщества здесь не известны.

Органические остатки (раковины филлопод, кости рыб и лабиринтодонтов) встречаются в алевритах и глинах, а также в мергелистых конкрециях. Известно лишь два черепа лабиринтодонта, найденных А. Н. Ивановым в конкрециях. В прослоях оолитовых и органогенно-обломочных известняков наряду с плоскими глинистыми и мергелистыми гальками попадаются изолированные, часто окатанные кости лабиринтодонтов и рыб, чешуя рыб, органический дегрит. Г. И. Блом (1972) указывает на присутствие прослоев оолитово-водорослевых известняков.

Как уже отмечалось, по многочисленности, сохранности и разнообразию остатков всех групп организмов черёмухинские слои повсеместно существенно беднее паршинских. Кроме того, в черёмухинских слоях гораздо меньше полных крупных окаменелостей (например, черепов) и преобладает фрагментарный материал, часто окатанный, а также органический дегрит (особенно в оолитовых известняках).

**Í àëåí ááí áðàô è ý, óñëî áè ý í áðàçî ááí è ý.** Подробно рассмотрены выше в описании местонахождения Тихвинское.

На черёмухинское время приходится последний этап развития обширного озёрного бассейна в Верхнем Поволжье (Строк, Горбаткина, 1976; Лозовский, 1987). Характерной особенностью черёмухинских слоев является наличие в разрезе прослоев мергелей и оолитовых или органогенно-обломочных известняков с хорошо окатанной галькой, накапливавшихся на мелководье тёплых солоноватоводных водоёмов в зоне интенсивного движения воды (волнения) (Блом, 1972; Строк и др., 1984). Часто встречаются многочисленные трещины усыхания на поверхностях напластования, что также свидетельствует о мелководности и частом пересыхании водоёма. Таким образом, имело место значительное повышение солености обширного озёрного бассейна, обмеление, режим его стал неустойчивым, отдельные временные водоёмы пересыхали и образовывались вновь (Строк, Горбаткина, 1976). Редкость и меньшее разнообразие органических остатков указывают на угнетение и обеднение озёрного сообщества в это время, меньшую благоприятность условий существования для животных и растений.

**Ní ñò í yí è á í à í ýò í è è à è áäí è çí áí áí è ý.** В настоящее же время обнаженность ухудшается, размыв ослабевает, берега зарастают травянистой и кустарниковой растительностью. Повсеместно по коренному берегу сходят ополни, включая крупные блоки с древесной растительностью, и происходят осыпи. Участки выходов триасовых пород сохранились лишь в русле р. Черемухи и в самом основании берега.

**Çà÷áí è á í à í ýò í è è à í ðèðí äý ×åðåí ðà (í áéñèí í áññéí á).** Памятник природы Черемха (Максимовское) имеет большое научное, культурно-просветительское и рекреационное значение (Сенников, 1991, 1996).

В первую очередь, следует отметить научное значение этого раннетриасового местонахождения для стратиграфии континентального триаса Европейской России и для изучения истории фауны и флоры в раннем триасе. Памятник природы Черемха (Максимовское) имеет также большое научно-просветительское значение. Территория памятника является местом проведения геологических практик Ярославского пединститута, а также школьных экскурсий. Долина р. Черемхи с её живописными ландшафтами является одним из основных мест отдыха жителей г. Рыбинска.

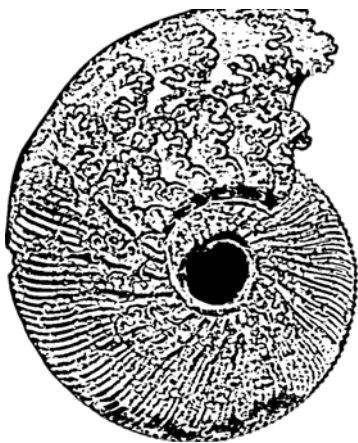
**Ðåéí í áí áóåí áé ðåæ è í è ãí í è ãí è ý è í ððåí á.** Необходимо соблюдения режима ГПП “Черемха (Максимовское)” и проведение охранных мероприятий в соответствии со статусом ГПП, с требованиями законодательства России и с постановлениями администрации Ярославской области. В число охранных мер следует включить следующие:

Запрет на аренду, продажу и приватизацию земли, несанкционированную строительную и иную хозяйственную деятельность на территории ГПП “Черемха (Максимовское)”.

Запрет на несанкционированные раскопки и сборы ископаемых на территории ГПП “Черемха (Максимовское)”.

Проведение специалистами на территории памятника регулярных научных наблюдений, научно-исследовательских работ и сборов ископаемых (с ограниченными раскопками на разрушаемых размытом участках берега) для научных и музейно-экспозиционных целей.

Проведение под контролем специалистов на территории памятника студенческих практик, школьных и иных экскурсий с ограниченным поверхностным сбором ископаемых для учебно-просветительских целей. Обеспечение строгого учёта, сохранности (надлежащих условий хранения) всего собранного ископаемого материала, а также доступности его для научного изучения.



# ПЕРЕБОРЫ

Perebory

*№ 20 20 20*. ГПП палеонтологического и историко-геологического типа юрской системы местного ранга.

*Описание разреза.* Классический разрез на р. Волге юрских слоев, принадлежащих келловейскому и оксфордскому ярусам. Это наиболее крупный выход келловейских отложений в Ярославской области, ископаемая фауна которого отличается наибольшим разнообразием. Из данного разреза происходят эталонные образцы нескольких видов юрских аммонитов келловейского яруса, характерных не только для ярославской юры, но и всей Центральной России.

*Образование разреза.* Рыбинский район, правый берег Волги в 200 м ниже плотины в северной части г. Рыбинска (район Переборы). Коренные породы начинают выходить уже непосредственно вблизи плотины в виде островков серых глин у уреза воды. Глины слагают основание берега на протяжении около 300 м от плотины и служат местным водоупором, поэтому на всем протяжении берег заболочен. Непосредственно ниже плотины расположен кабельный завод, который протягивается до устья Фоминского ручья. Последнее представляет небольшой эстуарий, постоянно промываемый при еженедельных колебаниях уровня Волги. Главное обнажение находится ниже устья и протягивается на 100 м. Высота разреза не превышает полутора метров и почти не имеет вертикальной стенки (д. 11). Это очень пологий склон, обнажающийся только во время закрытия створов плотины. На всем протяжении берег сильно осложнен оползнями, что существенно усложняет строение берега и изменяет последовательность слоев в коренных породах, о чем еще раньше отмечалось первыми исследователями рыбинской юры и приводило к ошибкам при описании разрезов (Крылов, 1872; Никитин, 1881).

*Состав разреза.* Включает 50 м вдольбереговой полосы выше склонов первой надпойменной террасы.

*Название района.* Район Переборы современного Рыбинска получил название от деревни, которая находилась за пределами города до появления Рыбинской плотины и водохранилища, примерно посередине между деревнями Фоминское и Льговец. Последние впоследствии также вошли в состав г. Рыбинска. В прошлом на участке правого берега Волги между этими деревнями располагалась непрерывная полоса обнажений юрских пород, которые описывались во всех работах первых исследователей ярославской юры как наиболее представительные (Щуровский, 1867, 1868; Крылов, 1872; Никитин, 1881, 1884). Аналогичные обнажения располагались и севернее д. Льговец, до д. Шумарово и с. Каменик. В них были представлены самые характерные разрезы ярославской юры. В настоящее время все эти обнажения, за исключением разреза у Перебор, являются затопленными Рыбинским водохранилищем или застроены.

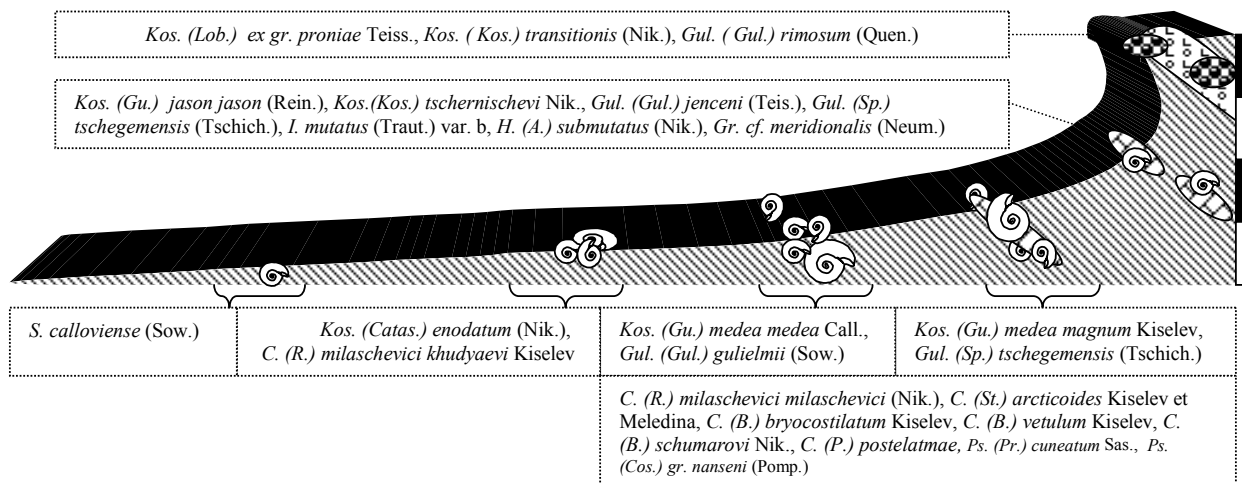
В своих работах все вышеупомянутые исследователи дают подробное описание обнажений и приводят богатые списки окаменелостей, в первую очередь аммонитов. В связи с тем, что берега Волги в районе Перебор и разрезы нарушены оползнями, описания первых исследователей часто отличались друг от друга и были ошибочными. Первые правильные описания принадлежат С. Н. Никитину, который также впервые приводит и изображения аммонитов. Среди них описывается 11 новых видов, многие из которых являются характерными аммонитами средней-верхней юры всей Европейской России, а также Западной Европы и даже Арктического бассейна (д. 1-3).

В 1940-е-1950-е гг. обнажение регулярно посещалось студентами Ярославского педагогического института и преподавателем А. Н. Ивановым. Их геологические и палеонтологические наблюдения опубликованы в двух работах (Иванов, 1950; Масин, Усатюк, 1959). В собранной ими непосредственно из разреза у д. Переборы коллекции окаменелостей недавно обнаружено и описано еще 2 новых вида аммонитов *Cadoceras bryocostatum* Kiselev и *C. vetulum* Kiselev, характерных для среднего келловея (Киселев, 1999). В настоящее время памятник является объектом геологических экскурсий для рыбинских школьников и палеонтологов-любителей.

Таким образом, район д. Переборы является классической типовой местностью для ряда келловейских, оксфордских, кимериджских и волжских аммонитов. В особенности это касается

келловейских и оксфордских видов. В некоторой степени рыбинские разрезы на Волге дополняются выходами на р. Черемухе (ГПП «Конюшино», «Иода» и др.). Однако по богатству и разнообразию ископаемой фауны келловейского яруса, обнажение у Перебор не имеет равных в Ярославской области, что придает ему особенно важное значение.

**№ 13. Геологический разрез ГПП «Переборы».** В разрезе обнажаются, преимущественно, слои келловейского яруса (д. 13). Остальные ярусы (оксфордский, кимериджский и волжский) почти не выражены в разрезе, они маломощны, встречаются только местами и часто закрыты и нарушены оползнями. Существует еще одна характерная особенность обнажения, затрудняющая геологические наблюдения: юрские слои в основных местах своего выхода ориентированы почти вертикально и расположены иногда перпендикулярно к береговой линии. Вероятно, эти нарушения первичной ориентации слоев являются ледниками дислокациями, образовавшимися в плеистоцене. В связи с этим разрез приходится изучать по горизонтали, перемещаясь вдоль береговой линии. Наиболее древние слои расположены ближе к Фоминскому ручью.



**Д. 13.** Геологический разрез ГПП «Переборы». Литологические обозначения см. на рис. 3. Единица измерения линейки мощности равна 0,5 м.

**P** Өñêàý ñèñðâì à, ñðâäí èé î ðääë  
 Эäëëî ääéñèé èé ýðóñ, í èæí èé î äýýðóñ, çí à Sigaloceras calloviense –  
 сðääí èé î äýýðóñ, çí à Kosmoceras jason – ääðöí èé î äýýðóñ, çí à Peltoceras athleta

1. Глина темно-серая, слабоизвестковистая, плотная, неслоистая, с редкими конкрециями крупнокристаллического пирита. В слое часто встречаются скопления фауны с двумя-тремя крупными аммонитами – основателями захоронения (см. также аналогичный слой в ГПП «Конюшино»). В 1,5-2 м ниже устья Фоминского ручья найдены образцы нижнекелловейских аммонитов *Sigaloceras* cf. *calloviense* (Sow.). Ниже от ручья по разрезу выходят глины среднего келловея на протяжении 50 м с аммонитами: *Kosmoceras* (*Gulielmites*) *jason* (Rein.) (д. 12, 6-16), *K. (G.) medea* Call. (д. 12, 6-13-15), *K. (Kosmoceras) tschernischevi* (Teiss.) (д. 12, 6-12, 9-12), *Gulielmiceras jenceni* Teiss., *G. tschegemensis* (Chikh.), *Cadoceras* (*Rondiceras*) *milaschevici* (Nik.) (д. 12, 6-1, 2), *Cadoceras* (*Streptocadoceras*) *arcticoides* Kiselev et Meledina (д. 12, 6-1-6), *C. (Bryocadoceras) bryocostilatum* Kiselev, *C. (B.) vetulum* Kiselev (д. 12, 6-1, 7, 8), *C. (B.) schumarovi* (Nik.), *Indosphinctes mutatus* (Traut.), *Okaites pseudemosquensis* (Siem.), *Putealiceras ironense* (Chikh.). Белемниты: *Lagonibelus* (*Holcobeloides*) *beaumonti* (Orb.) (д. 12, 6-1, 3, 4), *Cylindroteuthis oweni* (Pratt et Phill.), *C. (Arctoteuthis) subextensa* (Nik.), *Pachyteuthis* (*Pachyteuthis*) *cuneata* Gust. (д. 12, 13, 6-1, 2), *Pachyteuthis* (*P. tschernischevi*) Krim., *Acroteuthis* (*Microbelus*) *krimholzi* Gust. (д. 12, 13, 6-1, 5, 6). В кровле слоя (вниз от ручья) проходит не выраженный прослой с фосфоритами и верхнекелловейскими аммонитами *Kosmoceras* (*Lobokosmoceras*) cf. *proniae* Teiss. (д. 12, 6-1, 17), *K. (Kosmoceras) cf. spinosum* (Sow.). Среди донных беспозвоночных преобладают брахиоподы *Ivanoviella alemanica* (Rollier) (д. 12, 6-1, 11, 12). Среди позвоночных отмечаются находки химер (д. 12, 6-1, 11, 6-1).

**Öäëñò-ô èä.** 1. Эталонные образцы аммонитов келловейского яруса из отложений района ГПП «Переборы».

**Öèä. 1, 2.** *Cadoceras* (*Bryocadoceras*) *schumarovi* (Nikitin 1884). Голотип: Никитин, 1884, табл. 3, фиг. 16. Шумарово. Средний келловей.

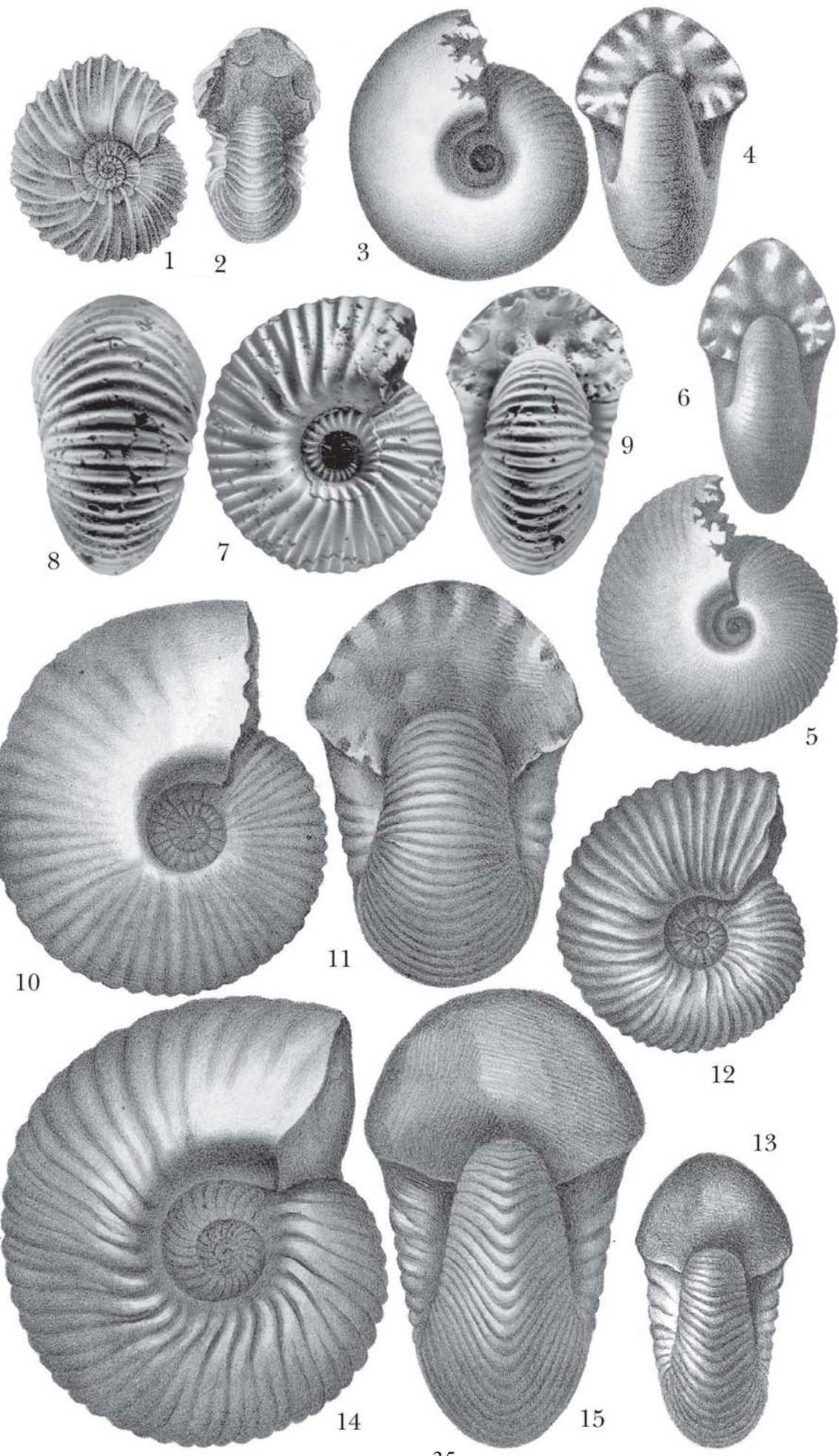
**Öèä. 3, 4.** *Cadoceras* (*Rondiceras*) *milaschevici* (Nikitin 1881). Голотип: Никитин, 1881, табл. 3, фиг. 25. Болобаново. Средний келловей.

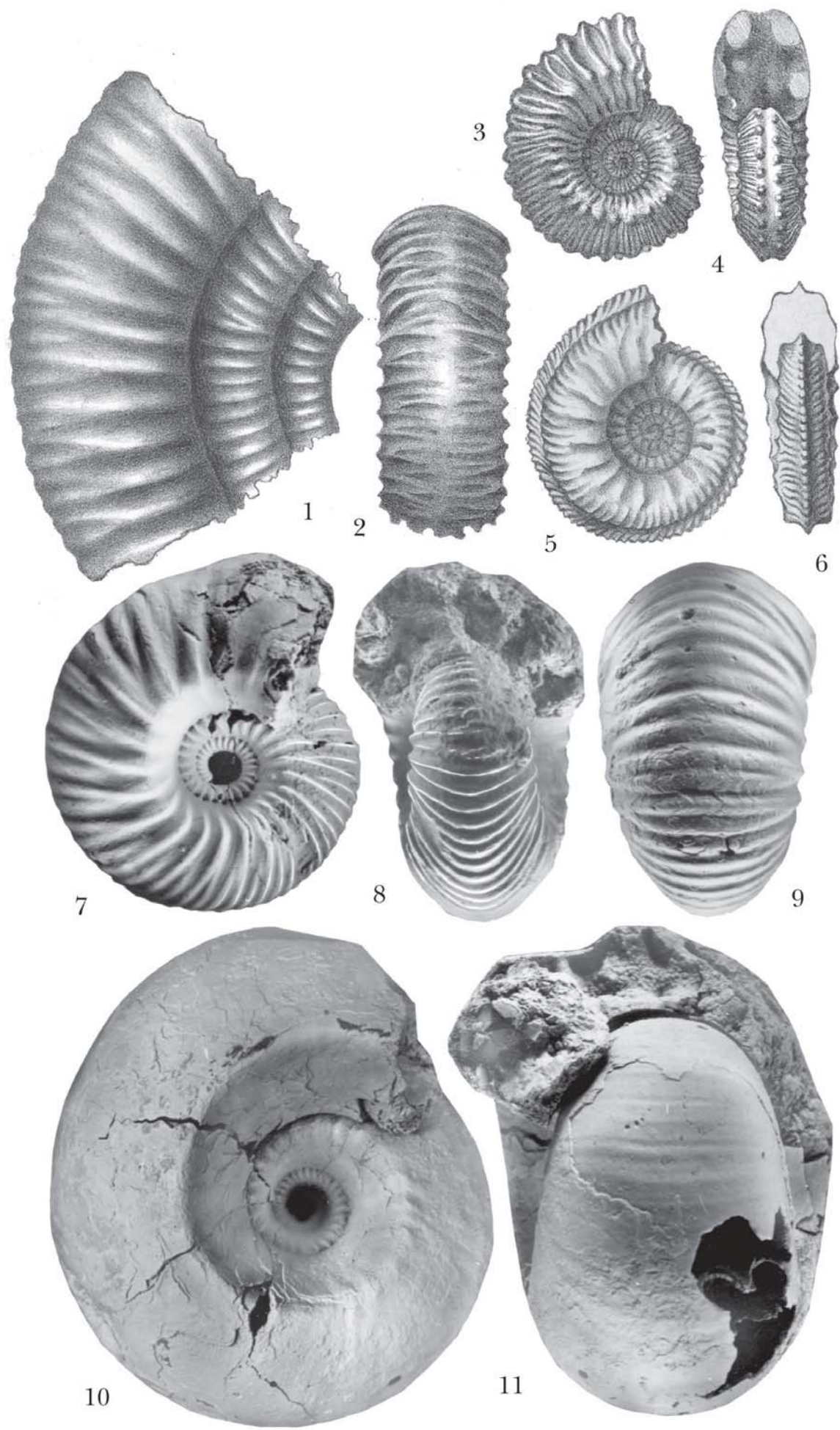
**Öèä. 5, 6.** *Cadoceras* (*Rondiceras*) *milaschevici compressum* (Nikitin 1881). Голотип: Никитин, 1881, табл. 3, фиг. 27. Болобаново. Средний келловей.

**Öèä. 7-9.** *Cadoceras* (*Bryocadoceras*) *bryocostilatum* Kiselev 1999. Голотип: Киселев, 1999, табл. 1, фиг. 6-8. Переборы. Средний келловей.

**Öèä. 10-13.** *Cadoceras* (*Bryocadoceras*) *mologae* (Nikitin 1881). **Öèä. 10-11.** Лектотип: Никитин, 1881, табл. 1, фиг. 11; **Öèä. 12-13.** Паралектотип: там же, табл. 1, фиг. 12. Селихово. Верхний келловей.

**Öèä. 14, 15.** *Cadoceras* (*Bryocadoceras*) *rybinskianum* (Nikitin 1881). **Öèä. 10-11.** Голотип: Никитин, 1881, табл. 1, фиг. 8. Селихово. Верхний келловей.





5-7) и рептилий: плезиозавров и ихтиозавров (**ðàáë. 13, ôèä. 9-10**). Мощность слоя по простиранию от Фоминского ручья до 25-30 м.

**Êäëëî ââéñèé ÿðóñ, ââððí èé ïïääýðóñ, çí à Quenstedtoceras lamberti –  
î êñô î ðäññèé ÿðóñ, í èæí èé ïïääýðóñ, çí à Cardioceras cordatum**

2. Глина пепельно-серая, неслоистая, с ореховидными фосфоритовыми конкрециями глинистого типа. Слой, в основном, закрыт оползнями и труден для наблюдения, имеет видимую мощность до 0,2 м. Аммониты сохраняются в виде фосфоритовых слепков жилой камеры. Большинство образцов найдено на бечевнике, поэтому ниже приводится комплекс аммонитов, в котором есть как келловейские, так и оксфордские виды: *Quenstedtoceras lamberti* (Sow.), *Pseudocadoceras (Percacosticeras) polonicum* (Call. et Wright), *Cardioceras (Cardioceras) cordatum* (Sow.), *C. (C.) percaelatum* Pavl., *C. (Vertebriceras) vertebrale* (Sow.), *C. (V.) aff. quadratum* (Lor.), *Goliathiceras (Goliathites) sp.*, *G. (Korythoceras) rotundatum* (Nik.), *Peltoceras (Peltoceratoides) arduennense* (Orb.), *Mirosphinctes* sp.

**Î êñô î ðäññèé ÿðóñ, ïðâäí èé ïïääýðóñ, çí à Nardioceras densiplicatum**

3. Глина песчанистая, мергелистая, желтовато-бурая, с примазками глауконита и фосфоритовыми конкрециями глинистого типа. Из фауны часто встречаются крупные членики морской лилии *Acrochordocrinus*. Среди аммонитов найдены *Vertebriceras cf. densiplicatum* Boden, *Cardioceras (Maltoniceras) cf. maltonense* (Young et Bird). Мощность слоя по горизонтали 0,05-0,15 м.

**Î êñô î ðäññèé ÿðóñ, ââððí èé ïïääýðóñ - ?êèì âðèäæññèé ÿðóñ, í èæí èé ïïääýðóñ**

4. Глина алевритистая, черная, тонкослоистая, слюдистая, с примазками глауконита и конкрециями мелкозернистого пирита. Слой почти закрыт оползнями, и мощность его не удается измерить.

**Âî èæññèé ðâäëî ÿðóñ**

5. Песок буровато-желтый с конкрециями черного фосфатизированного песчаника. Слой выходит в южной части разреза, в уступе второй надпойменной террасы. Наиболее ясное описание волжских слоев принадлежит работе С. Н. Никитина (1884), откуда ниже приводится ссылка (названия аммонитов исправлены на современные). Описание дается сверху вниз:

“ Из под почвенного слоя прямо выдается:

J<sup>v</sup>b<sup>1</sup>. Слой желтоватых и зеленоватых железистых песков, заключающих в себе более темные сростки песчаной фосфоритной породы, содержащих много плохо сохранившихся ископаемых, между которыми можно различить: *Kachpurites fulgens* (Trd.), *Craspedites okensis* (Orb.).

Граница между этим слоем и следующим неясна, так как покрыта осыпью.

J<sup>a</sup>. Красноватый железистый песчаник, рыхлый, рассыпчатый, переходящий в желтый песок.”

На бечевнике среди аммонитов келловейского, оксфордского и волжского ярусов найдены и аммониты кимериджа, хотя слой в обнажении и не найден. Окаменелости представлены черными глянцевыми фосфоритовыми слепками жилых камер. В основном это нижнекимериджские аммониты *Zonovia* sp. (**ðàáë. 11, ôèä. 3, 4**), *Prorasenia* sp. Это предполагает существование нижнекимериджских слоев в данном разрезе.

К наблюдениям С. Н. Никитина (1884) относится и открытие в обнажении у д. Переборы наиболее древних слоев юрской системы для Ярославской области, а также их граница с триасовой системой. «Чрезвычайно высокий интерес представляет открытие тут голубой мергельной глины, лежащей в основании всего обнажения. Небывало низкий уровень воды в реке Волге летом 1882 года позволил мне удостовериться, что эта порода имеет тут значительно мощную толщу. Она ничем не отличается от подобных ей триасовых глин Костромской губернии. На границе ее с юрским пластом лежит тонкий пласт не более 2 сантиметров бурой железной руды, проникающей в виде оолитовых зерен в верхние слои самой глины». Отложения подобного рода отмечаются Никитиным только для обнажения у д. Переборы. Сейчас аналогичные слои обнажаются только в одном месте в Ярославской области – на р. Черемухе в ГПП «Дмитриевка». Его изучение показало, что железистооолитовые породы, перекрывающие триасовые глины, относятся к нижнекелловейскому подъярусу. В настоящее время в ГПП «Переборы» они погребены осадками Волги и находятся ниже уреза воды.

**Ñî ñò î ýí èå î àì ÿð í èëä.** Памятник испытывает регулярное еженедельное воздействие колебания уровня воды в Волге, вызванное работой Рыбинской плотины. Во время спуска воды из Рыбинского водохранилища (будни) обнажение на бечевнике затапливается полностью. В выходные дни вода отступает

**Ôäëñò-ôèä. 2.** Эталонные образцы аммонитов келловейского и оксфордского ярусов из отложений района ГПП «Переборы».

**Ôèä. 1, 2.** *Perisphinctes (Kranaosphinctes) bolobanowi* Nikitin 1881. Голотип: Никитин, 1881, табл. 5, фиг. 38. Болобаново. Средний оксфорд.

**Ôèä. 3, 4.** *Kosmoceras (Kosmoceras) transitionis* Nikitin 1881. Голотип: Никитин, 1881, табл. 4, фиг. 35. Селихово. Верхний келловей.

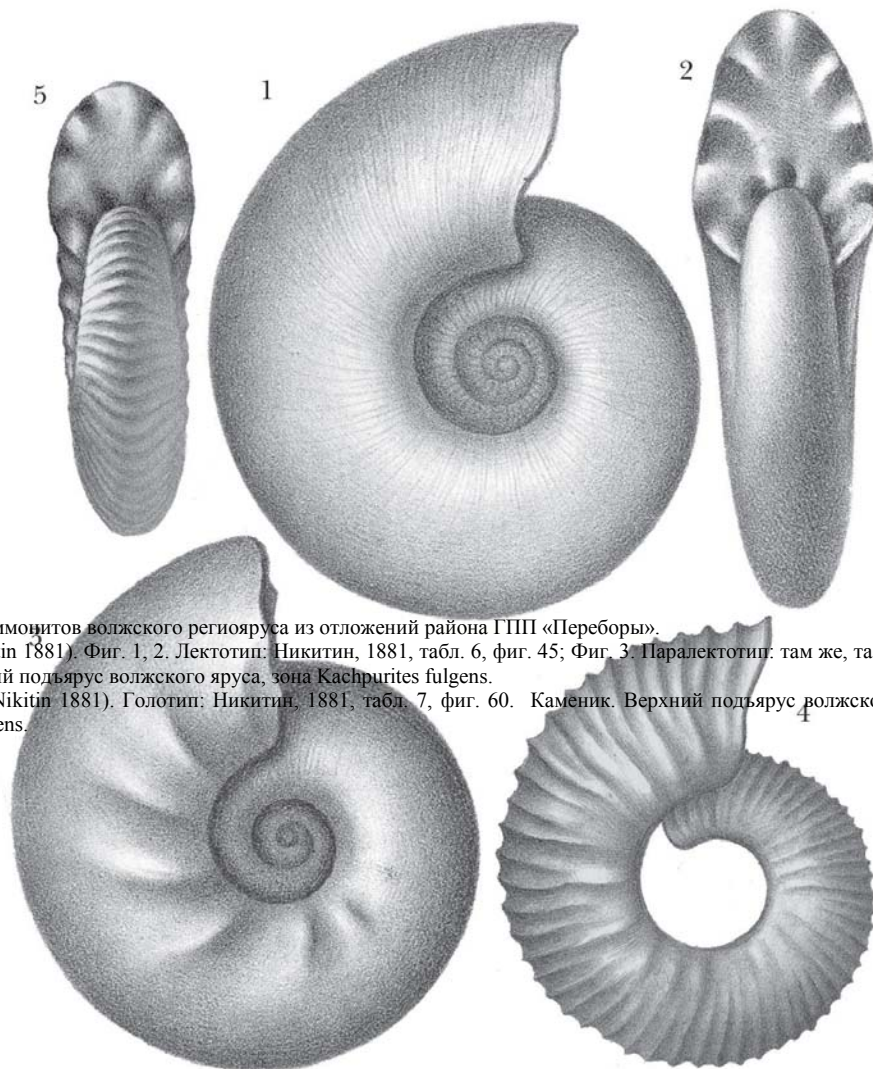
**Ôèä. 5, 6.** *Cardioceras quadratooides* (Nikitin 1881). Голотип: Никитин, 1881, табл. 2, фиг. 20. Болобаново. Средний оксфорд.

**Ôèä. 7-9.** *Cadoceras (Bryocadoceras) vetulum* Kiselev 1999. Голотип: Киселев, 1999, табл. 2, фиг. 1-3. Переборы. Средний келловей.

**Ôèä. 10, 11.** *Cadoceras (Streptocadoceras) arcticoides* Kiselev et Meledina. Голотип: № 2/52, ГМ им. А. Н. Иванова. Переборы. Средний келловей, зона *Kosmoceras jason*.

на 5-9 м, берег обнажается и становится доступен для изучения. Подобные колебания уровня воды оказывают положительный эффект на состояние памятника, постоянно «освежая» его. Движения воды препятствуют зарастанию обнажения и смыают с бечевника песчано-илистые наносы. Размывая глину, вода выносит на поверхность и различные окаменелости, которые остается только собирать после ухода воды.

Обнажение пользуется популярностью у рыбинских школьников, которые проводят здесь регулярные экскурсии. В основном они собирают на бечевнике вымытые из глин окаменелости. Их сборы иногда включают достаточно редкие и даже уникальные находки, поэтому они должны быть доступны для ознакомления специалистов и храниться в специальном месте.



Одноименное. 3. Эталонные образцы аммонитов волжского региона из отложений района ГПП «Переборы».

Одноименное. 1-3. *Kachpurites subfulgens* (Nikitin 1881). Фиг. 1, 2. Лектотип: Никитин, 1881, табл. 6, фиг. 45; Фиг. 3. Паралектотип: там же, табл. 6, фиг. 46. Каменик. Верхний подъярус волжского яруса, зона *Kachpurites fulgens*.

Одноименное. 5, 6. *Craspedites subditoides* (Nikitin 1881). Голотип: Никитин, 1881, табл. 7, фиг. 60. Каменик. Верхний подъярус волжского яруса, зона *Kachpurites fulgens*.

Объяснения к таблицам. ГПП «Переборы».

Таблица 11

На фоне показан общий вид обнажения келловейских глин ГПП «Переборы»

Одноименное. 1, 2. Пиритизированная раковина аммонита *Cadoceras (Rondiceras) milaschevici compressum* (Nik.). Средняя юра, средний келловей, зона и подзона *Kosmoceras jason*. Из коллекции ГМ им. А. Н. Иванова (ЯГПУ).

- Ôèä. 3, 4. Фосфатизированное ядро раковины аммонита *Zonovia* sp. Верхняя юра, нижний кимеридж. Из коллекции ГМ им. А. Н. Иванова (ЯГПУ).
- Ôèä. 5, 6, 7. Правая и левая зубные нижнечелюстные пластины слоновой химеры *Callorhynchidae* gen. et sp. indet. (наиболее близким из известных видов может быть *Brachymylus altidens* Woodward из келловея Англии). Найдено на бечевнике. Средняя юра, келловей. Из коллекции Центра краеведения и туризма г. Рыбинска (предоставлено Т. М. Жуковой).

Таблица 12  
Пиритизированные раковины аммонитов

- Ôèä. 1-6. *Cadoceras (Streptocadoceras) arcticoides* Kiselev et Meledina. Средняя юра, средний келловей, зона *Kosmoceras jason*. Из коллекции ГМ им. А. Н. Иванова (ЯГПУ).
- Ôèä. 7, 8. *Cadoceras (Bryocadoceras) vetulum* Kiselev. Средняя юра, средний келловей, зона *Kosmoceras jason*. Из коллекции ГМ им. А. Н. Иванова (ЯГПУ).
- Ôèä. 9-12. *Kosmoceras (Kosmoceras) tschernischewi* (Nik.). Средняя юра, средний келловей, зона *Kosmoceras jason*. Из коллекции ГМ им. А. Н. Иванова (ЯГПУ).
- Ôèä. 13-15. *Kosmoceras (Gulielmites) medea* Callomon. Средняя юра, средний келловей, зона *Kosmoceras jason*, подзона *Kosmoceras medea*. Из коллекции ГМ им. А. Н. Иванова (ЯГПУ).
- Ôèä. 16. *Kosmoceras (Gulielmites) jason* (Rein.). Средняя юра, средний келловей, зона и подзона *Kosmoceras jason*. Из коллекции ГМ им. А. Н. Иванова (ЯГПУ).
- Ôèä. 17. *Kosmoceras (Lobokosmoceras) proniae* Teiss. Средняя юра, верхний келловей, зона *Peltoceras athleta*, подзона *Kosmoceras proniae*.

Таблица 13

- Ôèä. 1, 2. Ростр белемнита *Pachyteuthis (Pachyteuthis) cuneata* Gust. Фиг. 1 – вид с брюшной стороны; фиг. 2 – вид с правой боковой стороны. Средняя юра, средний келловей, зона *Kosmoceras jason*. Из коллекции ГМ им. А. Н. Иванова (ЯГПУ).
- Ôèä. 3, 4. Ростр белемнита *Lagonibelus (Holcobeloides) beaumonti* (Orb.). 1 – вид с брюшной стороны; фиг. 2 – вид с правой боковой стороны. Средняя юра, средний келловей, зона *Kosmoceras jason*. Из коллекции ГМ им. А. Н. Иванова (ЯГПУ).
- Ôèä. 5, 6. Ростр белемнита *Acroteuthis (Microbelus) krimholzi* Gust. Средняя юра, средний келловей, зона *Kosmoceras jason*. Из коллекции ГМ им. А. Н. Иванова (ЯГПУ).
- Ôèä. 7, 8. *Longaeviceras lahuseni* (Bodylevsky). Найдено на бечевнике. Средняя юра, верхний келловей. Из коллекции Центра краеведения и туризма г. Рыбинска.
- Ôèä. 9, 10. Позвонок ихтиозавра. Найдено на бечевнике. Средняя юра, средний келловей. Из частной коллекции.
- Ôèä. 11, 12. Раковина брахиоподы *Ivanoviella alemanica* (Rollier). Средняя юра, средний келловей, зона и подзона *Kosmoceras jason*. Из коллекции ГМ им. А. Н. Иванова (ЯГПУ).

Таблица 11



Таблица 12

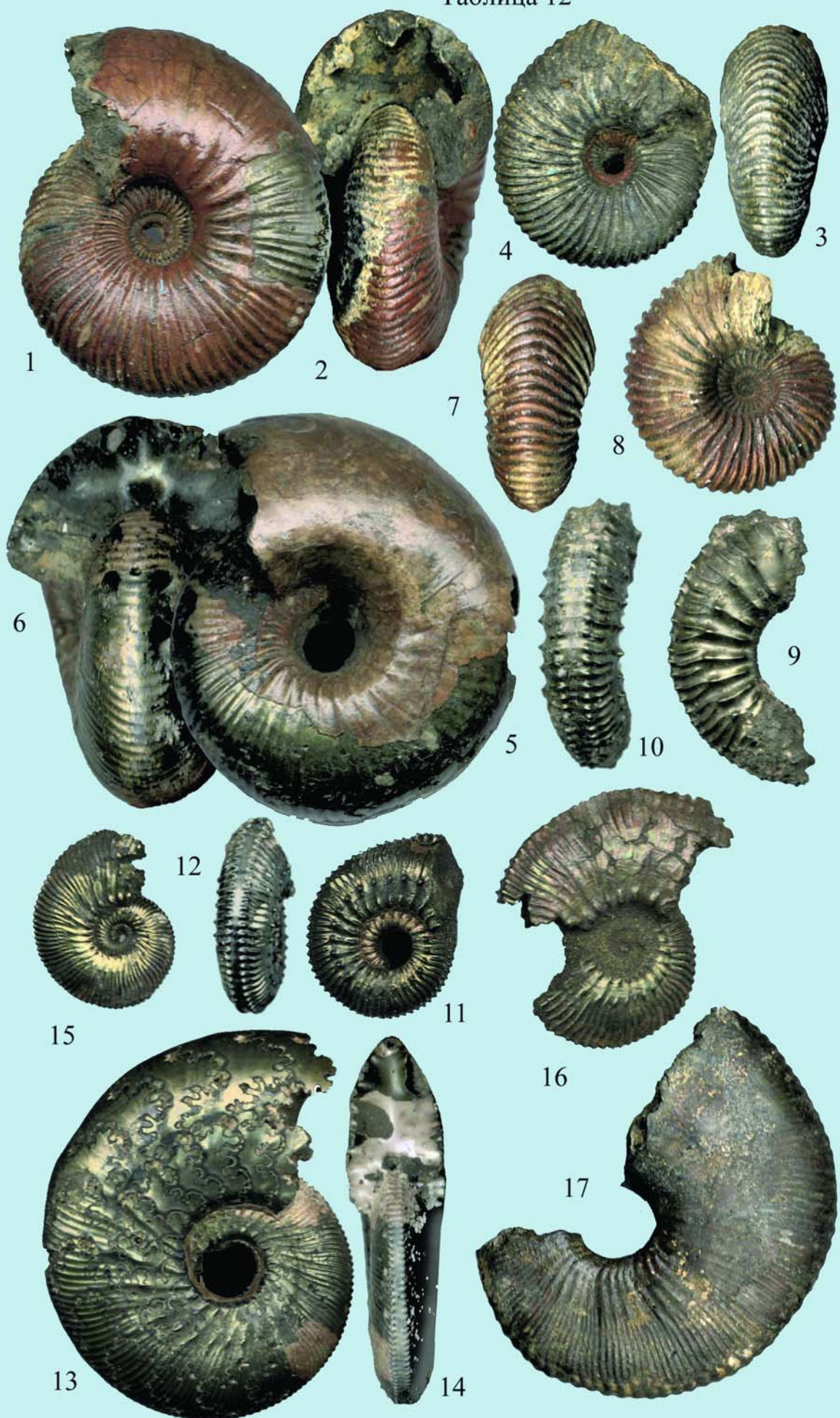


Таблица 13

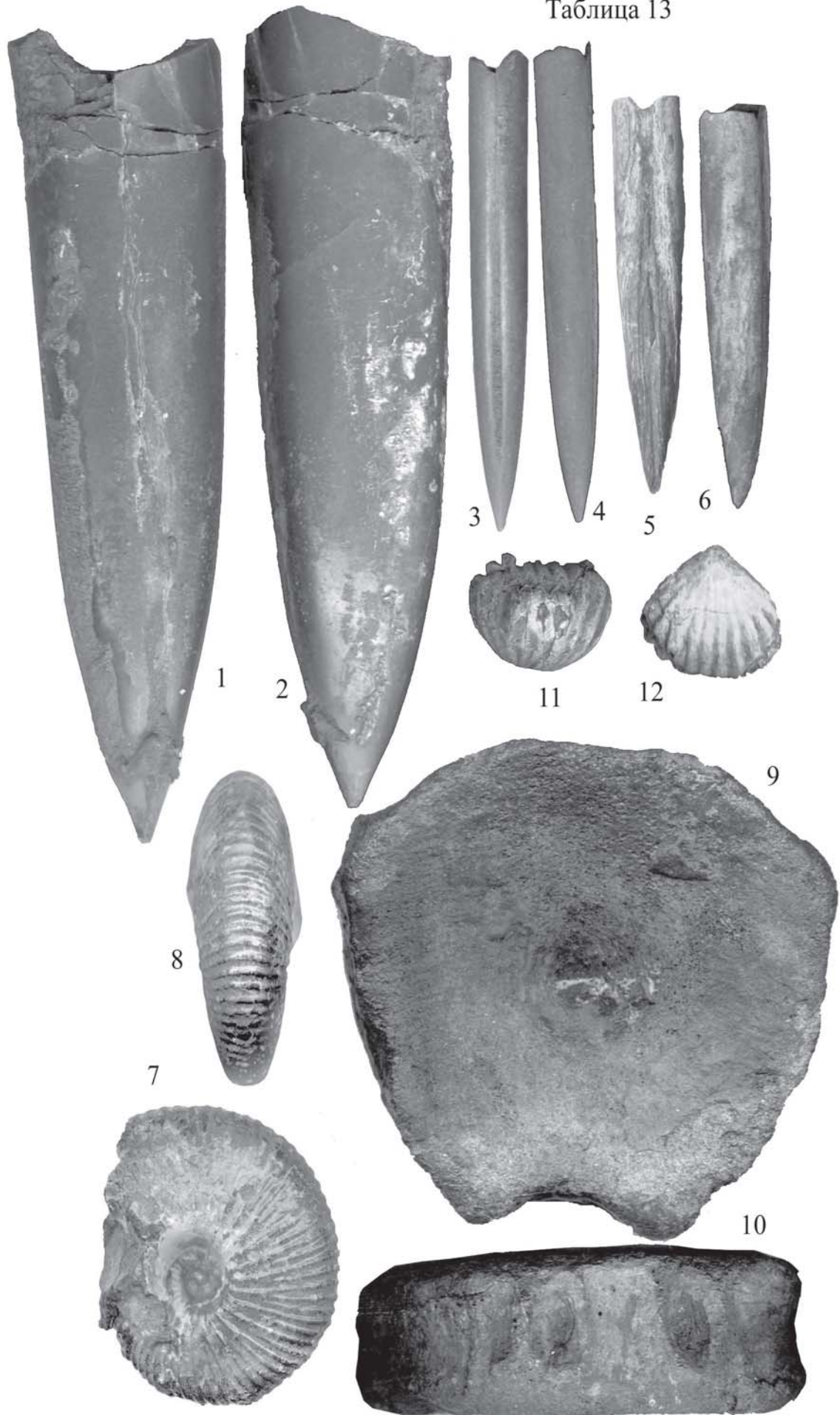
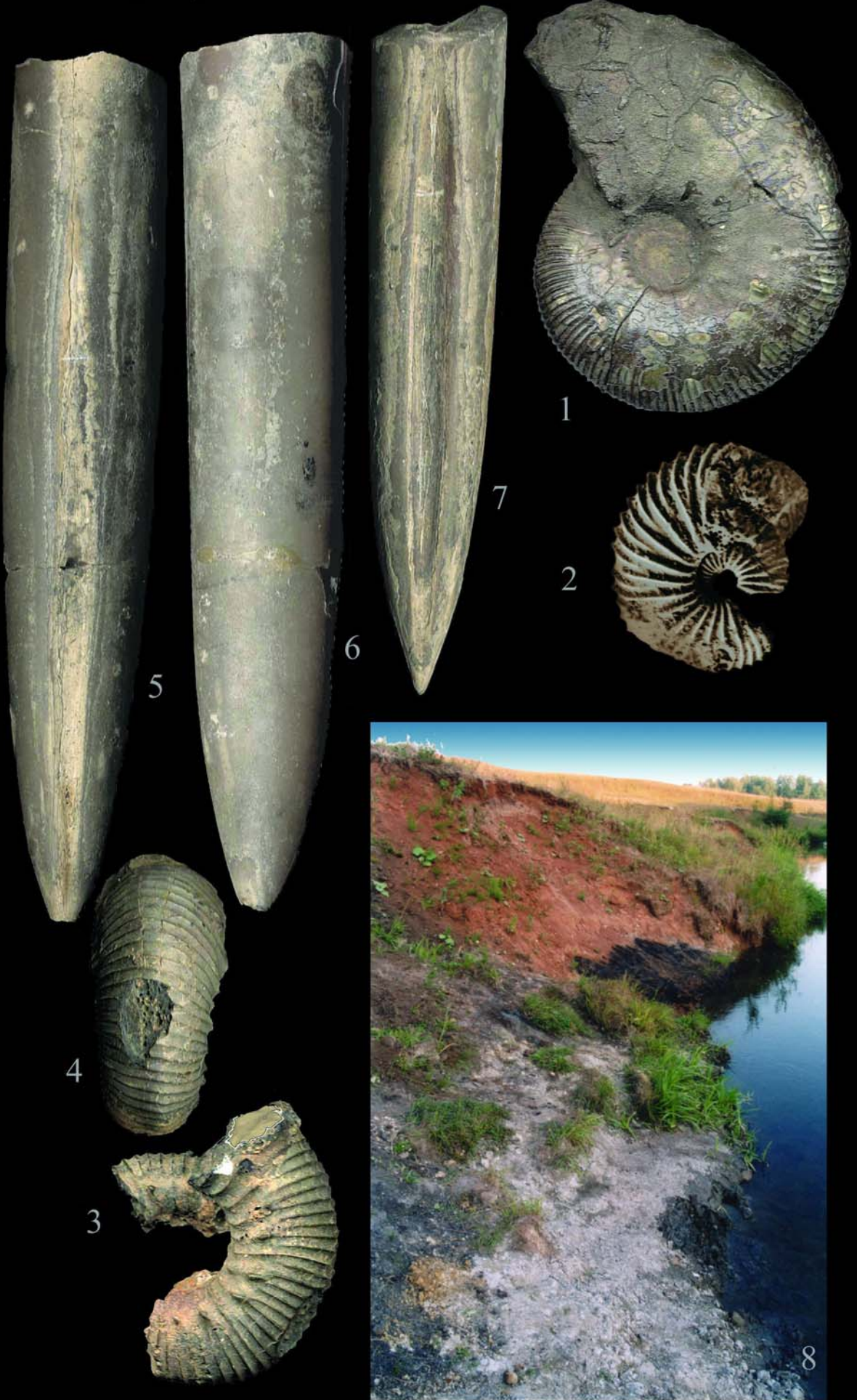


Таблица 14





## ДМИТРИЕВКА

Dmitrievka

**№ 22 об об.** ГПП историко-геологического типа юрской системы местного ранга. Обнажение выделено в памятник природы Рыбинского района по решению Ярославского облисполкома от 25 июля 1966 г., № 582.

**Описание.** Обнажение эталонного значения для стратиграфии ярославской юры. Единственный разрез в Ярославской области, где выходят слои нижнего келловейского подъяруса (средний отдел юрской системы) и граница триасовой и юрской систем.

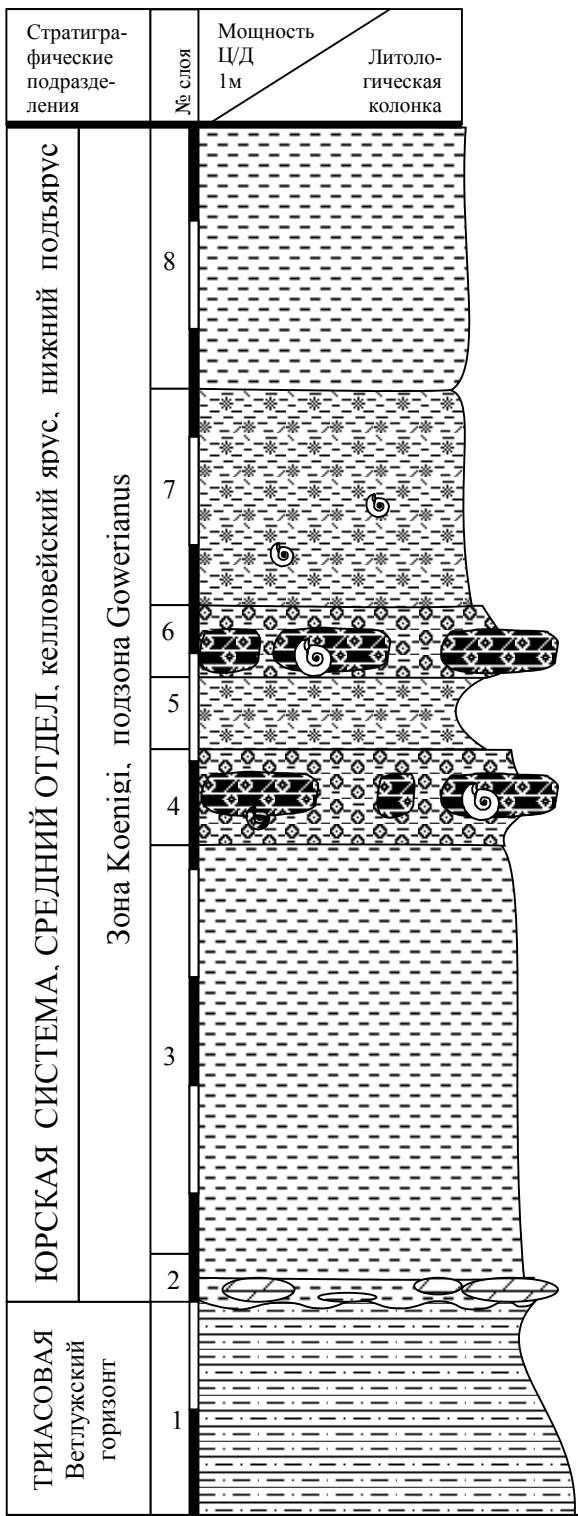
**Ландшафт.** Рыбинский район, правый берег р. Черемухи вблизи северного края д. Дмитриевки (д. 10). Здесь Черемуха делает небольшой изгиб и прижимается к крутым коренным берегу около 20 м высотой, который периодически подмывает. Вверх по реке долина внезапно расширяется, и коренной берег заканчивается сразу за деревней, образуя задернованный, хорошо заметный склон. Он отступает от реки на 200-300 м, вплоть до автомобильной трассы (из Рыбинска). Обнажение расположено в 20-50 м от поворота коренного берега. Чтобы попасть на разрез, нужно спуститься к реке, обогнув северный край деревни, и пройти берегом. Верхняя кромка коренного берега плотно застроена коттеджами и огорожена забором, что не дает возможности спуститься к обнажению сверху. К сожалению, склон берега во многих местах используется как свалка мусора, который попадает на разрез и затрудняет к нему доступ.

**Обнажение.** Непосредственно от вершины обрыва наблюдаются отдельные выходы серой глины, начиная с 2 м от уреза воды. Обнажение наполовину заросло и требует расчистки. Коренные слои еще можно вскрыть вручную, но только выше рыбацкой тропинки, проходящей вдоль берега, хотя еще в середине 1990-х гг. разрез был обнажен хорошо и достигал до 15 м в высоту, при общей протяженности около 10 м.

**Состав.** Илодайль алювиальный включает 50 м вдольбереговой полосы выше склона коренного берега.

**История изучения.** Первое упоминание о разрезе у д. Дмитриевка встречается в описании геологических экскурсий по р. Черемухе в книге А. Н. Иванова (1950). Им отмечается, что в этом обнажении вскрываются только пестроцветные триасовые глины, а юрские отложения появляются заметно выше по течению реки. В 1966 г. обнажение зарегистрировано как памятник природы Рыбинского района.

Обнажение периодически посещалось во время полевых геологических практик студентами Ярославского педагогического института, в течение которых был собран значительный материал, состоящий, в основном из литологических образцов. Наибольшее интерес вызывали своеобразные фосфоритовые конкреции, очень плотные, насыщенные железистыми оолитами. Эти породы не характерны ни для триасовых, ни для юрских отложений, хорошо известных в Ярославской области. Их возраст долгое время представлял загадку. Обломки конкреций подобного типа нередко можно встретить на бечевнике Волги в Рыбинском и Тутаевском районах. Несмотря на то, что они происходят из коренных отложений, на бечевнике они, безусловно, выпали из морены. На берегах Волги слои с оолитовыми конкрециями отмечались только до появления Рыбинского водохранилища и в настоящее время они являются недоступными. Из геологов-специалистов эти слои видел только С. Н. Никитин – знаменитый исследователь Ярославской юры. Об этом он упоминает в своей классической работе (1881) лишь следующее: «В последнюю мою поездку, при необыкновенно благоприятном низком уровне воды в Волге, я встретил против д. Перебор в основании юры особую синюю песчаную глину, пропитанную фосфористым железом и оолитовыми зернами бурого железняка. Но я ничего не могу сказать о значении этого пласта за полнейшим отсутствием в нем каких-либо органических остатков». Эти строки находятся в начале главы, посвященной характеристике юрских отложений Ярославской губернии; это позволяет полагать, что проблематичные слои Никитин относил к юрским, о чем он, между тем, ни разу не обмолвился. В дальнейшем уникальные слои, которые видел Никитин на берегу Волги, оказались затопленными Рыбинским водохранилищем и стали почти недоступными для исследования. После обнаружения аналогичных пород В. Н. Барановым в 1970-х гг. в разрезе у д. Дмитриевка появилась очередная возможность разобраться в их возрасте. Однако крайне редкая встречаемость органических остатков в глинах с железистооолитовыми конкрециями долгое время не позволяла этого сделать. Лишь в середине 1990-х гг. автору этого раздела, после применения расчисток, удалось найти в них целый набор определимых аммонитов. Последние оказались видами, характерными для нижней части келловейского яруса юрской системы Англии, Франции, Германии и др. стран Западной Европы. Так, было установлено, что юрские



**Деñ. 14.** Геологический разрез ГПП «Дмитриевка». Литологические обозначения см. на рис. 3.

отложения Ярославской области начинаются с нижнего подъяруса келловейского яруса (Баранов и др., 1996), а не со среднего, как это считалось ранее (Никитин, 1881, 1884; Зонов, 1936; Иванов, 1956 и др.).

**№ 8а ñ ëäâò è âäâò è ÿ.** В разрезе обнажаются породы двух мезозойских систем – триасовой и юрской (**деñ. 14**).

Óðè àm âàÿ ñè ñoâi à

Í è æí èé ï ðââé

Í èâi âê ñe èé ýðóñ

Ðû áèí ñe èé ãi ðè çí ð

1. Глина голубовато-серая, плотная, известковистая, с пропластками розовато-фиолетовой глины. Мощность от уреза воды до 1 м.

P ðñé ãy ñe ñoâi à

Ñðââi èé ï ðââé

Èâëëi ââé ñe èé ýðóñ, í è æí èé i i äüýðóñ

çí à Proplanulites koenigi

i i äçí à Kepplerites gowerianus

2. Глина алевритистая, светло серая, с зеленоватым оттенком, неравномерно окрашенная с редкими окатанными конкрециями триасового мергеля и окатышами голубовато серых глин. Мощность до 0,1 м.

3. Глина серая, слабоизвестковистая, комковатая с пропластками желтой глины. Мощность до 2 м.

4. Глина серовато-желтая, комковатая, с плитообразными темно-бурыми фосфоритовыми сростками. Фосфориты и глина переполнены железистыми оолитами и мелкими кристаллами гипса. В конкрециях изредко встречается ископаемая фауна: аммониты: *Kepplerites (Gowericeras) gowerianus* (Sow.) (ðââë. 14, ð è å. 3, 4), *Proplanulites* sp., *Pseudocadoceras (Costacadoceras) grewingki* (Pomp.), *Ps. (Pseudocadoceras) boreale* Buckm. (ðââë. 14, ð è å. 2), *Ps. (Ps.) tsytowitchae* (Parych.); белемниты: *Cylindroteuthis* sp., двустворчатые моллюски: *Mactromya* aff. *laevigata* (Lah.), *Entolium* sp.; брахиоподы: *Praecyclothyris badensis* (Opp.). Окаменелости представлены почти исключительно фосфоритовыми ядрами, но иногда замещены пиритом. Мощность 0,4 м.

5. Глина темно-серая, слюдистая, слабоизвестковистая, с небольшими конкрециями мелкозернистого пирита, в которых изредка встречаются легко разрушающиеся ядра *Cadoceras (Cadoceras)* sp. Мощность 0,3 м.

6. Глина серовато-желтая, комковатая, с плитообразными темно-бурыми фосфоритовыми сростками, содержащими железистые оолиты и окаменелости, как и в слое 3. Мощность 0,3 м.

7. Глина темно-серая, слюдистая известковистая, с конкрециями мелкозернистого пирита и с редкими ядрами *Cadoceras (Cadoceras)* sp. Мощность 1 м.

8. Глина серая, переслаивающаяся с желтой, слабоизвестковистая, с комковатой структурой. Верхняя часть слоя насыщена ходами современной почвенной фауны и переходит в почву. Мощность 1,5 м.

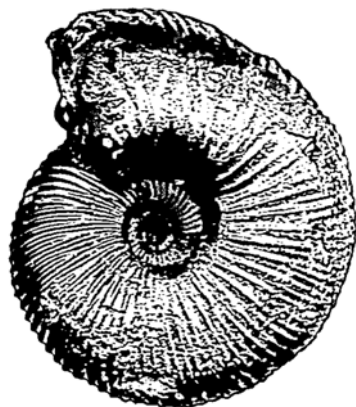
**Ñi ño i ýí èå i ñ ði èé.** Как и большинство

геологических обнажений, находящихся на малых реках, разрез у д. Дмитриевка находится в стадии зарастания. Несмотря на то, что расположение разреза приурочено к самой кромке перегиба речного меандра, где должно происходить наиболее интенсивное размывание берега, склон обрыва уже на всем протяжении покрыт растительностью. Этому способствует густая поросль кустарников у уреза воды, закрепляющих грунт. Выходы серых глин, заметные еще в середине 1990-х гг., в настоящее время покрыты тонким слоем дерна. Вероятно, обнажение будет и далее прогрессивно зарастать, если эрозионная деятельность реки не изменится.

Зарастанию берега активно способствуют и местные жители, живущие вблизи обнажения. Их дома расположены в охранной зоне памятника, непосредственно над разрезом, который они используют как место для свалки мусора, чем, непроизвольно или умышленно, уменьшают эрозию берега. Интересно отметить, что разрез в районе памятника был нормально обнаженным до появления на коренном берегу новых деревенских построек, строительство которых началось в 1990-х гг. Человеческая деятельность в районе уникального геологического объекта грозит ему полным исчезновением, в связи с чем ГПП у д. Дмитриевка нуждается в особых охранных мерах.

#### Объяснения к таблице 14

- Ôèä. 1. Пиритизированная раковина аммонита *Kosmoceras (Gulielmites) jason jason* (Rein.). ГПП «Конюшино». Средняя юра, средний келловей, зона и подзона *Kosmoceras jason*. Из коллекции ГМ им. А. Н. Иванова (ЯГПУ).
- Ôèä. 2. Ядро раковины аммонита *Pseudocadoceras (Pseudocadoceras) boreale* Buckman. ГПП «Дмитриевка». Слой 4. Средняя юра, нижний келловей, зона *Proplanulites koenigi*, подзона *Kepplerites gowerianus*. Из коллекции ГМ им. А. Н. Иванова (ЯГПУ).
- Ôèä. 3, 4. Ядро раковины аммонита *Kepplerites (Gowericeras) gowerianus* (Sow.). Местонахождение и возраст те же. Из коллекции ГМ им. А. Н. Иванова (ЯГПУ).
- Ôèä. 5, 6. Ростр белемнита *Cylindroteuthis (Arctoteuthis) subextensa* (Nik.). Фиг. 5 – вид с брюшной стороны, фиг. 6 – вид с боковой стороны. ГПП «Конюшино». Средняя юра, средний келловей, зона и подзона *Kosmoceras jason*. Из коллекции ГМ им. А. Н. Иванова (ЯГПУ).
- Ôèä. 7. Ростр белемнита *Lagonibelus (Holcobeloides) beaumonti* (Orb.). Местонахождение и возраст те же. Из коллекции ГМ им. А. Н. Иванова (ЯГПУ).
- Ôèä. 8. Внешний вид обнажения у д. Конюшино. На переднем плане видны серые келловейские глины, уходящие под урез воды, позади которых – черные верхнеоксфордские глины с вышележащей мореной.



# КОНЮШИНО

Konyushino

Ñò àò óñ. ГПП историко-геологического типа юрской системы местного ранга.

Óí è êàëëü í ñò ÿ. Единственный разрез на р. Черемухе и второй в Ярославской области, где обнажаются слои среднего подъяруса келловейского яруса.

Ì àñò í i í èë áí èâ. Рыбинский район. Правый берег р. Черемухи на 400-500 м выше д. Дмитриевки и напротив д. Конюшино (**ðèñ. 9**). Долина р. Черемухи выше д. Дмитриевки резко расширяется. Правый берег становится низким и образует пойму, местами переходящую в первую надпойменную террасу. Левый берег, наоборот становится высоким. Река здесь не образует изгибов и течет прямо около половины километра. Коренной берег отступает далеко, до автомобильной трассы на Рыбинск, за которой находится д. Конюшино. Обнажение находится примерно посередине прямого участка реки, примерно напротив д. Конюшино, хотя деревня находится в отдалении, в 330-500 м. Долина на правом берегу реки имеет довольно сложное строение. Несмотря на то, что берег низкий и затапливается в половодье, классическая речная пойма, образованная речными наносами, здесь отсутствует и река окаймляется, практически, первой надпойменной террасой. Последняя сложена не речными наносами, а мореной и фрагментами коренных отложений, которые образуют причудливый рельеф правого берега. Это система небольших моренных холмов, сложенных красноватым суглинком, между которыми расположены глубокие западины. Во время половодья они заполняются стоячими водами и образуют небольшие временные болотца. Один из холмов, самый крупный, местами обнаженный, имеет вытянутую форму и протягивается вдоль берега, чем напоминает уступ коренного берега. Однако за ним опять начинается понижение. На вершине одного из холмов, примерно в ста метрах от обнажения, находится хутор – ближайшее поселение около памятника.

Èí í ô èäðäöèÿ. Обнажение является небольшим обрывом в первой надпойменной террасе у самого уреза воды и состоит из двух выходов коренных пород на протяжении 100 м берега, разделенных небольшим промежутком. Протяженность обоих разрезов не превышает 15 м, их высота очень изменчива – от 0,5 до 5 м. Характер склонов также сильно изменяется, от пологих до весьма крутых, что также связано с небольшими оползнями (**ðàáë. 14, ô èä. 8**).

Ì ôðäáí í àÿ çí á включает 50 м вдольбереговой полосы выше склона первой надпойменной террасы.

Ñò ðàò è äðäô èÿ. В обнажении выходят слои, принадлежащие юрской системе, которые и составляют главную достопримечательность памятника. Однако они не имеют привычного горизонтального залегания и имеют непостоянную мощность. Ниже приводится сводное послойное описание разреза (снизу вверх), в котором указаны максимальные мощности слоев.

Р ðñéàÿ ïèñðâ à  
Ñðääí èé í ðäëë  
Èäëëí âäéñè èé ýðóñ  
çí á Kosmoceras jason

1. Глина темно-серая, слабоизвестковистая, плотная, неслоистая, с редкими конкрециями крупнокристаллического пирита. В слое нередко встречаются разнообразные остатки беспозвоночных, образующие скопления двух типов. К первому типу относятся массовые захоронения ростров белемнитов, имеющие, как правило одинаковые размеры. Во втором типе скоплений участвуют все группы беспозвоночных, среди которых обязательно присутствуют крупные, размером с кулак и больше, раковины аммонитов, преимущественно, рода *Cadoceras*. В каждом скоплении их обычно несколько и они занимают его центральную часть. Вокруг раковин аммонитов, часто с раздавленными наружными оборотами, порода насыщена раковинами более мелких беспозвоночных: белемнитов, брюхоногих и двустворчатых моллюсков, брахиопод и др. Большинство крупных и средних раковин часто инкрустировано или замещено пиритом, но мелкие экземпляры в основном имеют полную сохранность. Àí í î èðû : *Kosmoceras jason* (Rein.) (**ðàáë. 14, ô èä. 1**), *K. subnodatum* (Teiss.), *Gulielmiceras jenceni* Teiss., *G. aff. castor* (Rein.), *Cadoceras (Rondiceras) milaschevici* (Nik.), *Cadoceras (Streptocadoceras) arcticoides* Kiselev et Meledina, *Indosphinctes mutatus* (Trd.), *Okaites pseudemosquensis* (Siem.). Áäë áí í èðû : *Lagonibelus (Holcobeloides) beaumonti* (Orb.) (**ðàáë. 14, ô èä. 7**), *Cylindroteuthis oweni* (Pratt et Phill.), *C. (Arctoteuthis) subextensa* (Nik.) (**ðàáë. 14, ô èä. 5, 6**), *Pachyteuthis cf. bodylevskii* Sachs et Naln., *Pachyteuthis (Pachyteuthis) tschernischewi* Krim., *Acroteuthis*

(*Microbelus*) *krimholzi* Gust. **Ааñððî ï ñ äü**: *Cryptaulax (Cryptaulax) pseudoechinatus* Geras., *Parvulactaeon* sp., *Glosia exigua* (Geras.), *Pseudomelania extricata* Blake, *Bathrotomaria muensteri* (Roem.), *Eucyclus* sp., *Proacirsa struvii* (Lah.), *Buvignieria* sp. nov., ?*Khetella makaryevensis* Guzhov, in litt. **Ëí ãðî ï ñ äåå**: *Laevidentalium* sp. **Äåñððî ðèè**: *Entolioum* sp., *Neocrassina (Trautscholdia) gibba* (Geras.), *N. (T.) sauvagei* (Lor.), *Grammatodon (Cosmetodon) keyserlingi* (Orb.), *Nuculoma calliope* (Orb.), *Nanogyra nana* (Sow.), *Pholadomya* sp. **Äðàðèññ î äü**: *Ivanovella personata* (Buch.). **Áí ï äëëäü**: "Serpula" *limax* Gold. **Ôî ðàì èí è ô äðû**: *Lenticulina cidaris* Kos., *L. tumida* Miat., *L. mira* Kos., *L. attenuate* Ku. et Zwing., *Epistomina mosquensis* Uhlig. Мощность в северной части разреза до 3,5 м. Ниже уреза воды глина выстилает дно реки на протяжении около 20 м.

**Î êñô ï ðäññ èé ÿðóñ, í è æí èé ï ñ äúÿðóñ**  
çí í à *Cardioceras cordatum*

2. Глина светлая пепельно-серая, известковистая, со слюдой и гороховидными фосфоритами, светлыми снаружи и коричневыми на расколе. Изредка встречаются обломки мелких раковин *Cardioceras (Cardioceras)* ex gr. *cordatum* (Sow.). Слой наклонен на 45 градусов к югу. Мощность 0,1 м.

**Î êñô ï ðäññ èé ÿðóñ, ïðääí èé ï ñ äúÿðóñ**  
çí í à *Vertebriceras densiplicatum*

3. Глина желто-коричневая, алевритистая, с мергельными и фосфоритовыми конкрециями и редкими аммонитами *Perisphinctes (Perisphinctes)* ex gr. *martelli* (Opp.). Слой наклонен на 45 градусов к югу. Мощность 0,05 м.

**Î êñô ï ðäññ èé ÿðóñ, äåðöí èé ï ñ äúÿðóñ**

4. Глина черная тонкослоистая, слюдистая с мелкими раздавленными аммонитами *Prionodoceras* sp. juv. Основание слоя наклонено на 45 градусов к югу. Мощность в южной части разреза до 1 м.

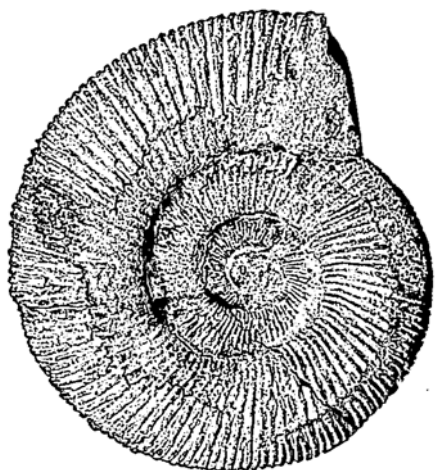
× äðååððè÷í àÿ ñèñðåì à

5. Морена красно-бурая, с прослойми зеленовато-бурого песка и линзовидными отторженцами коренных пород, черных верхнеоксфордских и серых келловейских глин.

**Öñëî ãèÿ çàëåäái èÿ ÿëî ãâ.** Юрские слои имеют сильное нарушение первичного горизонтального залегания. Эти нарушения появились, вероятно, под воздействием ледника, отложившего здесь красно-бурую морену, в которую попали и мелкие отторженцы юрских пород. Все юрские слои наклонены к югу примерно на 45 градусов, поэтому самые древние осадки находятся не ниже всех, а несколько сбоку. Они принадлежат среднекелловейским серым глинам, и самая древняя их часть находится в северной части обнажения у уреза воды. Верхняя часть серых глин уже не имеет первичной плотной структуры, хотя по цвету не отличается от остальной массы. Она более рыхлая, комковатая и напоминает мелкораздробленную спрессованную породу. Окаменелости в ней также большей частью переломаны. В ее состав включены и прослои моренного суглинка; это указывает на то, что рассматриваемая часть глин испытала непосредственное воздействие ледника на контакте с породой - своеобразный ледниковый метаморфизм. Наблюдаемое нарушение, вероятно, представляет часть складки небольшого объема юрских слоев, выхваченного ледником, большая часть которых (в первую очередь келловейские) находится гораздо глубже зеркала Черемухи. Ближе к поверхности расположены черные глины верхнего оксфорда, они периодически обнажаются вдоль реки. В частности, вторая часть памятника уже полностью сложена черной глиной (ее обнажение находится вверх по течению от описываемого). Верхняя часть складки, очевидно, срезана ледником, на контакте с которым образовался прослой «метаморфизированной» глины.

Складчатые нарушения слоев представляют один из видов ледниковых дислокаций (или гляциодислокаций), что делает настоящий ГПП яркой иллюстрацией к плейстоценовой истории Ярославской области.

**Ñèñðô ï ýí èå ï ãè ÿðô í èëå.** Основные изменения в состоянии разреза связаны с его застанием, а также оползневой деятельностью. В настоящее время (по наблюдениям 2002 г.) выходы келловейских глин наблюдаются только у уреза воды, в то время как в 1980-е гг. они были полностью обнажены, вместе с остальными слоями келловея и оксфорда.



# ИОДА

Ioda

*№ 20 65*. ГПП историко-геологического типа юрской системы местного ранга. Обнажение выделено в памятник природы Рыбинского района по решению Ярославского облисполкома от 25 июля 1966 г., № 582, а также решением Малого Совета областного совета народных депутатов от 27 мая 1993 г. № 118.

**I** *аño i i ёi а ái èå*. Рыбинский район, правый берег р. Иоды в 50 м ниже моста через дорогу, где р. Иода образует небольшую излучину (**дёп. 9**). Река Иода (иногда называется Еда) является небольшим правым притоком р. Черемухи, в которую она впадает у с. Михайловского в 10 м ниже моста, ведущего в летний детский лагерь.

**Èî i ô è äöðäö ë**. Обнажение представляет крутой обрыв в первой надпойменной террасе высотой до 5 м и длиной около 10 м (**ðàáë. 15, ô èä. 1**). Оно прислоняется к плесу излучины (самой глубокой части русла), поэтому стенка обрыва интенсивно размывается и является очень крутой, а пойма отсутствует. Погодой же причине разрез прекрасно обнажен и доступен непосредственному изучению.

Î ïðåäèí î áû çí î à включает 50 м вдольбереговой полосы выше склона первой надпойменной террасы.

**№ 2а० ेа० 2а० 2а० 2а०**. В разрезе выходят слои юрской и четвертичной систем. Основной интерес представляют юрские слои, относящиеся к келловейскому и оксфордскому ярусам. Здесь, снизу вверх, последовательно залегают 5 слоев, относящихся к 5 аммонитовым зонам келловея и оксфорда (**д-р. 15**):

**P** ðñê à y ñè ñoái à, ñðääí è é í ðääé  
Ê äé è í áåé ñé è é ýðöñ, ñðääí è é í i áúýðöñ, cí í à Kosmoceras jason

1. Глина темно-серая плотная неслоистая известковистая с конкрециями пирита и марказита. Ископаемая фауна: Аммониты: *Kosmoceras (Gulielmites) jason* (Rein.), *Gulielmiceras (Gulielmiceras) gulielmii* (Sow.), *G.(Spinikosmoceras) aff. castor* (Rein.), *C. (Streptocadoceras) arcticoides* Kiselev et Meledina (далее. 16, 6-я, 1, 2), *C. (Rondiceras) milaschevici* (Nik.), *C. (R.) milaschevici compressum* (Nik.). Белемниты: *Lagonibelus beaumonti* (Orb.), *Pachyteuthis krimholzi* Gust. Брюхоногие моллюски: *Bathrotomaria muensteri* (Roem.), *Eucyclus* sp., *Proacirsa struvii* (Lah.) и др. Двустворчатые моллюски: *Neocrassina (Trautscholdia) gibba* (Geras.), *N. (T.) sauvagei* (Lor.), *Grammatodon (Grammatodon)* sp., *Nuculoma calliope* (Orb.) и др. Также в изобилии встречаются брахиоподы, лопатоногие, кольчатые черви и фораминиферы (5 видов). Слой находится под водой и выстилает дно реки.

Êåëëî âåéñê è é ÿðóñ, âåðõí è é ï î äúÿðóñ, cí í à Peltoceras athleta

2. Глина темно-серая, плотная, неслоистая, с железистыми оолитами и небольшими ореховидными конкрециями оолитового фосфатизированного мергеля. В последних встречены аммониты *Kosmoceras* (*Lobokosmoceras*) cf. *proniae* Teiss. Мощность до 0,2 м. Этот слой совместно с предыдущим обычно находится под водой и недоступен изучению. Его удалось обнаружить в необычайно засушливое лето 2002 г., когда уровень воды опустился на 1 м ниже обычного.

Î ê ñô î ðäñê è é ÿðóñ. í è æí è é ï î äúÿðóñ. cî í à Cardioceras praecordatum

3. Глина темно-серая, плотная, неслоистая, известковистая, с конкрециями пирита и марказита. Ископаемая фауна: Аммониты: *Cardioceras (Scarburgiceras) praecordatum* Douv., *C. (S.) alphacordatum* Spath (далее 16, 6-я 3) и др. Белемниты часто переполняют породу и представлены 6 видами с преобладанием *Cylindroteuthis spicularis* (Phill.) (далее 22, 6-я 1, 2). Среди бентосных животных найдено два вида гастропод, шесть видов двустворчатых, один вид брахиопод, один вид полихет. Мощность до 0,6 м.

*Q. à Cardioceras cordatum*

4. Глина бледно-желтая или охристая, с прожилками пепельно-серой глины. Последняя преобладает в кровле слоя. В средней части слоя глина местами переходит в рыхлый желтоватый мергель или известняк. В глинистой части слоя изредка встречаются мелкие конкреции фосфоритов глинистого

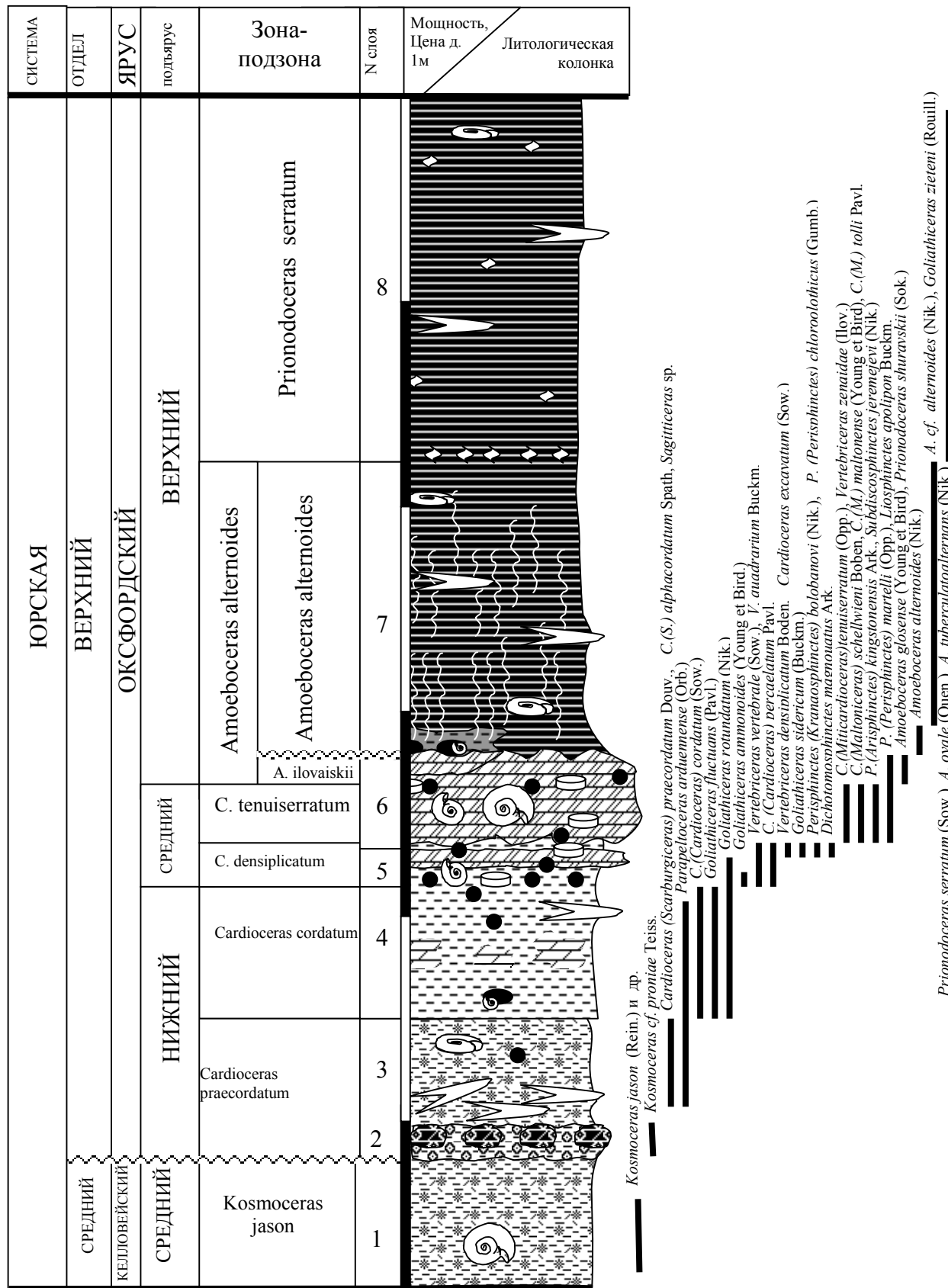


Рис. 15. Геологический разрез ГПП «Иода». Литологические обозначения см. на рис. 3.

типа. Фауна встречается очень редко. Аммониты: *Cardioceras* (*Cardioceras*) cf. *cordatum* (Sow.) (ðàáë. 16, ðèä. 4, 5), *C. (C.) percaelatum* Pavl., *C. (Vertebriceras) vertebrale* (Sow.), *C. (V.) aff. quadratum* (Lor.), *Goliathiceras* (*Goliathites*) sp., *G. (Korythoceras) rotundatum* (Nik.), *G. (Korythoceras) cf. fluctuans* (Pavl.) (ðàáë. 16, ðèä. 6-9), *Peltoceras* (*Peltoceratoides*) *arduennense* (d'Orb.), *Perisphinctes* (*Perisphinctes*) aff. *plicatilis* (Sow.); белемниты *Cylindroteuthis* (*Cylindroteuthis*) *puzoziana* (d'Orb.), *Lagonibelus* (*Lagonibelus*) *nitida* (Dollf.), *Pachyteuthis* (*Pachyteuthis*) *panderiana* (d'Orb.), *P. (P.) miatschkoviensis* (Ilov.), *P. (Simobelus) curta* Logan, *P. (S.) cf. cuneata* Gust., *P. (S.) abbreviata* (Miller); двустворки *Camptonectes lens* Sow., *Oxytoma* sp., *Nuculoma* sp., *Neocrassina* (*Trautscholdia*) cf. *cordata* (Trd.); губки *Stramentella* sp.; фораминиферы *Epistomina parastelligera* Hof., *E. ex gr. mosquensis* Uhlig, *Pseudolamarkina sualkensis* Grig., *Lenticulina uhligi* Wisn., *L. rotundata* Wisn., *L. ex gr. hebetata* Swag., *Astacolus erucaeformis* Wisn., *A. follium* Wisn., *Dentalina jurassica* Gumb., *D. dolioiligera* Schwag., *Vaginulina dimidia* Grig. Мощность 0,65 м.

Î êñô î ðäñê è é ÿðóñ, ñðääí è é î îäúÿðóñ,  
çí à Vertebriceras densiplicatum , î îäçí à Ñardioceras popilaniense

5. Глина светлая, пепельно-серая или буроватая известковистая, слюдистая неслоистая. В составе слоя часто встречаются гороховидные фосфориты глинистого типа. В слое изредка попадаются небольшие полуразрушенные членики морской лилии *Acrochordocrinus* sp. Фауна представлена фрагментарно. Среди аммонитов наиболее часто встречаются *C.(C.) percaelatum* Pavl. и *Vertebriceras vertebrale* (Sow.). Мощность слоя до 0,2 м.

Î êñô î ðäñê è é ÿðóñ, ñðääí è é î îäúÿðóñ, çí à Amoeboceras alternoides, î îäçí à Amoeboceras ilovaiskii

6. Глина желто-коричневая, алевритистая, доломитизированная, с конкрециями фосфатизированного и доломитизированного мергеля. Слой переполняют мелкие светлые фосфориты, часто окруженные концентрическими слоями желтой-зеленой глауконитизированной глины. Ископаемая фауна очень насыщена: 25 видов аммонитов (ðàáë. 15-21); белемниты *Cylindroteuthis* (*Cylindroteuthis*) cf. *oweni* (Phill.), *Pachyteuthis* (*Pachyteuthis*) *panderiana* (Orb.); гастроподы *Bathrotomaria* sp. nov. (ðàáë. 22, ðèä. 7); двустворки *Astarte falki* (Rouill.), *Pholadomya* sp., *Loripes* sp., *Velata psyche* (d'Orb.), *Gryphaea alligata* (Quenst.); брахиоподы *Aulacothyris impressa* (Bronn) (ðàáë. 22, ðèä. 10), *Zeilleria trautscholdi* (Neum.), *Praecyclothyris* sp. (ðàáë. 22, ðèä. 8, 9); иглокожие *Acrochordocrinus insignis* Trd. (ðàáë. 22, ðèä. 11-13), *Plegiocidaris* cf. *charmassei* Cotteau; аннелиды "Serpula" *limax* Goldf., "S." *spirolinites* Münster; фораминиферы *Lagenammina compressa* Paalz, *Ammobaculites jurassicus* Schw., *Nodosaria jurassica* Gumb., *Bojarkaella turbiformis* Schw., *Lenticulina comae* Byk., *L. hebetata* Schw., *L. primaefranconica* Gumb., *L. ex gr. inflata* Wisn., *Dentalina dolioiligera* Schw., *D. pseudoarcuata* Seibold, *Astacolus erucaeformis* Wisn., *Falsopalmula deslongshamps* Terq., *Epistomina parastelligera* Hof., *E. uhligi* Miatl., *E. nemunensis* Grig. В наиболее сохранившейся и самой мощной части (до 0,5 м) слоя аммониты распределяются в последовательность из трех комплексов, определяющих три аммонитовые зоны или подзоны:

6а. Подзона *Vertebriceras densiplicatum*. Порода насыщена окислами железа, придающими ей более рыжеватую окраску. Глауконитовые включения отсутствуют. Для подзоны характерна частая встречаемость крупных члеников морской лилии *Acrochordocrinus insignis* Trd. Среди аммонитов доминируют *Vertebriceras densiplicatum* (Boden), *Cardioceras (Maltoniceras) maltonense* (Young et Bird). Мощность около 0,05 м.

6б. Зона *Cardioceras tenuiserratum*. Глина желтовато-серая, более мергелистая, с зелеными глауконитовыми примазками. Членики морских лилий встречаются нередко. Среди аммонитов доминируют мелкие раковины *Cardioceras (Mitocardioceras) tenuiserratum* (Opp.), *Vertebriceras zenaiae* (Ilov.) и обломки крупных колесовидных раковин рода *Perisphinctes*. Мощность подзоны до 0,3 м.

6в. Зона *Amoeboceras alternoides*, подзона *Amoeboceras ilovaiskii*. Глина зеленовато-серая с частыми глауконитовыми примазками и стяжениями фосфатизированного мергеля. Среди аммонитов преобладают *Amoeboceras glosense* (Young et Bird) (ðàáë. 19, ðèä. 3, 4). Мощность до 0,1 м.

Î êñô î ðäñê è é ÿðóñ, âåððí è é î îäúÿðóñ, î îäçí à Amoeboceras alternoides

7. Глина черная, слюдистая, пиритизированная, тонкогоризонтальнослойистая, со следами обильной биотурбации (ходами донных роющих животных). В подошве слоя местами встречаются линзочки темно-серой глины с мелкими гладкими фосфоритами. Аммониты имеют хорошую сохранность только в конкрециях (в виде ядер), но в глинах, в основном, раздавлены. Среди них господствуют *Amoeboceras alternoides* (Nik.) (ðàáë. 15, ðèä. 7, 8) и *Goliathiceras zieteni* (Roll.) (ðàáë. 15, ðèä. 6). Гастроподы: *Clathrobaculus krantzi* (Rouill.), *C. sp. nov.*, *Dicroloma cochleata* (Quenst.), ?*Plicacerithium apicatum* (Eichw.); лопатоногие: *Laevidentalium gladiolus* (Eichw.); двустворки: *Neocrassina* (*Trautscholdia*) *cordata* (Trd.), *Astarte aff. trembiazensis* (Lor.), *Grammatodon* (*Cosmetodon*) *rouillieri* (Trd.); *G. (G.) aff. pictum* (Milasch. in Lah.); фораминиферы: *Epistomina uhligi* Miatl., *Pseudonodosaria tutkowskii* Miatl., *Lenticulina hebetata* Schw., *L. primaeformis* Miatl., *Marginulina declivis* Sew., *Planularia beierana* Gymb., *Saracenaria digus* Azbel, *Epistomina nemunensis* Grig. Мощность 1,5 м.

Î êñô î ðäñê è é ÿðóñ, âåððí è é î îäúÿðóñ, çí à Prionodoceras serratum

8. Глина черная, слюдистая, пиритизированная, тонкогоризонтальнослойистая, с обильными гнездами глауконита. Биотурбация не выражена. Все аммониты раздавлены, представлены в основном

*Prionodoceras serratum* (Sow.) и *Amoeboceras ovale* (Quenst.). Белемниты встречаются часто, имеют хорошую сохранность. Аммониты: *Amoeboceras* (*Amoeboceras*) cf. *ovale* (Quenst.), *A. (A.) alternans* (Buch), *A. (A.) tuberculatoalternans* (Nik.), *Prionodoceras* cf. *serratum* (Sow.); бе-лемниты *Pachyteuthis* (*Pachyteuthis*) *panderi* (d'Orb.) (д.а.е. 22, б.е. 5, 6), *P. (Simobelus) abbreviata* (Miller) (д.а.е. 22, б.е. 3, 4); гастроподы *Clathrobaculus krantzi* (Rouill.), *Bicorempterus pseudopellati* (Geras.), *Maturifusus keysertlingianus* (Rouill.), *Cosmocerithium contiae* Guzhov; двустворки *Neocrassina* (*Trautscholdia*) *cordata* (Trd.), *Neocrassina* ? cf. *orientalis* Zach., *Isognomon cf. promytiloides* Arkell, *Nuculana rouillieri* (Nik.), *Grammatodon* (*Cosmetodon*) *rouille-ri* (Trd.); брахиоподы: *Ivanovella* sp. Мощность слоя до 2 м.

× àòâåðòè÷í àÿ ñè ñòâì à

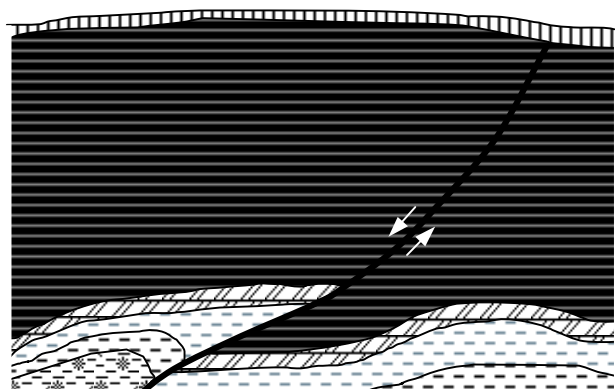
9. Суглинок опесчаненный красно-бурый с линзами песка и валунами. На протяжении обнажения слой имеет неодинаковую мощность до 0,4 м и может исчезать.

Õàðàéò åð çàëåäàí è ý ñéî åâ. Слои юрских пород в разрезе не имеют привычного горизонтального залегания - они сильно нарушены поперечными разрывами и связанными с ними изгибанием слоев. Лучше всего заметен крупный разрыв в центральной части обнажения, по которому наблюдается заметное смещение слоев (д.е.п. 16). Его плоскость скольжения полого наклонена и хорошо заметна на контакте сдвинутых светлых глинистых слоев (1-4) относительно черных верхнеоксфордских глин (слой 5). Вблизи плоскости разрыва некоторые слои заметно изгибаются, образуя небольшие складки. Поскольку висячее крыло нарушения состоит из более древних пород (ниже-среднеоксфордских), чем лежачее (верхнеоксфордские слои), можно считать данное нарушение взбросом или небольшим надвигом. Амплитуда смещения крыльев довольно значительная – около 1,5 м. Природа вышеописанного нарушения, без сомнения, имеет ледниковую природу, а само нарушение, вероятно, является складчато-чешуйчатой разновидностью гляциодислокаций. Такие нарушения особенно характерны для морен выдавливания, образующихся по краям ледника, и в этом случае дислоцированные породы образуют т.н. чешуйчатые (скибовые) краевые морены, в которых могут быть и отторженцы коренных пород. Вполне возможно, что слои, выходящие в данном разрезе, также являются небольшими отторженцами. Чешуйчатые нарушения коренных пород, связанные с движением ледника, встречаются нередко в Ярославской области, однако в обнажении на р. Иода они представлены наиболее ярко, что добавляет еще одну уникальную черту данному геологическому памятнику.

Àñò åñò ååí í û å è çì áí áí è ý è åû çû åàþ ù è å è ð i ðè÷éí û. Обнажение постоянно размывается рекой и никогда не зарастает. Однако скорость разрушения выходящих слоев относительно низкая, т.к. размываемые отложения состоят из плотных глинистых пород. Существенные изменения в разрезе становятся заметны через 5-6 лет. Они фиксируются по изменению конфигурации слоев и расстояний до различных неподвижных предметов. В частности, нами отмечено, что крупный валун, лежащий на террасе выше обнажения, приблизился к кромке разреза на 0,2 м с 1996 г. Одновременно изменилась мощность и форма поверхностей некоторых слоев, что объясняется также их дислоцированностью. Это позволяет

полагать, что обнажение продвигается в глубь надпойменной террасы приблизительно со скоростью 4 см в год. Вероятно, в связи с вышесказанным, внутренние особенности облика разреза и его слоев никогда не повторяются после разрушения, поэтому представляется важным его постоянное ежегодное изучение.

Áí ò ði i í ååí í û å è çì áí áí è ý è åû çû åàþ ù è å è ð i ðè÷éí û. Обнажение имеет очень скромные размеры и совершенно непригодно для массовых экскурсий, т.к. может быть разрушено за считанные часы. При массовых экскурсиях, в основном школьников, происходит энергичное и беспорядочное раскапывание слоев в поисках окаменелостей, в результате чего обнажение быстро засыпается породой, а неповторимый облик разреза исчезает. В связи с этим на обнажении допустима работа только под прямым контролем специалистов, без масштабных раскопов и в рамках деликатного научного мониторинга.



Д.е.п. 16. Схематическое изображение гляциодислокации в оксфордских глинах разреза ГПП «Иода». Литологические обозначения см. на рис. 3.

## Объяснения к таблицам. ГПП «Иода»

Таблица 15

- Ôèä. 1. Общий вид обнажения оксфордских слоев ГПП «Иода». Снимок сделан в 2002 г.
- Ôèä. 2, 3. Мергелистое ядро раковины аммонита *Goliathiceras (Pachycardioceras) rouilleri* (Nik.). Костромская обл., р. Сендега. Верхняя юра, средний оксфорд, зона *Cardioceras tenuiserratum*. Из коллекции ГМ им. А. Н. Иванова (ЯГПУ).
- Ôèä. 4, 5. Ядро раковины аммонита *Cardioceras (Miticardioceras) tenuiserratum* (Opp.). ГПП «Иода». Верхняя юра, средний оксфорд, зона *Cardioceras tenuiserratum*. Из коллекции ГМ им. А. Н. Иванова (ЯГПУ).
- Ôèä. 6. Деформированное ядро с остатками раковины аммонита *Goliathiceras zieteni* (Roll.). ГПП «Иода». Верхняя юра, верхний оксфорд, зона *Amoeboceras alternoides*. Из коллекции ГМ им. А. Н. Иванова (ЯГПУ).
- Ôèä. 7, 8. Обломок фосфатизированного ядра аммонита *Amoeboceras alternoides* (Nik.). Костромская обл., р. Сендега. Верхняя юра, верхний оксфорд, зона *Amoeboceras alternoides*. Из коллекции ГМ им. А. Н. Иванова (ЯГПУ).

Таблица 16  
Аммониты келловея и оксфорда

- Ôèä. 1, 2. *Cadoceras (Streptocadoceras) arcticoides* Kiselev et Meledina. Средняя юра, средний келловей, зона *Kosmoceras jason*. Из коллекции ГМ им. А. Н. Иванова (ЯГПУ).
- Ôèä. 3. *Cardioceras (Scarburgiceras) alphacordatum* Spath. Верхняя юра, нижний оксфорд, зона *Cardioceras praecordatum*. Из коллекции ГМ им. А. Н. Иванова (ЯГПУ).
- Ôèä. 4, 5. *Cardioceras (Cardioceras) cf. cordatum* (Sow.). Верхняя юра, нижний оксфорд, зона *Cardioceras cordatum*. Из коллекции ГМ им. А. Н. Иванова (ЯГПУ).
- Ôèä. 6-9. *Goliathiceras (Korythoceras) cf. fluctuans* (Pavl.). Верхняя юра, нижний оксфорд, зона *Cardioceras cordatum*. Из коллекции ГМ им. А. Н. Иванова (ЯГПУ).

Таблица 17  
Аммониты среднего оксфорда

- Ôèä. 1, 2. Ядро раковины аммонита *Cardioceras (Maltoniceras) schellwieni* Boden. Костромская обл., р. Сендега. Верхняя юра, средний оксфорд, зона *Cardioceras tenuiserratum*. Из коллекции ГМ им. А. Н. Иванова (ЯГПУ).
- Ôèä. 3, 4. Ядро раковины аммонита *Cardioceras (Scoticardioceras) tolli* Pavlow. Костромская обл., р. Сендега. Верхняя юра, средний оксфорд, зона *Cardioceras tenuiserratum*. Из коллекции ГМ им. А. Н. Иванова (ЯГПУ).

Таблица 18  
Аммониты среднего оксфорда

- Ôèä. 1-3. *Vertebriceras densiplicatum* (Boden). ГПП «Иода». Верхняя юра, средний оксфорд, зона *Vertebriceras densiplicatum*. Из коллекции ГМ им. А. Н. Иванова (ЯГПУ).
- Ôèä. 4. *Cardioceras (Maltoniceras) schellwieni* Boden. ГПП «Иода». Верхняя юра, средний оксфорд, зона *Cardioceras tenuiserratum*. Из коллекции ГМ им. А. Н. Иванова (ЯГПУ).
- Ôèä. 5, 6. *Vertebriceras rachis* Buckman. ГПП «Иода». Верхняя юра, средний оксфорд, зона *Vertebriceras densiplicatum*. Из коллекции ГМ им. А. Н. Иванова (ЯГПУ).
- Ôèä. 7. *Cardioceras (Maltoniceras) maltonense* (Young et Bird). ГПП «Иода». Верхняя юра, средний оксфорд, зона *Vertebriceras densiplicatum*. Из коллекции ГМ им. А. Н. Иванова (ЯГПУ).

Таблица 19  
Аммониты оксфорда

- Ôèä. 1, 2. *Goliathiceras (Goliathites) goliathum* (Orb.). ГПП «Иода». Верхняя юра, средний оксфорд, зона *Vertebriceras densiplicatum*. Из коллекции ГМ им. А. Н. Иванова (ЯГПУ).
- Ôèä. 3, 4. *Amoeboceras glosense* (Bigot et Brasil). Костромская обл., р. Сендега. Верхняя юра, верхний оксфорд, зона *Amoeboceras ilovaiskii*. Из коллекции ГМ им. А. Н. Иванова (ЯГПУ).
- Ôèä. 5. *Vertebriceras zenaiae* (Ilov). ГПП «Иода». Верхняя юра, средний оксфорд, зона *Vertebriceras densiplicatum*. Из коллекции ГМ им. А. Н. Иванова (ЯГПУ).

Таблица 15



Таблица 16

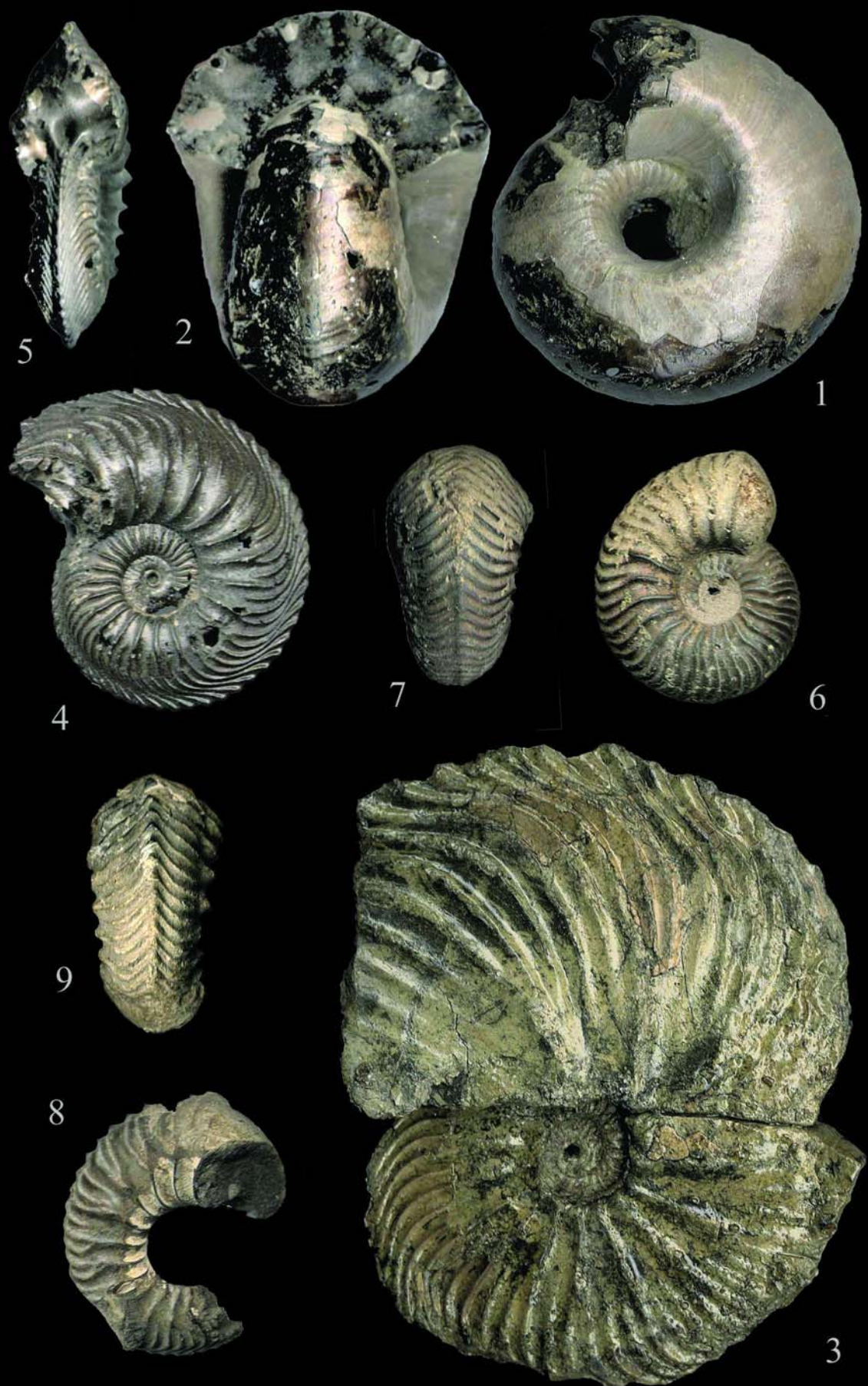
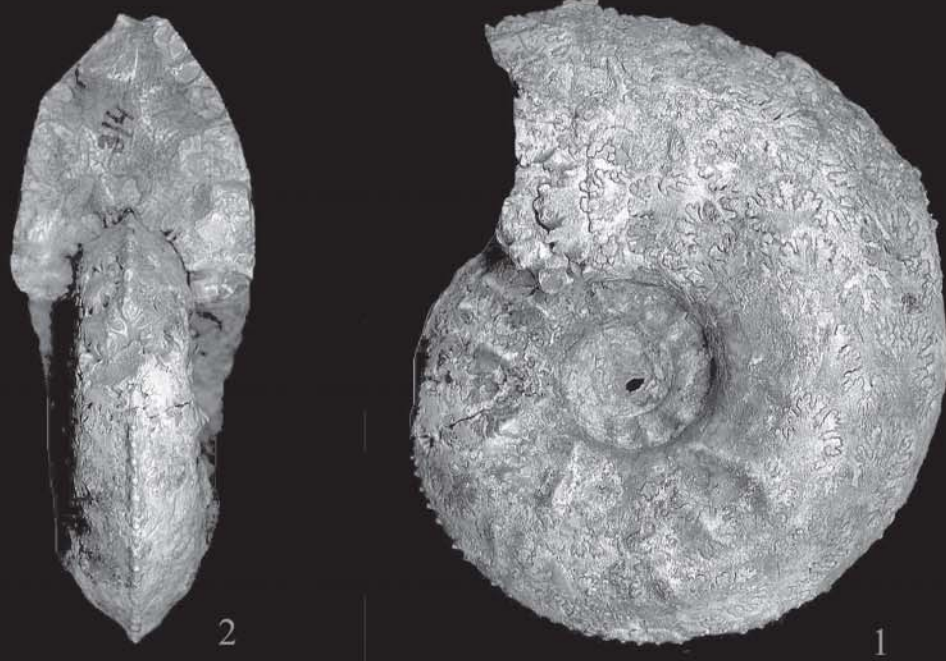


Таблица 17



2

1



4

3

Таблица 18

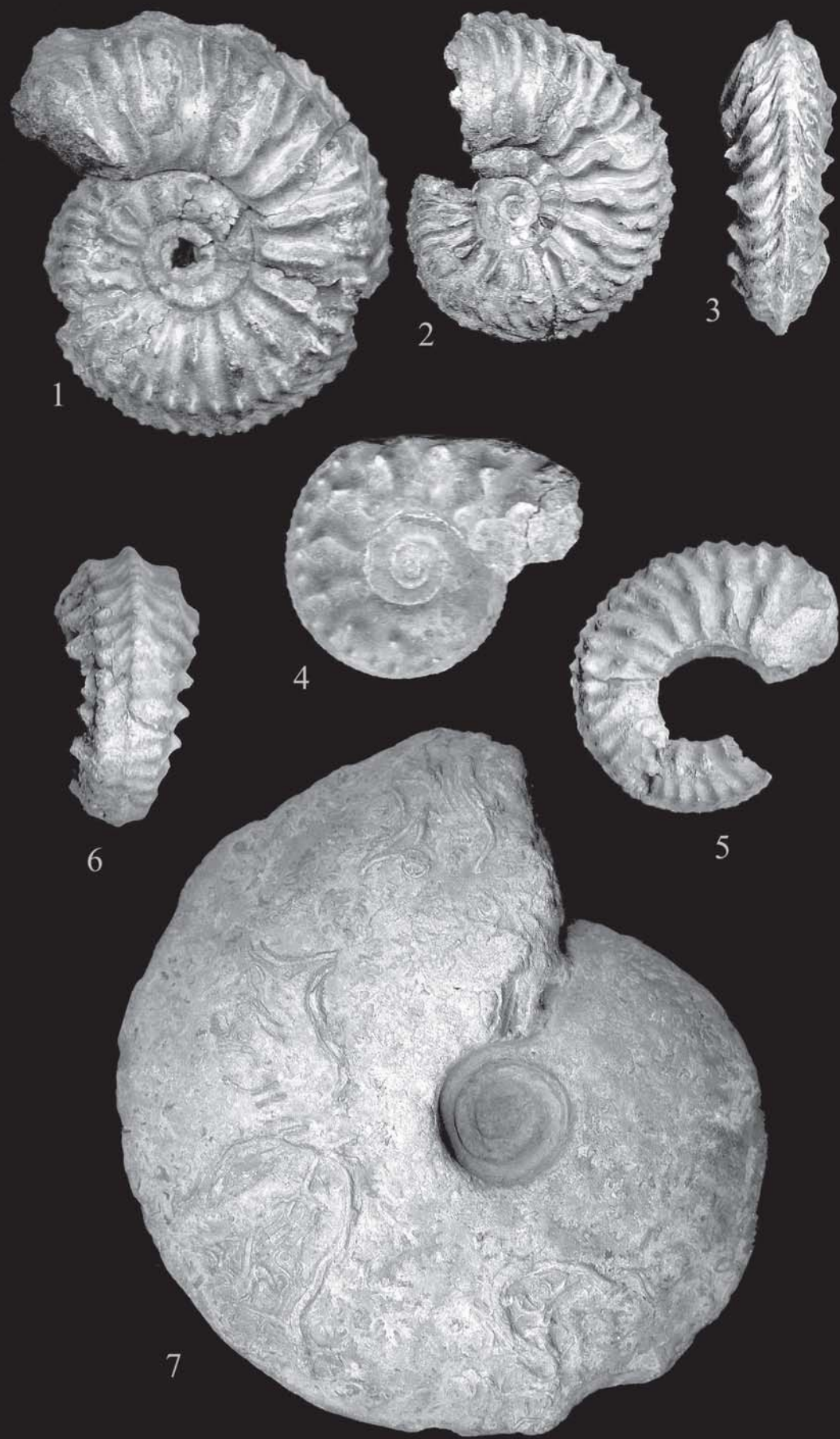


Таблица 19



Таблица 20



Таблица 21



Таблица 22



Таблица 20  
Аммониты среднего оксфорда

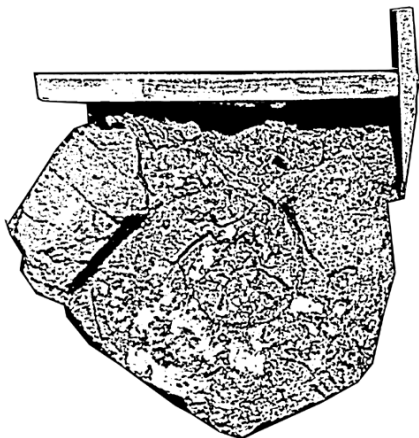
- Ôèä. 1, 2. *Perisphinctes (Perisphinctes) martelli* (Opp.). Костромская обл., р. Сендега. Верхняя юра, средний оксфорд, зона Vertebriceras densiplicatum. Из коллекции ГМ им. А. Н. Иванова (ЯГПУ).  
Ôèä. 3. *Perisphinctes (Perisphinctes) martelli* (Opp.). ГПП «Иода». Верхняя юра, средний оксфорд, зона Vertebriceras densiplicatum. Из коллекции ГМ им. А. Н. Иванова (ЯГПУ).

Таблица 21  
Аммониты среднего оксфорда

- Ôèä. 1, 2. *Subdiscosphinctes jeremejevi* (Nik.). ГПП «Иода». Верхняя юра, средний оксфорд, зона Cardioceras tenuiserratum. Из коллекции ГМ им. А. Н. Иванова (ЯГПУ).  
Ôèä. 3. *Perisphinctes (Kranaosphinctes) bolobanowi* (Nik.). Костромская обл., р. Сендега. Верхняя юра, средний оксфорд, зона Vertebriceras densiplicatum. Из коллекции ГМ им. А. Н. Иванова (ЯГПУ).

Таблица 22

- Ôèä. 1, 2. Ростр белемнита *Cylindroteuthis (Cylindroteuthis) spicularis* (Phill.). Фиг. 1 – вид с брюшной стороны, фиг. 2 – вид с боковой стороны. (Nik.). Верхняя юра, нижний оксфорд, зона Cardioceras praecordatum. Из коллекции ГМ им. А. Н. Иванова (ЯГПУ).  
Ôèä. 3, 4. Ростр белемнита *Pachyteuthis (Simobelus) abbreviata* (Miller). Фиг. 3 – вид с брюшной стороны; фиг. 4 – вид с боковой стороны. Верхняя юра, верхний оксфорд, зона Amoeboceras alternoides. Из коллекции ГМ им. А. Н. Иванова (ЯГПУ).  
Ôèä. 5, 6. Ростр белемнита *Pachyteuthis (Pachyteuthis) panderi* (Orb.). Фиг. 5 – вид с брюшной стороны; фиг. 6 – вид с боковой стороны. Верхняя юра, верхний оксфорд, зона Prionodoceras serratum. Из коллекции ГМ им. А. Н. Иванова (ЯГПУ).  
Ôèä. 7. Ядро гастраподы *Bathrotomaria* sp. nov. Верхняя юра, средний оксфорд, зона Vertebriceras densiplicatum. Из коллекции ГМ им. А. Н. Иванова (ЯГПУ).  
Ôèä. 8, 9. Раковина брахиоподы *Praecyclothyris* sp. Верхняя юра, средний оксфорд, зона Vertebriceras densiplicatum. Из коллекции ГМ им. А. Н. Иванова (ЯГПУ).  
Ôèä. 10. Раковина брахиоподы *Aulacothyris impressa* (Bronn). Верхняя юра, средний оксфорд, зона Vertebriceras densiplicatum. Из коллекции ГМ им. А. Н. Иванова (ЯГПУ).  
Ôèä. 11-13. Членики морской лилии *Acrochordocrinus insignis* Trd. Верхняя юра, средний оксфорд, зона Vertebriceras densiplicatum. Из коллекции ГМ им. А. Н. Иванова (ЯГПУ).



# АКУЛИНСКОЕ

Akulinskoe

№ 20 20 20. ГПП историко-геологического типа юрской системы местного ранга.

Óí è êàëü í ñò ii. ГПП эталонного значения для стратиграфии ярославской юры. Самый представительный разрез раннекимериджских отложений юрской системы в Ярославской области.

Ì áñò í i í èí aí èá. Рыбинский район, левый и правый берега р. Черемухи в 200 м выше с. Акулинское на протяжении 150 м излучины реки (дёй. 9).

Село Акулинское расположено на высоком коренном берегу р. Черемухи и заметно издали, благодаря живописным пихтовым посадкам, окружающим проселочную дорогу. Здесь Черемуха течет более или менее прямо, совершая небольшие повороты. Левый берег более низкий, чем правый, и коренной берег отходит от русла на 50-100 м. Первая надпойменная терраса периодически подступает к урезу воды и образует небольшие пологие обрывы, из которых обнажены лишь некоторые. Правый берег более высокий (15-20 м). Он не имеет поймы и террас и представляет склон коренного берега. Последний на всем протяжении покрыт живописной древесной растительностью, среди которой встречается и ель. Склон коренного берега часто нарушается оползнями, иногда создающими ложное впечатление террас. Обнажения коренных слоев, составляющие памятник, находятся на обоих берегах на протяжении всей двухсантметровой излучины реки. Главные обнажения расположены на левом берегу и выходят в тех местах, где первая надпойменная терраса подступает к руслу. Обнажения правого берега в основном приурочены к нижней части излучины, где не так развиты оползни.

Êí í ô è áóðàöè ý. Нижнекимериджские черные глины, выходящие в обнажениях излучины, слагают основной объем первой надпойменной террасы левого берега и распространены выше уреза воды на всем этом участке реки. Поэтому в зависимости от изменений эрозионной силы Черемухи количество и размеры обнажений могут также постоянно изменяться со временем. В настоящее время самое крупное обнажение (50-60 м длиной и 5-7 м в высоту) находится на левом берегу, примерно посередине излучины (дёй. 17). Крупное обнажение черных глин такой же мощности существует и в склоне правого коренного берега (в нижней части излучины), выше которого склон задернован. Шесть мелких разрезов, до 1-2 м в длину, разбросаны на всем протяжении этого фрагмента Черемухи.

Ì óðàí í àý çí á включает 50 м вдольбереговой полосы выше склонов первой надпойменной террасы обоих берегов.

È ñò í ðè ÷âñê è é í áçí ð. Обнажение у села Акулинское было обнаружено и изучено в 1992 г. Д. Н. Киселевым и затем описано в статье (Баранов и др., 1996). Здесь выходят характерные для Ярославской области верхнеюрские черные глины. В настоящее время в пределах области эти глины обнажаются преимущественно в бассейне р. Черемухи, начиная от ГПП «Конюшино» и заканчивая ГПП «Ивановское-Михалево». Выше по течению черные глины выстилают дно реки и прослеживаются вплоть до с. Коломенское. Однако в прошлом, до появления системы водохранилищ, черные глины обнажались во многих местах на Волге, начиная от Мышкинского района (д. Терентьевой и с. Еремеевца) до г. Рыбинска, а также на р. Солонице. Эти обнажения неоднократно изучались и отмечаются в работах первых исследователей ярославской юры (Щуровский, 1868; Крылов, 1872; Никитин, 1881; 1884). При характеристике этих отложений часто указывалось на тот факт, что глины крайне бедны окаменелостями, за исключением часто встречающихся и хорошо сохранившихся ростров белемнитов. Лишь у с. Коприно С. Н. Никитину удалось собрать представительную фауну аммонитов, среди которых он отмечает 1) *Cardioceras alternans* (Buch.), 2) *C. bauhini* (Opp.), 3) *Olcostephanus stephanoides* (Opp.), 4) *Reineckia fraasiiformis* Nik., 5) *Perisphinctes cf. martelli* (Opp.), 6) *P. pralairei* (Favre.). Родовые и видовые названия этих аммонитов во многом устарели, тем не менее, эти определения позволили ему более или менее точно (и для



**Де́й 17.** Общий фронтальный вид обнажения киммериджских глин в ГПП «Акулинское». Снимок сделан в 1992 г.

сегодняшнего дня) установить возраст черных глин. Никитин отнес их к верхней части оксфордского яруса (горизонт с *Cardioceras alternans*). Позднее другим известным исследователем мезозоя А. П. Павловым слои с аналогичной фауной будут названы альтерновыми. Современные определения образцов (находящихся в музее им. Чернышева в Санкт-Петербурге) из слоев под Коприно заметно отличаются от определений Никитина (в том же порядке): 1) *Amoeboceras bauhini* (Opp.); 2) *Amoeboceras (Amoebites) cf. elegans* Spath, 3) *Prorasenia cf. whiteana* (Opp.), 4) *Rasenia (Eurasenia) cf. trimera* (Opp.), 5) *Vineta cf. streichenensis* (Opp.), 6) *Zonovia* sp. Эти виды аммонитов характерны для пограничных отложений оксфорда и киммериджа Западной Европы, которые в настоящее время включены в подзону *Amoeboceras bauhini* нижнего киммериджа (Schweigert, Callomon, 1997).

В Коприно выходила самая верхняя часть черных глин, ныне затопленная. Но Никитин полагал, что аммониты, найденные им в этом месте, характерны для всех черных глин, находящихся на территории Ярославской области (т.е. должны принадлежать нижнему киммериджу в современном представлении). Однако, как было установлено в ГПП «Иода», нижняя часть черных глин на самом деле принадлежит к верхнему подъярусу оксфордского яруса, как первоначально и полагал Никитин. Современными исследованиями в 5-метровой толще черных глин ГПП «Акулинское» найдены нижнекиммериджские аммониты, близкие аммонитам, описанным Никитиным у с. Коприно. В связи с этим самый полный разрез раннекиммериджских отложений в Ярославской области сохранился только в ГПП «Акулинское». Это делает его уникальным геологическим объектом и требует охраны.

**№ ڈàò è ڈàò è ѿ.** Лучший разрез черных глин находится на левом берегу Черемухи, примерно посередине между д. Акулинское и д. Ивановское.



**Де́й 18.** Аммониты *Pictonia* sp., найденные в киммериджских глинах ГПП «Акулинское». Образцы сильно деформированы и сохраняют только остатки раковины. Снимок сделан в 1992 г.

Р ڈنے ڈاں پے ڈاں  
Âدہی ہے ۱ ڈاہے  
Êہی ڈدہ ڈاہنے ہے ۱ ڈاہنے  
۱ ڈی ہے ۱ ٹی ڈاہنے ڈاہنے

1. Глина черная, горизонтально-слоистая, крупнослюдистая, с желваками серебристого мелко-зернистого пирита и обильными гнездовидными скоплениями глауконита. Конкреции пирита встречаются, в основном, в верхней и средней частях разреза. В нижней половине преобладают прослои пиритизированной глины. Ископаемая фауна попадается очень часто в нижних 5-30 см от уреза воды (в межень). Среди аммонитов много крупных форм, с диаметром раковины 15-50 см. Аммониты: *Amoeboceras (Amoeboceras)*

cf. *kitchini* (Salf.), *A. (A.) cf. spathi* Shulg., *Prorasenia* ex gr. *stephanoides* (Opp.), *Picotia* sp. (Деñ. 18). Белемниты *Cylindroteuthis* (*Cylindroteuthis*) aff. *orrecta* (Phill.), *Pachyteuthis* (*Pachyteuthis*) *pan-deriana* (Orb.), *P. (P.) excentrica* (Young et Bird), *P. (P.) kirghensis* (Orb.), *P. (P.) aff. explanata* (Phill.). Гастropоды: *Bathrotomaria muensteri* (Roem.), *Tornatellaea frearsiana* (Orb.), *Dicroloma cochleata* (Quenst.), *Maturifusus keyserlingianus* (Rouill.), *Berlieria* sp., *Pictavia* sp. Двустворчатые: *Neocrassina* (*Trautscholdia*) *cordata* (Trd.), *A. depressoides* Lah., *A. aff. trembiasensis* Lor., *A. trivialis* Zach., *Nuculana rouillieri* (Nik.), *Nuculoma calliope* (Orb.). Лопатоногие: *Laevidentalium* ex gr. *gladiolus* (Eichw.). Фораминиферы: *Epistomina praetatariensis* Umansk., *E. ex gr. praetatariensis* Umansk., *Nodosaria pseudohispida* Gerke, *Citharina paralella* Bielec et Pozak, *Saracenaria expleta* Azbel, *S. digna* Azbel, *Planularia beierana* Gymb., *Pseudolamarkina* sp. Мощность 4,5 м.

× åðååððè÷í àÿ ñèñòå à

2. Суглинок красновато -бурый с валунами, гравием и галькой. Мощность около 2 м.

Ñò ñò i ýí èå i àí ýò i èéà. Основные изменения состояния ГПП «Акулинское» связаны с его зарастанием – типичной проблемой большинства геологических обнажений на малых реках. В 1992 г. разрез обнажался на протяжении 50 м, а в настоящее время (наблюдение лета 2002 г.) он закрыт небольшими оползнями и лишь немногие участки берега содержат «окна» с выходом кимериджских отложений. Однако, поскольку глины слагают первую террасу реки на всем протяжении между дд. Акулинское и Ивановское, они могут быть обнажены на всем протяжении берега. Небольшие выходы черных глин постоянно заметны на обоих берегах, и в будущем они могут стать более перспективными разрезами.



## ИВАНОВСКОЕ- МИХАЛЕВО

Ivanovskoe-Michalevo

**№ 20 6н.** ГПП комплексного типа (палеонтологический, историко-геологический) юрской системы местного ранга.

**Описание.** Местонахождение юрских аммонитов уникальной сохранности. Единственный разрез юрских отложений в Ярославской области, где наблюдается граница кимериджских и волжских отложений. Здесь также встречаются отложения с верхневолжской фауной аммонитовой зоны *Kachpurites fulgens*.

**Локализация.** Рыбинский район, левый берег р. Черемухи от южного края д. Ивановское до южного края д. Михалево.

В районе д. Ивановское коренные берега близко подступают к бортам долины Черемухи и имеют довольно крутые склоны. Река стиснута двумя высокими, до 30 м, берегами, и течет в узкой живописной долине, образующей своеобразное подобие каньона. Д. Ивановское находится на вершине левого коренного берега и протягивается вдоль его склона. За южным концом деревни коренной берег понижается и становится значительно положе. Здесь, в русле Черемухи, расположен небольшой осередок, заросший ивой, за которым сразу начинается очередная первая надпойменная терраса, отгороженная от склона коренного берега небольшим болотцем и густыми зарослями ольхи. До появления этой террасы коренный берег имеет пологие склоны на протяжении около 50 м. Он постоянно подмывается, и здесь расположено первое обнажение коренных пород, имеющее наибольшую известность. Северный край обнажения (вниз по реке) находится под более крутым склоном коренного берега, непосредственно под краем деревни. Здесь спускается тропинка, заканчивающаяся небольшим мостикиом. Вблизи уреза воды в обнажении выходят плотные глины нижнего кимериджа. Они формируют водоупор, выше которого образуются многочисленные ручейки, затапливающие бечевник и провоцирующие небольшие оползни. Выше глин расположены слои с фосфоритово-песчанистыми конкрециями волжского яруса. Они насыщены водой и легко вываливаются на бечевник, образуя фосфоритовую «мостовую». Последняя существует только ниже (по течению) мостики и имеет протяженность около 20 м. Выше мостики бечевник отсутствует, поскольку здесь река более активно подмывает берег и конкреции сваливаются прямо в русло, которое легко можно перейти в межень. Протяженность этого участка памятника около 50 м. Его южный край заканчивается непосредственно перед началом первой надпойменной террасы. Последняя, расширяясь вверх по течению образует долину шириной до 100 м. У д. Михалево она заканчивается крутым склоном коренного берега, на котором расположена деревня.

Первая надпойменная терраса сложена водно-ледниковых отложениями и мореной, имеет довольно высокие (до 6 м) и обрывистые берега. Вблизи уреза воды рыжие водно-ледниковые пески содержат множество перемытых верхневолжских фосфоритов, а коренные отложения находятся на дне реки. Поэтому в межень в русле часто можно найти крупные, до полуметра, раковины средневолжских аммонитов. За д. Михалево, непосредственно под детским лагерем, коренные отложения вновь выходят на поверхность, и здесь находится второе обнажение. В этом месте коренной берег опять подступает к руслу и имеет крутые, обрывистые склоны. Обнажение небольшое, до 8 м в длину. Здесь выходят те же самые слои, что и у д. Ивановское, однако в этом месте они имеют более выпуклый изгиб и потому на обоих концах обнажения уходят под воду. Ледниковые отложения здесь переполнены крупными валунами и галькой кристаллических пород. Они выпадают на бечевник и устилают дно реки. В связи с этим река в этом месте изобилует перекатами.

**Обзор.** включает 50 м вдольбереговой полосы выше склонов первой надпойменной террасы обоих берегов.

**№ ðàò è äðàò è ý.** Обнажения у дд. Михалево и Ивановское имеют сходное строение разрезов, поэтому ниже приводится сводный разрез обоих обнажений (снизу вверх, **ðèñ. 19**).

Р ðñéäý ñèñðâí á  
Êèí åðè äæññéé ýðóñ  
í è æí è é í í äúýðóñ

1. Глина черная, тонкогоризонтальнослоистая, слюдистая, с рострами белемнитов *Pachyteuthis* (*Pachyteuthis*) *panderi* (Orb.) и редкими аммонитами *Amoeboceras* (*Amoebites*) ex gr. *kitchini* (Salf.). Мощность 0-0,2 м от уреза воды.

Âí è æññéé ý ðåäéí ýðóñ  
ñðääí è é í í äúýðóñ  
çí á Virgatites virgatus

2. Песчаник среднезернистый, черный, фосфатизированный, переполненный многочисленными рострами белемнитов *Acroteuthis mosquensis* (Pavl.), *Lagonibelus volgensis* (Orb.), *L. magnifica* (Orb.). Аммониты представлены полуразрушенными ядрами, местами сливающимися с породой, крупных *Virgatites virgatus* (Buch.), *Dorsoplanites serus* Geras., *D. rosanovi* Geras. и др. Бентосная фауна практически отсутствует, за исключением редких губок *Stramentella* sp. В основании слоя проходит горизонт переотложенных небольших черных глянцевых фосфоритовых конкреций, в которых очень редко встречаются ядра и отпечатки аммонитов верхнего кимериджа. Мощность слоя изменчивая: у д. Ивановское она максимальная, до 0,2 м, в разрезе у д. Михалево слой почти исчезает или полностью выклинивается.

× åðåäððè ÷ í ãý ñèñðâí á

3. Песок мелкозернистый, темно-серый, голубоватый до черного, переполненный округлыми, картофеливидными конкрециями фосфоритового мелкозернистого песчаника. В слое найдены гальки магматических пород. Конкреции изобилуют ископаемой фауной верхневолжского подъяруса, характерной для зоны *Kachpurites fulgens*: аммониты - *Kachpurites fulgens* (Trd.) (ðàáë. 24, ô è á. 6), *K. subfulgens* (Nik.) (ðàáë. 24, ô è á. 3, 4), *Craspedites* cf. *subditus* (Trd.), *C. okensis* (Orb.) (ðàáë. 23, ô è á. 1-4, 7, 8, 10), *C. nekrassovi* Prig. (ðàáë. 23, ô è á. 9), *C. subditoides* (Nik.) (ðàáë. 23, ô è á. 5, 6), *C. fragilis* (Trd.), *Garniericeras catenulatum* (Fisch.) (ðàáë. 24, ô è á. 1, 2, 5), *G. interjectum* (Nik.); белемниты - *Acroteuthis russiensis* (Orb.); двустворчатые – *Camptonectes lamellosus* (Sow.), *Entolium* (*Entolium*) *numulare* (Fisch.), *Protocardia concinna* (Buch.), *Oxytoma* cf. *semiradiata* (Fisch.), *Mesomiltha* cf. *fischeriana* (Orb.), *Inoceramus* (*Anopaea*) *sphenoidea* Geras.; брюхоногие – *Calliomphalus subvinealis* (Geras.), *Parvulactaeon* sp., ?*Procerithium* cf. *volgense* Geras., *Khetella* sp.; лопатоногие – *Gauldia* sp.; иглокожие – *Pentacrinus* sp., *Rhabdocidaris* sp.; аннелиды – “*Serpula*” *tetragona* Sow., “*S.* cf. *flagellum* Munst.; брахиоподы - *Pseudomonticarella varia* Smirnova; ракообразные – *Eryma* sp.; губки - *Stramentella* sp. В основании слоя расположен горизонт с крупными, до полуметра, средневолжскими аммонитами зоны *Epivirgatites nikitini*: *Epivirgatites nikitini* (Mich.), *Laugeites stschurovskii* (Nik.) и др.. Несмотря на большую насыщенность слоя фосфоритовыми конкрециями с волжскими окаменелостями и на существование определенной последовательности аммонитов, слой является переотложенным четвертичными приледниковыми потоками. Темная окраска вмещающего песка обязана обильной примеси глинистых частиц, образованной при размытии подстилающей нижнекимериджской глины. Мощность слоя до 0,2 м.

4. Песок среднезернистый, голубовато-серый, до черного, с редкими фосфоритовыми конкрециями и обломками верхневолжских аммонитов и белемнитов. Мощность слоя 0,1-0,4 м.

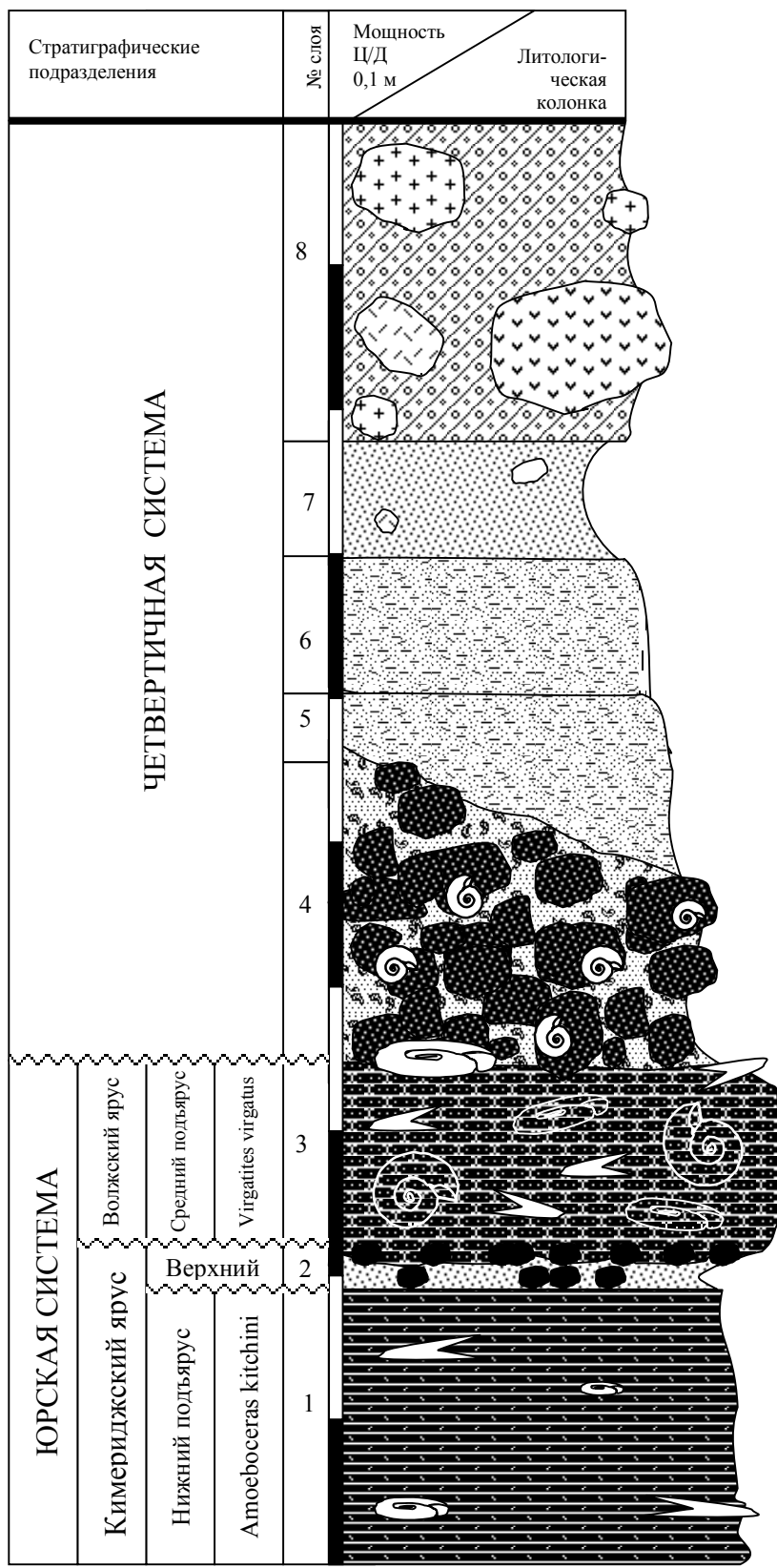
5. Песок мелкозернистый, слюдистый, светло-серый. Мощность до 0,3 м.

6. Песок среднезернистый, темный серовато-бурый, с редкой галькой кристаллических пород. Мощность 0,1 м.

7. Суглинок, переполненный галькой и крупными валунами кристаллических пород. Мощность 1, 2 м.

Своей популярностью обнажения дд. Ивановское и Акулинское обязаны палеонтологическим остаткам из слоя 3. В основном это раковины аммонитов, обладающие уникальной сохранностью. Наружная стенка раковины сохранила внутренний, перламутровый, слой и утратила наружные – призматический и конхиолиновый. Перламутровый слой, в особенности на фоне черных жилых камер, заполненных фосфоритовым песчаником, придает окаменелостям необычно яркую переливающуюся окраску, наподобие павлиньего пера. Поэтому внешний облик этих окаменелостей сделал их излюбленным объектом «охоты» для всевозможных палеонтологов-любителей и коммерсантов.

Кроме перламутрового слоя, раковины аммонитов из фосфоритовых конкреций сохранили и многие детали внутреннего строения (ðàáë. 24, ô è á. 7-9). Полную сохранность имеют все части раковины, состоящие из кальцита или арагонита, в том числе и самые тонкие: перегородки (септы) гидростатических камер и начальная камера (протоконх). Микроскопическое изучение показало, что их первичная структура и состав практически не изменился в процессе фоссилизации (за 140 млн. лет), т.е. они не замещены вторичными минералами. Зачастую сохраняются даже такие части раковины, которые при жизни были органическими. К ним относится сифон, цекум, просифон и органические пленки, прикреплявшие сифон к раковине. Первично они состояли из структурного белка конхиолина. В исключительных случаях удается обнаружить даже остатки кровеносных сосудов внутри сифона. Все эти особенности сохранности позволили впервые провести детальные исследования внутреннего строения раковин поздневолжских аммонитов (Друшциц и др., 1985; Муравин, 1989). Уникальная сохранность раковин аммонитов способствует обнаружению еще более редких находок. К ним относятся и остатки необычных микроскопических образований, напоминающих кладки яиц (Баранов, 1985).



Фиг. 19. Геологический разрез ГПП «Ивановское-Михалево».

тем, что берег Черемухи на всем протяжении, начиная от д. Акулинское, сложен юрскими отложениями, в результате речной эрозии постоянно образуются новые обнажения, способные заменить исчезающие.

Существованию памятника угрожает гораздо более серьезная проблема, чем зарастание и оползание. Превосходная сохранность палеонтологических остатков, в первую очередь аммонитов, имеющих красивый перламутр раковины, привлекает разного рода собирателей окаменелостей, в том числе

Сообщения об «икре» аммонитов чрезвычайно редки в литературе (Muller, 1969). Каждая такая находка помогает решить вопросы биологии этих полностью вымерших головоногих, не имеющих близких аналогов в современной фауне.

Чем объяснить эту уникальную сохранность раковин аммонитов? Причины ее появления недостаточно выяснены на сегодняшний день, однако, несомненно, все они связаны с условиями осадконакопления, которые существовали на дне поздневолжского моря. Минералогические, литологические и тафономические особенности фосфоритов из слоя 3 позволяют полагать, что аммониты захоронялись очень быстро, без посмертного переноса и проходили процесс фоссилизации без доступа кислорода, в породе с большим количеством разлагающейся органики. О последнем свидетельствует обилие в конкрециях черного фосфатного вещества, который зачастую подкрашен и битуминозным материалом (органическими соединениями нефтяного ряда). На условия захоронения указывает и другая особенность конкреций: высокая насыщенность породы остатками животных, не имеющих прижизненной ориентации и принадлежавших различным экологическим группам шельфового моря. Такие скопления могут быть образованы в условиях штормового осадконакопления, когда под слоем донных отложений могут быть заживо погребены самые различные животные и растения, выхваченные штормовыми волнами из своих привычных местообитаний. Разлагающиеся органические вещества постепенно превращаются в фосфатные и битуминозные соединения, которые цементируют песок вместе с раковинами. Сами раковины оказываются внутри растущей конкреции, которая, как футляр, предохраняет их от разрушения. У раковин аммонитов песок заполнял жилую камеру и, видимо, закупоривал отверстие сифона. Поэтому гидростатические камеры оставались пустыми, что обеспечивало высокую сохранность многих деталей внутреннего строения раковин.

Ñî ñò î ýí èå i àl ýò í èëà. Как и большинство ГПП на р. Черемухе, обнажения у д. Ивановское и Акулинское находятся в стадии прогрессирующего застания, усугубляемого частыми оползнями. Но в связи с



и бизнесменов. Последние производят хищническую разработку «месторождений», рассматривая фосфоритовые слои как рудные тела с аммонитами (**фото 20**). Уже начиная с 1990-х годов, эти небольшие обнажения начинают посещать «специалисты» из разных городов, при этом применяют почти промышленные способы добычи аммонитов. Ими используются масштабные вскрышные работы, которые выполняют наемные рабочие из местного населения. Они снимают 2-3-метровый слой грунта над фосфоритовыми слоями, вырывая огромные ямы в 5-метровой зоне от уреза воды. Этим они провоцируют масштабные оползни, поскольку берег имеет крутой наклон. Излюбленным местом «охоты» за аммонитами является обнажение у д. Ивановское. Здесь доступна для исследования и раскопок очень небольшая часть берега – 50 м длиной и 3-5 м в ширину. Вдали от береговой линии русла, на расстоянии более чем 5 м, фосфоритовые слои находятся под мощным чехлом ледниковых отложений, который делает их полностью недоступными. Поэтому, полное раскапывание данного участка берега означает совершенное уничтожение памятника. После разработки фосфоритовых слоев пятиметровый участок берега будет покрыт только оползнями. В настоящее время у д. Ивановское уничтожено около 20 процентов памятника, поэтому он нуждается в строгой охране с заповедным режимом.

**Фото 20.** Глубокие ямы в первой надпойменной террасы р. Черемухи в районе ГПП «Ивановское-Михалево» - результат браконьерских раскопок.  
Снимок сделан в 2001 г.

#### Объяснения к таблицам. ГПП «Ивановское-Михалево»

##### Таблица 23

##### Аммониты слоя 4

- Ôèä. 1, 2. *Craspedites okensis* (Orb.). Из коллекции ГМ им. А. Н. Иванова (ЯГПУ).  
Ôèä. 3, 4, 7, 8, 10. *Craspedites okensis* (Orb.). Из коллекции Е. Спиридонова.  
Ôèä. 5, 6. *Craspedites subditoides* (Nik.). Из коллекции ГМ им. А. Н. Иванова (ЯГПУ).  
Ôèä. 9. *Craspedites nekrassovi* Prig. Из коллекции ГМ им. А. Н. Иванова (ЯГПУ).

##### Таблица 24

##### Аммониты слоя 4

- Ôèä. 1, 2. *Garniericeras catenulatum* (Fisch.). Из коллекции Е. Спиридонова.  
Ôèä. 3, 4. *Kachpurites fulgens* (Trd.). Из коллекции Е. Спиридонова.  
Ôèä. 5. *Garniericeras catenulatum* (Fisch.). Из коллекции ГМ им. А. Н. Иванова (ЯГПУ).  
Ôèä. 6. *Kachpurites fulgens* (Trd.). Из коллекции Е. Спиридонова.  
Ôèä. 7. Внутреннее строение раковины *Craspedites okensis* (Orb.). Увеличено в 65 раз. Видны гидростатические камеры, перегородки, спиральный сифон, первичная (начальная) камера - протоконх (в центре). Последняя заключает в себе цекум и пластинчатый фиксатор (просифон). Из коллекции ГМ им. А. Н. Иванова (ЯГПУ).  
Ôèä. 8. Внутреннее строение раковины *Kachpurites fulgens* (Trd.). Увеличено в 65 раз. Внутри первичной камеры виден фиксатор игольчатой формы, характерный для рода *Kachpurites*. Из коллекции ГМ им. А. Н. Иванова (ЯГПУ).  
Ôèä. 9. Внутреннее строение центральной части раковины *Craspedites* sp. Электронно-микроскопическая фотография (любезно предоставлено Е. С. Муравиным). Увеличено в 110 раз. Из коллекции ГМ им. А. Н. Иванова (ЯГПУ).

Таблица 23

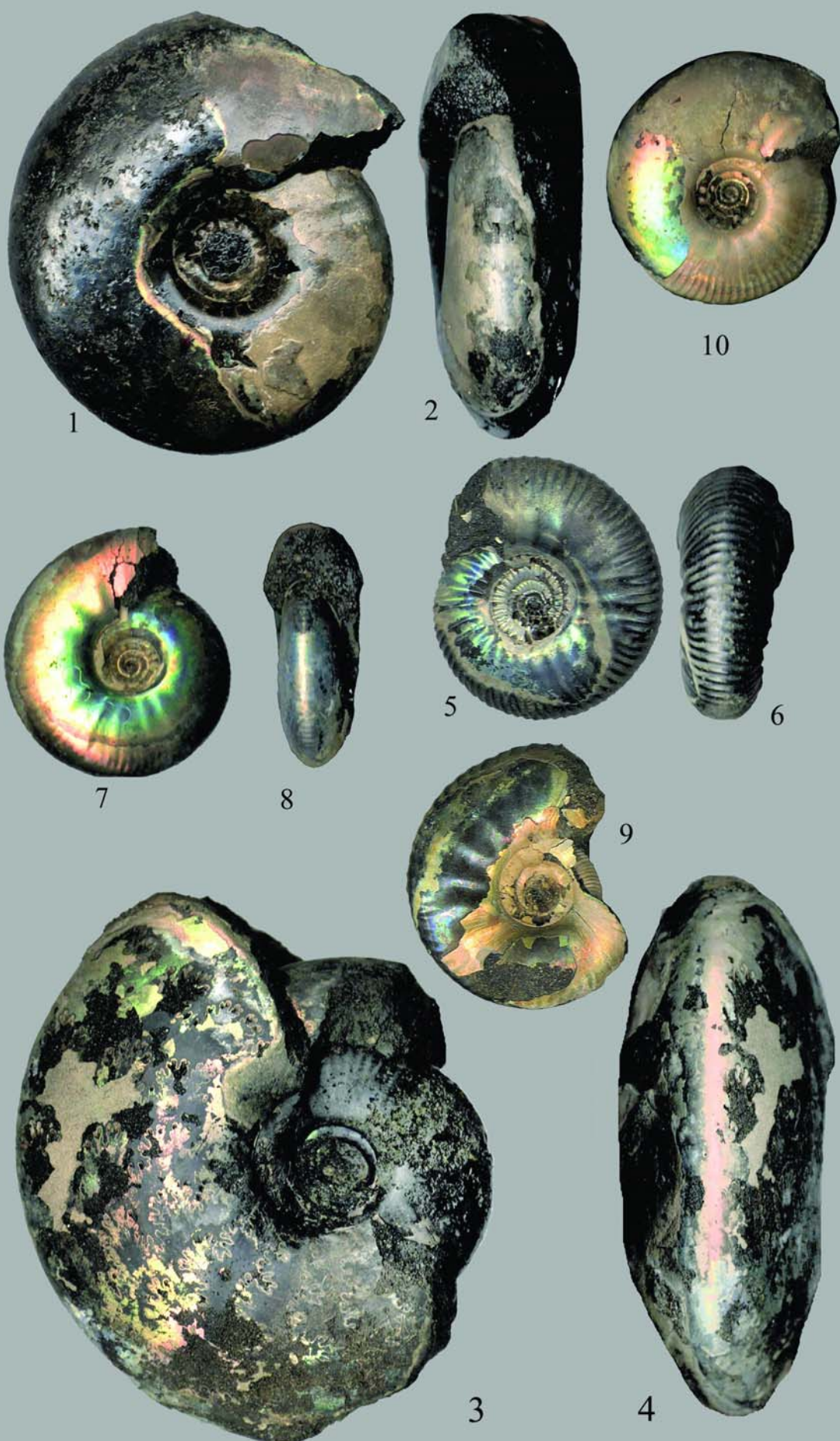
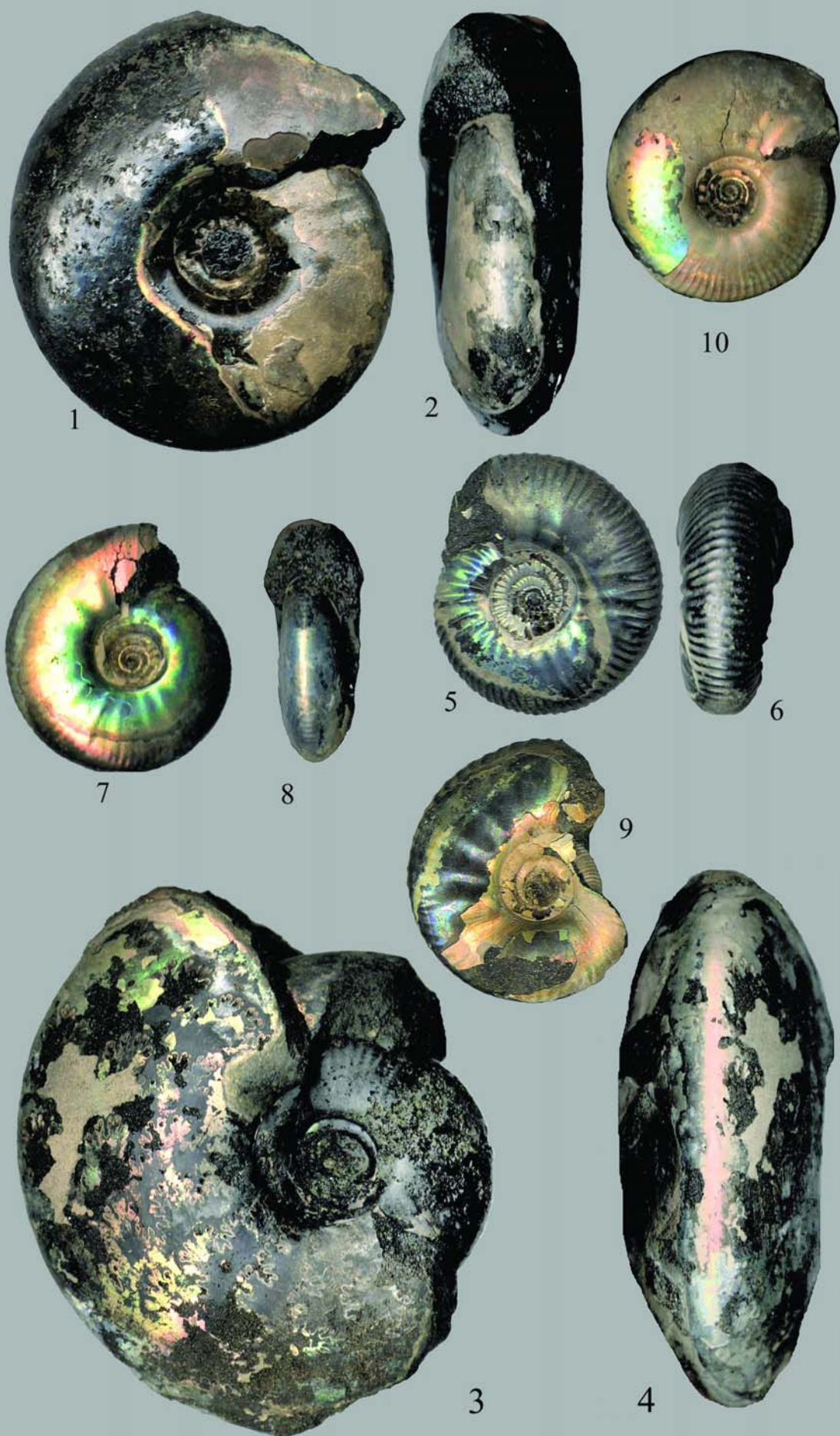


Таблица 23





# СЕЛЬЦО- ВОСКРЕСЕНСКОЕ

Seltzo-Voskresenskoe

**№ 20 20 07:** ГПП комплексного (стратиграфического и историко-геологического) типа меловой системы федерального ранга.

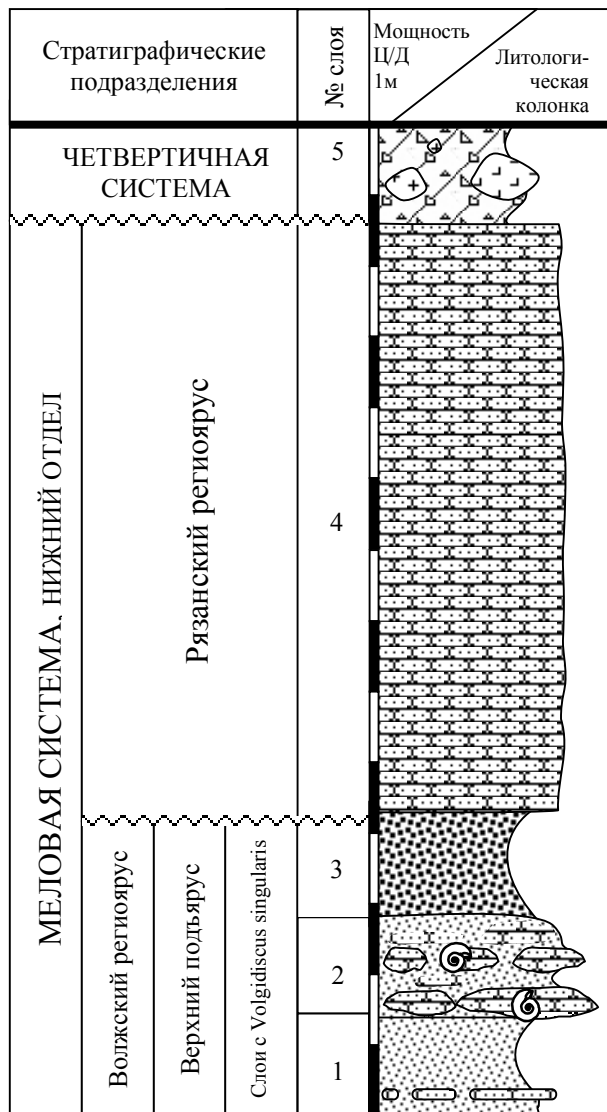
**Описание:** единственное обнажение терминальных горизонтов верхневолжского подъяруса (меловая система, нижний берриас) в Европейской России. Исследуемая фауна уникальна: в отложениях найдено 2 новых вида аммонитов.

**Ландшафт:** Рыбинский район, заброшенный песчаный карьер на левом берегу р. Черемухи (правый приток Волги) в 0,5 км выше д. Сельцо-Воскресенское. В этом месте Черемуха протекает по прямой северо-западной излучине, протяженностью около 1,5 км, после чего резко поворачивает на север к д. Чудиново, где начинает привычно меандрировать (декл. 9). В районе излучины оба берега высокие, и река здесь течет в своеобразном «каньоне». Привычный асимметричный вид речная долина приобретает непосредственно у д. Сельцо-Воскресенское, перед поворотом реки, где левый берег крутой, а правый – пологий. Здесь, на левом берегу, расположено несколько обнажений, описанных в литературе.

**Карьер:** Песчаный карьер протяженностью около 70 м и глубиной 12 м сохранил только западную стенку, вскрывающую слои меловых песчаников (декл. 25, декл. 1). Она целиком входит в ГПП. На дне карьера также выходят коренные отложения, имеющие наибольший интерес и составляющие главную ценность памятника (декл. 25, декл. 2).

**Область:** занимает территорию всего карьера, включая его окружающую 10-метровую полосу выше бровки склона.

**Разрезы:** Разрезы коренных отложений в верховьях р. Черемухи практически неизвестны по литературным данным. Единственным источником о возможном их существовании является научно-популярная книга А. Н. Иванова «Геологические экскурсии по Ярославской области» (1950), где он указывает на обнажения мезозойских слоев у д. Васильевское, Воскресенское, Чудиново, Пенье. Они представлены сильно ожелезненными песками и песчаниками, и, по Иванову, принадлежат к зоне *Craspedites nodiger* – самой верхней зоне верхневолжского подъяруса (относимого в настоящее время к меловой системе). Это сообщение А. Н. Иванова весьма примечательно своей краткостью и, одновременно, своим содержанием. Специалистам хорошо известно, что в Ярославской области никогда не находили достоверных отложений самой верхней части верхневолжского подъяруса, даже в то время, когда знаменитые обнажения юры на Волге, получившие известность после работ С. Н. Никитина (1881; 1884), не были затоплены. Поэтому нахождение отложений зоны *Craspedites nodiger*, причем такой большой мощности (до 15 м по Иванову), представляло большой научный интерес. Это тем более странно, что впоследствии упомянутые разрезы никем не изучались, в т. ч. и самим А. Н. Ивановым, посвятившим большую часть жизни изучению волжских и нижнемеловых отложений Ярославской области. В связи с этим существование зоны *Craspedites nodiger* в Ярославской области не было доказано. Д. Н. Киселевым и Е. С. Муравиным обнажения в верховьях Черемухи были посещены в 2002 г. В карьере у д. Сельцо-Воскресенское была изучена пачка песчанистых слоев, близких по описанию А. Н. Иванова, в которых удалось найти аммониты. Последние оказались совершенно новой группой, при этом среди них вида *Craspedites nodiger* (Eichw.) не оказалось. После консультации с известными специалистами по нижнемеловым аммонитам (И. Г. Климовой (Новосибирск), И. И. Сей, Е. Д. Калачевой (Санкт-Петербург)) мы пришли к выводу, что найденные аммониты принадлежат к совершенно новым формам, имеющих более молодой возраст. Таким образом, представления А. Н. Иванова о развитии в верховьях Черемухи отложений зоны *Craspedites nodiger* не подтвердились. Между тем, впервые на территории Ярославской области обнаружены не переотложенные слои пограничных горизонтов волжского и берриасского яруса, вообще редко встречающиеся на Русской платформе.



*№ ձձօ է ձձօ է յ.* Обнажение песков и песчаников в карьере имеет следующую последовательность слоев (снизу вверх, **ծԵ. 21**):

Í áæi áàý ñè ñòåì à  
 Áî é æñê è é ðåæé í ýðóñ  
 Áåðóí è é í áüýðóñ  
 Nëí è ñ Volgidiscus singularis

1. Песок разнозернистый, кварцевый, рыхлый, зеленовато- или желтовато-серый. Ближе к кровле песок становится более плотным и принимает рыжевато-бурую окраску. В подошве, на уровне зеркала грунтовых вод, проходит тонкая прослойка ожелезненного песчаника, толщиной 0,05 м. Мощность слоя 1,5-2 м. Подстилающие слои обнажаются за пределами карьера в берегах Черемухи. Они представлены песками среднезернистыми, желтовато-бурыми, с частыми прослойками рыхлых песчаников. Их мощность не превышает 3 м. Ископаемая фауна в этих отложениях не обнаружена.

2. Песок разнозернистый, преимущественно крупнозернистый, рыжевато-бурый, железистый, рыхлый, неяснослоистый, с большой примесью кремневых песчинок. В слое проходит два горизонта конкреций железистого песчаника. Нижний горизонт находится в подошве и образован из крупных, вытянутых (1x 0,2 м) конкреций, состоящих из рыхлого ожелезненного песчаника, внутри которых наблюдается одно-несколько ядер плотного буровато-серого песчаника. Конкремции переполнены разнообразной фауной, среди которых найдены аммониты *Anivanovia mola* gen. et sp. nov. (далее. 27, № 2-4), *Volgidiscus singularis* sp. nov. (далее. 26, № 2-8), двусторчатые *Anopae* cf. *brachovi* (Rouillier), *Entolium* (*Entolium*) cf. *nummularis* (Fisch.), *Protocardia* cf. *concinna* (Buch.), пустоты от ростров белемнитов. Верхний горизонт конкреций расположен на 0,5 м выше предыдущего горизонта. Он состоит из конкреций такого же типа, только несколько меньшего размера. В них содержится аналогичная фауна. Кроме того, найдены конкреции, содержащие скопления брахиопод *Lingula demissa* Geras. Мощность слоя 1,2 м.

3. Песок крупнозернистый или гравелистый, рыхлый, темно-буровато-серый, полимиктовый, обогащенный кремневыми песчинками. Мощность 1,5 м.

3. Песок крупнозернистый или гравелистый, рыхлый, темно-буровато-серый, полимиктовый, обогащенный кремневыми песчинками. Мощность 1,5 м.

## Đĩ çàí ñê è é ðåãèî ýðóñ

4. Песчаник крупнозернистый, местами гравелистый, сильно ожелезненный, красновато- или рыжевато-бурый, плотный, местами рыхлый. Наблюдается отчетливая слоистость всех типов, от горизонтальной до косой, иногда переходящей в ячеистую. Слой выступает отчетливыми карнизом над предыдущим. Мощность до 8 м.

Выше расположен четвертичный валунный суглинок мощностью до 1 м.

**Êî ððâëÿöèÿ î ð ëæ ãí èé.** Аммониты рода *Volgidiscus* известны в отложениях трех регионов – Восточной Англии (Casey, 1973; Кейси и др., 1988), Нидерландов (Abbink et al., 2001) и восточного склона Приполярного Урала (Месежников, Брадучан, 1982; Кейси и др., 1988). Отложения с *Volgidiscus* характеризуют самые верхние, терминальные горизонты портланда и волжского регионаряуса (ðàäé. 2), традиционно относимые к пограничному горизонту между юрской и меловой системами (в настоящее время верхний подъярус волжского регионаряуса предлагается рассматривать в объеме берриасского яруса (Сей, Калачева, 1997; 1999)). Нахождение отложений этого возраста в Европейской России никогда не отмечалось в литературе. В стратиграфических схемах по Русской платформе в верхней части верхневолжского подъяруса, между зонами *Craspedites nodiger* и *Riasanites riasanensis*, обозначался пробел, соответствующий перерыву в осадконакоплении. Слои с *Volgidiscus* в разрезе Сельцо-Воскресенское являются первой находкой в Европейской России отложений, которые, вероятно, соответствуют зоне *Volgidiscus lamplughi* Англии и Нидерландов и слоям с *Subcraspedites maurynjensis* верхнего подъяруса волжского регионаряуса.

Приполярного Урала. Сопоставление этих подразделений проводится по роду *Volgidiscus*, характерного только для данного стратиграфического интервала.

Аммонитовый комплекс в отложениях с *Volgidiscus* разреза Сельцо-Воскресенское представлен новыми таксонами, что не позволяет устанавливать здесь английскую зону *Volgidiscus lamplughi* или другое известное подразделение. Представляется также преждевременным выделять здесь новую зону, поскольку в разрезе не найдено последовательности аммонитовых комплексов. Поэтому рассматриваемые отложения выделяются в стратиграфическое подразделение ранга «слои с фауной» - слои с *Volgidiscus singularis*.

Свообразие аммонитов в слоях с *Volgidiscus singularis* позволяет сопоставлять их с зоной *Volgidiscus lamplughi* лишь условно. Не исключено, что слои с *Volgidiscus singularis* соответствуют только верхней части зоны в районе Норфолка (отложения Runcton) и не отвечают нижней части зоны в отложениях района Линкольншира (нижние песчаники Spilsby), где фиксируется перерыв между зонами *Volgidiscus lamplughi* и *Praetollia runctoni*. По Кейси и др., 1988, ему соответствуют сконденсированные конкреции с *Subcraspedites* (*Subcraspedites*) ex gr. *claxbiensis* Spath. Аммониты рода *Volgidiscus* неизвестны из этого горизонта, что затрудняет сопоставление. Амониты слоев с *Volgidiscus singularis* наделены признаками, эволюционно продвинутыми по отношению к видам *Volgidiscus* и *Subcraspedites* из зоны *Volgidiscus lamplughi*, что свидетельствует о более высоком положении рассматриваемого подразделения.

Слой 4 условно относится к рязанскому региоярусу. Основанием для этого служит присутствие перерыва выше слоя 3, который также фиксируется в базальных горизонтах рязанских слоев других, хорошо изученных, местонахождений этого региояруса.

**Однотипные зоны.** Зональное деление нижней части берриаса в Англии и России (по Кейси и др., 1988; Сей, Калачева, 1997, 1999, с дополнениями).

Берриасский ярус	Восточная Англия		Европейская Россия		Приполярный Урал	
	Рязанский региоярус	Praetollia runctoni	Рязанский региоярус	Riasanites riasanensis и Garniericeras subcylindiforme	Chetaites sibiricus	Chetaites sibiricus
Берриасский ярус	Портланд	Volgidiscus lamplughi	Волжский региоярус	Слои с <i>Volgidiscus singularis</i>	Craspedites nodiger	Слои с <i>Subcraspedites mauryensis</i>
		Subcraspedites prelicomphalus	Верхний подъярус	Craspedites subditus		Craspedites taimyrensis
		Subcraspedites primitivus		Kachpurites fulgens		Craspedites subditus
						Kachpurites fulgens

## І і є ñàі єå àі i îí èò îâ

Отряд AMMONITIDA  
Семейство CRASPEDITIDAE Spath 1924  
**І і юñàі ѕéñòàі Craspeditinae Spath 1924**  
Род *Volgidiscus* (Casey 1973)  
*Volgidiscus singularis* Kiselev sp. nov.

Табл. 26, фиг. 1-8.

Название вида от *singularis* (лат.) – отдельный, одиночный, единственный, изолированный.

Голотип. № Ч/В-3, ГМ им. А. Н. Иванова (ЯГПУ). Рыбинский район, р. Черемуха, д. Сельцо-Воскресенское. Верхневолжский подъярус, слои с *Volgidiscus singularis*.

**Описание.** Раковина микроконхового типа, средних размеров (максимальный диаметр равен 7,15 см), инволютная, платиконическая. Средние обороты имеют высокоовальное поперечное сечение с небольшим заострениемentralной стороны. На конечной жилой камере centralная сторона расширяется, становится более округлой и поперечное сечение становится субпрямоугольным. Припупковая стенка низкая и совершенно гладкая на конечном обороте. Скульптура сохраняется до конечного устьевого края. На средних оборотах она слаженная и состоит из полого наклоненных двойных, реже тройных ребер. Centralная сторона гладкая. На конечном обороте между двойными ребрами добавляется по одно-два вставных (коэффициент ветвления 3-4). Точка ветвления находится выше середины оборота, иногда в верхней трети. Ребра на конечном обороте синусоидально изогнуты, иногда очень резко. На centralной стороне ребра сильно слаживаются, но не прерываются окончательно.

Размеры в мм и их соотношения (Д - диаметр; В, Ш - высота и ширина оборота; ОВ - относительная высота оборота; П - диаметр пупка; ПР, ВР - количество первичных и вторичных ребер; по - полуоборот; КВ - коэффициент ветвления).

№ экз.	Д	В	Ш	ОВ	П%	ПР/по	ВР/по	КВ
Ч/В-3 (голотип)	71,8	33	20,05	1,64	16,5	13	52	4
Ч/В-2	72	33,2	13,2	2,51	18,3	18	55	3,05

**Сравнения и замечания.** От типового вида рода *Volgidiscus lamplughi* Spath новый вид отличается более инволютной раковиной, частой изящной ребристостью и наличием скульптуры на

вентральной стороне конечной жилой камеры. Замечание Кэйси (Casey, 1973) о том, что для *Volgidiscus* характерно полное сглаживание вентральной стороны, остается справедливым только для оборотов, предшествующих конечной жилой камере. На последней у некоторых образцов происходит возобновление скульптуры на вентеря, что более выражено у *Volgidiscus singularis*, однако наблюдается и на изображениях образцов, приведенных в работе Кейси. У голотипа *Volgidiscus lamplughii* Spath (изображен в Pavlow et Lamplugh, 1892 (по Павлов, 1965, табл. I(XII), фиг. 5) вентральная сторона последнего оборота совершенно гладкая. В еще большей степени вышеупомянутые отличия заметны при сравнении нового вида с *Volgidiscus aff. lamplughii* Spath (Casey, 1973, pl. 5, fig. 3).

Морфотип нового вида по частоте скульптуры близок образцу *Volgidiscus* из Нидерландов, обозначенного Дж. Кэлломоном (в Abbink et al., 2001, fig. 5-I) как *Subcraspedites* sp. indet. [m]. Однако плохая сохранность этого образца не позволяет достоверно сравнить эти формы. Остальные нидерландские образцы (там же), обозначенные как *Subcraspedites* cf. or aff. *lamplughii* Spath. [M], *Subcraspedites* sp. A, B [M] (fig. 5, 6), отличаются крупными размерами и грубой скульптурой и, вероятно, являются макроконхами, что кардинально отличает их от микроконховых видов *Volgidiscus lamplughii* Spath и *Volgidiscus singularis* sp. nov.

**Распространение.** Вид известен только из одного местонахождения – ГПП «Сельцо-Воскресенское». Волжский ярус, верхний подъярус, слои с *Volgidiscus singularis*.

**Материал.** 7 экз., представленных ядрами разной сохранности.

Род *Anivanovia* Kiselev gen. nov.

**Название рода в честь А. Н. Иванова.**

**Типовой вид.** *Anivanovia mola* sp. nov. Рыбинский район, р. Черемуха, д. Сельцо-Воскресенское. Верхневолжский подъярус, слои с *Volgidiscus singularis*.

**Диагноз.** Раковина макроконхового типа, крупная, до 180 мм в диаметре. Обороты инволютные, платиконические, с высоким поперечным сечением и округлой вентральной стороной. Скульптура сглаженная (на ядрах), на взрослых оборотах и конечной жилой камере полностью исчезает. Средние обороты покрыты прямыми или слабо изгибающимися ребрами, прерывающимися на вентральной стороне. С возрастом боковые ребра сглаживаются и наиболее выраженными остаются припупковые ребра, реже привентральные. Лопастная линия ориентирована к пупку под прямым или почти прямым углом.

**Сравнение.** Генетически близким, возможно предковым, к новому роду является род *Subcraspedites* Spath. Его представители также обладают крупными размерами, выступающими припупковыми ребрами на взрослых оборотах, сходным обликом скульптуры и радиальной ориентацией к пупку лопастной линии. В отличие от него род *Anivanovia* характеризуется значительно более инволютной раковиной, сглаживанием ребер на вентральной стороне средних оборотов и общей редукцией скульптуры на взрослых оборотах.

Новый род имеет внешнее сходство с ранневаланжинским родом *Menjaites* Sasonova (инволютностью оборотов с гладкой вентральной стороной). Род *Anivanovia* отличается от него радиальной ориентацией лопастной линии (у *Menjaites* она идет по касательной к пупку), наличием выраженных припупковых ребер на взрослых оборотах и отсутствием пережимов на средних и ранних оборотах. Сходный морфотип у обоих родов возник, вероятно, независимо и параллельно в разное время.

**Видовой состав.** Род представлен типовым видом.

**Распространение.** Такое же, как и у типового вида.

*Anivanovia mola* Kiselev sp. nov.

Табл. 26, фиг. 9, 10; табл. 27, фиг. 1-4

**Название рода от *Mola* – луна-рыба.**

**Голотип.** № Ч/В-8, ГМ им. А. Н. Иванова (ЯГПУ). Рыбинский район, р. Черемуха, д. Сельцо-Воскресенское. Верхний подъярус волжского региона, слои с *Volgidiscus singularis*.

**Описание.** Раковина крупная, сильно инволютная. Средние обороты ( $D=30-50$  мм) имеют высокоовальное или полуулунное поперечное сечение. Они покрыты слабыми двураздельными ребрами, прерывающимися на вентральной стороне. Средние обороты (50-70 мм) более низкие с округлой вентральной стороной, платиконические, покрыты прямыми или слабо изогнутыми трехраздельными ребрами, между которыми нередко наблюдаются вставные. Точка ветвления расположена на середине боковой стороны или выше. На взрослых оборотах ( $D=70-100$  мм) сохраняется только припупковая скульптура, реже привентральная. Она еле выражена и полностью исчезает при  $D=11-12$  мм. На конечном обороте вентральная сторона несколько сужается и раковина становится дисковидной.

**Размеры в мм и их соотношения.**

Таблица 25



Таблица 26

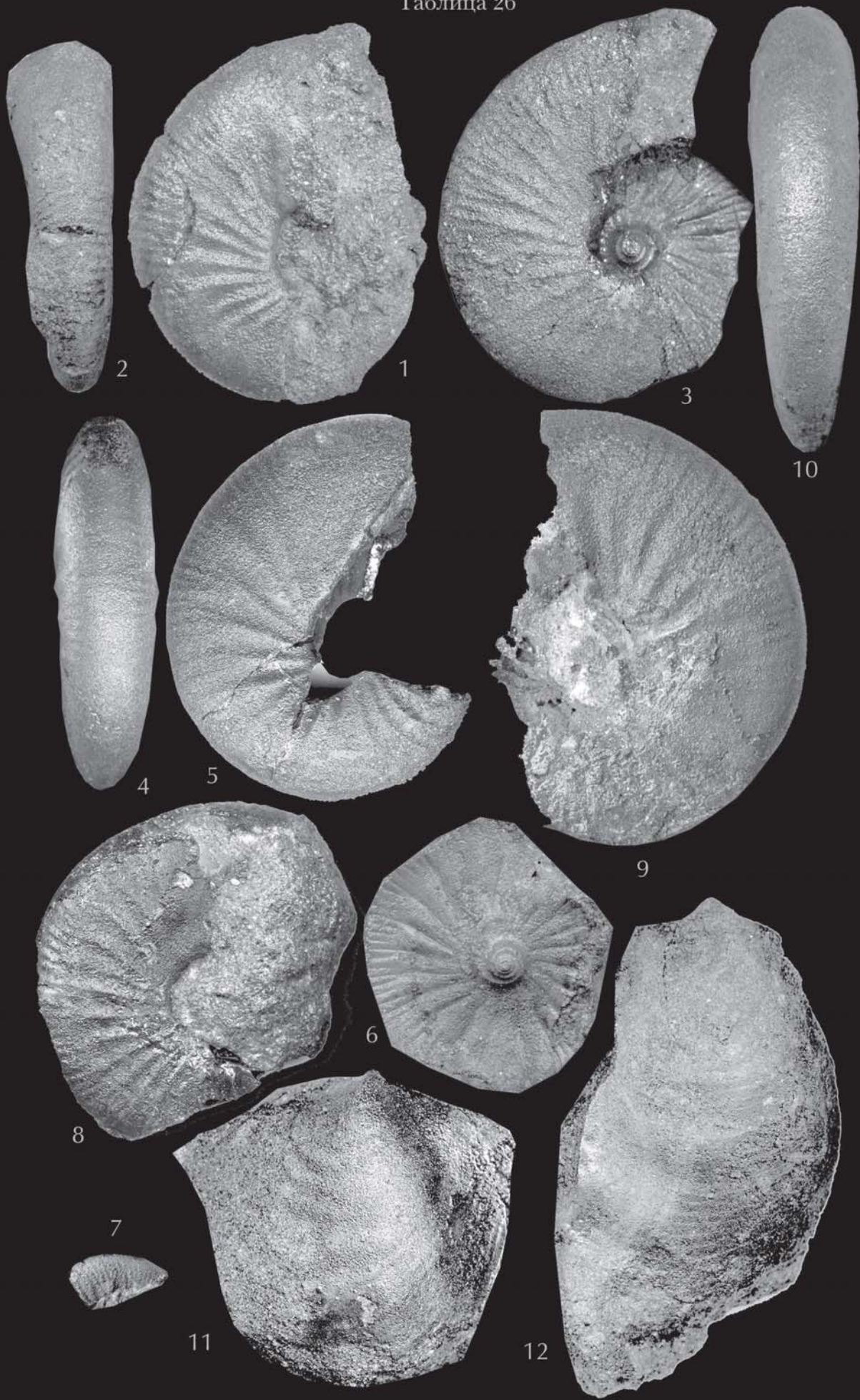


Таблица 27



№ экз.	Д	В	III	ОВ	П%	ПР/по	ВР/по	КВ
Ч/В-8 (голотип)	105,5	47,5	24,1	1,97	20,47	10	-	-
Ч/В-9	81	35,8	20,6	1,73	20,2	13		3,75
Ч/В-10	116,8	52,3	27,7	1,88	18	-	-	-

Распространение. Рыбинский район, р. Черемуха, д. Сельцо-Воскресенское. Верхневолжский подъярус, слои с *Volgidiscus singularis*.

Материал. 8 экз., представленных ожелезненными ядрами разной сохранности, из разреза ГПП «Сельцо-Воскресенское».

Объяснения к таблицам. ГПП «Сельцо-Воскресенское».

Таблица 25

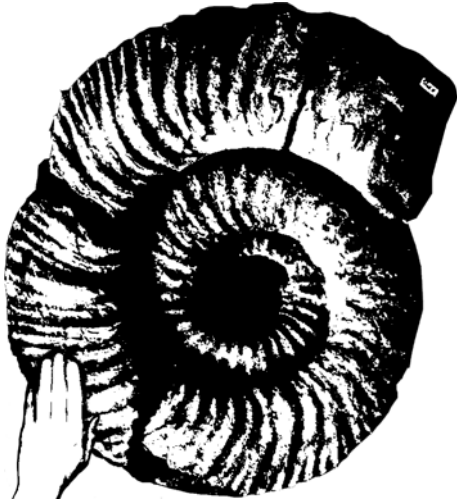
- Ôèä. 1. Западная стенка карьера, где обнажаются ожелезненные песчаники рязанского регионаряса (слой 4). В нижней части песчаники образуют карниз, выступающий над песками слоя 3. Снимок сделан в 2002 г.
- Ôèä. 2. Дно карьера, где обнажаются пески с конкрециями верхневолжского подъяруса (слои с *Volgidiscus singularis*). Снимок сделан в 2002 г.
- Ôèä. 4. Река Черемуха в районе д. Сельцо-Воскресенское. Снимок сделан в 2002 г.
- Ôèä. 5. Обнажение верхневолжских железистых песков и песчаников в основании правого берега р. Черемухи у д. Сельцо-Воскресенское. Снимок сделан в 2002 г.

Таблица 26

- Ôèä. 1-8. *Volgidiscus singularis* sp. nov. Ôèä. 1, 2. Паратип: экз. Ч/Б-1. Ôèä. 3. Паратип: экз. Ч/Б-2. Ôèä. 4, 5. Голотип: экз. Ч/Б-3. Ôèä. 6. Паратип: экз. Ч/Б-7. Слепок с отпечатка. Ôèä. 7, 8. Паратип: экз. Ч/Б-4.
- Ôèä. 9, 10. *Anivanovia mola* gen. et sp. nov. Средние обороты. Паратип: экз. Ч/Б-9.
- Ôèä. 11, 12. *Anopaeaa* cf. *brachovi* (Rouillier). Экз. Ч/Б-11, Ч/Б-12.
- Все образцы из верхнего подъяруса волжского регионаряса, слоев с *Volgidiscus singularis*. Из коллекции ГМ им. А. Н. Иванова (ЯГПУ).

Таблица 27

- Ôèä. 1-4. *Anivanovia mola* gen. et sp. nov. Верхний подъярус волжского регионаряса, слои с *Volgidiscus singularis*. Ôèä. 1, 2. Паратип: экз. Ч/Б-10. Ôèä. 3, 4. Голотип: экз. Ч/Б-8. Все образцы из коллекции ГМ им. А. Н. Иванова (ЯГПУ).



# ГЛЕБОВО

Glebovo

**№ 22 обнажение**: ГПП комплексного (стратиграфический, историко-геологический, палеонтологический) типа мирового ранга. Обнажение выделено в памятник природы Рыбинского района по решению Ярославского облисполкома от 25 июля 1966 г., № 582, а также решением Малого Совета областного совета народных депутатов от 27 мая 1993 г. № 118.

**Обнажение эталонного значения для стратиграфии волжского регионаряса**. Предложен в качестве дополнительного эталонного разреза (гипостратотипа) волжского яруса. Наиболее представительный разрез средневолжских отложений в Ярославской области. Один из немногих разрезов в Ярославской области, где выходят юрские отложения совместно с меловыми. В отложениях найдено 17 новых видов ископаемых животных.

**Рыбинский район, правый берег Волжского отрога Рыбинского водохранилища на 9-километровом участке от с. Глебово до д. Петраково и д. Коприно в 25 к западу от Рыбинска (далее. 28, б. 2).**

Село Глебово, в окрестностях которого и находятся геологические обнажения, стоит на правом берегу реки Волги, в Рыбинском районе Ярославской области, в 25 км. от районного центра. С городом Рыбинском его связывает автомобильная дорога. Ближайшая железнодорожная станция, Кобостово, - в 4 км. от села. Она находится на дороге Ярославль - Рыбинск - Бологое, построенной в 1898 году и пересекающей Волгу. Кобостово - последняя станция на правом берегу перед рекой. От железнодорожного моста Волга начинает заметно расширяться, постепенно переходя в Рыбинское водохранилище.

Возникло водохранилище весной 1941 года на подготовленной для него территории, площадью около 5 тыс квадратных км. 13 апреля 1941 года был забетонирован последний пролет Рыбинской плотины и воды Волги и Шексны затопили свои долины, а затем и Молого-Шекснинское междуречье. Проектной отметки наполнение достигло только в 1947 г., уровень воды у плотины поднялся на 19 м., подпор от плотины распространился по Волге на 120 км. Естественно, что оказалась затопленной долина Волги и у с. Глебова. Под водой оказались русло, пойма и первая надпойменная терраса высотой около 13 м. Вторая же надпойменная терраса высотой около 27 м. сохранилась, но над современным уровнем Волги она возвышается уже только на 13 - 15 м. На ней стоит с. Глебово.

Считается, что эта терраса возникла около 45 тыс. лет назад, в ледниковый период, в так называемое в молого-шекснинское межледниковые. После оледенения здесь образовалось огромное Молого-Шекснинское озеро. Позже, при формировании Верхней Волги, воды озера были спущены рекой вниз по течению. Общая котловина вошла в состав долины Волги и ее притоков - Мологи и Шексны. Ныне в Молого-Шекснинском междуречье воссоздан искусственный водоем - Рыбинское водохранилище. Ширина Волги у с. Глебово - около 2 км. При сильных западных ветрах на Волге, тем более на акватории Рыбинского водохранилища, возникают огромные волны, ударяющие в склоны крутых берегов, на которых стоит с. Глебово и другие населенные пункты. На месте разрушающегося и отступающего под ударами волн берега образуется песчаный пляж. Его ширина варьирует от 1 до 20 метров. Над крутым обрывом, по его кромке, еще растут деревья, закрепляющие и украшающие берег. К сожалению, их становится все меньше и меньше. Одни при сильном разрушении берега в конце концов падают под обрыв, другие все еще попадают под топор непросвещенных туристов, хотя памятник включает в себя не только обрыв с обнажением, но и всю прибрежную полосу, заключенную между Волгой и дорогой, соединяющей с. Глебово и д. Легково. К заповедной полосе относятся и участки леса. Самый значительный из них между Коткинским и Петраковским заливами.

Красота и привлекательность местности при легкой транспортной доступности все более и более влекут сюда отдыхающих экскурсантов, туристов, а в последние годы и предпринимателей из Рыбинска, Москвы, Ярославля и всей Ярославской области. Все это требует образования здесь Глебовского берегового комплексного заказника с более широкими задачами сбережения природы. Главной достопримечательностью Глебова остаются геологические обнажения, являющиеся памятником природы в изучении летописи Земли.

**Êî í ô è áðàöèë:** до 10-ти почти сплошных обнажений протяженностью 100 - 500 м, при видимой мощности юрских и меловых пород до 15 м в нижней половине крутого обрыва. Обнажения местами отделены друг от друга осыпями и оползнями, задернованными участками и эстуариями притоков Волги (Ивановский ручей (р. Талица), Гороховский (дàáë. 28, ô è ä. 3) и Коткинский ручьи). Наиболее развиты обнажения непосредственно у с. Глебова (дàáë. 28, ô è ä. 1). и в 3 км ниже в районе деревень Мостово и Горохово (дàáë. 29, ô è ä. 1, 2, 5).. Ниже, на протяжении 6 км интервала д. Мостово – Василево – Селехово – Петраково – Коприно, обнажение постепенно понижается (дàáë. 29, ô è ä. 4.), коренные слои уходят под урез Волги и в районе Коприно полностью исчезают.

**Áðàí è öû ï àì ÿò í èëà:** верхняя (по течению реки) - Санаторно-лесная школа в с. Глебово, нижняя - окрестности д. Коприно.

**Î ôðâí í àë çí à:** вдоль всего обнажения-памятника полоса шириною не менее 50 м, включая бечевник, стенки обрыва и прикромковую часть второй надпойменной террасы.

**Èñô ì ðè ý è çô÷åí è ý.** Слои, прославившие с. Глебово еще в прошлом веке, принадлежат юрской системе. Интересно отметить, что Ярославская юра привлекла внимание ученых Петербургской Академии Наук почти за сто лет до того, как была выделена сама юрская система (1829 год).

Осеню 1733 года на Волге через Углич, Рыбинск и Ярославль проследовала академическая группа второй Камчатской экспедиции. В пути находившиеся в составе группы профессора - натуралист И. Г. Гмелин и историк Т. Ф. Миллер - производили различные наблюдения, и о том, что видели, уже с дороги сообщали в Петербург в своих рапортах. 8 декабря 1733 года И. Гмелин сообщал, что нашел "в нескольких верстах выше Мологи, по правую сторону Волги на берегу много особливого вида камней", которые "белемните" (а от тамошних жителей "чертовы пальцы") и "корнуа аммонис" называются. Он счел нужным их описать и срисовать, а лучшие образцы послал в кунсткамеру, 7 января 1734 г. в канцелярии Академии Наук была сделана запись о письме и посылке Гмелина. В ящике оказались собранные на берегу Волги "фигурные камни", которые решили сначала представить в "конференцию", а потом передать в кунсткамеру.

В архиве Академии Наук сохранились полученные от Гмелина рапорты и описания "о белемнитах" и о "рогах аммоновых". Под этими латинскими названиями белемниты и аммониты известны со времен Плинния. Белемниты - значит "стреловидные камни", "корнуа аммонис" - камни, похожие по форме на рога барана. С подобными рогами изображался бог Аммон.

Есть основания считать, что описание И. Гмелина было первым научным описанием белемнитов и аммонитов из юры Восточно-Европейской платформы. Правда, их юрский возраст и морское происхождение слоев было установлено много позже.

Открытие "ярославской юры" принадлежит профессору Московского университета - геологу Г. Е. Щуровскому, который посетил Ярославскую губернию в 1866 г. по приглашению ярославской научной общественности. Энтузиасты и исследователи Ярославского края были объединены в двух местных учреждениях - "Губернском статистическом комитете", возникшем в 1857 г., и "Обществе для исследования Ярославской губернии в общественно-историческом отношении", которое открылось в 1864 году и было первым провинциальным научным обществом в России. Оба издавали свои научные труды. Заметим, что во главе Ярославского научного общества в те годы стоял бывший ученик Г. Е. Щуровского по университету, профессор естественной истории Ярославского Демидовского лицея А. С. Петровский (1831-1882). Он был ботаником и успешно трудился над изучением местной флоры, им создан при обществе естественно-исторический музей, который впоследствии был преобразован в отдел природы Ярославского историко-архитектурного музея - заповедника.

Небезынтересно отметить, что в статистический комитет, от которого исходила инициатива геологических исследований, входили такие известные ярославские деятели, как поэт Леонид Трефолев, инженер-архитектор А. М. Достоевский, брат писателя, и другие; а председателем комитета был Ярославский губернатор И. С. Унковский, бывший капитан фрегата "Паллада", путешествие на котором описано И. А. Гончаровым.

В связи с изучением ярославской юры нельзя не вспомнить и еще одного ярославского деятеля, лидера передовой интеллигенции Е. И. Якушкина, назначенного в 1859 г. управляющим Палатой Государственных имуществ. 11 июля 1866 г. Е. И. Якушин на заседании статистического комитета сообщил об отпуске средств для геологического исследования губернии, после чего и был приглашен в Ярославль Г. Е. Щуровский. Сам Якушин активно помогал профессору. Он не только сопровождал Щуровского в экспедициях, но и самостоятельно, шаг за шагом, прошел от Ярославля до Мышикина, изучая выходы юрских слоев в берегах Волги. Именно Якушкиным впервые была собрана коллекция аммонитов, белемнитов и

другой ископаемой фауны из юрских слоев у с. Глебово, Ивановское, Коткино, Коприно, которая была им передана Г. Е. Щуровскому.

Результатом исследований, проведенных Г. Е. Щуровским и его помощниками, явилась две печатные работы, опубликованные в 1867 и 1868 годах в Трудах ярославского губернского статистического комитета.

Однако Г. Е. Щуровский не был в такой мере осведомлен в палеонтологии, чтобы дать точное определение собранной фауне, в частности, аммонитам и белемнитам, которые имеют первостепенное значение для стратиграфии, выделения ярусов и, тем более, зон. По аналогии с подмосковной юрой Г. Е. Щуровский и в Ярославской юре нашел три “яруса”:

1. Нижний, состоящий из темных глин с аммонитами
2. Средний, содержащий редко встречающегося характерного аммонита с видовым названием *Virgatites virgatus*
3. Верхний, с аммонитом *Kachpurites fulgens*

Широкую известность ярославской юре, а вместе с тем и обнажениям у с. Глебово, принесли исследования геолога С. Н. Никитина, проведенные им в 1878-1884 гг. (Никитин, 1881; 1884).

Никитиным впервые дано определение, описание позднеюрских аммонитов и белемнитов и установлено их стратиграфическое положение. Так, в составе “нижнего яруса” Щуровского С. Н. Никитин выделил два самостоятельных яруса - келловейский и оксфордский, для которых установил еще и зональные деления (Никитин, 1884):

- Келловейский ярус
1. Горизонт с *Cadoceras milaschevici*
  2. Горизонт с *Quenstedtoceras leachi*
- Оксфордский ярус
3. Горизонт с *Cardioceras cordatum*
  4. Горизонт с *Cardioceras alternans*

Верхнюю песчаную часть разреза рыбинской и московской юры С. Н. Никитин в 1881 г. назвал волжской формацией, считая ее эквивалентом кимериджа и портланда Западной Европы (кимериджский ярус в Европейской России тогда еще не выделяли). Эти слои настолько своеобразны по своей фауне “что описывать их под названием ... западно-европейских ярусов ... кажется совершенно неудобным”. В описании 56-го листа Геологической карты России (1884) Никитин называет уже волжский ярус и делит его на нижний и верхний волжские ярусы. Название “волжский” избрано Никитиным потому, что бассейн Волги главным образом дает нам классические разрезы, в том числе в Рыбинске, Кинешме, Сызрани (1881, с. 249).

После работ С. Н. Никитина окрестности Глебова посещались многими геологами, палеонтологами, среди которых были такие исследователи, как А. П. Иванов (1910; 1912), Н. Т. Зонов (1934), П. А. Герасимов (1955; 1960а, б; 1972; Герасимов, Митта, Кочанова, 1995), В. В. Митта (1993) и др. Их работы внесли дополнения и некоторые поправки в стратиграфию, данную Никитиным.

После сооружения Рыбинского водохранилища, как уже сказано выше, крутые берега подвергались сильному обрушению, что привело к появлению новых естественных обнажений, представляющих собой, в основном, волжский ярус. Глинистые слои келловейского и оксфордского ярусов в окрестностях с. Глебова оказались под уровнем водохранилища. Описание наиболее полных разрезов волжского яруса впервые было сделано А. Н. Ивановым. Профессор Ярославского педагогического института им. К. Д. Ушинского Анатолий Николаевич Иванов на протяжении сорока лет ежегодно руководил полевой геологической практикой студентов в окрестностях с. Глебово и в других местах области. Им и его учениками (Иванов, 1950; 1959; 1977; 1979а, б; Иванов, Муравин, 1986; Баранов, 1966; 1968; 1975; Муравин, 1975; 1979; 1984; 1989; Муравин, Иванов, 1978; Яковлева, 1979), в том числе и авторами этого издания, не только дано описание некоторых новых видов волжских аммонитов, но и впервые проведены наблюдения по тафономии позднеюрской фауны, палеоэкологии и проведены палеогеографические реконструкции.

В результате этих исследований выявлена детальная последовательность аммонитовых комплексов и уточнен систематический состав аммонитов в зонах *Virgatites virgatus* и *Epivirgatites nikitini*. Среди аммонитов найдены виды, сходные или идентичные аммонитам из английского титона (род *Paracraspedites*), что делает Глебовский разрез удобным для корреляции с европейской стандартной шкалой. Зона *Epivirgatites nikitini* в Глебовском разрезе является наиболее полной и фаунистически охарактеризованной для всей Русской платформы. Это дало основание А. Н. Иванову (1979б) предложить разрез в качестве гипостратотипа (дополнительного эталона) зоны *Epivirgatites nikitini*. Позднее В. В. Митта (1993) предложено рассматривать разрез уже в качестве гипостратотипа всего волжского яруса.

Исследованием меловых отложений в районе с. Глебово занимался и В. Н. Аристов – ученик А. Н. Иванова. Им изучены аммониты мелового фосфоритового конгломерата и определен его горизонтальный возраст, а также и вышележащих меловых песков (Аристов, 1965).

Четвертичные отложения памятника изучались всеми вышеперечисленными авторами, но специально преимущественно В. А. Новским (1968) и А. И. Лобановым (2001). Ими раскрыто своеобразие местных четвертичных отложений и обнаружено развитие многочисленных гляциодислокаций.

Из волжских отложений разреза с. Глебово - Коприно происходят эталонные образцы 17 новых видов ископаемых беспозвоночных, выделенных различными авторами на протяжении всей его истории изучения: *ai i t̄ ē ñ* (ðâé ñò.-ð è ä. 4): *Epivirgatites lahuseni* (Nikitin 1881), *E. bipliciformis* (Nikitin 1881), *Lomonosovella zonovi* Muravin 1979, *Laugeites stschurowskii* (Nikitin 1881), *L. lambecki glebovensis* Ivanov 1979, *L. aenivanovi* Mitta 1993, *Craspedites ivanovi* Gerasimov 1960, *C. pseudofragilis* Gerasimov 1960; *ððþ ði i ñ ðèå*: *Crepidula? nikitini* Gerasimov 1992, *Proconulus carinatus* Gerasimov 1955; *ððñð ðð ð-ð ñ ð*: *Arcomymilus volgensis* Gerasimov 1955, *Trigonia koprinensis* Gerasimov 1955; *ðððð ñ ð ñ ð ñ ð*: *Lingula demissa* Gerasimov 1955, *Discinisca yaroslavensis* Gerasimov 1955, *D. conviva* Gerasimov 1955; *ðð ñ ð ñ ð ñ ð*: *Echinobrissus volgensis* Gerasimov 1955; *ððð ñ ð*: *Stramentella helmintophora* Gerasimov 1960.

**Ñòðàðèäðàò è ý.** В обнажении правого берега Волги в окрестностях с. Глебово установлено присутствие трех систем: юрской, меловой и четвертичной. Местами в подошве четвертичных образований встречаются, предположительно, неогеновые пески.

Ниже приводится описание разреза (по Иванов, Муравин, 1986; Муравин, 1989), с дополнениями (снизу вверх, **ðèñ. 22**).

**Р ðñèàÿ ñèñòàí à  
Âi ë æñèèé ðâæè ï ÿðóñ, ñðâäí èé ï ï äúýðóñ  
çí à Virgatites virgatus, ï ï äçí à Craspedites ivanovi**

1. Песок серовато- и бледно-желтый, средне- и крупнозернистый, с редкими рыхлыми желваками фосфоритов, местами с линзами железистого песчаника бурого цвета. Иногда песчаник плотно прилегает к покрывающему слою фосфоритов и образует сплошную плиту. Обычно в нем встречаются остатки ископаемых в виде внутренних ядер и отпечатков. В кровле слоя, в основании вышележащего фосфоритового конгломерата, наблюдаются многочисленные вертикальные стяжения железистого песчаника, длиной до 0,3 м – ядра нор десятиногих раков (**ðàáë. 51, ð è ä. 7**). Эту зону можно наблюдать у с. Глебово, у д. Захарино и между деревнями Мостово и Василево. На значительной же территории они скрыты осыпями. Аммониты: *Virgatites virgatus* (Buch) (**ðàáë. 32, ð è ä. 1, 2**), *V. pussilus* (Mich.), *V. sosa* (Vischn.), *Laugeites stschurowskii* (Nik.), *Lomonosovella lomonossovi* (Vischn.), *L. blakei* (Pavlow), *L. zonovi* Muravin, *Dorsoplanites (Vischniakovia) serus* Geras. (**ðàáë. 34, ð è ä. 3, 4**), *D. (V.) rosanovi* Geras. (**ðàáë. 34, ð è ä. 1, 2**), *Craspedites ivanovi* Geras., *C. pseudofragilis* Geras.; белемниты: *Cylindroteuthis volgensis* (Orb.), *Pachyteuthis rouillieri* (Pavl.); двустворчатые: *Buchia russiensis* (Pavl.) (**ðàáë. 40, ð è ä. 8**), *B. fischeriana* (Orb.) (**ðàáë. 40, ð è ä. 9**), *B. krotovi* (Pavl.), *Entolium (Entolium) erraticum* (Fiebelkorn), *Isogonomon gibbum* (Eichw.), *Pinna constantini* (Lor.) и др.; брюхоногие: *Bathrotomaria* (?) sp., *Khetella incerta* (Orb.), *Eucyclus jasicofianus* (Orb.), *Crepidula? nikitini* Geras., *Proconulus carinatus* Geras.; брахиоподы: *Rouilleria michalkowi* (Fahrenkohl), *R. cf. curvata* (Gurvitsch), *Russiella cf. royeriana* (Orb.) (**ðàáë. 39, ð è ä. 4, 5**), *Rhynchonella fischeri* Rouill., *Zeilleria cf. eichwaldi* (Lehmann), *Z. bullata* (Rouiller), *Lingula demissa* Geras., *Discinisca conviva* Geras.; аннелиды: «*Serpula*» *tetragona* Sow.; иглокожие: *Echinobrissus volgensis* Geras., *Pentacrinus cf. cristagalli* Quenst. и др. Видимая мощность над современным урезом Волги до 1м. Полная мощность слоя 6-8 м.

#### Çí à Epivirgatites nikitini

2. Песчаник железистый, темно-бурый, переполненный конкрециями фосфоритового песчаника. Плотно прилегая друг к другу, они образуют конгломерат. Фосфориты шершавые, слабо окатанные, серые с поверхности и черные на расколе. Размеры их можно сравнить с клубнями картофеля. В цементирующем песчанике наблюдается множество пустот растворенных ростров белемнитов *Cylindroteuthis volgensis* (Orb.), *Acroteuthis mosquensis* (Pavl.), *A. cf. russiensis* (Orb.). В конкрециях нередко встречаются мелкие аммониты *Epivirgatites bipliciformis* (Nik.), *Laugeites stschurowskii* (Nik.), *Craspedites ivanovi* Geras., *C. pseudofragilis* Geras.; брюхоногие *Eucyclus jasicofianus* (Orb.), *E. pushianus* (d'Orb.), *E. rjasanensis* (Geras.), *E. cf. koprinensis* Geras., *E. secondaris* (Rouill.), *Crepidula? nikitini* Geras., *Parvulactaeon* sp., *Khetella ?incerta* (Orb.); двустворчатые *Ctenostreon distans* Eichw., *Entolium erraticum* (Fieb.) (**ðàáë. 45, ð è ä. 7, 10**), *Isogonomon gibbum* (Eichw.) (**ðàáë. 38, ð è ä. 2**), *Pinna constantini* Lor. (**ðàáë. 40, ð è ä. 1**), брахиоподы: *Russiella cf. truncata* Geras. (**ðàáë. 39, ð è ä. 6-8**), *Rhynchonella fischeri* Rouill. (**ðàáë. 39, ð è ä. 9, 10**) и др.

**Òâé ñò.-ð è ä. 4.** Эталонные образцы видов юрских аммонитов, происходящие из разрезов ГПП «Глебово».

**Òèä. 1,2.** *Craspedites pseudofragilis* Gerasimov 1960. Голотип: Герасимов, 1960б, табл. 38, фиг. 4. Глебово. Средний подъярус волжского регионаряса, зона *Virgatites virgatus*, подзона *Craspedites ivanovi*.

**Òèä. 3,4.** *Craspedites ivanovi* Gerasimov 1960. Фиг. 3. Голотип: Герасимов, 1960б, табл. 38, фиг. 6; Фиг. 4. Паратип: там же, табл. 38, фиг. 5; Глебово. Средний подъярус волжского регионаряса, зона *Virgatites virgatus*, подзона *Craspedites ivanovi*.

**Òèä. 5.** *Epivirgatites lahuseni* (Nikitin 1881). Голотип: Никитин, 1881, табл. 6, фиг. 50. Глебово. Средний подъярус волжского регионаряса.

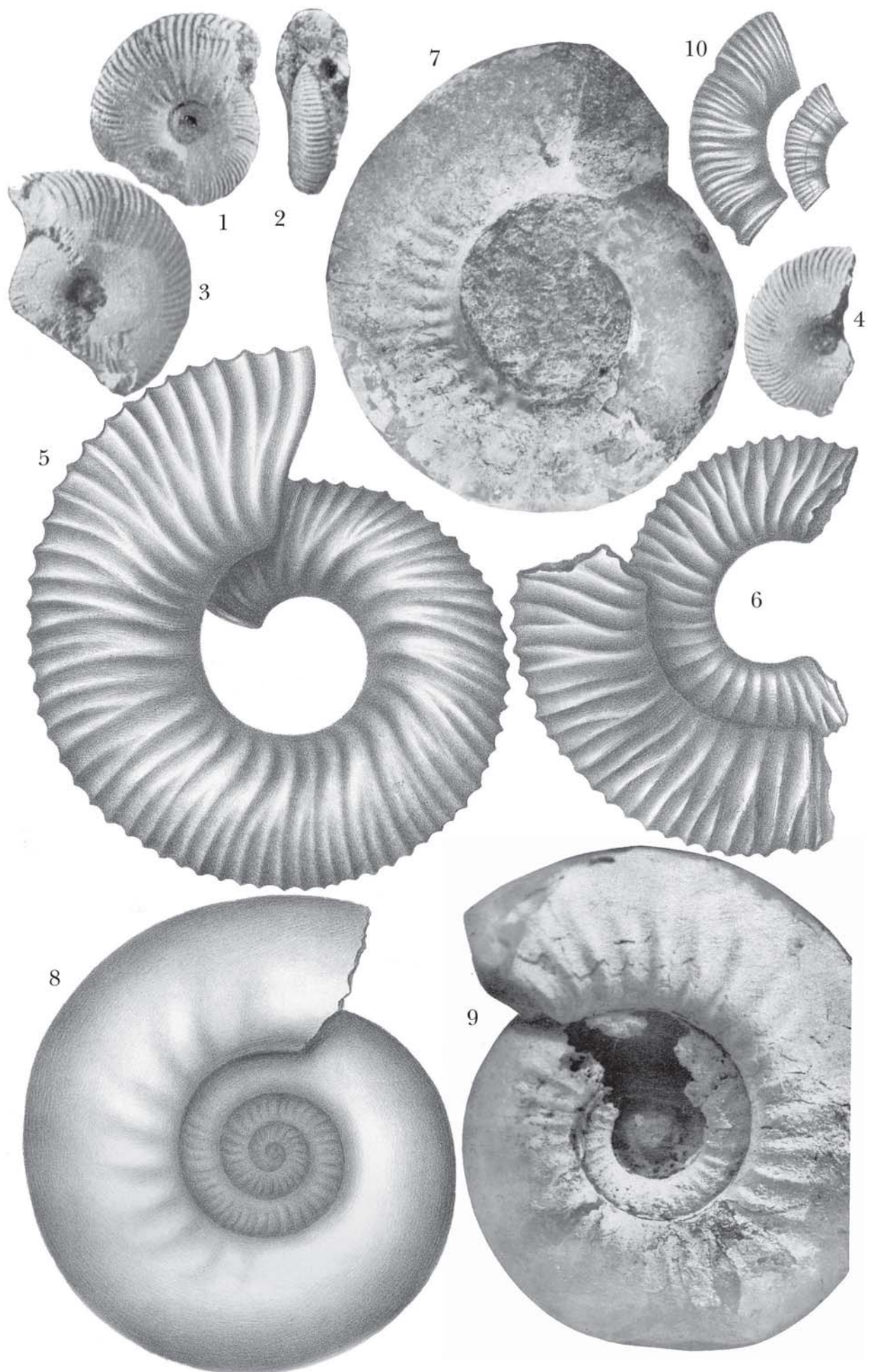
**Òèä. 6.** *Epivirgatites bipliciformis* (Nikitin 1881). Голотип: Никитин, 1881, табл. 6, фиг. 52. Глебово. Средний подъярус волжского регионаряса.

**Òèä. 7.** *Laugeites lambecki glebovensis* Ivanov 1979, Голотип: Иванов, 1979а, табл. 1, фиг. 1. Глебово. Средний подъярус волжского регионаряса, зона *Epivirgatites nikitini*. Уменьшено в 3 раза.

**Òèä. 8.** *Laugeites stschurowskii* (Nikitin 1881) emend Ivanov 1979. Голотип: Никитин, 1881, табл. 7, фиг. 55. Глебово. Средний подъярус волжского регионаряса. Уменьшено в 1,25 раз. В настоящее время голотип считается утерянным. Неотип предложен А. Н. Ивановым.

**Òèä. 9.** *Laugeites stschurowskii* (Nikitin 1881) emend Ivanov 1979. Неотип: Иванов, 1979а, табл. 2, фиг. 1. Глебово. Средний подъярус волжского регионаряса, зона *Epivirgatites nikitini*. Уменьшено в 2 раза.

**Òèä. 10.** *Rasenia (Eurasenia) fraasiiformis* (Nikitin 1881). Голотип: Никитин, 1881, табл. 5, фиг. 42. Коприно. Нижний кимеридж.



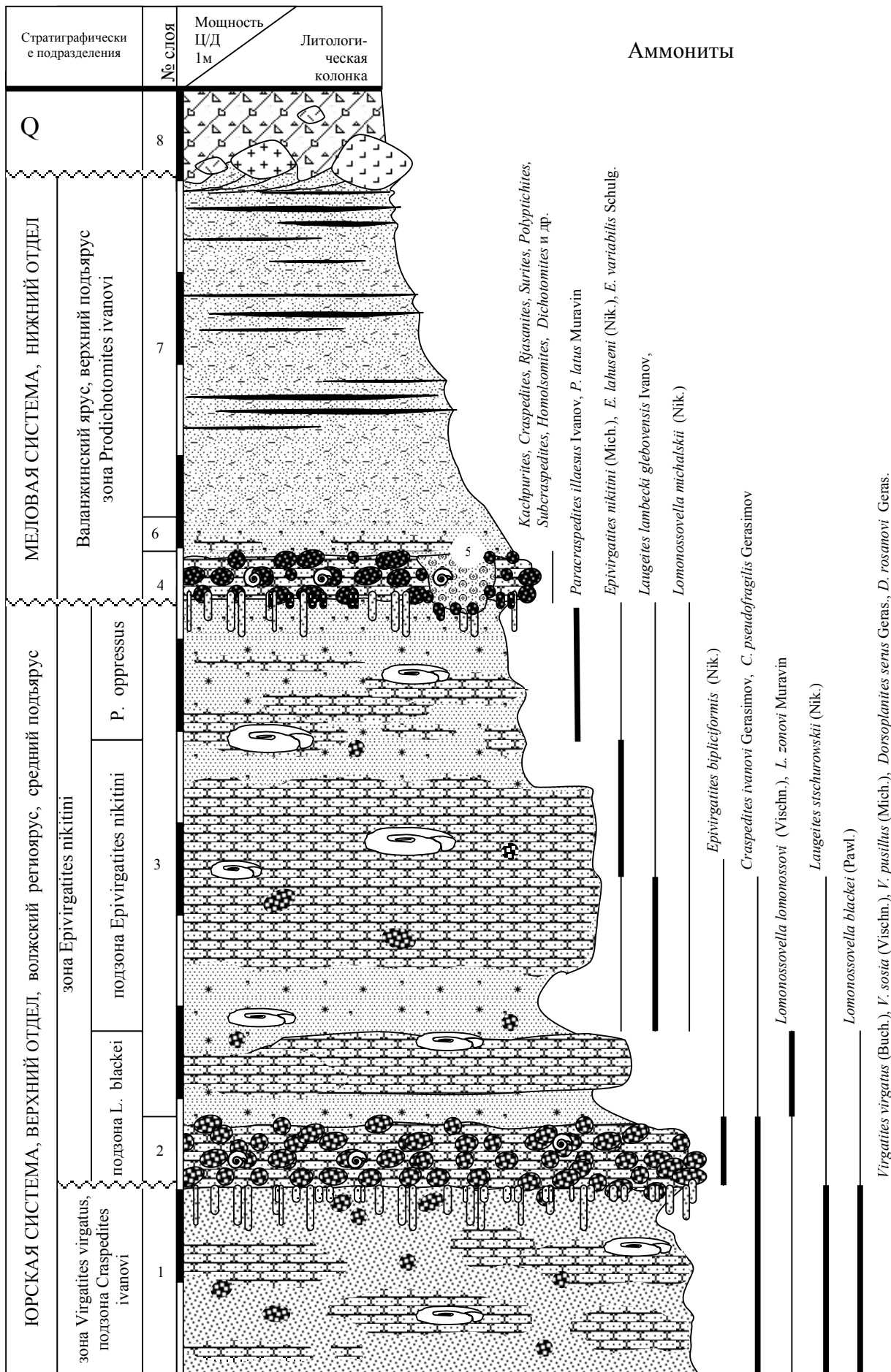


Рис. 22. Геологический разрез ГПП «Глебово». Литологические обозначения см. на рис. 3.

формы. Мощность слоя 0,3 – 0,5 м. Подобно предыдущей зоне, фосфоритовый пласт часто оказывается скрыт осьпями. Наблюдать его можно непосредственно в районе с. Глебово, у д. Захарьино, в районе д. Мостово, где он местами выступает над пляжем в виде карниза (ðàáë. 30, 6 è ä. 2).,

3. Песок зеленовато-бурый, средней плотности, до темно-бурового плотного, переходящий в песчаник. В строении берега средней части слоя песчаник представляет отвесную стенку в 1,5 - 3 м. высотой (ðàáë. 30, 6 è ä. 1). На зеленовато-буровом фоне нередко видны коричневато-бурые пятна, которые свидетельствуют о том, что в этом месте захоронены биофоссилии (окаменелости). В нижней 0,7 м слоя местами проходит прослой очень плотного железистого песчаника до 0,2 м толщиной, с многочисленными пустотами от ростров белемнитов в виде округлых конусообразных углублений в породе. В кровле слоя, в основании вышележащего фосфоритового конгломерата, как и в слое 1, наблюдаются скопления ядер нор десятиногих раков (ðàáë. 51, 6 è ä. 2, 3). По всей толще слоя рассеяны рыхлые фосфориты и плотные караваеобразные конкреции железистого песчаника разных размеров, выступающие на профиле разреза. В конкрециях нередко встречаются аммониты средних и крупных размеров (от 10 до 70 см в диаметре, ðàáë. 28, 6 è ä. 4). Среди них *Epivirgatites nikitini* (Mich.) (ðàáë. 32, 6 è ä. 3, 6; ðàáë. 35, 6 è ä. 4, 5), *E. lahuseni* (Nik) (ðàáë. 33, 6 è ä. 2, 7), *E. bipliciformis* (Nik.) (ðàáë. 35, 6 è ä. 3), *E. variabilis* Schulgina (ðàáë. 33, 6 è ä. 5, 6), *Paracraspedites illaensis* (Ivan.) (ðàáë. 35, 6 è ä. 6), *P. latus* Muravin (ðàáë. 35, 6 è ä. 7, 8), *Lomonossovella lomonossovi* (Vischn.), *L. blackei* (Pavl.) (ðàáë. 35, 6 è ä. 1, 2), *L. michalskii* Mich. (ðàáë. 33, 6 è ä. 3, 4), *L. zonovi* Muravin, *Laugeites lambecki glebovensis* Ivanov, *Craspedites ivanovi* Geras., *C. pseudofragilis* Geras. и др. К остальной фауне относятся двустворчатые: *Astarte mnevnicensis* (Milasch. in Geras.), *Buchia russiensis* (Pavl.), *B. fischeriana* (Orb.), *B. cf. piochii* Gall., *B. krotovi* (Pavl.), *Campstonectes zonarius* (Eichw.), *Entolium* (*Entolium*) *erraticum* (Fieb.), *Plagiostoma incrassata* (Eichw.) (ðàáë. 40, 6 è ä. 4), *Limea consobrina* (Orb.), *Pinna constantini* Lor., *Protocardia concinna* (Buch.), *Turnus waldheimi* (Orb.) (ðàáë. 38, 6 è ä. 3), и др.; брюхоногие *Khetella incerta* (Orb.), *Eucyclus jasikofianus* (Orb.), *Parvulactaeon* sp.; брахиоподы: *Russiella royeriana* (Orb.), *Lingula demissa* Geras., *Discinisca yaroslavensis* Geras.; аннелиды: «*Serpula*» *tetragona* Sow., губки: *Stramentella helminthophora* Geras. и др. Максимальная мощность слоя - до 6 м.

Многолетние наблюдения над распространением аммонитов по вертикали позволяют выделять в данном слое 4 горизонта с преобладанием следующих аммонитов (по Муравин, 1989):

3а. *Lomonossovella zonovi* Muravin и *L. lomonossovi* (Vischn.) – нижние 1,5-2 м.

3а. *Laugeites lambecki glebovensis* Ivanov – до 1,5 м в средней части песчаника.

3а. *Epivirgatites nikitini* (Mich) и *E. lahuseni* (Nik) – верхние 1,5 м в средней части слоя.

3а. *Paracraspedites illaesus* (Ivan.) и *P. latus* Muravin - 1,5 м верхней части слоя.

На основании этой последовательности Е. С. Муравиным были выделено 4 соответствующих местных подразделения – слоев с фауной. Выявленная последовательность аммонитов, в целом, совпадает с данными М. С. Месежникова и Н. И. Шульгиной (Кейси и др., 1988) о распространении аммонитов в средней части волжского яруса бассейна р. Оки и Волги. В соответствии со своими наблюдениями этими авторами выделены в объеме зоны *Epivirgatites nikitini* две подзоны *Lomonossovella blackei* (характерно преобладание *Lomonossovella* и *Laugeites stschurowskii* (Nik.)) и *Epivirgatites nikitini* (преобладает вид-индекс подзоны). Выше зоны *Epivirgatites nikitini* им установливается зона *Paracraspedites oppressus*, выделенная в Англии (Casey, 1973). Нами в глебовском разрезе устанавливаются все три вышеупомянутые подразделения. В связи с тем, что распространение вида-индекса зоны захватывает и слои с *Paracraspedites*, нами зона *Paracraspedites oppressus* рассматривается здесь в качестве подзоны *Epivirgatites nikitini*.

### І áéï áàý ñèñôâí à Âàéàí æéí ñèéé ýðôñ, ââðôí è é ííäýûðôñ

4. Фосфоритовый конгломерат, состоящий из плотных, гладких, зеленовато-серых, песчанистых фосфоритовых конкреций размером обычно до 10 см. Мощность слоя 0,2-0,4 м. В отличие от юрских фосфоритов, нижнемеловые более светлые и почти гладкие, хорошо окатанные. Судя по находкам аммонитов, фосфоритовые конкреции имеют разный возраст: поздневолжский, берриасский и валанжинский. Об этом свидетельствуют находки аммонитов (ðàáë. 36, 37): *Rjasanites rjasanensis* (Nik.), *R. aff. subrjasanensis* (Nik.), *Surites spasskensis* (Nik.), *S. cf. kozakowianus* (Bogosl.), *S. (Borealis) aff. suprasubditus* (Bogosl.), *Peregrinoceras aff. subpressulum* (Bogosl.), *Subcraspedites (Ronkinites) dorsorotundus* (Bogosl.), *Pronjaites bidevexus* (Bogosl.), ?*Chetaites* sp., *Dichotomites aff. bidichotomus* (Leym. in Orb.), *D. aff. petchorensis* (Bogosl.), *Polytichites aff. beani* Pawl., ?*Homolsomites* sp. ind. (определения из Аристов, 1965; Аристов, Иванов, 1979, с изменениями родовых названий на современные), а также *Kachpurites fulgens* (Trd.) и *Craspedites ex gr. nodiger* (Eichw.), характерных для вышеперечисленных ярусов. Залегание их в одном конгломерате указывает на сильную перемытость отложений. В некоторых местах, в частности у д. Захарьино, фосфориты как бы выклиниваются и их место занимает сильно ожелезненный крепкий песчаник.

5. Пески мелкозернистые, переходящие в алевролиты, лимонно-охристые, сильно железистые, насыщенные мелкими оолитовыми зернами лимонита. Слой встречается в виде котлообразных линз мощностью 0,3-1 м и протяженностью до 1 м, пронизывающих фосфоритовый конгломерат слоя 4 и частично углубляющийся в слой 3 (ðàáë. 30, 6 è ä. 3). Изогнутая подошва линз выложена фосфоритовыми конкрециями. Линзы расположены группами и равноудалены друг от друга на расстоянии 1-2 м. Окаменелости встречаются очень редко, в основном это лимонитовые ядра крупных белемнитов *Acroteuthis*

ex gr. *lateralis* (Phill.). Аммониты крайне редки. Найденные экземпляры принадлежат к ?*Tollia* sp. (ðàáё. 36, 6 è ä. 11-13), что указывает на поздневаланжинский возраст слоя. Обычно линзы имеют четкие границы, но изредка железистоолитовая порода слоя проникает в соседний фосфоритовый конгломерат и цементирует конкреции. Линзовидные стяжения лимонита сохранились лишь в единственном месте: в северной части обнажения у с. Глебова, около санатория, на протяжении около 100 м.

6. Песок мелкозернистый, зеленовато-серый, глауконитовый, переходящий в песчаник железистый, иногда содержащий ожелезненные ядра древесных остатков с воздухоносными полостями. Мощность до 0,2 м.

7. Пески мелкозернистые, белые, кварцевые, слюдистые, чередующиеся с тонкими прослоями черной слюдистой глины (ðàáё. 29, 6 è ä. 1, 3; ðàáё. 31, 6 è ä. 4). В нижней части слоя они средне- и крупнозернистые, бледно-зеленоватые, с обильными включениями глауконита. Органические остатки почти не встречаются, исключение составляют лишь куски окаменевшей древесины, и крайне редко встречающиеся ожелезненные ростры белемнитов.

Нижнемеловые отложения можно видеть по всему разрезу от с. Глебово до д. Петраково и далее до с. Коприно. Мощность их обычно составляет 3 - 4 м, местами (например, между дд. Горохово и Мостово) доходит до 8 м. Как правило, нижнемеловые отложения перекрываются четвертичными образованиями. Однако в некоторых местах, в частности на участке между дд. Селихово - Петраково, на нижнемеловых песках лежат грубозернистые кварцевые пески с большим включением дресвы, щебня и даже небольших валунов, которые перекрываются четвертичными отложениями. Долгое время эти грубые пески (а они встречаются и в других местах Ярославской области) считали проблематичной толщей. Только проведение палинологических исследований, выявление споро-пыльцевых комплексов позволило предположить их поздненеогеновый возраст.

× ãòâåðòè ÷ í àÿ ñè ñòâì à  
Í ëæñòî õåí  
Ì í ñéî ãñéé áí ðèçí ð

Валунный суглинок красновато-коричневый с большим содержанием дресвы, крупной гальки и валунов мощностью до 4 м. Большинство валунов сконцентрировано в подошве слоя, на контакте с нижнемеловыми песками. Часто они образуют выраженный горизонт в основании слоя (ðàáё. 30, 6 è ä. 4-6). Этот признак, не всегда характерный для отложений подобного типа, является отличительной особенностью для валунного суглинка района Петраково-Мостово. Это было отмечено еще В. А. Новским (1968) для участка обнажения у д. Селихово: «Некоторые валуны выступают из моренного слоя — они как бы вдавлены в подстилающую породу. Слоистость коренных песков нарушена на глубину 0,2—0,3 м от подошвы морены. Это хорошо заметно благодаря наличию в коренных песках прослоек темно-серой глины и черного углистого вещества. В зоне контакта много мелких складок. Прослойки глин местами бывают раздуть или утончены». Изучение этих особенностей Н. П. Крайнером (1976) позволило ему предположить озерно-ледниковое происхождение рассматриваемого слоя (с. 37): «Валунные пески, супеси и суглинки того же копринского крыла глебовского разреза можно с большим основанием отнести к водно-ледниковым образованиям, с участием дрифтовых процессов, нежели к чисто ледниковым. В этом разрезе бросается в глаза горизонтальное залегание морены: в ней, как правило, наблюдаются постепенные переходы песков в супеси и суглинок и при внимательном рассмотрении можно увидеть слоистость, сходную с флишевыми отложениями. Особенно четко слоистая флишевая структура морены проявляется при выветривании между дд. Петраково и Коткино. Это относится и к валунам, образующим три прослойки: в основании морены залегают более крупные валуны, в средине - валуны средних размеров, а в верхней части — более мелкие ... Как правило, валуны хорошо обработаны, залегают горизонтально, длинная ось их располагается параллельно горизонту, при этом «привесок» почти всегда обращен вниз, а плоская поверхность вверх, что больше говорит в пользу их транспортировки не ледниками, а плавающими льдами, при падении с которых залегание определялось положением центра тяжести. Под некоторыми валунами удается наблюдать микродислокацию, что также легко объясняется падением с плавающих льдин. Не исключено, что рассматриваемые ледниковые образования глебовского разреза имеют вторичную природу происхождения, связанную, по всей вероятности, с существованием в ледниковую эпоху озерного бассейна в пределах Молого-Шекснинской низины». Изучение нами границы меловых и четвертичных слоев в районе д. Мостово обнаружило, что деформации меловых песков в виде сложно изогнутых складок непосредственно связаны с вышележащими валунами и уходят на глубину до полутора метров. При этом складки всегда являются асимметричными и наклоненными, примерно, в одну сторону. Иногда валуны сопровождаются небольшими чешуями сорванных кусков нижележащей породы. Это свидетельствует о том, что верхние слои меловых песков деформированы не только с участием вертикальных, но и горизонтальных сил. Последние мало характерны для озерных обстановок и указывают на ледниковую природу рассматриваемых отложений. Тем не менее, их происхождение нельзя считать окончательно выясненным.

Для эрратических включений этого слоя характерно обилие крупных валунов, достигающих иногда до 3 м в длину. Крупные валуны и их скопления на бечевнике представляют самостоятельные памятники природы (ГПП «Захарынинский валун»).

### Аї ё і юї

8. Суглинок безвалунный, переходящий в супесь, светло-серый, или кремово-коричневый, пылеватый, неяснослоистый. Средняя мощность около 1 м, однако она может сильно меняться из-за того, что порода слоя зачастую проникает в нижележащий слой в виде, т. н. морозобойных клиньев.

**Ӧàðàéò ãð çàëåäàí è ў ñéî ãâ.** Несмотря на горизонтальный, в целом, характер залегания слоев, на протяжении девятикилометрового участка обнажения существуют участки, где наблюдаются их разного рода нарушения (деформации). В этих местах юрские и меловые слои образуют складки, местами разорваны и сдвинуты на некоторое расстояние. Среди этих нарушений можно выделить тектонические и гляциодислокации.

*Тектонические нарушения* связаны с существованием так называемого Рыбинского купола (Иванов, Новский, 1952; 1956) – антиклинального поднятия слоев, свод которого расположен в районе г. Рыбинска. На территории глебовского ГПП наблюдается постепенное падение юрских и меловых слоев вниз по течению Волги на северо-запад. В результате 13-15-метровая пачка юрско-меловых слоев, видимая у с. Глебово, полностью уходит под воду через 9 км в районе Коприно. Появление Рыбинского купола предполагается в юрское время, однако и в современную эпоху с ним связано появление тектонических нарушений. В первую очередь к ним относятся тектонические трещины. В обнажениях глебовского ГПП Н. П. Крайнером (1976) отмечается не менее четырех широких (до 2 см) вертикальных трещин, секущих плотные юрские песчаники. Этим же автором предполагается образование всех крупных ручьевых оврагов и ручьев (Ивановский, Захарынский, Коткинский, Петраковский и др.) на территории памятника по тектоническим трещинам. Это доказывается прямолинейной формой оврагов и их изгибов, а также их ориентировкой.

*Гляциодислокации.* Наиболее выражены подобные нарушения в северной части ГПП, в километровой зоне копринского крыла, в районе д. Петраково. Здесь наблюдается серия чешуйчатых надвигов (Лобанов, 2001), секущих юрские и меловые породы на 7-8 крупных кусков. Передние концы надвигов направлены вверх по течению (ЮЮВ). Ледниковое происхождение этих и вышележащих нарушений предполагалось неоднократно (Иванов, 1950; Аристов, 1965). При изучении разреза в 750 м ниже д. Мостово В. А. Новский (1968) описал чешуевидные разрывы юрских и меловых слоев, чередующихся с четвертичными породами. Этот автор определяет здесь не только гляциодислокацию, но и относит данный комплекс слоев к морене напора. Следы ледниковых воздействий наблюдаются и выше по течению. В основном это плоскости разрывов слоев, заметных по яркому ожелезнению. В редких случаях наблюдаются заполнения трещинных полостей вмытыми породами или их инъекциями (гляциопротрузий). Ярко выраженный пример таких нарушений обнаружен в 50 м выше устья Ивановского ручья (р. Талица) на изгибе обрыва, напоминающем мыс. Здесь между юрскими и меловыми породами наблюдается линзовидная прослойка (длиной 5-7 м и мощностью до 1,5 м) необычной сильно ожелезненной породы, состоящей из округлых лимонитовых конкреций, придающих ей пятнистую или ячеистую текстуру (**ðàáë. 31, 6 è ä. 1-3**). До недавнего времени считалось, что эти породы имеют морское происхождение, как и окружающие юрские и меловые пески, насыщенные лимонитом. Этой версии противоречили некоторые особенности отложений: (свообразная текстура породы, отсутствие окаменелостей). И только после того, как в слое были обнаружены находки кристаллических валунов, подтвердилась гипотеза ледникового происхождения данного образования, ранее выдвинутая А. И. Лобановым (устное сообщение). Согласно гипотезе, лимонитовый прослой с валунами был образован вмывом в полость разрыва ледниковых вод с последующим отложением лимонита, вымытым из юрских и меловых отложений. Явно выраженные ледниковые воздействия наблюдаются и в верхней части меловых песков, во многих местах смятых в мелкие, сложно изогнутые складочки. В целом масштаб ледниковых воздействий на рассматриваемые слои столь велик, что дает некоторую вероятность рассматривать их не как коренные отложения, а в качестве ледниковых отторженцев, что принимается рядом исследователей. Этую версию подтверждает обнаружение ледниковых отложений ниже уреза Волги в некоторых местах разреза скважинами (Лобанов, 2001).

**Ӧñ ñò i ýí è à i ãò ýò i è èà.** В настоящее время состояние ГПП у с. Глебово - с. Коприно, его внешний облик и размеры формируется целым комплексом факторов, из которых естественные плотно смешиваются с результатами деятельности человека. Самым ярким результатом такого сочетания является разрушение, или абразия, обнажения Рыбинским водохранилищем (**ðàáë. 29, 6 è ä. 2**). При этом имеет место не только волновое разрушение берега, типичное для абразии, но и суффозия - процесс, связанный с вымыванием частиц породы из глубины отложений. Суффозия во многом связана с самим режимом водохранилища, колебанием его уровня воды. При поднятии уреза воды и затапливании бечевника вода глубоко проникает в пористые песчанистые породы юрских отложений. После того как уровень водохранилища опускается, вода начинает вытекать обратно, вынося мелкие частицы. Постепенно в отложениях увеличивается пористость. Это сильно сказывается на прочностных свойствах породы, на ее сопротивляемости разрушению. В результате берег разрушается довольно интенсивно, что приводит к образованию круtyх обрывов почти на всем его протяжении.

Отступание берега приводит к разрушению береговых насаждений, населяемой территории и разного рода строительных сооружений. Существующие посадки сосны и березы вдоль кромки обрыва не способны эффективно снизить разрушение берега. Поэтому каждый год на бечевнике или склоне обрыва можно увидеть деревья, упавшие совсем недавно. Многие из растущих деревьев находятся в состоянии, близком к падению вниз (**ðàáë. 31, ô è ä. 5**): они приобрели наклонное положение и остаются на вершине обрыва только за счет длинных корней. В таком виде они могут оставаться довольно долго. По нашим наблюдениям, некоторые деревья могут находиться в «подвешенном» состоянии более 7 лет. В большей степени это свойственно сосне, имеющей горизонтальное расположение корней (**ðàáë. 31, ô è ä. 6, 7**).

Разрушение построек наиболее заметно в районе с. Глебово, которое находится непосредственно вблизи обнажения. Отступание берега привело к обрушению глебовского храма и прилегающего к нему прицерковного кладбища, располагавшихся в районе глебовского «мыса». В этом месте на бечевнике до сих пор заметны обломки кирпичных стен, а среди россыпи фосфоритов нередко встречаются человеческие костные останки. К сожалению, процесс разрушения берега в этом месте остановить довольно сложно. Жители с. Глебово неоднозначно понимают причины разрушения берега и иногда склонны обвинять в этом деятельность геологов и палеонтологов, изучающих отложения. По счастью, работа исследователей, выполняемая геологическим молотком, влияет на разрушение обрывов не в большей степени, чем укус комара на продолжительность жизни человека. По сравнению с разрушительной мощью водохранилища силы отдельных людей являются совершенно ничтожными. Однако некоторые местные жители столь крепко уверены в обратном, что появление кучки людей, карабкающихся по склону или прохаживающихся с геологическими молотками по бечевнику, воспринимается ими как существенная угроза их селу. Это приводило даже к активному сопротивлению работе студенческих геологических практик, которые ежегодно проводятся Ярославским педагогическим университетом в районе с. Глебово.

Деятельность отдельных людей гораздо существенней воздействует на внешний облик геологического памятника через его неконтролируемое загрязнение бытовыми отходами. В основном это касается густонаселенного района с. Глебово, где местные жители склонны иногда сбрасывать мусор на стенку обрыва. Приезжающие засоряют прилегающую к памятнику территорию, в районе живописных сосновых насаждений и россыпи валунов вблизи местной базы отдыха. Мусорные кучи, скопления пластиковых бутылок наблюдаются в понижениях между посадками и на бывших костищах.

Из всех геологических памятников природы Ярославской области Глебовское обнажение является наиболее посещаемым. Сюда едут и специалисты палеонтологи, геологи и туристы - любители природы. Значительную долю экскурсантов составляют школьники Ярославской и сопредельных областей. Однако самую большую группу посетителей образуют просто отдыхающие. Их загрязняющее воздействие носит локальный характер, и его необходимо контролировать организацией мест туристических стоянок.

К сугубо естественным изменениям ГПП следует отнести оврагообразование по берегам и эрозионная деятельность ветра. Оба эти процессы незначительно влияют на облик обнажения. Овраги в настоящее время здесь не развиваются полностью, т. к. скорость абразии берегов превышает скорость оврагообразования. Поэтому в обрывах наблюдаются лишь вершины молодых оврагов, основанием не доходящие до уреза воды. Настоящие овраги образовались до появления водохранилища и являются задернованными.

Ветровая эрозия (дефляция), или выдувание, проявляется на выступающих изгибах берега, наиболее подверженных северо-западным ветрам, дующим со стороны водохранилища. Особенno это свойственно для обрывов левого берега русловых притоков, впадающих в водохранилища, например глебовского «мыса» в устье Ивановского ручья. Ветер выдувает менее плотные породы, в основном рыхлые пески, и, таким образом, препарирует стенку обрыва, формируя оригинальный профиль. Выступающими частями профиля являются плотные песчаники и фосфоритовые конгломераты. Отпрепарированный дефляцией разрез становится более читаемым для геологических наблюдений и удобен для проведения геологических экскурсий.

**Ýéñêôđñèíííâ çí à÷âí èâ.** Глебовское обнажение является единственным геологическим памятником на территории Ярославской области, на котором можно проводить массовые экскурсии, не наносящие ущерба его научной ценности, с широким спектром задач, от общегеологических до краеведческих и чисто научных. Остальные ГПП Ярославской области или не приспособлены для массовых экскурсий, разрушающих памятник, либо отличаются более ограниченными научным содержанием.

Общегеологическая тематика экскурсий, применимая к данному памятнику, может включать в себя наблюдение следов тектонических движений земной коры (падения слоев и разломы, связанные с Рыбинским куполом), геологической деятельности водохранилища, денудации (абразии, дефляции, оврагообразования и др.), изучение разнообразия минералов и горных пород и составление коллекций, процессов осадконакопления в водных бассейнах и при участии ледника, основных принципов и методов стратиграфии (определение относительного возраста слоев и их корреляция в близко расположенных разрезах, определение фаций и перерывов в осадконакоплении), палеогеографии (определение генетических типов осадков и условий их образования, реконструкция условий осадконакопления и эволюции палеобассейна), палеонтологии (образование окаменелостей, тафономия и палеоэкология ископаемых сообществ).

*Краеведческая* тематика экскурсий охватывает, в основном, изучение волжских и меловых отложений, что связано со стратиграфическими особенностями памятника.

Научная тематика экскурсий определяется эталонным значением глебовского обнажения для изучения средневолжских отложений Европейской России. Для специалистов-геологов, изучающих юрские отложения, разрез имеет справочное значение, позволяющее ознакомиться с типичными подразделениями среднего подъяруса волжского яруса. К первоочередным научным задачам исследования относится изучение средневолжских аммонитов, детальное подразделение отложений, в первую очередь зоны *Epivirgatites nikitini*, и решение вопроса относительно возраста меловых отложений и юрско-меловой границы в разрезе. К второстепенным научным задачам относится изучение палеоэкологии морских сообществ волжского времени и построение палеогеографических реконструкций. Несмотря на более чем 130-летнее изучение глебовского разреза, все эти вопросы еще далеко не полностью решены.

Объяснения к таблицам. ГПП «Глебово».

Таблица 28

- Ôèä. 1. Внешний вид обнажения у с. Глебово. Большую часть разреза занимают белые кварцевые пески верхнего валанжина. Сверху они перекрываются ожелезненными песками нижнего готерива. Снимок сделан в 2003 г.
- Ôèä. 2. Трехмерное перспективное изображение района ГПП «Глебово» и прилегающей территории (включая ГПП «Бабурино-Городок»). Цветом отмечены различные гипсометрические интервалы. Белыми цифрами обозначены наиболее значимые участки памятника: 1 – северная часть обнажения у с. Глебово, где наблюдается присутствие котловидных линз лимонита слоя 5; 2 – основная часть обнажения у с. Глебово; 3 – глебовский «мыс» с гляциодислокациями; 4 – Захарыинский валун; 5 – обнажение у д. Мостово; 6 - обнажение между д. Мостово и Василево; гляциодислокации; 7 – обнажение у д. Бабурино. Синими цифрами обозначены основные притоки Волги в районе памятника: 1 – р. Кормица; 2 – Ивановский ручей (р. Талица); 3 - Гороховский ручей; 4 – овраг у д. Мостово с погребенным руслом ручья (выявляется по высокому уровню воды в водобойных колодцах).
- Ôèä. 3. Левый берег эстуария Гороховского ручья с обнажением юрских и меловых пород. На заднем плане видна д. Захарыино. Снимок сделан в 2003 г.
- Ôèä. 4. Крупные аммониты родов *Epivirgatites* и *Lomonossovella* в геологическом музее им. А. Н. Иванова (ЯГПУ), найденные в обнажениях ГПП «Глебово».

Таблица 29

- Ôèä. 1. Фронтальный вид обнажения у д. Мостово. В основании расположены зеленоватые глауконитовые пески и песчаники зоны *Epivirgatites nikitini*. Выше видны белые кварцевые пески нижнего мела, над которой находится красноватая морена. Нижняя часть слоев закрыта осыпями. Снимок сделан в 2003 г.
- Ôèä. 2. Перспективный вид обнажения у д. Мостово. Основание разреза и бечевник завален глыбами юрского глауконитового песчаника – проявление разрушающей деятельности водохранилища. Снимок сделан в 2003 г.
- Ôèä. 3. Обнажение у д. Мостово. Отчетливо видны особенности залегания юрских, меловых и четвертичных отложений. Снимок сделан в 2001 г.
- Ôèä. 4. Обнажение у д. Петраково. Мощность мезозойских слоев существенно уменьшилась, по сравнению с обнажениями у д. Мостово и с. Глебово. Из мезозойских отложений присутствуют только меловые пески. Юрские отложения находятся ниже уреза воды. Снимок любезно предоставлен Н. Г. Одинцовым.
- Ôèä. 5. Общий фронтальный вид обнажения у д. Мостово. Снимок сделан в 2001 г.

Таблица 30

- Ôèä. 1. Фрагмент стенки обнажения у с. Глебово в районе глебовского «мыса». На изображении видны юрские глауконитовые песчаники (нижние две трети снимка), меловой фосфоритовый конгломерат и вышележащие валанжинские кварцево-слюдистые пески. Профиль обнажения отпрарирован дефляцией – ветровым выдуванием. Снимок сделан в 2001 г.
- Ôèä. 2. Юрский фосфоритовый конгломерат (зона *Epivirgatites nikitini* волжского региона) в обнажении у д. Мостово. Снимок сделан в 2003 г.
- Ôèä. 3. Котловидная линза лимонита (слой 5, валанжин) в северной части обнажения у с. Глебово. Видно необычное залегание этой линзы на фосфоритовом конгломерате, который повторяет форму подошвы слоя. Снимок сделан в 2001 г.
- Ôèä. 4-6. Граница между меловыми песками и четвертичной мореной в обнажении у д. Мостово. Наблюдаются скопления крупных валунов в основании морены и связанные с ними деформации нижележащих меловых песков. Снимки сделаны в 2001 г.

Таблица 31

- Ôèä. 1, 3. Фрагмент стенки обнажения у с. Глебово в районе глебовского «мыса». В середине изображения, между юрскими глауконитовыми песчаниками и меловыми песками наблюдается линза лимонитизированной породы со сферолитовой структурой, включающая редкие валуны кристаллических пород. Она образована путем вмыва в полости разрыва коренных пород, дислоцированных движением ледника в четвертичное время. Снимок сделан в 2001 г.
- Ôèä. 2. Обломок лимонитизированной породы со сферолитовой структурой (см. фиг. 1, 3), показанный крупным планом. Наблюдаются четкие границы между породами линзы и юрским песчаником. Снимок сделан в 2001 г.
- Ôèä. 4. Меловые пески и четвертичная морена в обнажении у д. Мостово. С правой стороны морена разорвана морозобойным клином, заполненным серо-коричневой супесью. Снимок сделан в 2003 г.
- Ôèä. 5. «Падающая» береза в обнажении у д. Мостово. Снимок сделан в 2001 г. В настоящее время ствол этого дерева уже находится под обрывом.
- Ôèä. 6, 7. Нависающая над обрывом сосна в обнажении у д. Мостово. Снимки сделаны в 1997 г. (7-й) и в 2003 (6-й). Дерево прочно держится над обрывом за счет длинных горизонтальных корней, благодаря которым оно за шесть лет почти не изменило своего положения. Благодаря особенностям своей корневой системы сосна обладает наибольшей способностью к закреплению берегов. Примечательно, что от двух рядом расположенных сосен, еще заметных в 1997 г., сохранились только пеньки – последствия незаконной вырубки.

Таблица 32

Аммониты юрской системы

Все образцы из коллекции ГМ им. А. Н. Иванова (ЯГПУ)

- Ôèä. 1, 2. *Virgatites virgatus* (Buch.). Фиг. 1 - обнажение у д. Мостово, фиг. 2 – обнажение у с. Глебово. Волжский региоярус, средний подъярус, зона *Virgatites virgatus*, подзона *Craspedites ivanovi*.
- Ôèä. 3-6. *Epivirgatites nikitini* (Mich.). Обнажение у д. Мостово. Волжский региоярус, средний подъярус, зона *Epivirgatites nikitini*.
- Ôèä. 7-9. *Amoeboceras (Amoebites) irregularare* Spath. Обнажение у д. Коприно (ныне затопленное). Сборы 1930-х гг. Кимериджский ярус, нижний подъярус, зона *Amoeboceras kitchini*.

Таблица 33

Аммониты зоны *Epivirgatites nikitini* (средний подъярус волжского региояруса)

Все образцы из коллекции ГМ им. А. Н. Иванова (ЯГПУ)

- Ôèä. 1. *Epivirgatites cf. variabilis* Shulg. Обнажение у д. Мостово. Уменьшено в 3 раза.
- Ôèä. 2, 7. *Epivirgatites lahuseni* (Nik.). Обнажение у д. Мостово. Фиг. 2 – уменьшено в 5,4 раза.
- Ôèä. 3, 4. *Lomonossovella michalskii* Michlv. Обнажение у д. Мостово.
- Ôèä. 5, 6. *Epivirgatites variabilis* Shulg. Обнажение у с. Глебово.

Таблица 34

Аммониты зоны *Virgatites virgatus*, *Craspedites ivanovi* (средний подъярус волжского региояруса)

Все образцы из коллекции ГМ им. А. Н. Иванова (ЯГПУ)

- Ôèä. 1, 2. *Dorsoplanites (Vischniakovia) rosanovi* Geras. Обнажение у д. Мостово. Уменьшено в 3 раза.
- Ôèä. 3, 4. *Dorsoplanites (Vischniakovia) serus* Geras. Обнажение у с. Глебово.

Таблица 35

Аммониты зоны *Epivirgatites nikitini* (средний подъярус волжского региояруса)

Все образцы из коллекции ГМ им. А. Н. Иванова (ЯГПУ)

- Ôèä. 1, 2. *Lomonossovella blackei* (Pavl.). Обнажение у д. Мостово.
- Ôèä. 3. *Epivirgatites bipliciformis* (Nik.). Обнажение у с. Глебово.
- Ôèä. 4, 5. *Epivirgatites nikitini* (Mich.). Обнажение у д. Мостово.
- Ôèä. 6. *Paracraspedites cf. illaensis* (Ivan.). Обнажение у с. Глебово.
- Ôèä. 7, 8. *Paracraspedites latus* Muravin. Голотип. Обнажение у с. Глебово.

Таблица 36

- Ôèä. 1, 2. *Subcraspedites (Ronkinites) dorsorotundus* (Bogosl.). Обнажение у с. Глебово. Слой 4. Из коллекции В. Н. Аристова.
- Ôèä. 3-5. *Surites spasskensis* (Nik.). Обнажение у д. Мостово. Слой 4. Из коллекции В. Н. Аристова

- Ôèä. 6, 7. *Peregrinoceras* aff. *subpressulum* (Bogosl.). Обнажение у с. Глебово. Слой 4. Из коллекции В. Н. Аристова.
- Ôèä. 8, 9. *Surites* cf. *kozakowianus* (Bogosl.). Обнажение у с. Глебово. Слой 4. Из коллекции В. Н. Аристова.
- Ôèä. 10. Шестилучевой колониальный коралл ?*Styliina* sp. Обнажение у с. Глебово. Слой 4. Из коллекции В. Н. Аристова.
- Ôèä. 11-13. ?*Tollia* sp., Обнажение у с. Глебово. Слой 5. Верхний валанжин. Из коллекции ГМ им. А. Н. Иванова (ЯГПУ)

Таблица 37

Окаменелости из мелового фосфоритового конгломерата

Все образцы из коллекции В. Н. Аристова

- Ôèä. 1. *Surites spasskensis* (Nik.). Обнажение у д. Мостово.
- Ôèä. 2, 3. *Pronjaites bidevexus* (Bogosl.). Обнажение у с. Глебово.
- Ôèä. 4, 5. *Polyptychites* aff. *beani* Pavl. Обнажение у с. Глебово.
- Ôèä. 6. *Dichotomites* aff. *bidichotomus* (Leym. in Orb.). Обнажение у с. Глебово.
- Ôèä. 7, 8. *Rjasanites* aff. *subrjasanensis* (Nik.). Обнажение у с. Глебово.
- Ôèä. 9. *Surites spasskensis* (Nik.). Обнажение у с. Глебово.
- Ôèä. 10. *Surites (Borealites)* aff. *suprasubditus* (Bogosl.). Обнажение у с. Глебово.
- Ôèä. 11. ?*Chetaites* sp.. Обнажение у с. Глебово.

Таблица 38

Окаменелости из меловых и юрских отложений

Все образцы из коллекции ГМ им. А. Н. Иванова (ЯГПУ)

- Ôèä. 1. Шейный позвонок диношайного плезиозавра ?*Muraenosaurus* sp. Обнажение у с. Глебово, слой 5. Валанжин.
- Ôèä. 2. *Isognomon gibbum* (Eichw.). Обнажение у д. Мостово. Средний подъярус волжского регионаряса.
- Ôèä. 3. Обломок фосфатизированной древесины с ядрами ходов древоточцев *Turnus waldheimi* (Orb.). Обнажение у с. Глебово. Средний подъярус волжского регионаряса.

Таблица 39

Окаменелости из меловых и юрских отложений

Все образцы из коллекции ГМ им. А. Н. Иванова (ЯГПУ)

- Ôèä. 1-3. *Rouilleria* cf. *curvata* (Gurvitsch). Обнажение у с. Глебово. Средний подъярус волжского регионаряса.
- Ôèä. 4-5. *Russiella* cf. *royeriana* (Orb.). Обнажение у д. Мостово. Средний подъярус волжского регионаряса.
- Ôèä. 6-8. *Russiella* cf. *truncata* Geras. Обнажение у с. Глебово. Средний подъярус волжского регионаряса.
- Ôèä. 9, 10. *Rhynchonella fischeri* Rouill. Обнажение у с. Глебово. Средний подъярус волжского регионаряса.
- Ôèä. 11. Скопление *Russiella* cf. *truncata* Geras. в куске железистого песчаника. У одного экземпляра виден ручной аппарат (круры). Обнажение у д. Мостово. Средний подъярус волжского регионаряса.
- Ôèä. 12. Замещенный лимонитом ростр белемнита *Acroteuthis* sp. Обнажение у с. Глебово, слой 5. Валанжин.
- Ôèä. 13. Фрагмокон «бездрострового белемнита» *Megabelemnites* sp. с сохранившейся конотекой. Обнажение у с. Глебово. Средний подъярус волжского регионаряса.
- Ôèä. 14. Обломок ребра ихтиозавра. Обнажение у с. Глебово. Средний подъярус волжского регионаряса.

Таблица 40

Окаменелости из юрских отложений (средний подъярус волжского регионаряса).

Все образцы из коллекции ГМ им. А. Н. Иванова (ЯГПУ)

- Ôèä. 1. *Pinna constantini* (Lor.). Обнажение у д. Мостово.
- Ôèä. 2. *Inoceramus* sp.. Обнажение у д. Мостово.
- Ôèä. 3. *Plagiostoma incrassata* (Eichw.). Обнажение у с. Глебово.
- Ôèä. 4. *Gresslyya* sp.. Обнажение у с. Глебово.
- Ôèä. 5. *Tigonia* cf. *koprinensis* Geras. Обнажение у д. Мостово.
- Ôèä. 6. *Limea consobrina* (Orb.). Обнажение у с. Глебово.
- Ôèä. 7, 10. *Entolium* (*Entolium*) *erraticum* (Fiebelkorn). Обнажение у с. Глебово.
- Ôèä. 8. *Buchia russiensis* (Pavl.). Обнажение у с. Глебово.
- Ôèä. 9. *Buchia fischeriana* (Orb.). Обнажение у с. Глебово.

Таблица 41

Окаменелости из юрских отложений (средний подъярус волжского регионаряса).

Все образцы из коллекции ГМ им. А. Н. Иванова (ЯГПУ)

- Ôèä. 1, 2. Спинной позвонок ихтиозавра. Обнажение у с. Городищи (Ульяновская обл.). Зона *Epivirgatites nikitini*.
- Ôèä. 3, 4. Спинной позвонок короткошайного плезиозавра ?*Pliosaurus* sp. Обнажение у с. Глебово.
- Ôèä. 5, 6. Спинной позвонок диношайного плезиозавра ?*Muraenosaurus* sp. Обнажение у д. Мостово.
- Ôèä. 3. Зуб акулы ?*Sphenodus* sp. в куске фосфатизированного песчаника. Обнажение у с. Глебово.

Таблица 28

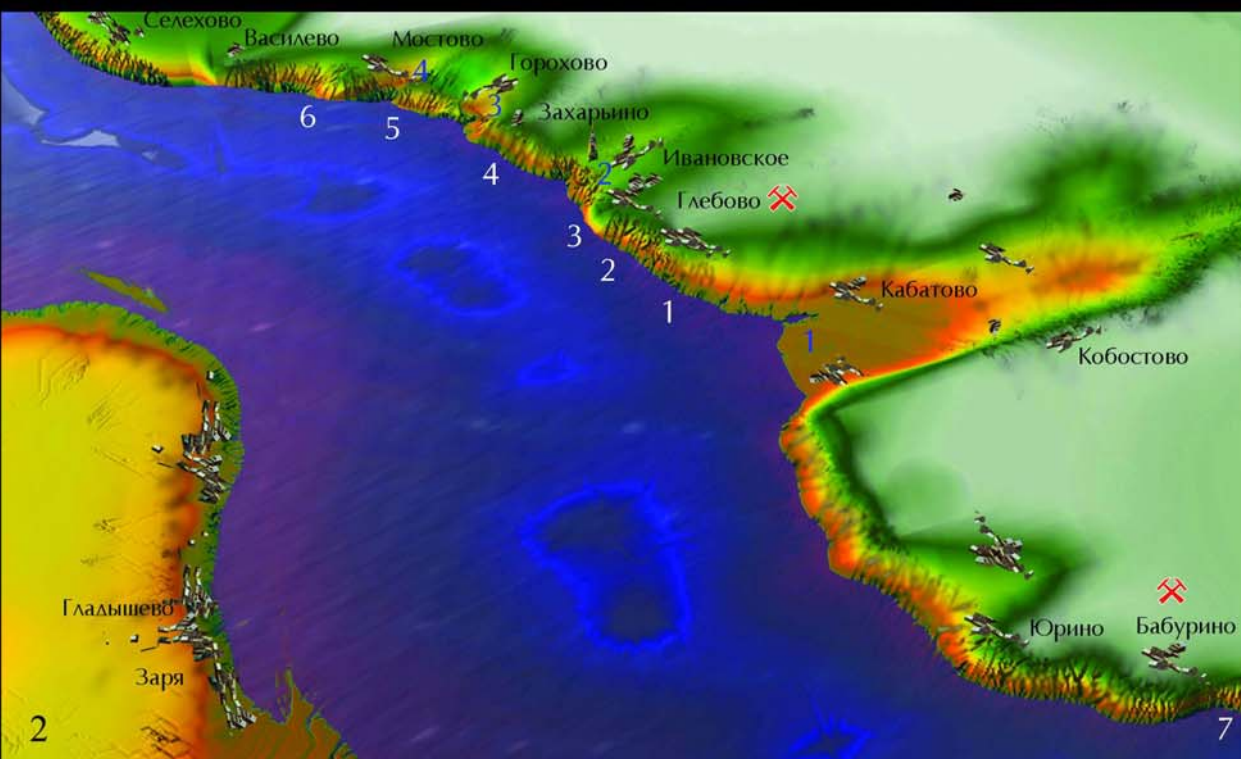


Таблица 29



1



2



3



4



5

Таблица 30

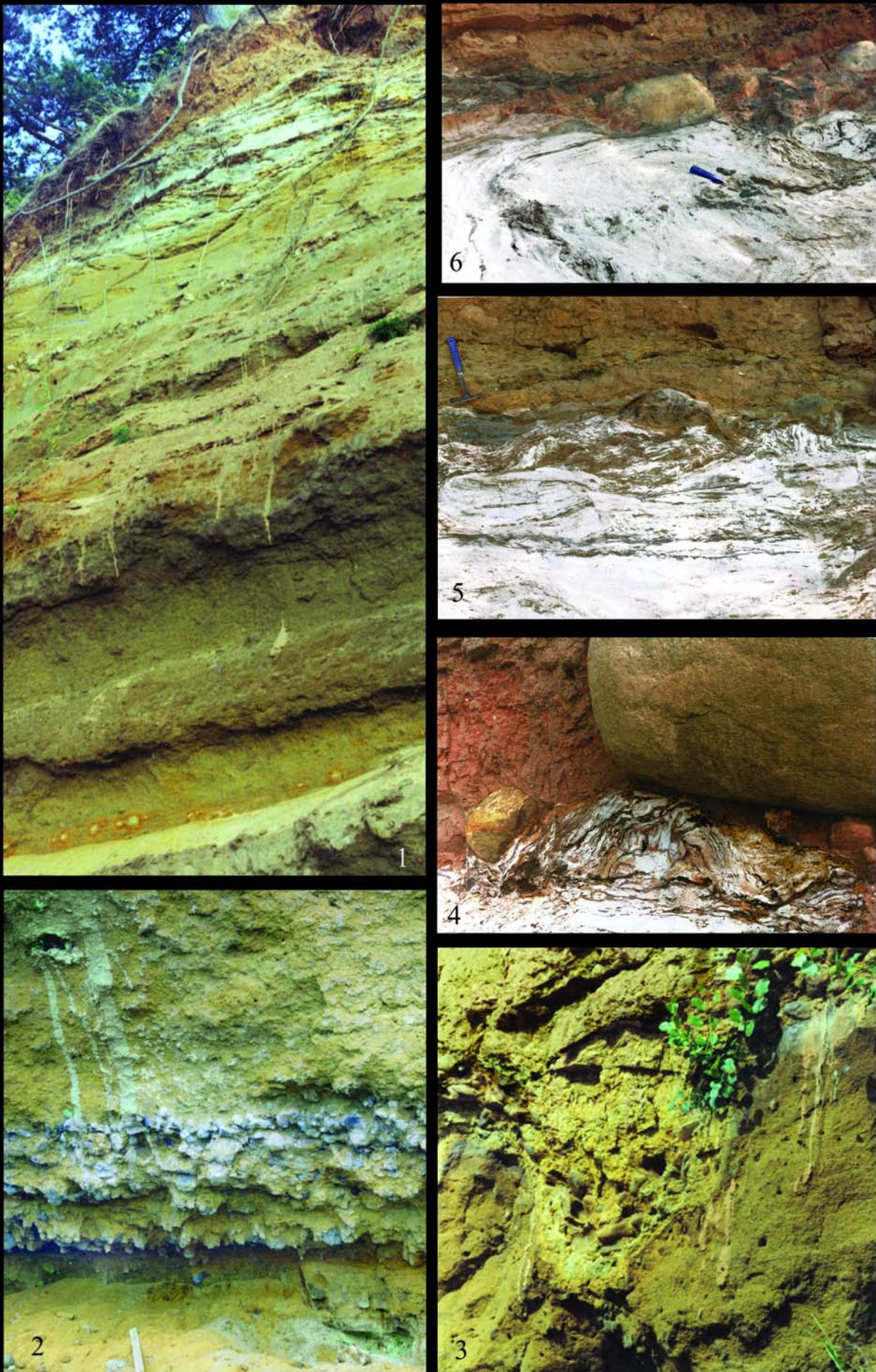


Таблица 31

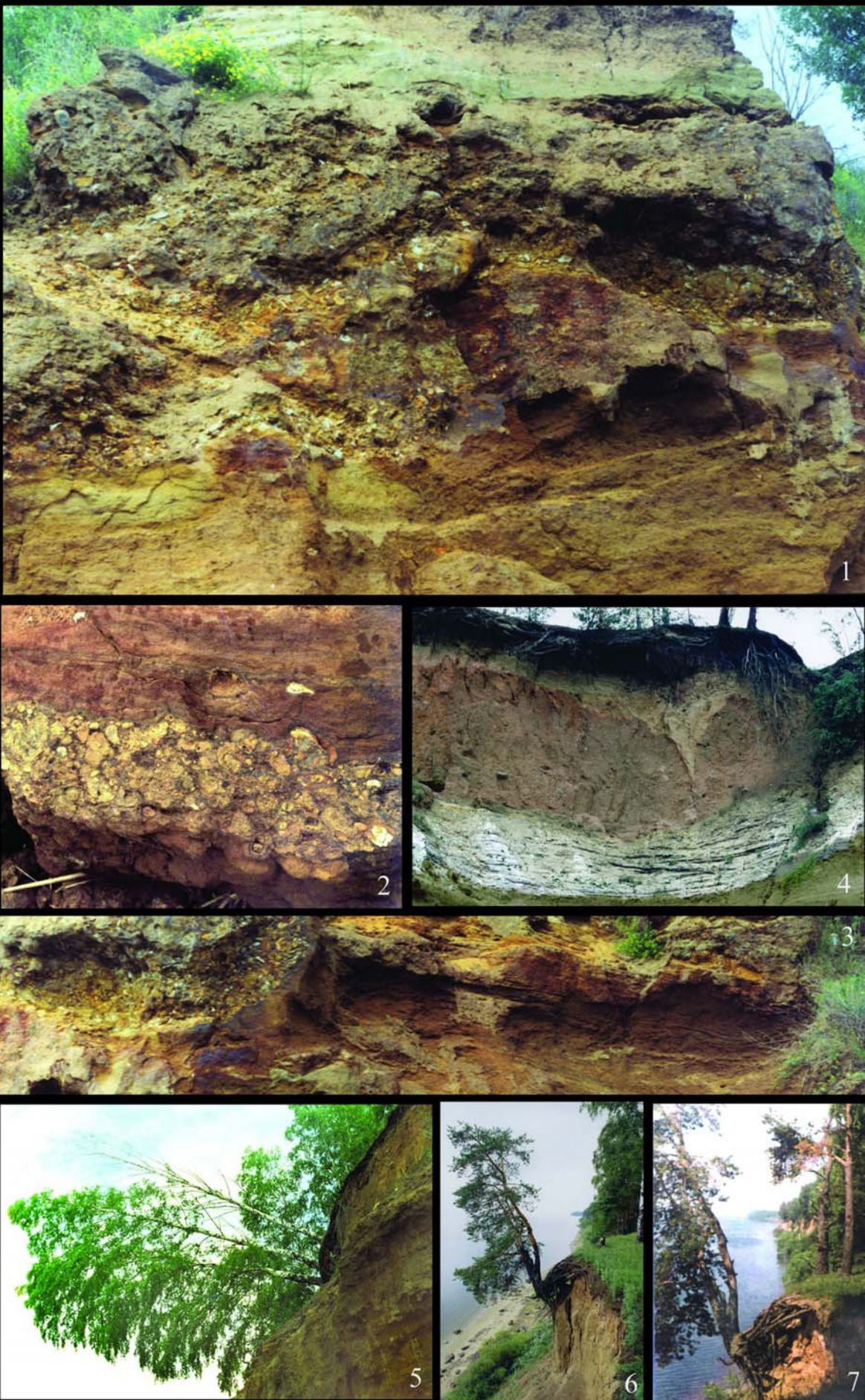


Таблица 32



Таблица 33

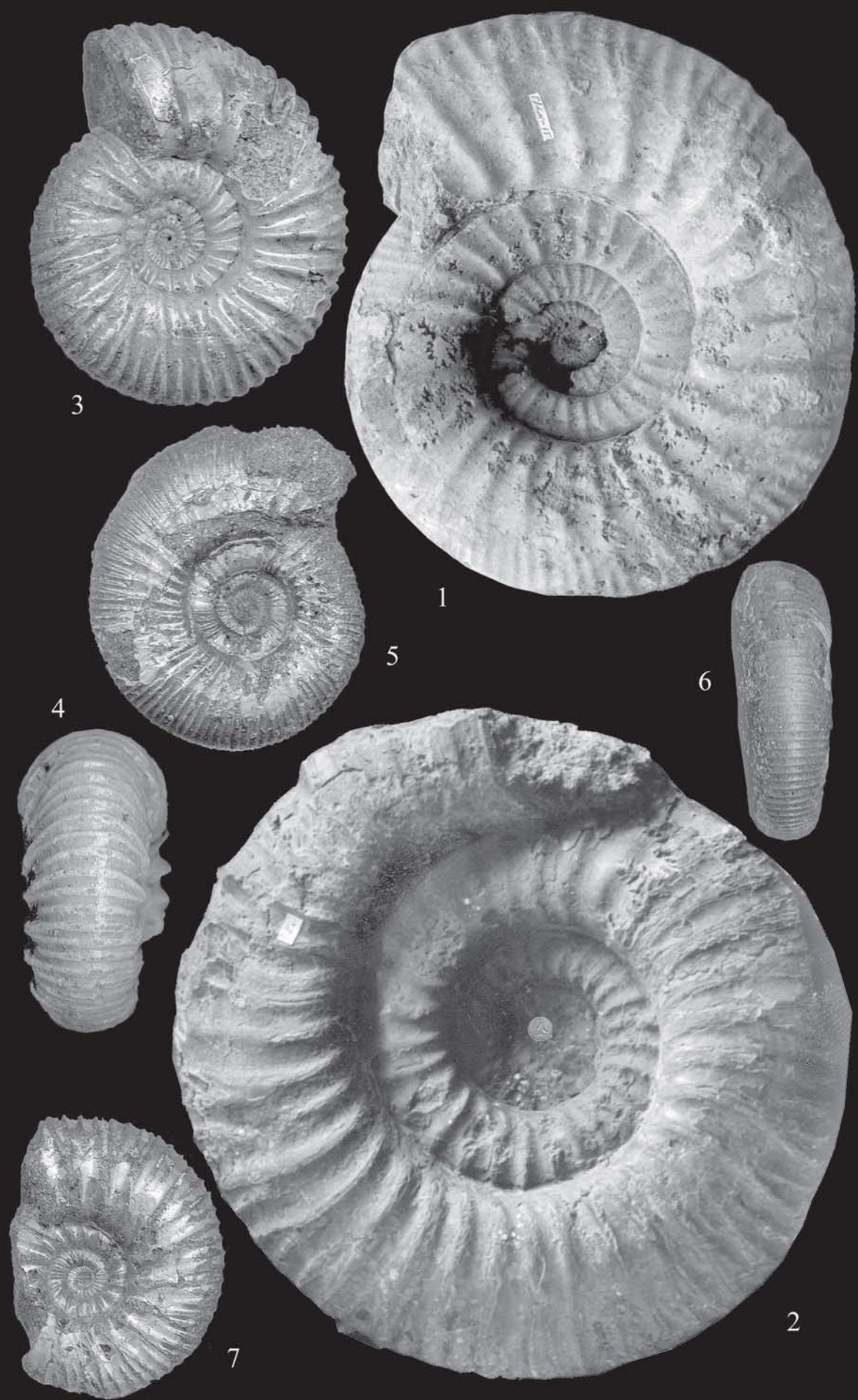


Таблица 34

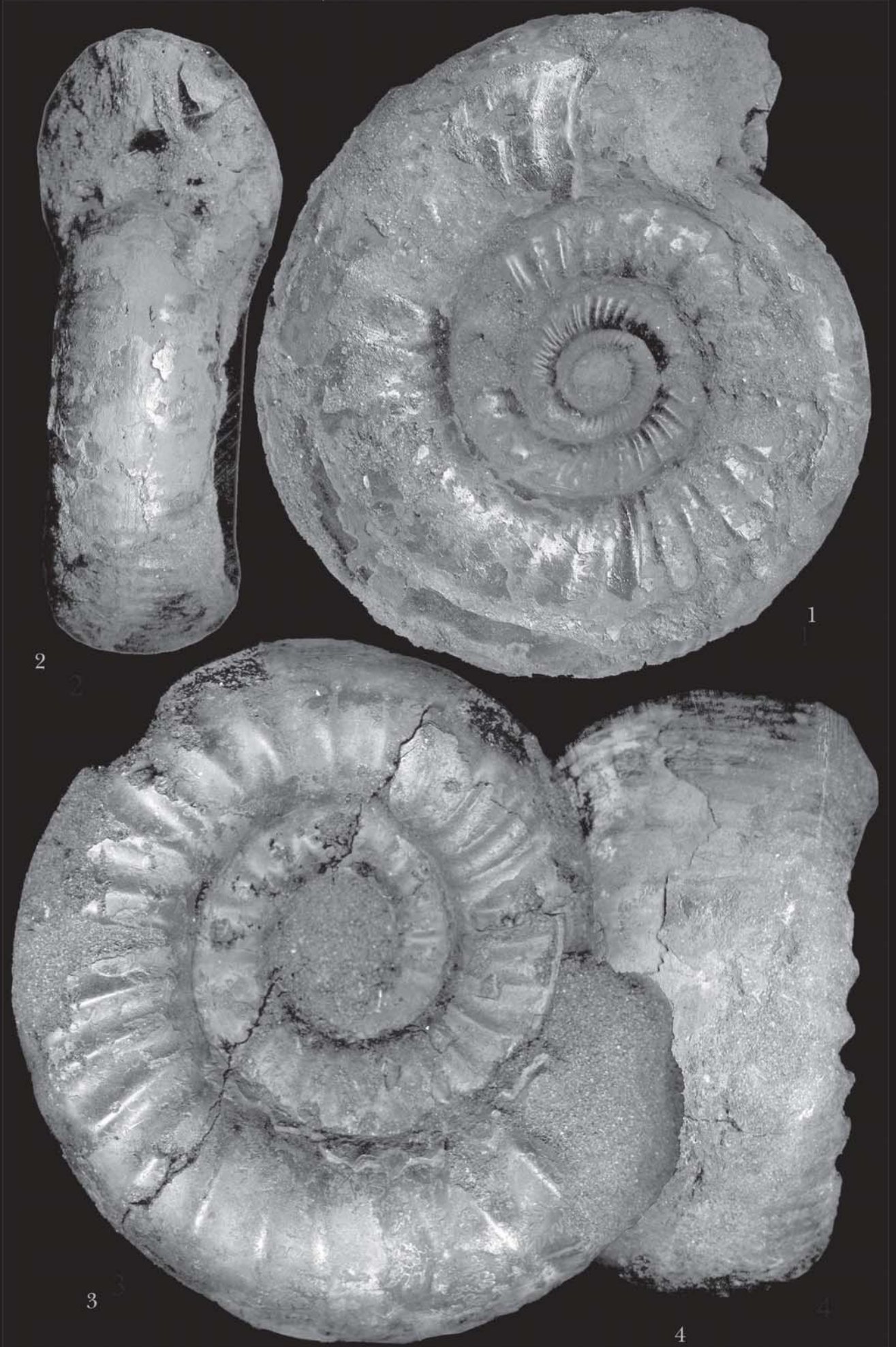


Таблица 35

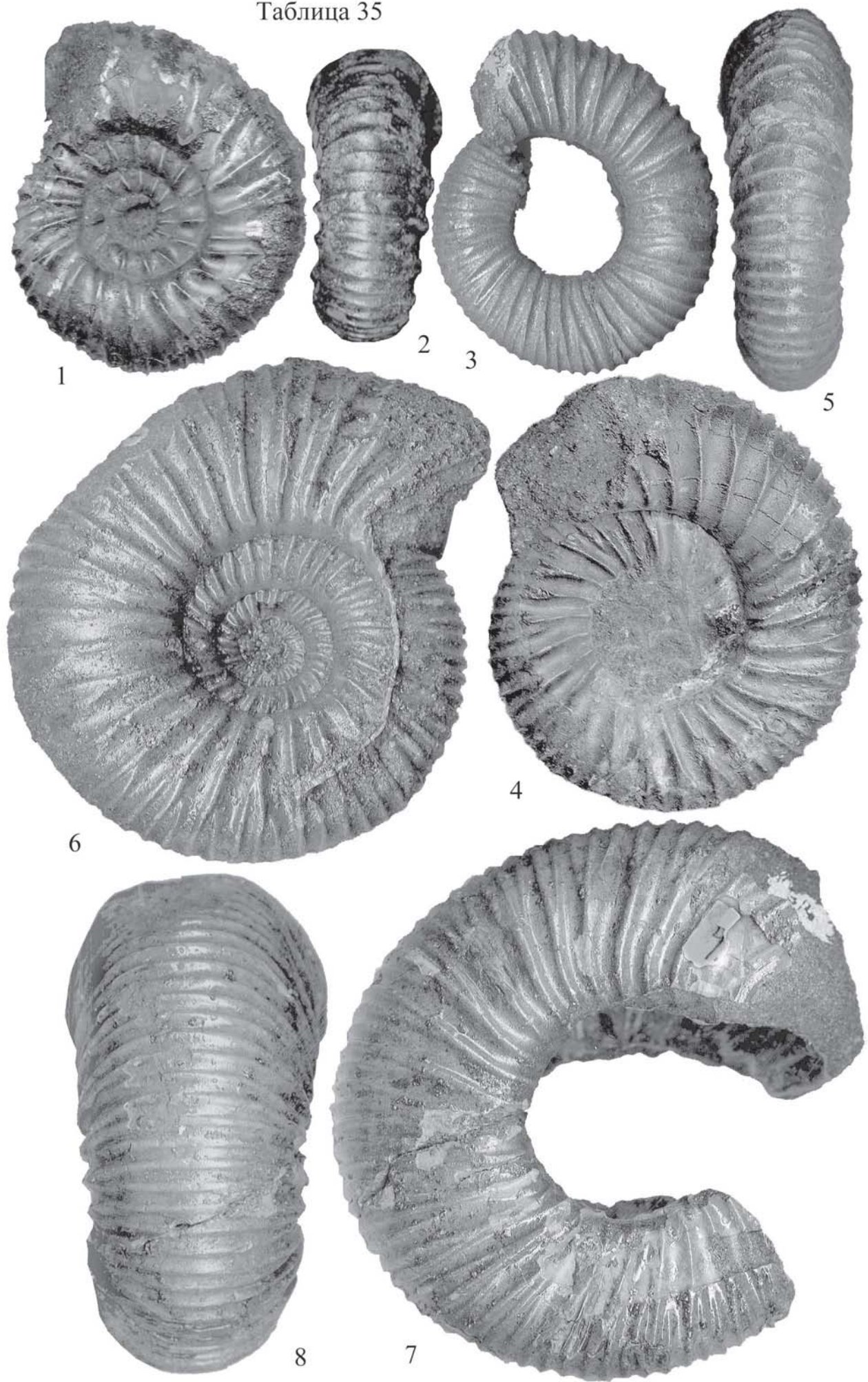


Таблица 36



Таблица 36

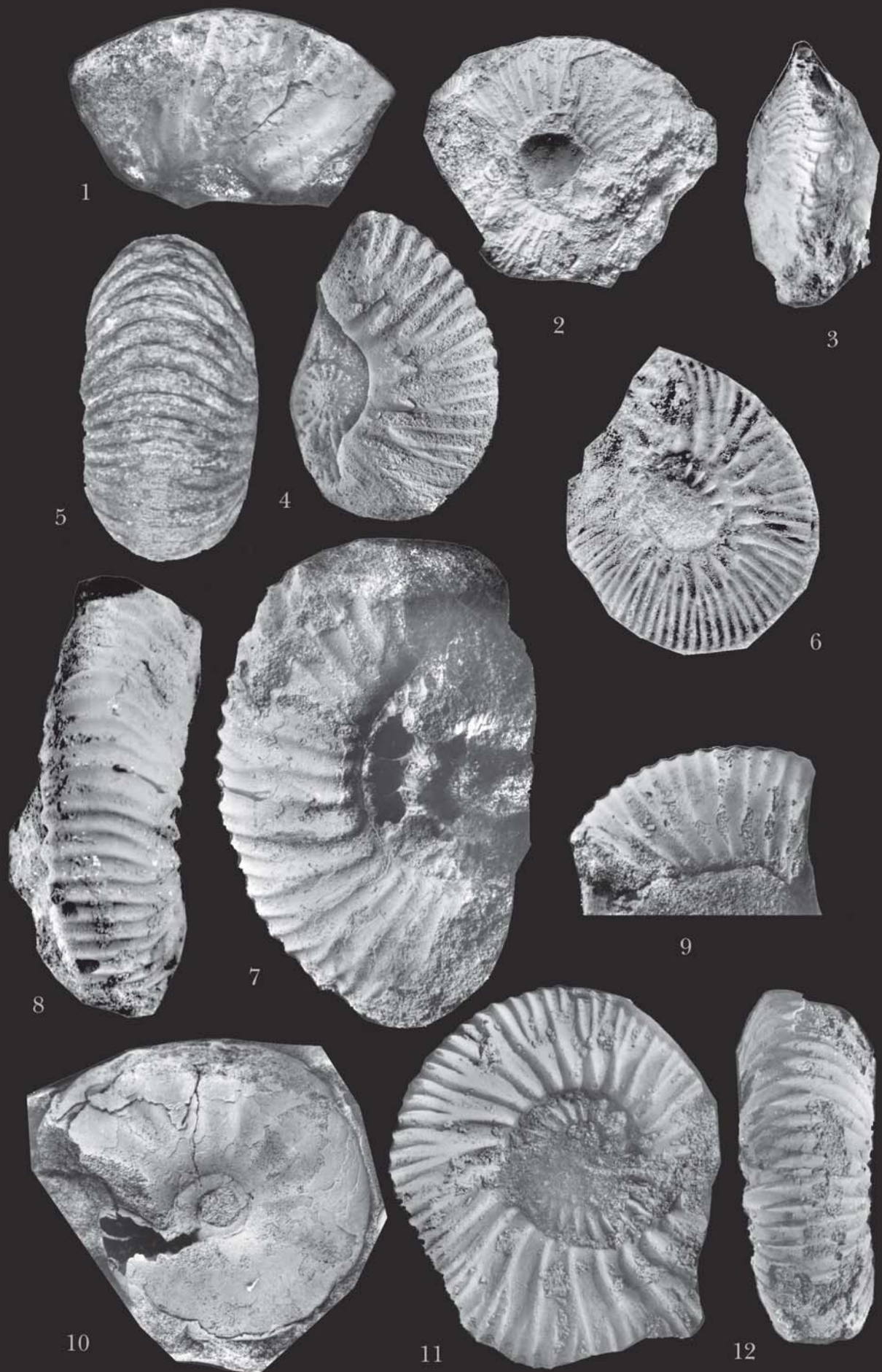


Таблица 38



Таблица 39

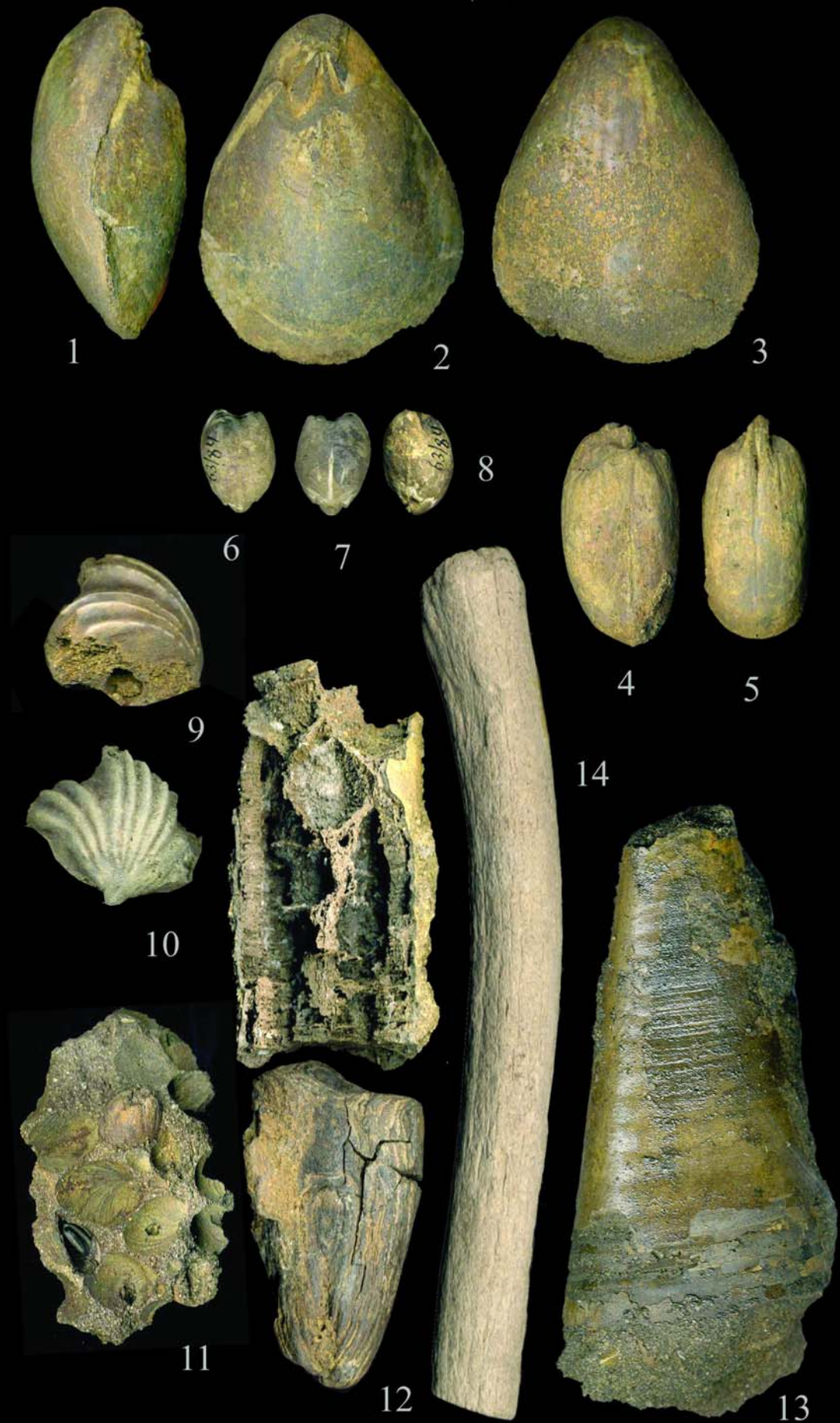
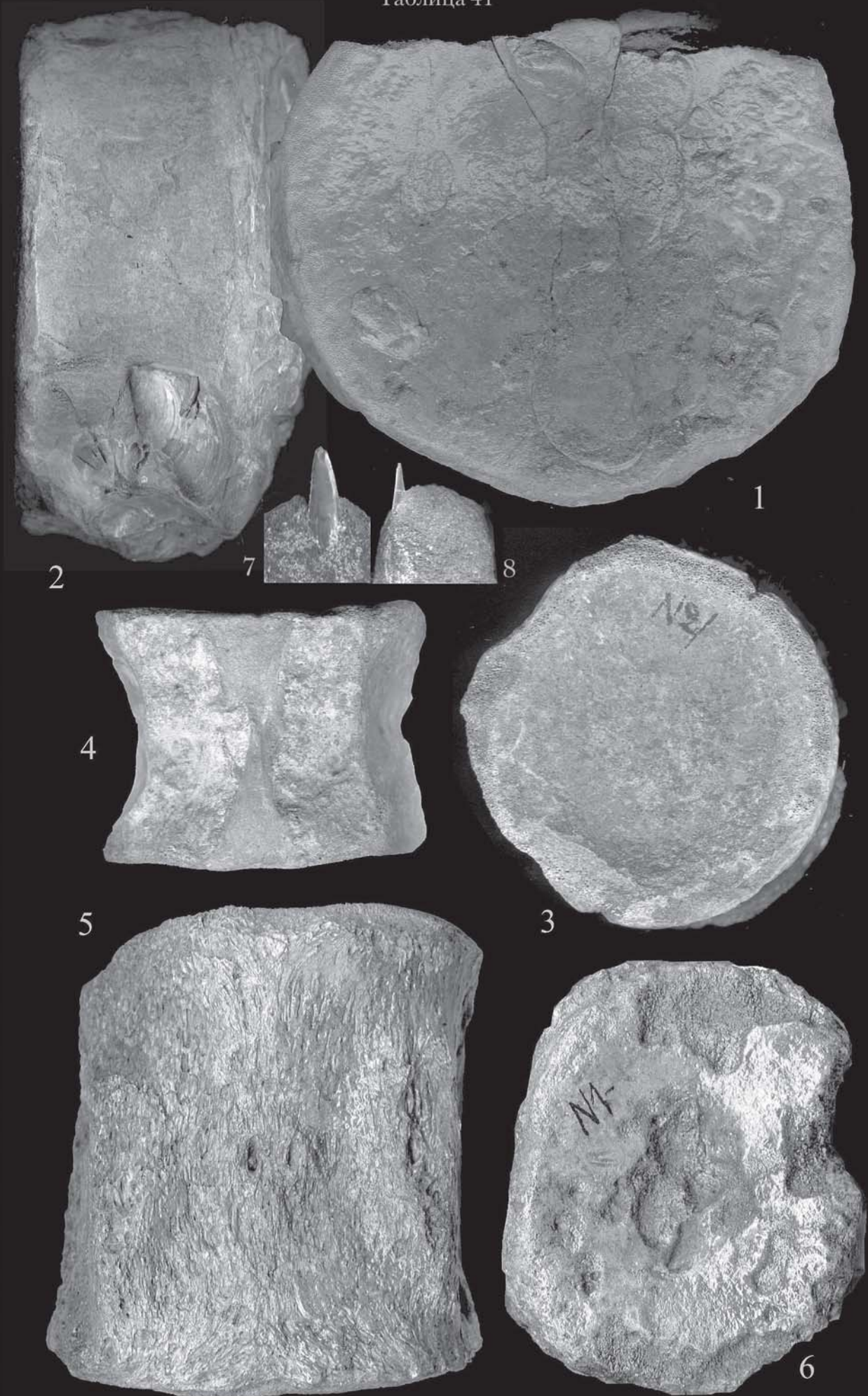
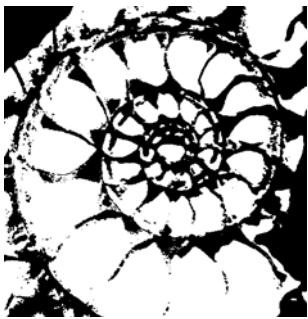


Таблица 40



Таблица 41





# БАБУРИНО-ГОРОДОК

Baburino-Gorodok

№ 20 об ёй: ГПП историко-геологического типа меловой системы местного ранга.

Óí è êäëëü í ñò ü: Наиболее представительное современное обнажение верхнего подъяруса волжского регионаряса (меловая система) в Ярославской области. В отложениях найдено 5 новых видов ископаемых животных.

Í ãñò í ii í èî æ áí èå: Рыбинский район, правый берег р. Волги в 0,5 км ниже д. Бабурино и в 2,5 км выше железнодорожного моста (дàáё. 28, бèä. 2). В этом месте Волга делает поворот в северо-западном направлении и подмывает правый берег, в связи с чем он представляет цепочку крутых обрывов, протягивающихся от д. Крутец до д. Юрино. Ниже д. Юрино Волга резко меняет направление, и течет почти прямо на север и подмывает уже противоположный, левый берег. Полукилометровый отрезок обнажений, относимый к ГПП, находится ровно посередине северо-западного изгиба Волги.

Èí í ô èäödäöèü: Обнажение находится по обе стороны небольшого оврага и имеет протяженность около 100 м (дàáё. 42, бèä. 1, 3). В этом месте береговой обрыв имеет наиболее крутые склоны на вышеупомянутом северо-западном изгибе Волги с высотой до 20 м. В среднем мощность обнаженных слоев составляет около 16 м.

Í ôðäí í àü çí í à включает полосу в 50 м выше бровки склона.

Èñò í ðè ý èçö÷áí èü. Юрские отложения в районе с. Городок и д. Бабурино были обнаружены уже первыми исследователями ярославской юры А. А. Крыловым (1872) и, позднее, С. Н. Никитиным (1884). Ими были исследованы обнажения у с. Городок, однако выходы коренных пород у д. Бабурино обнаружены не были. В обеих работах дается весьма краткое описание обнажений: отмечается присутствие в разрезе черных юрских глин и вышележащих железистых песчаников. До появления Рыбинского водохранилища основное внимание этих авторов было направлено на изучение более представительных обнажений юрской и меловой систем, выходивших широкой полосой ниже с. Глебово вплоть до Рыбинска, и, видимо, поэтому оба исследователя ограничились только общим ознакомлением с гораздо более скромными выходами этих слоев в районе с. Городок.

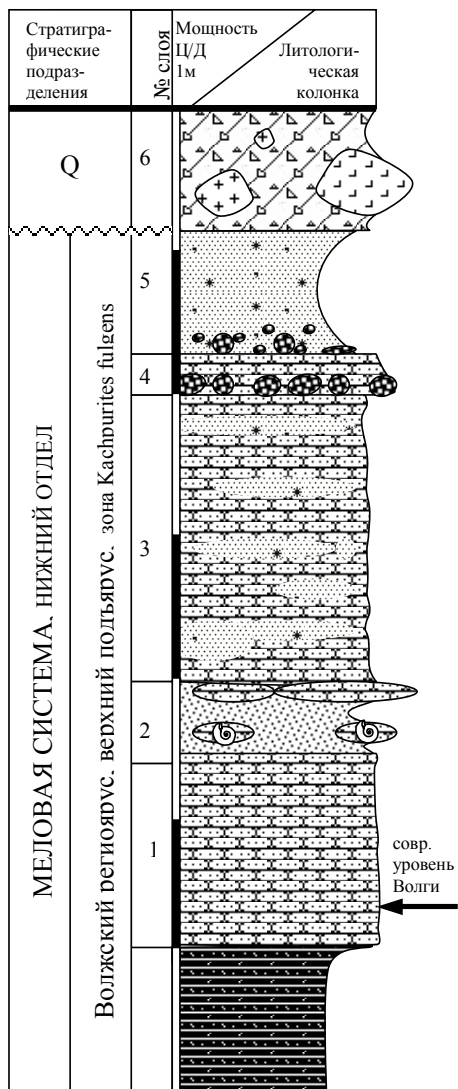
Открытие разреза у д. Бабурино принадлежит А. П. Иванову (1912), исследования которого в Верхнем Поволжье имели целью преимущественно изучение фосфоритоносных отложений. Им описана 15-метровая толща юрских и меловых пород, содержащая разнообразные окаменелости, в т. ч. и аммониты. В настоящее время более 10 м отложений находится ниже уровня Волги, поэтому их описание А. П. Ивановым представляют большую ценность. На основании своих наблюдений он устанавливает здесь кимериджские, портландские и аквилонские ярусы, относящиеся к юрской системе, и неоком (нижний мел).

Незадолго до появления Рыбинского водохранилища в 1934 и 1940 гг. обнажения в районе Бабурино-Городок изучались П. А. Герасимовым (1969). Из средневолжских отложений (зона *Virgatites virgatus*), ныне затопленных, им выделено 4 новых вида брюхоногих (*Mathilda jaroslavensis* Gerasimov 1992, *Emarginula soveolata* Gerasimov 1955, *Procerithium (Plicacerithium) volgense* Gerasimov 1955) и один вид брахиопод - *Discinisca conviva* Gerasimov 1955.

Появление Рыбинского водохранилища привело к затоплению юрских отложений, и над урезом воды остались доступными для наблюдений только верхневолжские, относимые в настоящее время к нижнему мелу. Их описанию посвящены отдельные страницы в диссертациях В. Н. Аристова (1965) и Е. С. Муравина (1989). Исследования этих авторов позволили уточнить возраст обнажаемых слоев в соответствии с современными стратиграфическими представлениями.

В настоящее время ГПП «Бабурино» интересно тем, что оно представляет единственное обнажение в Ярославской области, где наблюдаются отложения верхнего подъяруса волжского регионаряса. Остальные выходы отложений поздневолжского возраста в берегах Волги Рыбинского района, получившие известность после работ Никитина, Иванова и других авторов, оказались затопленными. Это делает обнажение у д. Бабурино уникальным геологическим объектом, достойным сохранения под статусом памятника природы.

№ 20 об ёй. Наибольшую часть разреза составляют четвертичные отложения, и только нижние 5 м - волжские (снизу вверх, дèй. 23):



**Дея. 23.** Геологический разрез ГПП «Бабурино-Городок». Литологические обозначения см. на рис. 3.

галкой. Мощность 0,7 м.

Выше идет четвертичный валунный суглинок мощностью до 6–8 м.

**Нр № 1 ют ё а ют ё ё ё.** Обнажение у с. Бабурино относится к геологическим памятникам, находящимся «в хорошей форме». Оно прекрасно обнажено благодаря эрозионной работе Волги и доступно наблюдению. Отсутствие крупных населенных пунктов вблизи памятника и его малоизвестность также способствует его сохранности.

#### Объяснение к таблице 42. ГПП «Бабурино-Городок»

- Оеа. 1. Внешний вид обнажения у д. Бабурино. На заднем плане виден выход песчаников зоны *Kachpurites fulgens* верхневолжского подъяруса. Снимок сделан в 2001 г.
- Оеа. 2. Увеличенный фрагмент обнажения песчаников зоны *Kachpurites fulgens* верхневолжского подъяруса у д. Бабурино.
- Оеа. 3. Внешний вид обнажения у д. Бабурино в 1981 г. Кроме верхневолжских песчаников виден многометровый слой морены.
- Оеа. 4. Внутреннее строение раковины аммонита *Kachpurites fulgens* (Trd.), найденного в слое 2 обнажения у д. Бабурино. Видны хорошо сохранившиеся перегородки, сифон, протоконх. Увеличено в 65 раз.
- Оеа. 5. Конкреция фосфоритового песчаника с аммонитами *Kachpurites fulgens* (Trd.). Слой 2 обнажения у д. Бабурино.

І аеї ааї юе поїаї а  
Аї ёæпї є ё ёаæї ѹðбпї, ааððї є ё ѹ ѹаї ѹðбпї  
ç і а Kachpurites fulgens

1. Песчаник среднезернистый, плотный, желтовато-бурый, местами зеленоватый, без окаменелостей. Видимая мощность над урезом Волги 1-1,5 м. По описаниям А. П. Иванова до затопления данный слой выступал карнизом над нижележащими породами. Непосредственно под ним залегало 2 м черных песчанистых слюдистых глин, переслаивающихся с бурыми песками. Под ними залегают несколько слоев песков и песчаников, часть из которых содержит переотложенные фосфоритовые конкреции средневолжского возраста (зоны *Virgatites virgatus*). Из последних происходят эталонные образцы новых видов беспозвоночных, описанные П. А. Герасимовым.

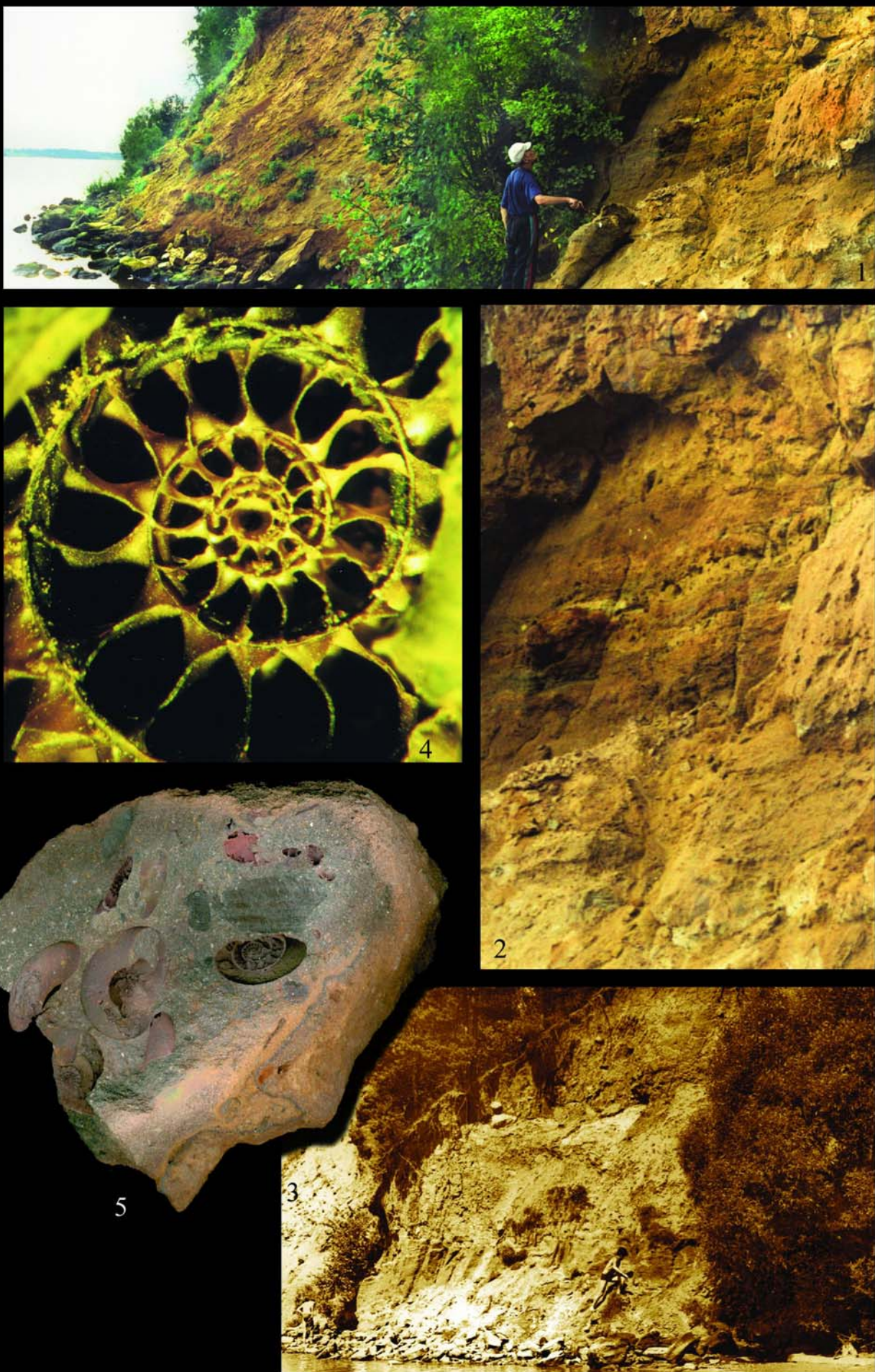
2. Песок мелкозернистый, ржаво-бурый, неяснослоистый, плавно переходящий в рыхлый железистый песчаник. В слое проходит два горизонта конкреций песчаника. Нижний горизонт, находящийся в подошве, представлен округло-овальными караваеобразными конкрециями песчаника буровато-серого, плотного, с большим количеством окаменелостей (дае. 42, ёа. 5), преимущественно аммонитов *Kachpurites fulgens* (Trd.), *Craspedites okensis* (Orb.) и *Garniericeras catenulatum* (Fisch.). Аммониты на наружной стороне не имеют перламутра, но сохраняют многие детали внутреннего строения (перегородки, сифон, протоконх (дае. 42, ёа. 4), иногда, даже, цекум с фиксатором). Верхний горизонт состоит из конкреций плитчатого, местами горизонтально-слоистого песчаника, зеленовато-бурового, местами образующего прослои, переходящие в плиты. Окаменелости в верхних конкрециях не обнаружены. Мощность слоя до 0,5 м.

3. Песок мелкозернистый, переходящий в рыхлый песчаник, ржавовато-бурый, горизонтально слоистый, без окаменелостей. Мощность до 2 м.

4. Галечниковый конгломерат, состоящий из окатанных конкреций серого фосфатизированного песчаника, скементированных железистыми песчаником. Мощность до 0,5 м.

5. Песок гравелистый, зеленовато-бурый, местами темно-зеленый, глауконитовый, с мелкой фосфоритовой

Таблица 42





# СУТКА

Sutka

**Ñò àò óñ:** ГПП историко-геологического типа местного ранга. Как ГПП район р. Сутки ранее не выделялся, однако в качестве памятника природы эта территория признана и закреплена за Институтом биологии внутренних вод (Борок) 18 апреля 1975 областным Советом депутатов трудающихся (решение № 282).

**Óí è èàë ii i ñò ii:** Наиболее представительное обнажение юрской и меловой систем в Некоузском районе Ярославской области. Наблюдается граница между юрской и меловой системами.

**I àñò i i i èí a áí èá è èí i ô èäðàöèù:** Некоузский район, берега нижнего течения р. Сутки, от станции Шестихино до д. Золотково. Здесь на протяжении 5 км по прямой и 8-10 км вдоль русла река делает три меандра, из которых самый крутой и длинный (0,8 км) расположен выше д. Петрушено (ðè ñ 24, 26). Обнажения, числом не меньше 13, находятся на изгибаах меандров реки, на обоих берегах, где происходит интенсивный подмыв. Самое крупное обнажение находится на левом берегу меандря у д. Петрушено в 0,8 км вверх по течению реки. Разрез имеет длину до 60 м и высоту 5-6 м.

**I ððäí i àý çí i à:** 50-метровая полоса вдоль кромки обоих берегов р. Сутки от станции Шестихино до д. Золотково.

**Èñ ñò i ðè ý èçó-åí è ý:** Обнажения слоев мезозойского возраста в низовьях р. Сутки и на ее притоке р. Ильд были открыты А. П. Ивановым (1912). Им отмечен слой рыхлого фосфоритового конгломерата у с. Савелово, аналогичного верхнему фосфоритовому горизонту, наблюдающемуся у с. Глебово. Это позволило установить А. П. Иванову неокомский (раннемеловой) возраст этих слоев. Позднее эти же отложения отмечаются Н. Т. Зоновым (1934) у д. Петрушено. Однако детальное стратиграфическое описание разрезов и установление возраста их отложений появляется только после исследований В. Н. Аристова (1965) и Е. С. Муравина (1989). Первый автор изучал преимущественно меловые отложения, второй – юрские. Ими отмечаются обнажения мезозойских слоев между с. Горки и д. Золотково, однако приводится описание только наиболее полного и характерного разреза мезозоя на р. Сутке у д. Петрушено.

**Ñò ðàò è äðàö è ý.** Ниже дается описание разреза у д. Петрушено (по В. Н. Аристову и Е. С. Муравину, с изменениями), где выходит 5-метровая пачка песчанистых слоев юрского и мелового возраста, аналогичных соответствующим отложениям у с. Глебово. Разрез начинается от уреза воды (снизу вверх, ðè ñ 25):

Р ðñéàü ñè ñòàì à  
Âí èæñè è é ðåäè í ýðóñ, ñðåäí è é ï í äúýðóñ  
çí i à Epivirgatites nikitini

1. Песчаник темно-коричневый, очень плотный, крупноблочный, с ядрами аммонитов, часто крупных (до 0,5 м), среди которых определены *Epivirgatites nikitini* (Mich.), *Lomonossovella*, *Laugeites* и др. Из остальной фауны часто встречаются двустворчатые и брюхоногие *Buchia sp.*, *Entolium (Entolium) demissum* (Phill.), *?Bathrotomaria* sp. Мощность слоя до 1 м.

2. Песчаник желто-бурый, рыхлый, местами ожелезненный и плотный, ржаво-бурый, с отпечатками ростров белемнитов, скоплений мелких аммонитов и крупными аммонитами *Epivirgatites nikitini* (Mich.), *E. lahuseni* (Nik), *E. variabilis* Schulgina, *Lomonossovella blackei* (Pavl.), *L. zonovi* Muravin, *Laugeites stschurovskii* (Nik.), двустворчатыми *Entolium (Entolium) demissum* (Phill.), *Pinna constantini* Lor., *Protocardia concinna* (Buch.), *Dicranodonta siberica* (Orb.), *Pleuromya* sp. Мощность 0,5-1 м.

Í áéí áàý ñè ñòàì à, í èæí è é ï ðåäè  
Âí èæñè è é ðåäè í ýðóñ, âðåðí è é ï í äúýðóñ

3. Песчаник зеленовато-бурый, крупноблочный, очень плотный, железистый, с отпечатками ростров белемнитов *Acroteuthis russiensis* (Orb.), *A. mosquensis* (Pavl.). Мощность 0,5-1 м.

4. Песчаник средне- и мелкозернистый, рыхлый, зеленовато-табачного цвета, с пятнами ожелезнения. Окаменелости не обнаружены. Мощность 0,5 м.

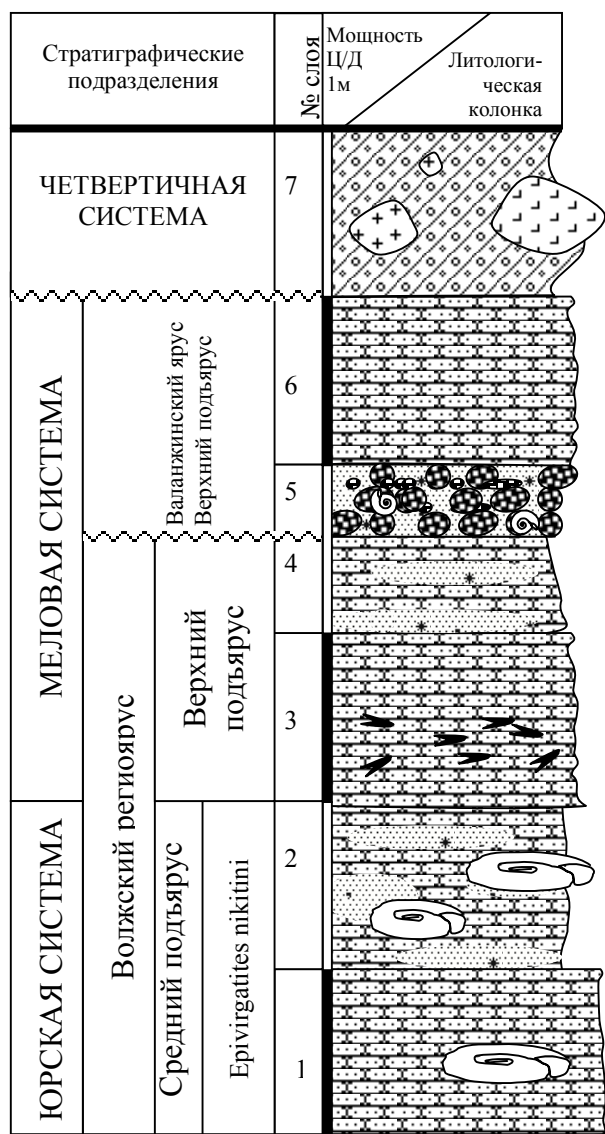
?Âàë àí æèí ñè è é ýðóñ

5. Песок рыхлый, буровато-зеленоватый, ожелезненный, переполненный фосфоритовой галькой - окатанными желваковидными конкрециями плотного фосфатизированного песчаника, серого и темно-серого цвета. В. Н. Аристов отмечает здесь находку аммонита *Subcraspedites bidevexus* Bog., а также верхневолжских аммонитов *Craspedites* и *Kachpurites*. Мощность 0,15-0,3 м. Этот слой аналогично верхнему фосфоритовому конгломерату в разрезе у с. Глебово образован путем перемыва и переотложения волжских и нижнемеловых морских осадков и имеет тот же возраст (поздний валанжин-ранний готерив).

6. Песчаник табачного цвета, железисто-глауконитовый, мелко-плитчатый, плотный. Мощность 0,7-1 м.



**Фото 24.** Общий вид обнажения у д. Петрушино в районе ГПП «Сутка». Снимок сделан в 1981 г. Е. С. Муравиным.



**Фото 25.** Геологический разрез ГПП «Сутка». Литологические обозначения см. на рис. 3.

× аօաօօօ՞ - і այ պեղակ ա

7. С углино к коричневато-бурый с валунами и галькой. Мощность 1-1,5 м.

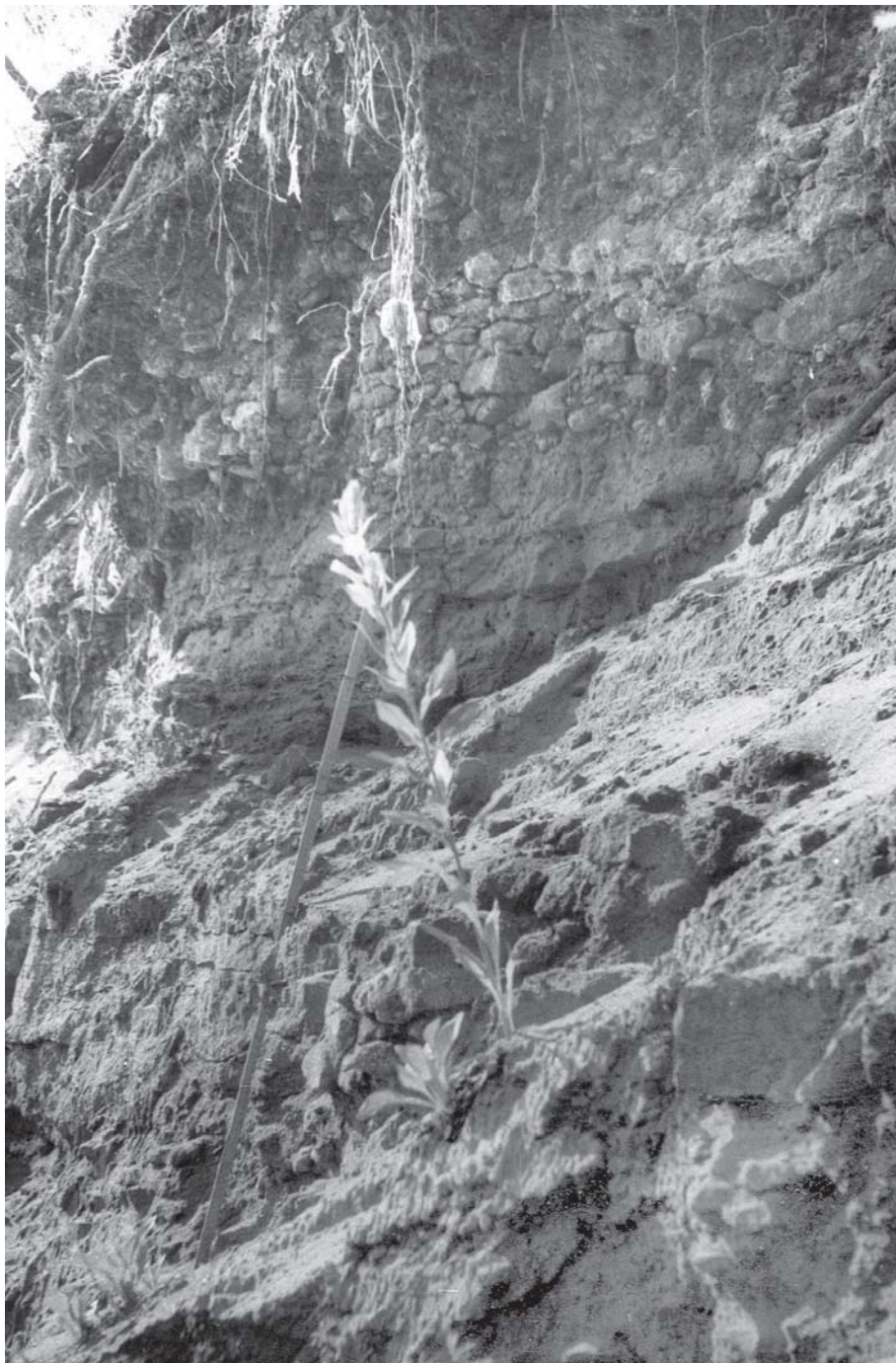
*Օաձաէօ ած չաէհամ էյ պէի ձա.* Коренные породы в берегах р. Сутки нередко смяты в складки. Ввиду этого положение фосфоритового конгломерата над урезом воды непостоянно. В обнажении выше д. Петрушино на правом берегу реки В. Н. Аристов отмечает фосфоритовый конгломерат в кровле антиклинальной складки, почти у поверхности. Максимальное

видимое расстояние между крыльями складки достигает около 30 м. Подобные нарушения, вероятно имеют ледниковую природу и их следует относить к гляциодислокациям, широко распространенным на территории Ярославской области.

*Նր նծ լ յի է ձ ի ալ յօ ւ է է ձա.* Меандрирующий

характер русла р. Сутки приводит к постоянным изменениям её берегов. Старые обнажения могут оползать или разрушаться эрозией, но также появляются и новые разрезы. А. П. Иванов (1912) отмечал выходы мезозойских пород у дд. Горбылки, Фроловское, Савелово, Козлово, Никольское, Шестихино. В настоящее время большинство из них не существуют или требуют серьезных расчисток. Возможно, это свидетельствует о том, что раньше обнаженность берегов низовьев Сутки была выше. Однако во времена А. П. Иванова в разрезе у д. Петрушино средневолжские слои с разнообразными аммонитами были закрыты оползнями и вследствие этого им не замечены. Они обнажились значительно позднее. На сегодняшний день обнажения мезозойских пород известны в районе первого меандра от ст. Шестихино у д. Горки (4 обнажения), второго меандра (4), третьего меандра выше д. Петрушино (2) и в районе д. Золотково (4).

Живая деятельность реки определяет непостоянство внешнего облика ее берегов. Этот природный процесс совершенно неконтролируем, поэтому в территорию ГПП включено не только обнажение у д. Петрушино, которое может исчезнуть, но вся 4-5 километровая полоса берега, где возможно появление новых разрезов.



**Де́й 26.** Верхняя часть разреза у д. Петрушино в районе ГПП «Сутка». Отчетливо виден меловой фосфоритовый конгломерат, ниже которого залегают пески и песчаники волжского яруса. Снимок сделан в 1981 г. Е. С. Муравиным.



# ВАСИЛЬКИ

Vasil'ki

№ 20 өл өй. ГПП историко-геологического типа меловой системы местного ранга.

Ói è êäëü i ñò ü. Наиболее представительное обнажение коренных отложений и меловой системы в Угличском районе. В Ярославской области это один из немногих естественных разрезов, где обнажаются слои мелового возраста (включая, вероятно, берриасские).

I ñò i i èî a áí èå è êî i ô è áödåöèü. Угличский район, правый берег р. Волги от д. Васильки до д. Шевердино. ГПП расположен в районе восточного изгиба Волги (Рыбинское водохранилище) в 7 км вниз от г. Углича. Разрез мезозойских отложений находится на вогнутом берегу, который активно размывается и хорошо доступен для наблюдения. Обнажение находится в отвесном обрыве высотой до 10-20 м и протягивается на 2 км. Ниже д. Васильки Волга делает очередной поворот на северо-северо-запад и размывает уже левый берег напротив д. Юсово.

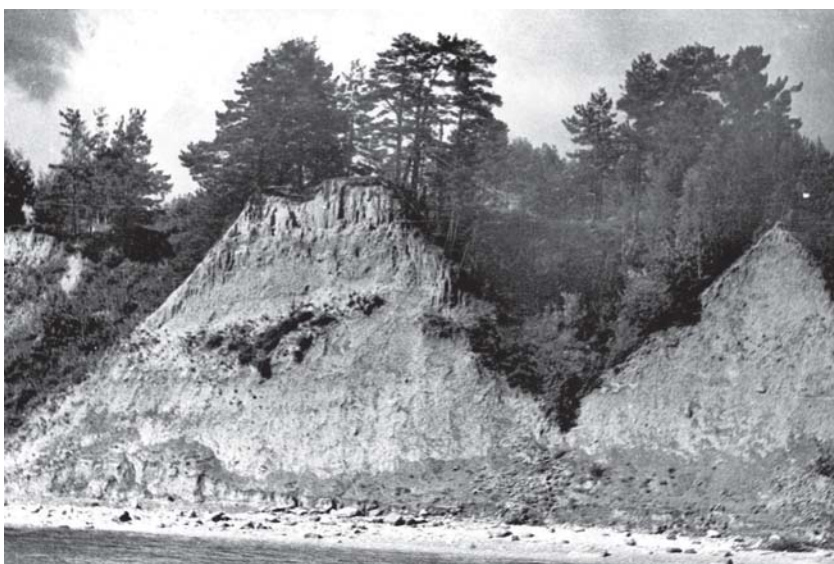
I öödäi i àÿ çî i à включает 50-метровую вдольбереговую полосу выше бровки обрыва.

Èñò i ðèü èçö÷åí èü. Выходы дочетвертичных отложений у д. Васильки появились после образования Рыбинского водохранилища, воды которого размыли ранее задернованный берег, сделав хорошо заметными характерные слои песков и песчаников. Первыми исследователями геологических отложений Ярославской области (А. А. Крылов, С. Н. Никитин и др.) отмечаются только следы этих отложений: «Отсюда (с. Золоторучье около Углича - прим.) вниз по течению до д. Юсовой наблюдатель не видит ничего замечательного. Высоты располагаются преимущественно по правому берегу. Отметим на всем этом пространстве полное отсутствие верхних валунных песков и преобладание мощной валунной глины, из которой кое-где обнажаются клацками желтоватые и зеленоватые верхнеюрские пески, богатые слюдой» (Никитин, 1884, с. 14).

Обнажение, составляющее ГПП, было открыто А. Н. Ивановым и описано в его книге «Геологические экскурсии по Ярославской области, 1950». В разрезе им обнаружен выход мелового фосфоритового конгломерата и пограничных отложений того же типа, что и в обнажениях у с. Глебово (см. ГПП «Глебово»). В фосфоритах найдены раннемеловые аммониты, аналогичные глебовским.

В первой половине 1960-х гг. обнажение изучалось В. Н. Аристовым, учеником А. Н. Иванова. В его диссертации, посвященной нижнемеловым отложениям Ярославской области (Аристов, 1965), приводится описание разреза, обсуждаются литологические особенности нижнемеловых фосфоритовых конкреций и впервые даются изображения найденных аммонитов (ðèñ. 29).

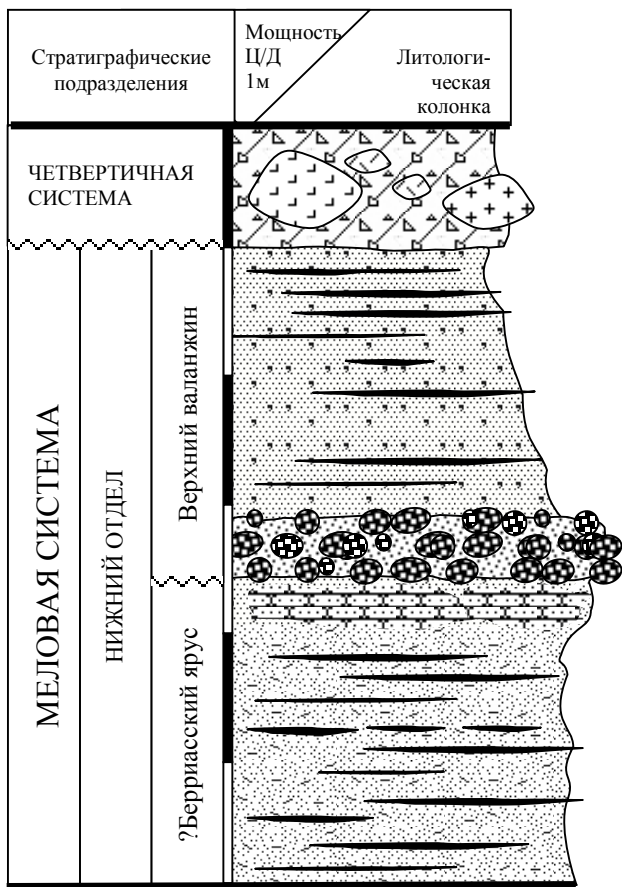
№ 21 өл өй. Ниже приводится описание разреза (по А. Н. Иванову, 1950, снизу вверх, ðèñ. 28).



Дèñ. 27. Общий вид обнажения у в районе ГПП «Васильки». Снимок сделан в 1970-е г.

1. Песок серый, сильно слюдистый, с частыми

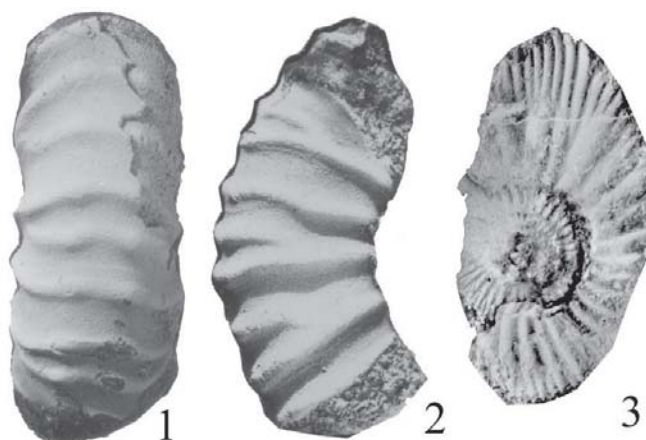
I áéí ááý nèñöái à  
í èæí èé i ðääé  
?Áåööèàññèé ýðöñ



**Фиг. 28.** Геологический разрез ГПП «Васильки». Литологические обозначения см. на рис. 3.

Наибольшая мощность меловых слоев наблюдается у д. Васильки. Ниже, в сторону д. Шевардино, слои постепенно опускаются и фосфоритовый конгломерат оказывается уреза или ниже уреза воды.

Возраст слоев 1 и 2 предположительно определяется как берриасский, несмотря на то, что в них не найдены окаменелости. В глебовским разрезе пески, подстилающие фосфоритовый конгломерат, являются юрскими и относятся к зоне *Epivirgatites nikitini* волжского региояруса. В ГПП «Васильки» подстилающие пески сильно отличаются от глебовских и по типу соответствуют меловым, развитым в Ярославской области (пески с глинистыми прослойками). Вероятно, они относятся к берриасскому ярусу, поскольку в вышележащих конкрециях из конгломерата найдены берриасские аммониты *Rjasanites rjasanensis* (Nik.). Возможно, валанжинская трансгрессия не размыла окончательно доваланжинские слои в районе Углича, как это случилось в районе с. Глебово, и самые нижние горизонты берриаса сохранились. Однако отсутствие окаменелостей в этих слоях не позволяет определить это окончательно.



прослойками и едва заметными волнистыми прожилками черной слюдистой глины. Видимая мощность над урезом воды 2 м.

2. Песчаник плотный, железистый, зеленовато-бурый или бурый, слюдистый. Окаменелостей не найдено. Мощность 0,3 м.

### Ààëáí æéí ñéèé ýðóñ, àåðóí èé í i ááýúðóñ

3. Конгломерат из конкреций плотного фосфатизированного песчаника, зеленовато-серых с поверхности и черных на изломе. Конкреции цементируются рыхлым ожелезненным песчаником с кварцевыми галечками до 1 см в диаметре. Фосфоритовые конкреции, размером до 15 см, имеют гладкую окатанную поверхность, со следами работы сверлящих организмов (глубокие ямки, иногда пронизывающие конкрецию). Окаменелости встречаются редко: преимущественно двустворки, брюхоногие и аммониты. Среди последних В. Н. Аристовым определены *Rjasanites rjasanensis* (Nik.) (дёй 29, № 1, 2), *Dichotomites aff. petschorensis* (Bogosl.) (дёй 29, № 3). А. Н. Иванов указывает также на присутствие родов *Tollia* и *Polyptichites*. Аммониты принадлежат к разным ярусам нижнего мела – берриасскому и валанжинскому, что свидетельствует о разновозрастном составе конкреций в конгломерате. Как и в глебовском обнажении, он представляет горизонт перемыча валанжинского возраста. Мощность слоя 0,15 м.

4. Песок среднезернистый, зеле-новато-желтый, кварцево-железисто-глауко-нитовый, с серыми и бурьими пятнами и волнистыми прослойками черной слюдистой глины. Мощность 1,8 м.

Выше идет четвертичный валунный суглинок мощностью 2,5 м.

**Фиг. 29.** Аммониты, найденные в фосфоритах мелового конгломерата разреза ГПП «Васильки» (из диссертации В. Н. Аристова (1965)). Фиг. 1 - *Rjasanites rjasanensis* (Nik.); фиг. 2 - *Dichotomites aff. petschorensis* (Bogosl.), цифровая имитация слепка отпечатка.



# КРЕСТОВСКИЙ КАРЬЕР

Krestovsky quarry

**№ 20 07:** ГПП комплексного (стратиграфический, историко-геологический) типа меловой системы мирового ранга. Обнажение выделено в памятник природы Ярославского района по решению Ярославского облисполкома (Охрана природы, 1975), а также решением Малого Совета областного совета народных депутатов от 27 мая 1993 г. № 118.

**Описание:** Наиболее представительный разрез меловых отложений в Ярославской области и основания нижнего готерива в России. ГПП эталонного значения для стратиграфии нижнего подъяруса готеривского яруса бореальных районов России. Разрез является стратотипом зоны *Pavlovites polyptychooides* – базальной зоны нижнего готерива бореальной стандартной шкалы (по Захаров и др., 1997). В отложениях найдено 8 новых видов ископаемых животных.

**История:** рекультивированный песчаный карьер на юго-восточной окраине г. Ярославля (быв. с. Крест), в 50 м к западу от Московского шоссе (дом 30). Крестовский карьер представляет систему выемок, состоящую из двух частей – северного и южного карьеров, каждый из которых имеет протяженность до 500 м. В настоящее время южный карьер используется как автодром, северный – застроен гаражами. Оба карьера находятся на правом коренном берегу Волги, в пределах Ярославско-Карабихской моренной гряды (дома 43, дом 2), окаймленной с востока третьей надпойменной террасой Волги, а с севера – второй надпойменной террасой р. Которосли (по Щербаков, 1976). Меловые отложения обнажаются во многих местах обоих карьеров, но лучшие из них, включаемые в ГПП, расположены только в северо-восточной части северного карьера.

**Обнажения:** памятник включает два обнажения. Первый (главный) из них, длиной около 150 м и высотой до 25 м, расположен в северо-восточной стенке северного карьера (дома 43, дом 1). Юго-западный край обнажения окаймляется гаражами, северо-восточный – лестничным спуском в карьер. Второе обнажение, несколько меньшего размера (20 м в длину и около 8 м в высоту), находится южнее первого на 200 м и примыкает к автопарку (дом 32; дома 44, дом 3).

**Стенка обнажения:** стенка обнажения вдоль всего памятника шириной 50 м (вплоть до Московского шоссе) и подножье обнажения, шириной до 20 м.

**Геологический памятник:** Геологический памятник, широко известный как Крестовский карьер расположен на южной окраине города Ярославля. Возник карьер в результате добычи песка на нужды завода силикатного кирпича, построенного еще в 1930-е годы близ села Крест (дом 31). Со временем это село было поглощено городом, а территория некогда обширного карьера была застроена гаражами. В первозданном виде сохранилась лишь часть восточной стенки карьера, примыкающей к Московскому шоссе. По инициативе кафедры физической географии Ярославского педагогического института им. К. Д. Ушинского, с 1939 г. проводившего здесь геологическую практику студентов, в 1975 году этот участок получил статус геологического памятника природы и взят под охрану государством.

Интерес геологов к данной территории первоначально возник в связи с противоречивостью сведений о геологическом строении окрестностей Ярославля. Так, В. А. Городцов считал, что в строении возвышенной гряды к югу от Ярославля принимают участие не только четвертичные, но и юрские образования. Им у с. Лучинское были найдены и описаны юрские аммониты (1897). Позднее А. П. Иванов (1913) заметил, что породы с юрской фауной у с. Лучинское залегают в морене и являются отторженцами. Большой знаток четвертичной геологии А. И. Москвитин на основании многочисленных фактов, в том числе и наблюдений в окрестностях Ярославля, пришел к выводу, что вся моренная гряда, простирающаяся от Крестов до Карабихи, расстояние между которыми около 12 км., ширина от 3 до 5 км, сложена отторженцами из мезозойских слоев. Еще более конкретно высказался геолог, доцент Ярославского педагогического института В. А. Новский (1975), назвавший эту гряду “Ярославской мореной напора”.

Однако дальнейшее изучение геологии данной территории поставило в центр внимания пачку слоев раннемелового возраста, в которых находятся аммониты и сопутствующая раннемеловая фауна (белемниты, двустворчатые моллюски, остатки древесины и др.). Первоначально аммониты определялись как симбирскиты верхнеготеривской зоны *Simbirskites decheni*, широко известной на Русской платформе. Однако



**Фиг. 30.** Расположение ГПП «Крестовский карьер» на трехмерном изображении территории г. Ярославля и прилегающих районов. Картина построена на цифровой основе, любезно предоставленной Е. Ю. Колбовским (оцифровка горизонталей сделана П. Н. Брагиным). Контуром показаны ареалы основных застроек г. Ярославля.

Обнажение Крестовского карьера обладает наиболее полной последовательностью готерива европейской и северной ( boreальной) части России и имеет ключевую роль для стратиграфии этого подъяруса. Отложения, выходящие в разрезе, являются своего рода недостающим звеном между предшествующим ему верхним валанжином и перекрывающим верхним готеривом. Именно поэтому обнажение Крестовского карьера сразу привлекло внимание как русских, так и зарубежных специалистов. С 1973 по 1978 обнажение неоднократно посещала целая группа ленинградских (Н. И. Шульгина, С. М. Басов) и новосибирских (В. Н. Сакс, В. А. Захаров, А. В. Гольберт, И. Г. Климова, С. П. Булынникова) геологов – ведущих специалистов в области стратиграфии и палеонтологии нижнего мела. Ими было проведено детальное изучение отложений, собраны окаменелости (в т. ч. и пробы для палеонтологического анализа). В результате их исследований вышли совместные работы (Гольберт и др., 1977; Шульгин и др., 1979), которые в целом подтвердили выводы В. Н. Аристова и А. Н. Иванова о палеонтологическом изучении нижнемеловых отложений в Крестовском карьере В. Н. Аристовым внесло существенные дополнения в стратиграфию нижнего мела (в частности, в зональное деление готеривского яруса) (Аристов, 1965; 1967; 1974; 1979; Аристов, Иванов, 1967; 1979; Иванов, Аристов, 1966; 1969). Таким образом, по А. Н. Иванову и В. Н. Аристову, светло-серые или белые слюдистые пески, составляющие нижнюю часть Крестовского разреза, отнесены к зоне *Homolsomites bojarkensis* (из этого слоя В. Н. Аристовым был описан новый вид аммонита *Homolsomites ivanovi* Arist.). Вышележащие пески среднезернистые, буровато-серые и зеленовато-серого цвета, с “ярославским комплексом аммонитов” Аристов выделяет как самостоятельную новую зону *Pavlovites polyptychoides*. Обе зоны отнесены к нижнему подъярусу готеривского яруса, чрезвычайно слабо развитого на территории Европейской России.



**Фиг. 31.** Главное обнажение ГПП «Крестовский карьер» в 1970-е г. В карьере еще продолжаются разработка кварцевого песка, а гаражи, которыми застроено дно карьера в наше время, отсутствуют.

логическом и стратиграфическом своеобразии рассматриваемых отложений.

В настоящее время стратиграфическое значение Крестовского карьера сохраняется, как и прежде, поскольку до сих пор в России не обнаружен разрез, где нижний готерив бореального типа был бы представлен более детально. На этом основании новосибирскими специалистами аммонитовая зона *Pavlovites polyptychooides* нижнего готерива, выделенная в Крестовском разрезе, помещена в разработанную ими стандартную шкалу бореального мезозоя (Захаров и др., 1997). Та же зона присутствует и в альтернативном варианте зонального стандарта Бореального пояса (Барабошкин, 2003).

Из отложений памятника описано 10 новых видов ископаемых беспозвоночных животных: *Prodichotomites ivanovi* (Aristow 1974), *Prodichotomites aristovi* Kiselev sp. nov., *Pavlovites polyptychooides* (Aristow 1967), *P. krestensis* Ivanov et Aristow 1969, *Subspeetoniceras inversioides* (Aristow 1967), *Gorodzovia mosquitini* Ivanov et Aristow 1969, *Okathyris sokolovi* Smirnova 1975, *Atelithyris crestensis* Smirnova 1975; *Lissothyris piriformis* Smirnova 1987; *Volgathyris sublatus* Smirnova 1987.

Уникальность ископаемой фауны Крестовского карьера и его стратиграфическое значение, главным образом, и определяют этот природный объект как ценнейший геологический памятник.

**Ñò ðàð è äðâð è ý.** В настоящее время нижние слои разреза наполовину закрыты осыпью, поэтому для изучения более доступны верхние слои. Описание разреза приводится по Аристов, 1965; Иванов, Аристов, 1966; Шульгина и др., 1979 с дополнениями.

В разрезе Крестовского карьера обнажаются отложения меловой и четвертичной систем (снизу вверх, **ðèñ. 33**):

Í äéî âàÿ ñèñðå à  
Âàëáí æéí ñèéé ÿðóñ, ååðöí èé í îäúýðóñ  
Çí à *Prodichotomites ivanovi*

1. Песок алевритистый, слюдистый пепельно-серый, с гнездами и линзами песков черных, слюдистых, с обугленным растительным детритом. В этом слое встречаются весьма крупные караваеобразные конкреции не очень плотных известковистых песчаников, преимущественно размером около 1-1,5 м в поперечнике, с обилием двустворок (**ðàáë. 48, ô è á. 7**) («ауцелловые банки» по Иванов, Аристов, 1966). Поверхность их буровато-желтая, в свежем сколе – желтовато-серые. В них содержатся гнезда раковинного детрита, это в основном обломки двустворчатых моллюсков (*Buchia crassicolis* Keys., *Astarte*, *Entolium* и др.), белемнитов *Cylindroteuthis* sp. Аммониты встречаются очень редко. К этим конкрециям приурочена находка единственного экземпляра аммонита (**ðàáë. 47, ô è á. 1-3**), найденного В. Н. Аристовым и выделенного им в диссертации (Аристов, 1965) в новый вид *Dichotomites yaroslawensis* Aristow. Впоследствии этот экземпляр не был изображен и не описан по правилам МКЗН, поэтому вид не является валидным. В связи с этим данный экземпляр обозначается здесь под новым видовым названием и определяется как *Prodichotomites aristovi* Kiselev sp. nov.



Валерий Николаевич Аристов.  
Снимок 2002 г.



**ðèñ. 32.** Белые кварцевые пески верхнего валанжина (слой 3) и косослоистые пески и песчаники нижнего готерива (слои 4, 5) в обнажении 2 Крестовского карьера. На переднем плане виден В. А. Новский (слева) с группой студентов ЯГПИ. Снимок 1960-х гг.

2. Песок мелкозернистый, горизонтально слоистый, местами косослоистый, слюдистый, светло-серый или белый, местами с буроватыми пятнами, с прослойками песков черных, слюдистых, с обугленным растительным детритом (дааё. 44, 6 ё ё 2, 4). В слое встречаются крупные, до 3 м, конкреции темно-серого очень крепкого карбонатного песчаника (дё ё 34). Из окаменелостей наиболее обильны брахиоподы *Okathyris sokolovi* Smirn., *Atelithyris crestensis* Smirn. (дааё. 48, 6 ё ё 3-6), реже - двустворки и еще реже - аммониты (дааё. 46). К последним относятся *Prodichotomites ivanovi* (Aristow) (3 экземпляра, в т. ч. и голотип вида), *Ringnesiceras* sp. aff. *amundense* Jeletzky (1 экз.), *R. sp. aff. tozeri* Jeletzky (1 экз.). Последние два экземпляра найдены В. Н. Аристовым в 1978-1980 гг. и не отмечены и не изображены в публикациях. Им указывается в этикетке приуроченность этих образцов к тем же конкрециям, что и *Prodichotomites ivanovi*. Изучение этих образцов показало, что вмещающая порода действительно состоит из того же плотного серого песчаника, что и конкреции с *Prodichotomites ivanovi*, и отличается от менее плотного желтоватого песчаника конкреций с *Prodichotomites aristovi*. Мощность слоя - 7 м.

3. Песок мелкозернистый, желтовато-серый, в верхней части с тонкими прослойками сильно слюдистых глинистых алевритов (дааё. 43, 6 ё ё 5, 6). В слое, особенно в его верхней части, видны вертикальные ядра "ходов" пескожилов. Они имеют вид песчанистой трубочки, заполненной более темной песчано-алевритовой породой. Длина таких "ходов" достигает до 70 - 80 см. В подошве встречаются конкреции карбонатно-фосфатизированного песчаника (до 0,5 м) с брахиоподами *Okathyris sokolovi* Smirn., *Atelithyris crestensis* Smirn.). Мощность до 3,5-4 м.

В 1965 году со дна карьера была пробурена скважина, это позволило установить, что нижнемеловые отложения распространяются на глубину 23 м. Лежащие ниже образования представлены толщей глинисто-алевритовых пород. На разных уровнях этого разреза были выделены спорово-пыльцевые комплексы. Изучение этих комплексов позволило Н. И. Шульгиной предположительно считать возраст глинис-то-алевритовой толщи валанжинским.

Аї даðè âñê è é ўðóþ, í è áí è é ѫ ðáýüðóþ  
Ç í à Pavlovites polyptychoides

4. Песок буровато-серый, местами зеленовато-серый, обожренный, косослоистый, с линзовидными прослойками песчано-глинистых пород, состоящих из тонко переслаивающихся темно-серых глин, слюдистых алевритов и светло-серых песков (дааё. 43, 6 ё ё 3, дааё. 45). Толщина таких прослоев 1 - 5 см. В подошве встречаются округлые конкреции известковистых песчаников розовато-серого цвета, часто переполненных "Serpula" *tetragona* Sow (дааё. 43, 6 ё ё 5). В 1-1,5 см выше подошвы проходит горизонт, состоящий из конкреций сильно железистого (гётитового) песчаника от темно-бурого до иссиня-черного цвета. В конкрециях встречаются аммониты из трех родов ("Ярославский комплекс аммонитов", дааё. 45, 6 ё ё 1-3; дааё. 47, 6 ё ё 4-16): *Pavlovites polyptychoides* (Aristow), *P. krestensis* Ivanov et Aristow, *Subspeetonceras inversoides* (Aristow), *Gorodzovia mosquitini* Ivanov et Aristow, которые, по мнению Иванова и Аристова, являются переходными формами от полиптихов к симбирскитам. Не исключено, что видовой состав аммонитов гораздо богаче: А. Н. Иванов (1978) включает сюда еще два вида (*Gorodzovia saukovi* Ivanov, *Subspeetonceras bilibili* Ivanov), выделенные им, но не описанные в литературе. Из сопутствующей фауны следует в первую очередь отметить частые находки скоплений раковин двустворчатых моллюсков *Buchia sublaevis* (Keys.), *B. bullata* (Pavl.), *Inoceramus* sp. (дааё. 48, 6 ё ё 1, 2), *Pleuromya* aff. *peregrina* (Orb.) (дааё. 45, 6 ё ё 8), образующих выраженный горизонт ниже конкреций железистого песчаника. Реже встречаются брюхоногие (*Eucyclus* sp., ?*Pseudomelanidae* gen. et sp. ind.), белемниты (?*Cylindroteuthis* sp.), и древесные остатки. Мощность слоя 3-3,2 м.

5. Песок среднезернистый, буровато-серый или зеленоватый, железистый, местами глауконитовый, с ярко выраженной косой слоистостью. Песчано-глинистые прослойки отсутствуют. В основании слоя проходит горизонт конкреций сильно железистого песчаника с редкими аммонитами *Gorodzovia* sp. juv. (= *Simbirskites ex gr. decheni* (Roem.) по Шульгина и др., 1979). Этот слой наиболее полно представлен во втором обнажении ГПП. Мощность 3-3,8 м.

× áòâåððè-í áÿ ñè ñòâà  
?Í í ñéí âñê è é áí ðè çí ð

6. Суглинок красновато-коричневый с валунами и галькой. Мощность до 1,5 м.

Ñò ðàò è áðàô è áñê è áí í áðàçáðë áí è ý í è æ í áðí í ðëà è èí ððâëüðë ý. Основные вопросы стратиграфии отложений в Крестовском карьере связаны с определением стратиграфического положения и корреляции нижней песчаной пачки (кварцевые слюдистые пески слоев 1-3). Первоначально эти слои были отнесены В. Н. Аристовым (1965) к зоне *Dichotomites bidichotomus* на основании находки *Dichotomites* (=*Dichotomites aristovi* sp. nov.) в базальных горизонтах нижней пачки. В той же работе В. Н. Аристов коррелирует эти слои с зоной *Homolsomites bojarkensis*, выделенной в основании нижнего готерива С. Сибири (Сакс и др., 1963). После обнаружения рода *Homolsomites* в слоях 1-3 (Аристов 1967; Аристов, Иванов, 1971) и выделения нового вида *Homolsomites ivanovi* Aristow, В. Н. Аристовым (1974) в разрезе Крестовского карьера устанавливается северо-сибирская зона *Homolsomites bojarkensis*.

Существуют достаточно серьезные основания считать, что северо-сибирская зона *Homolsomites bojarkensis* соответствует более высокому стратиграфическому интервалу, нежели слои с *Homolsomites ivanovi* в Крестовском разрезе.

Áí -í áðââð, морфотип вида *H. ivanovi* несет ряд характерных отличий от типичных *Homolsomites*. В первую очередь к ним относится наличие заметных припупковых бугорков на взрослых оборотах и характер ребристости на внутренних (дааё. 6 ё ё 5). Между тем, у достоверных хомолзомитов (*H. stantoni* (McLearn), *H. quatsinoensis* (Whiteaves), *H. bojarkensis* Schulgina и др.) взрослые обороты всегда гладкие. Присутствие припупковых бугорков более свойственно для рода *Neocraspedites* Spath 1924 и поздних представителей рода *Prodichotomites* Kemper 1971, которые, как и *Homolsomites*, характеризуются инволютной, почти дискооконической раковиной. Все три рода приобрели дискооконический морфотип независимо и встречаются в разных стратиграфических интервалах. По Кэмперу и Елецкому (Кэмпер, 1978; Кэмпер, Jeletzky, 1979; Jeletzky, Kemper, 1988), *H. ivanovi* может быть терминальной формой филогенетической линии рода *Prodichotomites*, завершая ряд *P. hollwedensis* Kemper - *P. gradatus* (Koenen) - *P. flexicosta* (Koenen), *P. undulatus* (Koenen) - *P. complanatus* (Koenen), прослеженный в верхнем валанжине Германии. Основным направлением филогенеза явилось постепенная редукция скульптуры и формирование гладкой

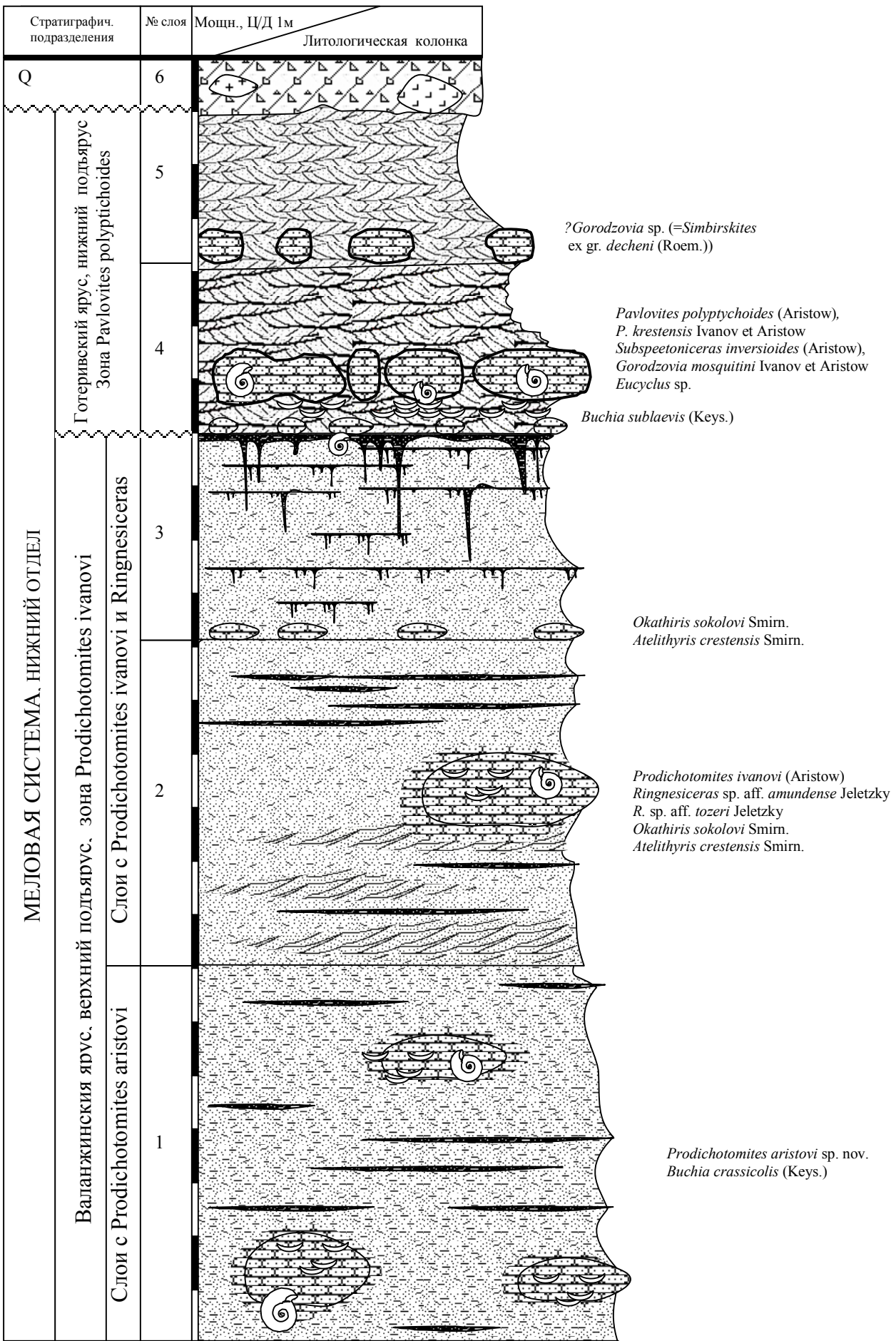


Рис. 33. Геологический разрез ГПП «Крестовский карьер». Цена деления линейки мощности равна 1 м. Литологические обозначения см. на рис. 3.

инволютной раковины. На взрослых оборотах поздние *Prodichotomites* сохраняются только припупковые и вентральные ребра. Таким образом, наличие выраженной скульптуры является более древним, плезиоморфным, признаком для данной филемы. У "*Homolsomites*" *ivanovi* этот плезиоморфный признак еще присутствует, но исчезает у настоящих *Homolsomites*, распространенных в более высоких интервалах (верхи верхнего валанжина и нижний готерив). Следовательно, в соответствии с представлениями Кэмпера и Елецкого, вид "*Homolsomites*" *ivanovi* логичнее относить к роду *Prodichotomites*, что и принимается в данной работе. В Германии *Prodichotomites ivanovi* обнаружен в верхней части дихотомитовых слоев (зона *Bidichotomooides*). Соответственно, и слои с *Prodichotomites ivanovi* Крестовского разреза следует относить не к нижнему готериву, а к верхнему валанжину.

**Ат-ад і дүйі**, в отложениях нижней пачки (слои 1-3) Крестовского разреза найден относительно богатый комплекс специфических полиптихид, включая *Prodichotomites* и *Ringnesiceras*. Стратиграфическое распространение семейства *Polyptychitidae* Spath 1924 приурочено исключительно к валанжину (Богомолов, 1989) и не захватывает готерив. Подрод *Prodichotomites* распространен в дихотомитовых слоях нижней и средней части верхнего валанжина Германии (Кемпер 1978; Jeletzky, Kemper, 1988). Соответственно слой 1 Крестовского разреза, где найден *Prodichotomites aristovi* sp. nov., следует коррелировать с нижней частью «слоев с *Dichotomites*» германской зональной шкалы.

Из слоя 2 Крестовского разреза происходят образцы рода *Ringnesiceras* Kemper et Jeletzky 1979. Представители этого рода впервые обнаружены в Центральной России. Их морфотип весьма близок видам *R. amundense* Kemper et Jeletzky, *R. tozeri* Kemper et Jeletzky. В Арктической Канаде (район Свердруп) эти виды найдены в самых верхних интервалах валанжина, охарактеризованного аммонитами, и соответствующих верхней части слоев с *Dichotomites* Германии. На основании этого слой 2 Крестовского разреза удобнее коррелировать с интервалом зон *Crassus* – *Bidichotomooides* германской шкалы и зон *Amundense* и *Tozeri* Арктической Канады.

**А-д әдәд ие**, стратиграфическое положение и статус северо-сибирской зоны *Homolsomites bojarkensis* в низах нижнего готерива до сих пор дискуссионно (Захаров, Богомолов 1984; Богомолов 1989). В лектостратотипическом разрезе зоны на р. Боярке зональный аммонитовый комплекс представлен почти одним видом-индексом. Только в самом нижнем интервале распространения вида присутствует род *Selandites* (ранее определявшийся как *Neocraspedites*, по Богомолов 1989) и *Dichotomites*. Вероятно, только этот интервал (относимый к зоне *Selandites kotschetkovi*) можно коррелировать, более или менее обоснованно, с зонами европейских шкал. Основной интервал распространения *Homolsomites bojarkensis*, выделяемый в собственно зону *Bojarkensis* (Богомолов 1989; Захаров и др. 1997) соответствует нижнему готериву только по положению в разрезах над заведомо валанжинскими зонами. Верхняя граница зоны *Bojarkensis* в районе первоначального выделения до сих пор точно не установлена.

Вышеперечисленные аргументы не позволяют устанавливать в разрезах Крестовского карьера зону *Bojarkensis*. По этой причине в разрезе выделяется самостоятельная зона *Prodichotomites ivanovi*, соответствующая верхнему валанжину в полном объеме. В объеме зоны выделяются также подчиненные подразделения в ранге слоев с фауной (дәаә. 3). Выделение зональных подразделений, соответствующих «слоям с *Prodichotomites aristovi*» и «слоям с *Prodichotomites ivanovi* и *Ringnesiceras*», представляется преждевременным и требует дополнительных исследований в разрезах Крестовского карьера.

Предположительно, зона *Bojarkensis* соответствует в разрезе Крестовского карьера интервалу, приходящемуся на перерыв, фиксируемый несогласием между слоями 3 и 4. Следы данного перерыва отмечаются в Гольберт и др., 1977 и Шульгина и др., 1979.

#### Зона *Prodichotomites ivanovi*

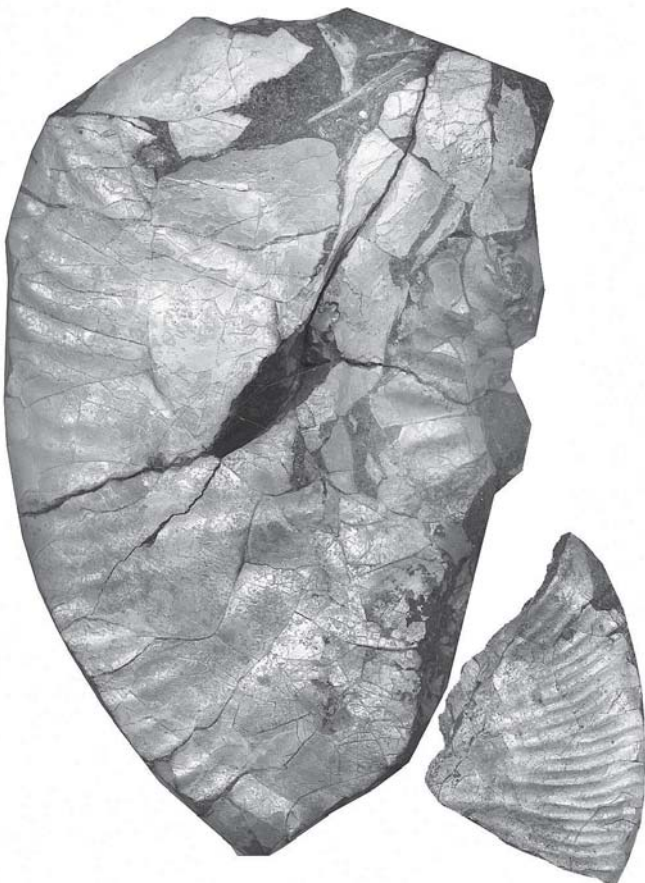
= зона *Dichotomites bidichotomus*: Аристов, 1965  
= зона *Homolsomites bojarkensis*: Аристов, Иванов 1967; 1979; Аристов 1967; 1974; 1979; Шульгина и др. 1979  
= зона *Homolsomites ivanovi*: Барабошкин, 2001; 2003.

**Нәдәаә әдәи**. Крестовский карьер, слои 1-3.

**Аә-ә-ә-і әәә**. *Prodichotomites ivanovi* (Aristow 1974). Голотип изображен в Аристов 1974, табл. 14, фиг. 1, 2. Переизображен в настоящей работе, табл. 46, фиг. 1, 2.

**І аәә і аәә әәә ә** (Ярославская область). 1) стратотип, 2) разрезы ГПП «Глебово», слой 7 (предположительно); 3) разрезы ГПП «Сутка», слой 6 (предположительно); 3) разрез ГПП «Васильки», слой 4 (предположительно).

**Аі і і ә**. Вид-индекс, *Prodichotomites aristovi* sp. nov., *Ringnesiceras* sp. aff. *amundense* Kemper et Jeletzky, *R. sp. aff. tozeri* Kemper et Jeletzky.



**Дәә әәә ә**. 5. *Prodichotomites ivanovi* (Aristow). Паратип. Крестовский карьер, обнажение 1, верхний валанжин, зона *Prodichotomites ivanovi*.



**Дөй. 34.** Кварцевые пески (слои 1-3) верхнего валанжина в главном обнажении памятника. На переднем плане расположены гигантские конкреции карбонатного песчаника, выпавшие из пачки кварцевых песков, из которых происходят основные находки окаменелостей, в первую очередь аммонитов. В настоящее время эти конкреции представляют большую редкость, поскольку все они давно использованы для строительных целей. За конкрециями виден шест с надписью, информирующей о том, что обнажения является геологическим памятником природы. Снимок сделан в 1970-е г.

пересмотра или уточнения. Эта

в неопубликованной диссертации В. Н. Аристова (1965), из которой ниже приводится отрывок:

«Заслуживают серьёзного внимания вопросы, связанные с происхождением и залеганием отложений, обнажающихся в крестовских карьерах.

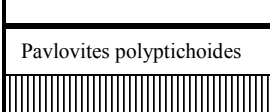
А. И. Москвитин (1948) признал некоренное происхождение вскрытых в карьере слоев, полагая, что толща юрских, по А. И. Москвитину, отложений находится в отторженце в составе морены напора. Мнение А. И. Москвитина основывается на бурении вблизи мясокомбината и других близлежащих пунктов, а не в самом карьере, показавшим наличие под толщей белых песков четвертичных (моренных?) отложений с валунами. К сожалению, разработка белых

І аúаі . 2 подразделения: слои с *Prodichotomites aristovi* и слои с *Prodichotomites ivanovi* и *Ringnesiceras*.

**Дааéеò ð i ñò ð à í áí è á.**  
Ярославское Поволжье.

**Оàðàéò ðò çàëåäñí è ý ñéî áâ.**  
В настоящее время почти общепризнанной является точка зрения, согласно которой нижнемеловые отложения находятся в составе гигантского отторженца, т. е. являются частью пород ледниковой морены. Отторженец почти полностью составляет выраженную в рельфе Ярославско-Карабихскую гряду, простирающуюся от с. Крест до пос. Карабиха на 12 км (при ширине 3-5 км и высоте 100 м над Волгой). Эта точка зрения укоренилась после исследований А. И. Москвитина (1950) и В. А. Новского (1968; 1975). Изучение обнажений и данных бурения позволило им описать здесь т. н. морену напора, состоящую преимущественно из обломков меловых и, в меньшей степени, юрских пород. Между тем, есть основания считать, что данные представления недостаточно подтверждены фактами и требуют проблема обстоятельно разобрана

**Дааéеò òà 3.** Сопоставление зональных шкал верхнего валанжина и нижнего готерива суббореальных и бореальных регионов Бореальной надобласти.

	C-3. Германия	Русская платформа (Ярославское Поволжье)	Северная Сибирь	Арктическая Канада (бассейн Свердруп)
	По Kemper 1978; Kemper, Jeletzky 1979	Предлагаемая схема	По Богомолов 1989; Захаров и др. 1997, с дополнениями	По Kemper, Jeletzky 1979
Нижний готерив	Слои с <i>Endemoceras</i>	Pavlovites polyptychoides	Homolsomites bojarkensis	
				
Верхний валанжин	Слои с "Asteria" <i>Discostella tuberculata</i> <i>D. bidichotomoides</i> <i>D. triptychoides</i> <i>D. crassus</i> <i>P. polytomus</i> <i>P. hollwedensis</i>	<i>Prodichotomites ivanovi</i> <i>Prodichotomites aristovi</i>	<i>Selandites kotschetkovi</i> <i>Dichotomites bidichotomoides</i> <i>Prodichotomites triplodiptychus</i>	<i>Ringnesiceras tozeri</i> <i>Ringnesiceras amundseni</i> <i>Ringnesiceras pseudopolyptychum</i>

песков для силикатного кирпича не затронула нижележащие горизонты, и наличие моренного материала под белыми песками в районе карьера является лишь предположением.

Не исключено, что при бурении за валуны могли быть принятые выше глыбы очень плотного (сливного) песчаника (*из слоев 1 и 2 – прим. ред.*). Они по своей твёрдости и даже внешне трудно отличимы от настоящих кристаллических пород (валунов). В то же время, по сообщению А. И. Москвитина, в с. Лучинское (вблизи с. Крест) ему приходилось наблюдать под белыми песками зеленоватые глауконитовые пески, в которых П. А. Герасимовым были определены двустворки и который признал за этими песками рязанский возраст. Мне также однажды удалось наблюдать в одном из участков карьера у с. Крест под толщей белых песков зеленоватые глауконитовые пески.

К последнему времени накопилось достаточно данных, противоречащих укоренившимся представлениям о некоренном залегании в отторженце нижнемеловых отложений в карьере с. Крест. Прежде всего следует указать, что этот отторженец, по мнению А. Н. Иванова (1959), должен иметь ближнее происхождение, так как в северном и северо-западном направлениях за пределами Ярославской области (Вологодская обл., Карельская АССР) вообще неизвестны отложения нижнего мела.

По мнению Ю. Н. Аристова (1962), для рельефа Ярославско-Костромского Поволжья характерной чертой является наличие высокого положения кровли коренных пород (в частности, пермо-триасовых, как это видно по буровым скважинам (ст. Коромыслово, к югу от г. Ярославля), что связывается Ю. Н. Аристовым с местными куполовидными поднятиями, обусловленными тектоническими причинами.

Скважина, пробуренная Ярославским геологическим управлением у автобусной городской станции (примерно в 2-3 км от с. Крест), показала наличие под четвертичными отложениями с глубины 3 м тёмных глин с юрской фауной (келловей-оксфорд).

И, наконец, скважина, пробуренная в самом карьере, показала следующее (было пройдено со дна карьера почти 50 м):

1. Серые пески, что и на дне карьера, сменяющиеся глауконитовыми песками и песчаниками – 12 м.
  2. Серая и чёрная слюдистая слоистая супесь - 9 м.
  3. Зелёный глауконитовый песок и песчаник с кусками фосфатизированного песчаника – 9м.
  4. Чёрная супесь, более глинистая, чем раньше, с редкими желваками колчедана - 10 м.
- Глауконитовый песчаник - около 3 м.
5. Чёрная супесь с многочисленными желваками колчедана - около 4 м.
  6. Глауконитовый песчаник - 2м
  7. Чёрная глина с кусочками известняка и гравийными зёрнами кварца. Полевошпатовые породы отсутствуют.

Фосфоритовый слой встречен не был. Не было встречено и фауны. Морена отсутствует. Не исключено, что вся толща целиком относится к нижнему мелу.

Вопрос о коренном или некоренном происхождении крестовских отложений для нас не является принципиальным, хотя последние данные свидетельствуют о коренном происхождении раннеготеривских отложений в карьерах у с. Крест и пос. Нефтестрой. Породы, составляющие крестовский массив, остаются нижнемеловыми, если они лежат и в отторженце».

*Ñî ñò î ÿí è à î à î ÿò î è è à.* В настоящее время Крестовский разрез является достаточно хорошо обнаженным: из 6 вышеупомянутых слоев верхние три открыты полностью, а второй только наполовину закрыт осьюпью. В этом смысле состояние памятника можно считать удовлетворительным, в особенности учитывая, что обнажение не испытывает разрушающего воздействия каких-либо факторов (русловая эрозия, абразия, выемка грунта и пр.). Зарастание обнажения происходит медленно, что можно объяснить неблагоприятностью меловых песков (легко сыпучих и бедных минеральными веществами) для произрастания растений. Задерновывание происходит медленно и, в основном, по краям обнажения. Последнее является единственным естественным нарушением, приводящим к ухудшению состояния памятника. Темпы зарастания снижаются также и благодаря вытаптывающему воздействию человека. Обнажение хорошо доступно для изучения и массовых экскурсий, которые весьма часто проводятся со студентами трех ярославских университетов и школьниками.

К негативным антропогенным воздействиям на ГПП относятся два рода факторов:

1. Нелегальная выемка кварцевого песка из обнажения для хозяйственных целей. Чистый кварцевый песок является весьма ценным строительным материалом, поэтому после регистрации памятника в 1975 г., было совершено несколько случаев «бреконьерства», когда на разрез приезжали экскаваторы и пытались вынуть значительный объем песка. Последний случай такого вандализма наблюдался в 2003 г. (**ðàáë. 44, ô è à 4; ðèñ 35**).
2. Застройка территории памятника, его охранной зоны или его какая-либо специфическая эксплуатация с коммерческими целями. В настоящее время часть охранной зоны крестовского ГПП – северная часть подножья разреза, застроена гаражами и неоднократно возникала угроза инициативы полной застройки гаражными участками всего подножья памятника.



**Фиг. 35** Свежая браконьерная выемка песка в главной стенке памятника. Снимок сделан в 2003 г.

Сохранность имеющегося образца позволяет судить об особенностях трех оборотов фрагмакона, начиная с  $D=25$  мм и заканчивая  $D=75$  мм. Морфотип конечной жилой камеры неизвестен.

**Форма раковины.** Раковина умеренно-инволютная с высокоовальным поперечным сечением.

Наиболее высокое поперечное сечение свойственно молодым оборотам с  $D=30$  мм, при этом относительная высота  $B/W>1$ .

Изодиаметрическое поперечное сечение с  $B/W=1$  наступает на средних оборотах ( $D=60-70$  мм).

Форма поперечного сечения изменяется от высоко-

овальной с заостренными оборотами, до округло-овальной. Обороты сильно объемлющие, пупок ступенчатый.

**Скульптура.** Для молодых оборотов характерны частые, тонкие, двойные ребра, серповидно изогнутые в сторону устья. На половину оборота приходится 21-22 первичных ребра и 42-44 привентральных ребер. Коэффициент ветвления равен 2. Точка ветвления расположена в нижней трети оборота. На средних оборотах появляются бидихотомные ребра, чередующиеся с дихотомными. Они становятся грубее и расположены реже. Наиболее выраженным элементом скульптуры становятся припупковые ребра. С возрастом, на поздних средних оборотах, скульптура состоит из одних бидихотомных ребер. Они слажены на боковых сторонах и более рельефны в припупковой части.

**Сравнения.** От типового вида *P. polytomus* Koenen 1902 (taf. 46, fig. 3, 4) новый вид отличается более сглаженной скульптурой на средних оборотах и менее инволютной раковиной и простым бидихотомным ветвлением ребер.

Наибольшее сходство с описываемым видом имеет *P. hollwedensis* Kemper 1978 (taf. 1, fig. 1; taf. 2, fig. 1; taf. 1, fig. 1, 2). Последний обладает более рельефной скульптурой, состоящей из сложных бидихотомных ребер, переходящих иногда в тридихотомные, что отличает его от *P. aristovi*, имеющего только бидихотомные ребра.

**Замечания.** Голотип нового вида был найден в начале 1960-х гг. студентом ЯГПИ В. Полетаевой в основании пачки белых кварцевых песков. Это была первая находка аммонита в этих отложениях. В своей диссертации В. Н. Аристовым этот образец определяет новым видом как *Dichotomites jaroslawlensis* Arist. Им рассматриваются особенности его сохранности. Отмечается, что его вмещающая порода соответствует конкрекциям более рыхлого сливного песчаника, происходящим из базальных слоев песчаной кварцево-слюдистой толщи (слой 1 в настоящей работе). Эти наблюдения базируются на многолетних изучениях отложений Крестовского карьера в период его работы. На основании находки *Dichotomites* в этих слоях Аристовым проводится установление здесь зоны *Dichotomites bidichotomus*. Впоследствии вид *Dichotomites jaroslawlensis* Arist. не был опубликован по правилам МКЗН и не изображен, что делает его выделение не валидным. Интересно отметить, что в последующих многочисленных работах, посвященных стратиграфии нижнего мела в Крестовском карьере, упоминание о находке *Dichotomites* можно встретить только в первой и единственной публикации (Иванов, Аристов 1966). Впоследствии об этом образце, столь важном для корреляции отложений нижней песчаной пачки, почему-то не упоминается, как и о других находках полиптихитид (*Ringnesiceras*, здесь), найденных Аристовым и сохранившихся в геологических коллекциях ЯГПУ. Как известно, в дальнейшем отложения нижней песчаной пачки были отнесены к северо-сибирской зоне *Homolomites bojarkensis* нижнего горизонта, что, по вышерассмотренным причинам, не может быть принято. Первоначальная версия зональной индексации В. Н. Аристова, основывавшаяся на находке *Dichotomites*, оказалась более соответствующей вышеизложенным представлениям о корреляции вмещающих слоев с верхним валанжином Германии и Арктической Канады.

**Распространение.** Вид известен только из отложений Крестовского карьера (слой 1). Верхний валанжин, зона *Prodichotomites ivanovi*, слои с *Prodichotomites aristovi*.

За последнее время отмечаются неоднократные попытки частных лиц организовать на территории памятника спортивно-игровой комплекс (лыжную базу, трамплин и пр.). Подобные мероприятия представляют наиболее серьезную угрозу для данного ГПП, поскольку при их осуществлении могут привести к его полному уничтожению.

### І ї єñáí єâ àì ï îí єò íâ

Отряд AMMONITIDA

Семейство POLYPTYCHITIDAE

Spath 1924

Подрод *Prodichotomites* Kemper 1971

*Prodichotomites aristovi* Kiselev sp. nov.

Табл. 47, фиг. 1-3.

*Dichotomites jaroslawlensis*: Аристов 1965, с. 99-102, табл. 9, фиг. 1.

*Dichotomites jaroslawlensis*: Иванов, Аристов 1966, с. 1404.

Название вида по фамилии В. Н. Аристова.

Голотип. № К/1-1, ГМ им. А. Н. Иванова (ЯГПУ). Крестовский карьер, слой 1. Верхний валанжин, зона *Prodichotomites ivanovi*, слои с *Prodichotomites aristovi*.

**Описание.** Сохранность имеющегося образца позволяет судить об особенностях трех оборотов фрагмакона, начиная с  $D=25$  мм и заканчивая  $D=75$  мм. Морфотип конечной жилой камеры неизвестен.

**Форма раковины.** Раковина умеренно-инволютная с высокоовальным поперечным сечением. Наиболее высокое поперечное сечение свойственно молодым оборотам с  $D=30$  мм, при этом относительная высота  $B/W>1$ . Изодиаметрическое поперечное сечение с  $B/W=1$  наступает на средних оборотах ( $D=60-70$  мм). Форма поперечного сечения изменяется от высоко-

Материал. 1 экз. (голотип), представленный только фрагмоконом.

Объяснения к таблицам. ГПП «Крестовский карьер».

Таблица 43

- Ôèä. 1. Внешний вид главного обнажения Крестовского карьера. Большую часть разреза занимают белые кварцевые пески верхнего валанжина. Сверху они перекрываются ожелезненными песками нижнего готерива. Снимок сделан в 2003 г.
- Ôèä. 2. Трехмерное перспективное изображение территории, включающей Ярославско-Карабихскую моренную гряду (ЯКМГ) и долины рек Волги и Которосли в районе г. Ярославля. Символами показаны ГПП «Крестовский карьер» и его филиал Карабихский карьер. Вертикальный масштаб превышает горизонтальный в 33 раза.
- Ôèä. 3. Нижняя часть зоны *Pavlovites polyptychoides* нижнего готерива (слой 4) в главном обнажении. В основании зоны заметна выступающая конкреция фосфоритового песчаника, ниже которой начинаются кварцевые пески верхнего валанжина (слой 3). В верхней части слоя 4 наблюдаются глинистые и ожелезненные прослойки песка и песчаника, выступающие на выветрелом профиле. Снимок сделан в 2001 г.
- Ôèä. 4. Современный вид старого Крестовского карьера, ныне используемый как автодром. Снимок сделан в 2001 г.
- Ôèä. 5. Граница верхнего валанжина и нижнего готерива (слоев 3 и 4) в главном обнажении. В основании слоя 4 наблюдается одна из конкреций фосфоритового песчаника, образующих выраженный горизонт. Принято считать, что данный конкретионный горизонт отражает перерыв в осадконакоплении. Это предполагает отсутствие какой-то части верхневаланжинских или нижнеготеривских отложений между слоями 3 и 4, уничтоженных последующей трансгрессией. Снимок сделан в 2001 г.
- Ôèä. 6. Верхняя часть кварцевых песков верхнего валанжина и железистые пески нижнего готерива в главном обнажении. Снимок сделан в 2001 г.

Таблица 44

- Ôèä. 1. *Prodichotomites ivanovi* (Aristow). Голотип. Уменьшено в 5,3 раза.
- Ôèä. 2. Верхневаланжинские кварцевые пески (зона *Prodichotomites ivanovi*) в главном обнажении. Снимок сделан в 2001 г.
- Ôèä. 3. Верхняя часть зоны *Pavlovites polyptychoides* нижнего готерива (слой 5) в обнажении 2, расположенному около автопарка. Снимок сделан в 2003 г.
- Ôèä. 4. Нижняя часть пачки верхневаланжинских кварцевых песков (зона *Prodichotomites ivanovi*) в главном обнажении. В основании разреза видны две свежие выемки песка – проявление бытового вандализма. Снимок сделан в 2003 г.

Таблица 45

Окаменелости зоны *Pavlovites polyptychoides* нижнего готерива.  
На фоне: отложения зоны *Pavlovites polyptychoides* в главном обнажении.  
Все образцы из коллекции ГМ им. А. Н. Иванова (ЯГПУ)

- Ôèä. 1. *Pavlovites krestensis* Ivanov et Aristow.
- Ôèä. 2, 3. *Subspeetonicas inversiooides* (Aristow).
- Ôèä. 4. *Bathrotomaria* sp.
- Ôèä. 5. Конкреция рыхлого фосфоритового песчаника из основания зоны *Pavlovites polyptychoides* с многочисленными ядрами и отпечатками "*Serpula*" *tetragona* Sow.
- Ôèä. 6. Ядро раковины гастроподы ?*Pseudomelaniiidae* gen. et sp. ind.
- Ôèä. 7. Фрагмент ядра норы зарывающихся беспозвоночных («пескожилов»).
- Ôèä. 8. Ядро раковины двустворчатого моллюска *Pleuromya* aff. *peregrina* (Orb.).

Таблица 46

Аммониты верхнего валанжина  
(зона *Prodichotomites ivanovi*, слои с *P. ivanovi* и *Ringnesiceras* слоя 2)  
Все образцы из коллекции ГМ им. А. Н. Иванова (ЯГПУ)

- Ôèä. 1, 2. *Prodichotomites ivanovi* Aristow. Голотип. Из коллекции Ярославского Краеведческого Музея-заповедника. Уменьшено в 2,2 раза.
- Ôèä. 3-6. *Ringnesiceras* sp. aff. *amundense* Jeletzky. № K/2-1. Из коллекции ГМ им. А. Н. Иванова (ЯГПУ)
- Ôèä. 7, 8. *Ringnesiceras* sp. aff. *tozeri* Jeletzky. № K/2-2. Из коллекции ГМ им. А. Н. Иванова (ЯГПУ)

Таблица 47

Аммониты верхнего валанжина и нижнего готерива

- Ôèä. 1-3. *Prodichotomites aristovi* sp. nov. Голотип - № K/1-1. Из коллекции ГМ им. А. Н. Иванова (ЯГПУ). Верхний валанжин, зона *Prodichotomites ivanovi*, слои с *Prodichotomites aristovi*, слой 1.

Таблица 43

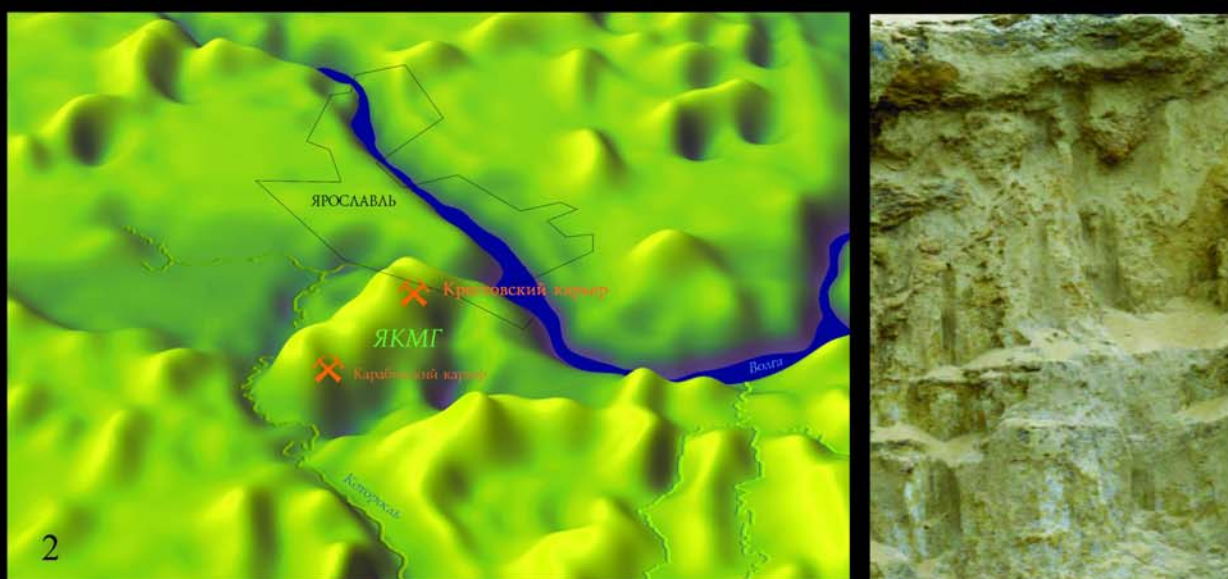


Таблица 44



2

1



3



4

Таблица 45



Таблица 46

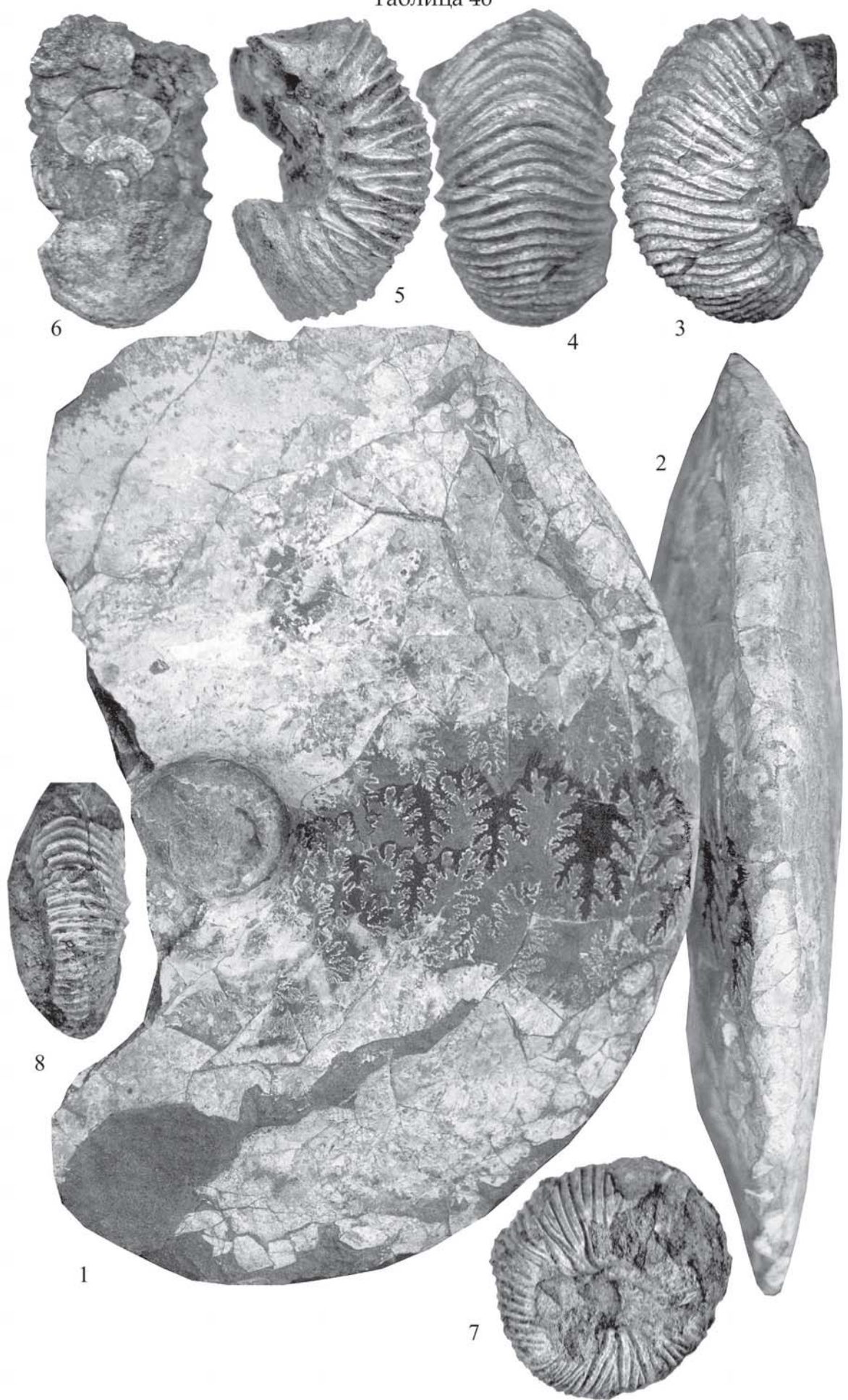
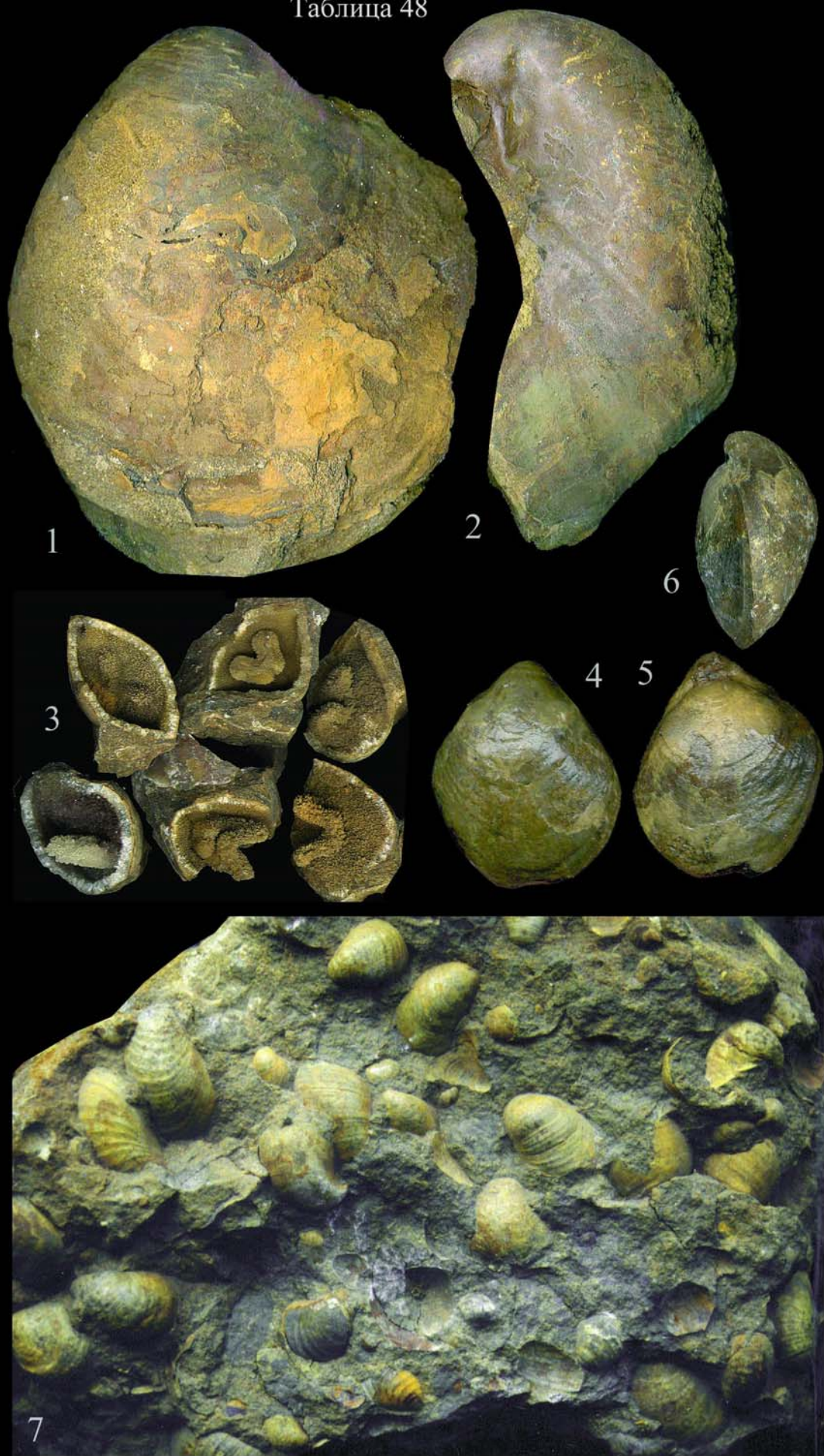


Таблица 47



Таблица 48



- Оèа. 4, 5. *Gorodzovia mosquitini* Ivanov et Aristow. Голотип. Из коллекции В. Н. Аристова. Нижний горерив, зона Pavlovites polyptychooides.
- Оèа. 6, 7. *Subspeetoniceras inversoides* (Aristow). Голотип. Из коллекции В. Н. Аристова. Нижний горерив, зона Pavlovites polyptychooides.
- Оèа. 8-10. *Subspeetoniceras subversicolor* (Aristow). Голотип. Из коллекции В. Н. Аристова (изображен в диссертации). Нижний горерив, зона Pavlovites polyptychooides.
- Оèа. 11. *Gorodzovia mosquitini* Ivanov et Aristow. Паратип. Из коллекции В. Н. Аристова. Нижний горерив, зона Pavlovites polyptychooides.
- Оèа. 12, 13. *Subspeetoniceras inversoides* (Aristow). Из коллекции В. Н. Аристова. Нижний горерив, зона Pavlovites polyptychooides.
- Оèа. 14, 15. *Pavlovites polyptychooides* (Aristow). Голотип. Из коллекции В. Н. Аристова. Нижний горерив, зона Pavlovites polyptychooides.

Таблица 48  
Все образцы из коллекции ГМ им. А. Н. Иванова (ЯГПУ)

- Оèа. 1, 2. *?Inoceramus* sp. Нижний горерив Карабихского карьера.
- Оèа. 3-6. Раковины брахиопод *Atelithyris crestensis* Smirn. На фиг. 3 показаны детали внутреннего строения: внутри раковины видны петли ручного аппарата (круп), покрытые щетками кальцита. Все из Крестовского карьера. Верхний валанжин, зона *Prodichotomites ivanovi*.
- Оèа. 7. Обломок плотного карбонатного песчаника со скоплением двустворок *Buchia crassicolis* (Keys.). Крестовский карьер. Верхний валанжин, зона *Prodichotomites ivanovi* (вероятно слой 1).

## І АËÂÎ ÂÂÎ ÂÐÀÔÈВ ВÐÎ ÑËÀÂÑÊÎ É Î ÁËÀÑÒÈ Â Р ÐÑÊÎ Â È Ì ÅËÎ ÂÎ Â ÂÐÅÌ В

В геологических памятниках юрской и меловой систем Ярославской области наблюдаются все отложения, характерные для данной территории, в том числе и те, что вскрываются скважинами на большой глубине. По этим ГПП можно проследить палеогеографическую историю Ярославской области на протяжении примерно 30 млн. лет с конца среднеюрской эпохи (келловейского века), включая позднеюрскую эпоху (оксфордский, кимериджский и волжский века) и раннемеловую (поздневолжское время, берриасский, валанжинский и гореривский века). Более ранние эпохи юры в Ярославской области не представлены отложениями. Очевидно, в ранне- и среднеюрское время (до келловейского века) на территории края осадконакопления не было и (или) происходил размыв.

Юрские и меловые отложения Ярославской области представлены разнообразными осадочными породами, содержащими множество характерных окаменелостей. Оба компонента отложений являются индикаторами самых разных условий, при которых они образовались, в том числе температуры, солености воды, глубины бассейна, гидродинамики, характера грунта и др. Поэтому по ним можно достаточно подробно реконструировать физико-географические условия территории в соответствующие эпохи юрского и мелового времени.

Рассматриваемые отложения состоят, в основном, из терригенных осадков, имеющих морское происхождение. Об этом неопровергнуто свидетельствуют как литологические, так и палеонтологические признаки осадков. В юрских отложениях часто встречаются минералы, которые образуются при более или менее высокой солености вод. К ним относятся глауконит, фосфорит и сульфиды железа (пирит и марказит). Глауконит, зеленоватый минерал, более характерен для кимериджских и волжских отложений. Фосфорит, образующий конкреции разнообразной формы, встречается в слоях всей верхней юры и нижнего мела. Пирит и марказит, в основном, обилен в келловейских и оксфордских отложениях.

Индикаторы нормальной солености существуют и среди различных животных, палеонтологические остатки которых нередко встречаются в мезозойских отложениях Ярославской области. К ним относятся головоногие моллюски, брахиоподы, иглокожие, кораллы, фораминиферы и др. Из них наиболее изучены и часто встречаются головоногие моллюски – аммониты и белемниты. Они занимали ведущие места средних и мелких хищников в экосистемах мезозойских морей от тропических до полярных вод и были весьма разнообразны. Аммониты были малоподвижными, в основном, планктонными животными (ðаáë. 49, ðèä. 4, 5), а белемниты, родственные современным кальмарам, наоборот, были нектонными быстро плавающими хищниками (ðаáë. 49, ðèä. 5). В ярославской юре аммониты и белемниты встречаются во всех отложениях, но в изобилии – начиная со среднего келловея. То же относится и к другим животным - индикаторам солености. Очевидно, нормально соленое море на территории Ярославской области появилось только в среднекелловейское время. В раннекелловейское время здесь, видимо, были развиты полупресные лагуны, в которых откладывались серые глины со слабо выраженными признаками морского осадконакопления (ГПП «Дмитриевка»).

В єâëëí ââéññé è áâë море затапливает большую часть территории Восточно-Европейской равнины. Оно занимало центральную часть равнины и получило название Среднерусского (Сазонова, Сазонов, 1967). Среднерусское море имело трехлучевую конфигурацию и соединялось с тремя крупными морскими палеокваториями: Арктическим, или Бореальным бассейном (на севере); океаном Тетис (на юге) и Европейским морем (на западе). Ярославская область приходилась как раз на среднюю часть моря, где смыкались все три рукава (ðаáë. 50, ðèä. 1). ТERRITORIA центральной части моря также находится на Костромскую, Нижегородскую, Рязанскую, Московскую области и на ряд прилегающих областей. Здесь соединялись теплые воды течений, приходившие с юга (Тетис) и юго-запада (Европейский бассейн) и холодные воды северных течений арктического происхождения. На месте стыка они создавали очень сложную (в пространстве) и динамичную (во времени), быстро меняющуюся среду, в которой накапливались разнообразные типы осадков. Эти течения были магистральными путями миграций многих пассивно передвигающихся организмов, в первую очередь планктона. Поэтому в юрское время в центре Среднерусского моря образуется очень разнообразная морская фауна, в которой встречаются представители как теплых, тропических морей, так и холодных, приполярных.

Ярославская область вступает в морской режим только во второй половине ðаáí í ââëëí ââéññé î áâë áâéññé (160-159 млн. лет) в fazu Proplanulites koenigi. Море размывает континентальные серые глины триаса и из них формирует свои собственные отложения. В это время образуются своеобразные серые глины, которые можно наблюдать только в ГПП «Дмитриевка». Ярославская область находилась вблизи береговой линии Среднерусского моря, и, судя по многим

признакам отложений, море здесь было очень мелким и, видимо, полуопресненным, в котором условия были неблагоприятными для нормального развития морской биоты. Об этом свидетельствует очень редкая встречаляемость любых окаменелостей, а также большинства типично морских минералов. Присутствие железистых оолитов (**ðàáë. 49, ô è ä 1**) в двух прослоях сидеритовых конкреций в нижней половине разреза у д. Дмитриевка дает основание предполагать существование в этом месте какого-то источника оксидов железа. Обычно такими источниками в прибрежных условиях являются устьевые части рек. Здесь, на стыке пресных и морских вод, создается особая окислительно-восстановительная среда, в которой происходит коагуляция – образование новых минералов и выпадение их в осадок. Наиболее вероятно, что нижнекелловейский бассейн в данном месте представлял систему полузамкнутых лагун, на выходе которых в нормально соленое море откладывались железистоолитовые породы.

В **ñðâäí â ê äëëí âåå** (159-158 млн. лет) ярославский сектор Среднерусского моря окончательно вступает в фазу режима нормально соленого моря. На дне моря откладываются темно-серые глины с обильными остатками типично морской фауны. Эти отложения обнажаются в ГПП «Переборы» и «Конюшино». В глинах часто встречаются пиритовые конкреции (**ðàáë. 49, ô è ä. 2**), и большинство окаменелостей также замещено пиритом. Это говорит об определенном «заражении» дна среднекелловейского моря сероводородом. Такие условия обычно создаются в более глубоководных или котловинных условиях в глинистых и илистых осадках при обильном разложении органики. Несомненно, среднекелловейское море было более глубоким, чем в раннем келловее, и на дне его также откладывалась глинистая взвесь. Однако сероводородное заражение не было сильным. Об этом свидетельствует высокое разнообразие донной фауны – бентоса, среди которой сравнительно много видов беспозвоночных, предпочитающих чистые, подвижные и обогащенные кислородом воды. Это разнообразные планктоноядные незарывающиеся формы – фильтраторы (50% бентоса), представленные двустворчатыми моллюсками и брахиоподами (**ðàáë. 50, ô è ä. 4**). Обилие среди бентоса особых прикрепляющихся двустворок (*Grammatodon*) и растительноядных брюхоногих моллюсков (*Bathrotomaria* и видов семейства *Rissoidae*) говорит о развитии на дне среднекелловейского моря довольно богатой растительности (водоросли). Все эти признаки свидетельствуют о существовании в море придонных течений, которые “проветривали” глубинные воды от сероводорода. Это подтверждают и другие признаки отложений (отсутствие слоистости в серых глинах, определенная ориентированность продолговатых раковин, в первую очередь белемнитов и др.).

Фаунистические остатки среднекелловейских отложений Ярославской области содержат особенно богатый комплекс пелагических организмов – обитателей открытых вод. В основном это хищные группы разных размерных классов (**ðàáë. 49, ô è ä. 5**). К среднему и мелкому размерному классу принадлежали аммониты и белемниты. В ГПП «Переборы» и «Конюшино» особенно часто встречаются массовые скопления ростров белемнитов, отсортированных по размерам. По этим признакам можно предполагать, что белемниты, как и современные кальмары, охотились стаями и могли погибать совместно после нереста. Крупный размерный класс в келловейском море занимали рептилии. Их разрозненные остатки нередко можно встретить в ГПП «Переборы». В основном это позвонки ихтиозавров, но изредка встречаются и остатки самых крупных морских рептилий – плиозавров. Обилие пелагических элементов в среднекелловейской фауне рассматриваемой территории может означать, что море в ярославском регионе было относительно глубже, чем в других частях центра Среднерусского моря. Но глубина моря, видимо, не достигала глубже 100-150 м – нижнего предела существования фотосинтезирующих водорослей, которые, судя по высокой численности остатков растительноядных моллюсков, образовывали донные водорослевые сообщества.

По распространению планктонных организмов, мигрировавших из различных акваторий, в первую очередь аммонитов, можно достаточно подробно расшифровать особенности гидродинамики юрских морей, в том числе структуру течений, примерную температуру воды и тип водной массы. Среди среднекелловейских аммонитов в разных частях Среднерусского моря наблюдается значительная примесь южных теплолюбивых элементов, что свидетельствует об общем потеплении вод бассейна. Главными путями распространения аммонитов были течения, среди которых в Среднерусском море прослеживаются как холодные, так и теплые (**ðàáë. 50, ô è ä. 1**). Ярославская область, вероятно, омывалась ветвью холодного течения, выходившего из Печорского рукава Среднерусского моря, обединяя фаунистические сообщества теплолюбивыми видами. Однако в целом температура поверхностных вод центра Среднерусского моря была достаточно высокой – 21-23°C, что характерно для современных тропических и субтропических морских водных масс (Киселев, 1998; в печати). Для Ярославской области это значение оценивается приблизительно в 22°C. Придонные воды были заметно более холодными, о чем свидетельствует низкая известковистость глин.

На протяжении **ï í çáí âåâ ê äëëí âåé ñéí âå** времени (158-157 млн. лет) вплоть до начала **í ê ñô í ðäñéí âåâë à** (157-156 млн. лет) на территории Ярославской области сохраняется аналогичная морская обстановка. В это время накапливаются тот же тип отложений, что и в среднем келловее – темно-серые неслоистые глины с пиритовыми конкрециями (ГПП «Иода», «Переборы»). Умеренно-глубоководный режим бассейна сохраняется. В конце ранне оксфордского времени (**âðâí ù Nardioceras cordatum**) морская обстановка начинает изменяться, что сказывается и на изменении отложений. В это время формируются пепельно-серые известковистые неслоистые глины с мелкими фосфоритовыми конкрециями гороховидной или ореховидной формы (ГПП «Иода»). Повышение известковистости морских отложений свидетельствует, что они были образованы при более высокой температуре воды, чем в предыдущие эпохи, а появление фосфоритов, формирующихся в контрастных и изменчивых условиях морской среды – об обмелении бассейна. Вероятно, в конце раннего оксфорда начинается обмеление ярославского участка Среднерусского моря и донные осадки формируются уже в условиях приповерхностных вод (до 20 м), температура которых оценивается в 22,5-23°C.

Обмеление моря на ярославской территории продолжается и в **ñðâäí â ê ñô í ðäñéí â âðâí ý** (156-155 млн. лет) в связи с появлением местных тектонических поднятий – Ростовско-Костромских и Приволжских (**ðàáë. 50, ô è ä. 3**). Это приводит к накоплению своеобразной желтовато-зеленовато-серой мергелистой породы, переполненной фосфоритами, зернами глауконита и примазками лимонита (ГПП «Иода»). Такая совокупность минералов обычно образуется в водах, насыщенных кислородом, и при частой смене окислительно-восстановительных обстановок, что характерно для особенно мелководных условий (около 5-15 м), где проявляется ветроволновая деятельность моря. Мелководность среднеоксфордского моря подтверждается и особенностями ископаемой фауны. В донной фауне отсутствуют зарывающиеся формы, и бентос представлен, в основном, фильтрующими беспозвоночными (88%) – двустворками, брахиоподами, морскими лилиями и полихетами, из которых более 50% видов были прикрепляющимися и предпочитающими плотные грунты (**ðàáë. 52, ô è ä. 6**). Среди них особенно часто в отложениях встречаются остатки гигантских морских лилий рода *Acrochordocrinus*. В среднеоксфордском море на ярославской территории морские лилии, видимо, образовывали особенно густые поселения. После смерти их скелет распадался на крупные известковые членики, которые в определенной мере меняли свойства грунта и делали его более плотным. Отложения с такими свойствами напоминают палеозойские осадки типа “хард граунд”, в образовании которых первейшее участие принимали иглокожие (Рожнов, 1998; Невеская, 1998). На таких осадках формируется особый биоценоз, состоящий из прикрепленных организмов. Очевидно, в среднем оксфорде донный биоценоз формируется как сообщество хард-граунда. Это создало благоприятные условия для развития бентосной фауны, которая отличается самым высоким видовым разнообразием для всего келловея и оксфорда

ярославской территории. То же относится и к планктонным пелагическим беспозвоночным – аммонитам (более 25 видов). Среди них много теплолюбивых форм, мигрировавших из Европы и Тетиса (роды *Perisphinctes* и *Aspidoceras* и др.). Очевидно, в среднеоксфордское время происходило некоторое потепление вод в Среднерусском море, что обусловило в нем, наряду с обмелением, высокое разнообразие и процветание морской биоты. Температура вод ярославской акватории, предположительно, была несколько ниже (21,5 °C), чем в соседних районах, из-за влияния холодного северного течения.

Обмеление моря в ярославском секторе Среднерусского моря, вероятно, закончилось кратковременным осушением территории. Это произошло в самом начале позднеоксфордского времени в 6 а́сб Атоебосерас иловайскii. Отложения этого времени на большей части Ярославской области перемыты, но лучше сохранились в Костромской области, где продолжал существовать нормально-морской режим. На ярославской территории нормально открытое море снова появляется в 6 а́сб а́тэйдэйи 6аáи (155-154 млн. лет) в фазу Атоебосерас alternoides. В это время откладываются осадки, совсем непохожие на среднеоксфордские: черные, напоминающие деготь, глины, тонкослоистые, с конкрециями пирита и чешуйками слюды (ГПП «Иода» и «Конюшино»). Тонкая слоистость глин – признак спокойного осадконакопления. Подобная текстура глин возникает в мелководных осадках водоемов со слабой или вообще «мертвой» гидродинамикой. В этих условиях накапливается тонкодисперсный ил с примесью глинистых частиц, причем чаще всего в бескислородной, восстановительной обстановке. О дефиците кислорода при образовании глин свидетельствует обилие пирита и черный цвет глин, появление которого объясняется переполнением осадка аморфными сульфидами железа (до 20% массы осадка). По сравнению с серыми глинами среднего келловея преобладание сульфидных минералов в верхнеоксфордских глинах очевидно. Главной причиной пиритизации глин является сильное сероводородное заражение первичного донного осадка. Однако заражение, видимо, захватывало только сам осадок, но не проникало в придонный слой воды. Об этом говорит частая встречаемость и весьма высокое разнообразие донной фауны в комплексе окаменелостей из черных глин. Среди них господствуют виды, приспособленные к обитанию на мягких грунтах. Это зарывающиеся (72%) и ползающие (85%) формы, из которых также большинство являются дехтиофагами (илюдными организмами) (более 50%). В основном это мелкие беспозвоночные с хрупкой изящной раковиной: разнообразные брюхоногие, лопатоногие моллюски и рядозубые двустворчатые (6аáи. 50, 6аáи. 5). Они составляют типичное бентосное сообщество жидких илов. Но наряду с ними присутствуют также особые прикрепляющиеся двустворчатки *Grammatodon* и растительноядные брюхоногие, что свидетельствует о существовании на дне позднеоксфордского моря водорослевых сообществ.

В целом для Среднерусского моря позднего оксфорда, по сравнению со средним оксфордом, характерно резкое понижение видового разнообразия фауны. Сокращение видов затронуло, главным образом, фораминиферы (для ярославского сектора моря) и аммонитов. Среди аммонитов исчезли теплолюбивые формы, выходцы из районов, прилегающих к океану Тетис. Это позволяет допускать понижение водных температур в центральной и северной частях моря, прилегающих к Арктическому бассейну. Предположительное охлаждение вод Среднерусского моря можно объяснить усилением стока холодных вод с севера (6аáи. 50, 6аáи. 2). Судя по распределению аммонитов, фарватер холодного течения проходил в восточной части моря и захватывал придонные воды. На территории Ярославской области предполагается существование теплого течения, которое, видимо, выходило с юга, из Приднепровского рукава Среднерусского моря, прижалось к западному его берегу и затем опять поворачивало на юг, но уже в Прикаспийскую часть моря. Его температура приблизительно оценивается в 19,5-20°C (Киселев, в печати). Для современных вод мирового океана изотерма с этой температурой является границей распространения рифообразующих кораллов и условной термической границей между тропическими и субтропическими водными массами.

Аналогичный морской режим сохраняется и в 6аáи 1 а́еэи 6аéи а́еэи 6аáи ў (154-153 млн. лет). На дне моря накапливались черные глинистые илы, обогащенные органикой, которые со временем превратились в черные пиритизированные глины (ГПП «Акулинское», «Михалево»). В конце 6 а́сб а́тэи 6аéи а́еэи 6аáи (153-151 млн. лет) море временно отступает во многих районах Среднерусского моря. За исключением некоторых спорных данных, в Ярославской области верхнекимериджские отложения не известны. Вероятно, они существовали, но подверглись перемыву волжское время. На это указывают остатки отложений верхнего кимериджа, которые иногда встречаются в самом основании волжских отложений. Это черные глянцевые фосфоритовые гальки, в которых изредка можно найти позднекимериджских аммонитов (ГПП «Ивановское»).

В 6 а́еэи 6аéи 6аáи (151-145 млн. лет) Ярославская область в очередной раз оказывается затопленной водами эпиконтинентального моря. Среднерусское море в целом значительно сократилось в размерах и представляло систему из трех сходящихся в центре вытянутых и узких бассейнов, более напоминавших проливы (6аáи. 52, 6аáи. 1). Ярославская область находилась на севере Приднепровской ветви, почти на стыке трех бассейнов. Во второй половине волжского века обмеление моря приводит к изоляции бассейнов, и они приобретают облик заливов.

Волжское время откладывались совсем другие осадки, чем в келловейский, оксфордский и кимериджский века. Это грубозернистые породы - пески и песчаники, зачастую косослоистые, насыщенные оксидами железа, с фосфоритовыми конкрециями и глауконитом (ГПП «Глебово», «Ивановское», «Бабурин», «Сутка», «Сельцо-Воскресенское»). Все эти особенности отложений определенно свидетельствуют о том, что море на территории Ярославской области было мелководным, причем дно находилось под заметным влиянием ветровых волн, в т. ч. и штормовых. На это указывает частое появление косой слоистости в отложениях, а также обилие штормовых осадков, или темпеститов, в данном случае крупных фосфоритовых стяжений, переполненных разнообразной фауной. Энергичная ветроволновая деятельность в море обогащала воды кислородом, вследствие чего породы оказались насыщены оксидом железа - лимонитом, и создавала весьма непостоянную среду - благоприятные условия для образования фосфоритов и глауконита.

Периодически море отступало, что сопровождалось незначительным перемывом ранее накопленных осадков и образованием пляжных отложений. Последние представляют конгломерат из фосфоритовых конкреций, зачастую сцепленных лимонитом. При размыте песков с фосфоритами легкие песчаные частицы уносились водой, а тяжелые фосфориты оставались на месте и образовывали пляжную «мостовую». В основании фосфоритового конгломерата обычно наблюдаются плотные скопления ожелезненных нор десятиногих раков *Callianassidae* (ГПП «Глебово»), современные представители которых являются характерными обитателями литорали (6аáи. 51, 6аáи. 1).

Особенности мелководной обстановки волжского моря создали весьма благоприятные условия для существования морской биоты. Донная фауна исключительно разнообразна – около 70 видов макроскопических беспозвоночных – рекордная отметка для всей юры. Это более чем в 4 раза больше, нежели в келловее или оксфорде. Около 50 % видов (80-90% особей) бентоса занимают фильтрующие организмы – двустворчатые, брахиоподы, мшанки, губки, полихеты, криноиди. Остальную половину занимают дехтиофаги (собиратели) и всеядные формы – брюхоногие и лопатоногие моллюски, ракообразные и морские ежи. 76% бентоса представлено незарывающимися формами и 70% - подвижными (6аáи. 52, 6аáи. 7). Подобные особенности свойственны мелководным морским биоценозам, существующим в условиях моря с интенсивной ветроволновой гидродинамикой, воды которого хорошо насыщены кислородом.

Пелагическая фауна (**ðàáë. 51, ð è ä. 5**) также разнообразна на всех этажах пищевой пирамиды: аммониты (до 10-13 видов для отдельных интервалов времени), белемниты и другие декаподы (7-8 видов), акулы (1-2 вида) и пресмыкающиеся (8-9 видов). Последние представлены классическими типами мезозойских морских рептилий (характерно для ГПП «Глебово»): ихтиозавры (1-2 вида), длинношейные плезиозавры (2-4 вида) и плиозавры (1-2 вида). Такое разнообразие хищников объясняется, видимо, как преимуществами прибрежной среды обитания (в особенности для длинношейных плезиозавров, которые, вероятно, экологически близки современным тюленям), так и разнообразием остальной фауны, образовывавшей сложные цепи питания.

Все вышеперечисленные особенности Ярославского бассейна в волжское время были характерны только для краевой, прибрежной его части. Отложения данной зоны моря наблюдаются в ГПП «Глебово» и «Бабурине». В открытом море ярославского бассейна, чуть южнее, в волжский век (начиная со времени *Virgatites virgatus*) формировались несколько иные осадки. Это черные фосфоритовые песчаники (**ðàáë. 51, ð è ä. 4**), местами плитообразные (ГПП «Ивановское-Михалево»). Они часто переполнены остатками пелагической фауны, в основном рострами белемнитов, и почти не содержат остатков бентосных организмов. Из последних найдено только 2 вида (двусторчатый моллюск и губка). Обилие фосфорита в породе свидетельствует, что данные отложения были образованы в условиях обильного разложения органики. Очевидно, вблизи дна были созданы восстановительные условия, неблагоприятные для нормального существования донной фауны. Захоронялись только пелагические организмы, при жизни обитавшие выше бескислородного слоя воды, а после смерти падавшие на дно. Описанные условия более характерны для умеренно-глубоких котловин средней части шельфового моря, в которых присутствует застойный гидродинамический режим.

В конце поздневолжского и к началу берриасского времени Среднерусское море покидает большую часть Русской платформы. Оно теряет связь с Польским морем на западе и (в начале рязанского века) с Арктическим бассейном на севере. Сохраняется лишь более или менее постоянная связь с тропическим океаном Тетис через Прикаспийский рукав на юго-востоке (Сазонов, Сазонова, 1967; Сазонова, 1977). В итоге Среднерусское море изменяет свою трехлучевую форму, столь характерную для юрского времени, и принимает вид вытянутого на северо-запад полузамкнутого бассейна. Его северные границы располагались в районе Ярославского Поволжья. Периодически море могло соединяться с Арктическим бассейном и принимать мигрантов из другой биохории (**ðàáë. 52, ð è ä. 2**). Оно было мелководным практически повсеместно, что выражалось в накоплении характерных осадков на всей его территории. Это крупнозернистые отложения, преимущественно пески и песчаники, а в районе береговой линии – гравелиты. В Ярославской области **âðâì áí è Volgidiscus singularis** è **ðýçáï ñéï ò áâèò** (145 млн. лет) соответствуют отложениям в верховых р. Черемухи (ГПП «Сельцо-Воскресенское»). Песчано-гравелистые осадки накапливались в условиях заметной волноприбойной деятельности, что отразилось в появлении выраженной косой слоистости (**ðàáë. 52, ð è ä. 4**).

Мелководный бассейн, особенно в районе береговой линии, был крайне чувствителен к вертикальным движениям Русской платформы, поэтому при даже незначительных колебаниях её поверхности море могло сильно менять свои очертания, покидая значительные территории. Обмеление моря в районе Ярославской области заметно отразилось в постепенном увеличении зернистости осадков, от среднезернистых горизонтальнослоистых песков до косослоистых, сильно ожелезненных гравелитов в трансгрессивной серии осадков разреза ГПП «Сельцо-Воскресенское». Постепенно мелководный морской водоем (очевидно, верхняя сублитораль), пригодный для обитания морской фауны (головоногих, брахиопод, двусторчатых моллюсков) переходит в состояние приливно-отливной зоны (литорали) или даже пляжной зоны (супралиторали). Позднее территория испытывает осушение.

При столь неустойчивом состоянии Среднерусского моря и колебательном режиме Русской платформы на границе волжского и берриасского времени образовывались отложения, имевшие небольшую мощность. При последующих трансгрессиях они почти полностью перемывались и сохранились в немногих районах. В частности, отложения времени *Volgidiscus singularis* вообще неизвестны за пределами Ярославской области на Русской платформе, что делает ГПП «Сельцо-Воскресенское» важнейшим геологическим объектом.

Изменение конфигурации Среднерусского моря и рельефа Русской платформы отразилось и на характере речной сети Балтийской суши, поставлявшей осадочный материал в морской бассейн. Об этом можно судить по минералогическому составу песков времени *Volgidiscus singularis*. В отличие от ранее образованных волжских осадков, в песках ГПП «Сельцо-Воскресенское» наблюдается обильная примесь красновато-коричневых кремневых частиц. На западе Русской платформы отложения с кремневыми конкрециями имеют, в основном, каменноугольный возраст и обнажаются в районе современной Валдайской возвышенности. Последняя имеет доюрский возраст и могла служить питающим источником сноса в юрско-меловое время. Дополнительно в районе Верхнего Поволжья уже в карбоне появилась несколько местных тектонических поднятий (Боровичско-Сандовские поднятия, по Кузьменко, 1971), которые также могли быть местными источниками сноса.

В середине берриасского века (**ð àçä Surites spasskensis**, 140 млн. лет) Русская платформа испытывает очередную трансгрессию. С этого времени по ранний валанжин Среднерусское море опять принимает трехлучевую форму (**ðàáë. 52, ð è ä. 3**) и сообщается с Арктическим, Тетиическим и Европейским бассейнами (Сазонова, 1977). Связь с Европейским бассейном (через Брестский пролив, Барабашкин, 2003) была непродолжительной, поэтому предполагается, что в основном Среднерусское море сообщалось с Арктическим и Тетиическим бассейнами (там же). В ярославской акватории берриасского и ранневаланжинского времени накапливаются преимущественно глауконитовые пески с фосфоритами, образованные в условиях верхней сублиторали или в полуопресненных лагунах. Об этом свидетельствуют весьма редкие находки морской фауны – аммонитов, белемнитов, донных беспозвоночных (в основном, брюхоногих и двусторчатых моллюсков).

В начале **ї î çäî áâàë äèí ñéï áí** (**ðàáë. 52, ð è ä. 3, 4**) (131 млн. лет) на территории Ярославского Поволжья наступает очередная регрессия, которая сменяется новым наступлением моря в конце валанжина. В связи с этим в районе рыбинского тектонического купола, образовавшегося в юре, раннемеловые, допоздневаланжинские морские осадки почти полностью перемываются. В результате образуется конгломерат из поздневолжских, берриасских и валанжинских фосфоритов, наблюдающийся в ГПП «Глебово» и «Сутка». Механизм его образования совершенно аналогичен таковому средневолжского фосфоритового конгломерата (ГПП «Глебово»). Он, вероятно, образован в волноприбойной зоне литорали или супралиторали, в зоне обитания роющих десятиногих раков из семейства *Callianassidae*. Поэтому нередко можно наблюдать подстилание валанжинского фосфоритового конгломерата песчаными отложениями, переполненными вертикальными ядрами нор. Как правило, норы раков не достигают длины более полуметра, однако иногда среди них встречаются также вертикальные образования, по форме напоминающие нору, но длиной до 4 м (ГПП «Глебово»). Поэтому они пронизывают и более древние, средневолжские, осадки (**ðàáë. 52, ð è ä. 3, 4**). Происхождение этих гигантских образований не совсем понятно, но их размещение в слоях, без сомнения, приурочено к литоральным отложениям. Столь невероятные размеры «норы» наталкивает на предположение, что она принадлежит к современным образованиям, возможно, связанным с деятельностью человека (следы бурения и пр.). Однако его изучение подтвердило предположение, что оно сингенетично по происхождению горизонту раковых нор и фосфоритовому конгломерату. На это указывают следующие наблюдения: 1) над «норой» вышележащие меловые отложения совершенно не нарушены; 2) соседние вертикальные и субвертикальные ядра раковых нор не разрушены и часто пронизывают «нору» или даже обтекают ее по форме;

3) песчаник, слагающий ядро «норы», сильно ожелезнен, так же как и ядра мелких нор, и имеет скорлуповатое строение с вертикальным центром.

В поздневаланжинское время (*ô àçà Prodichotomites ivanovi*) в ярославской акватории море становится относительно глубоким и откладывает горизонтальнослоистые мелковзернистые пески с глинистыми прослойками (ГПП «Крестовский карьер», «Глебово», «Сутка», «Васильки»). Вероятно, эти отложения соответствуют осадкам сублиторали. Они почти не содержат окаменелостей, что свидетельствует о своеобразии морского режима. Возможно, вблизи береговой линии воды были несколько опресненными. Нормально морская фауна отмечена в ГПП «Крестовский карьер», отложения которого были образованы, предположительно, в более южной, открытой, части моря. Здесь присутствовал разнообразный бентос (брахиоподы, двустворчатые, лопатоногие, брюхоногие, серпулиды) и пелагические организмы – аммониты и белемниты.

В раннеготеривское время (*ô àçà Pavlovites polyptychoides*, 130 млн. лет) море становится более мелководным, что приводит к образованию косослоистых крупновзернистых сильно ожелезненных песков (ГПП «Крестовский карьер»). Первые два признака указывают на присутствие активной гидродинамики. В песках наблюдаются многочисленные переплетающиеся ядра нор пескожилов, современные представители которых образуют поселения в литоральной зоне. Раннеготеривское море обладало нормально-морской фауной, в котором доминировал тот же набор организмов, что и в валанжине.

В конце раннего готерива территория Ярославской области осушается. Более поздняя трангрессия её затрагивает, предположительно, в барреме. Осадки этого времени в настоящее время не обнажаются ни в одном ГПП. Они вообще являются практически, не изученными, поэтому эта часть геологической истории Ярославской области здесь не рассматривается.

#### Объяснение к таблицам

Таблица 49

**Ôèä. 1.** Обломок конкреции фосфатизированного сидерита, насыщенного железистыми оолитами. В конкреции виден отпечаток аммонита *Pseudocadoceras (Pseudocadoceras) boreale* Buckm. ГПП «Дмитриевка». Нижний келловей, зона Proplanulites koenigi.

**Ôèä. 2.** Конкреция крупнокристаллического пирита из серых глин среднего келловея ГПП «Переборы».

**Ôèä. 3.** Скопление фаунистических остатков в конкреции фосфатизированного мергеля. Средний келловей ГПП «Конюшино». Среди окаменелостей преобладают двустворчатые моллюски и белемниты.

**Ôèä. 4.** Реконструкция внешнего вида келловейских аммонитов родов *Cadoceras* (вид *C. milaschevici* (Nik.), слева) и *Pseudocadoceras* (справа). Оба экземпляра показаны в момент завершения индивидуального развития. Существуют весьма обоснованные предположения, позволяющие считать, что эти обе формы являются половыми диморфами. Они отличаются конечными размерами, и рядом других морфологических признаков, но встречаются в одних и тех же слоях. В соответствии с гипотезой полового диморфизма, род *Cadoceras*, обладавший крупными размерами (макроконхи), относится к самкам, а род *Pseudocadoceras* (микроконхи) – к самцам. Автор рисунка Д. Н. Киселев.

**Ôèä. 5.** Реконструкция обстановки морского бассейна на территории Ярославской области для среднекелловейского времени. На изображении показаны следующие представители морской фауны этого времени (обозначены цифрами): 1 – короткошейный плезиозавр *Liopleurodon*; 2 – макроконховый аммонит *Cadoceras milaschevici*; 3 – микроконховые аммониты рода *Pseudocadoceras*; 4 – белемниты рода *Cylindroteuthis* – крупные стайные головоногие с длинными пропорциями ростра, предположительно обитавшие в толще воды и бывшие хорошиими пловцами; 5 – белемниты рода *Lagonibelus*, обладавшие рострами с более короткими пропорциями, и, возможно, обитавшие вблизи дна; 6- Сеносерас – головоногие из группы наутилид, обитавшие, как и современный *Nautilus*, вблизи дна; 7 – безростровые теутиды. Автор рисунка Д. Н. Киселев.

Таблица 50

**Ôèä. 1, 2.** Границы суши и моря на Русской платформе в среднекелловейское (фиг. 1) и позднеоксфордское время (фиг. 2) и палеотемпературная реконструкция Среднерусского моря. Границы Ярославской области обозначены красным контуром. Цветной заливкой показано распределение относительных палеотемператур водных масс. На шкале помещены значения относительных палеотемператур (справа) и, соответствующих им, абсолютных, в градусах Цельсия (слева). Красными и синими стрелками обозначены траектории теплых и холодных палеотечений. Обе картины построены по методике реконструкций относительных палеотемператур на основе изучения пространственного распределения аммонитов (Киселев, 1998; в печати; Kiselev, 2003). По сравнению со средним келловеем, в позднем оксфорде наблюдается общее похолодание водных масс. Ярославская акватория всегда находилась в области вблизиберегового теплого течения, шедшего из более южной Приднепровской акватории.

**Ôèä. 3.** Палеогеографическая реконструкция территории Верхнего Поволжья в среднеоксфордское время (составлено на основе схемы 2 из Баранов, 1971). Многочисленные тектонические поднятия, появившиеся в конце келловея- в начале оксфорда (обозначены цифрами) способствовали обмелению Ярославской акватории, что, наряду с потеплением водных масс, способствовало накоплению здесь своеобразных зеленоватых доломитизированных мергелей (ареал их распространения показан зеленой линией) и развитию сообществ, напоминающих биоценозы хардграунда. Зелеными точками обозначены современные обнажения доломитизированных мергелей с окаменелостями: Иода – ГПП «Иода»; Сол – обнажение на р. Солонице; Сен – обнажение на р. Сендерге; Нав – обнажение на р. Волге у г. Наволоки. Тектонические поднятия (по Кузьменко, 1971): 1- Ильинская; 2 – Гаврилов-Ямская; 3 – Большесольское; 4 – Костромское; 5 – Южнокостромское; 6 – Арменковское; 7 – Тейковское; 8 – Решминское; 9 – Деменьтьевское; 10- Вичугское; 11 – Кондобинское.

**Ôèä. 4, 5.** Соотношение экологических групп (по количеству видов, в процентах) донных беспозвоночных в оректоценозах келловея и позднего оксфорда Ярославской области. В.у., с.у. и н.у. - верхний, средний и нижний уровни донного осадка, служившие зоной обитания для донных беспозвоночных.

Таблица 51

Таблица 49

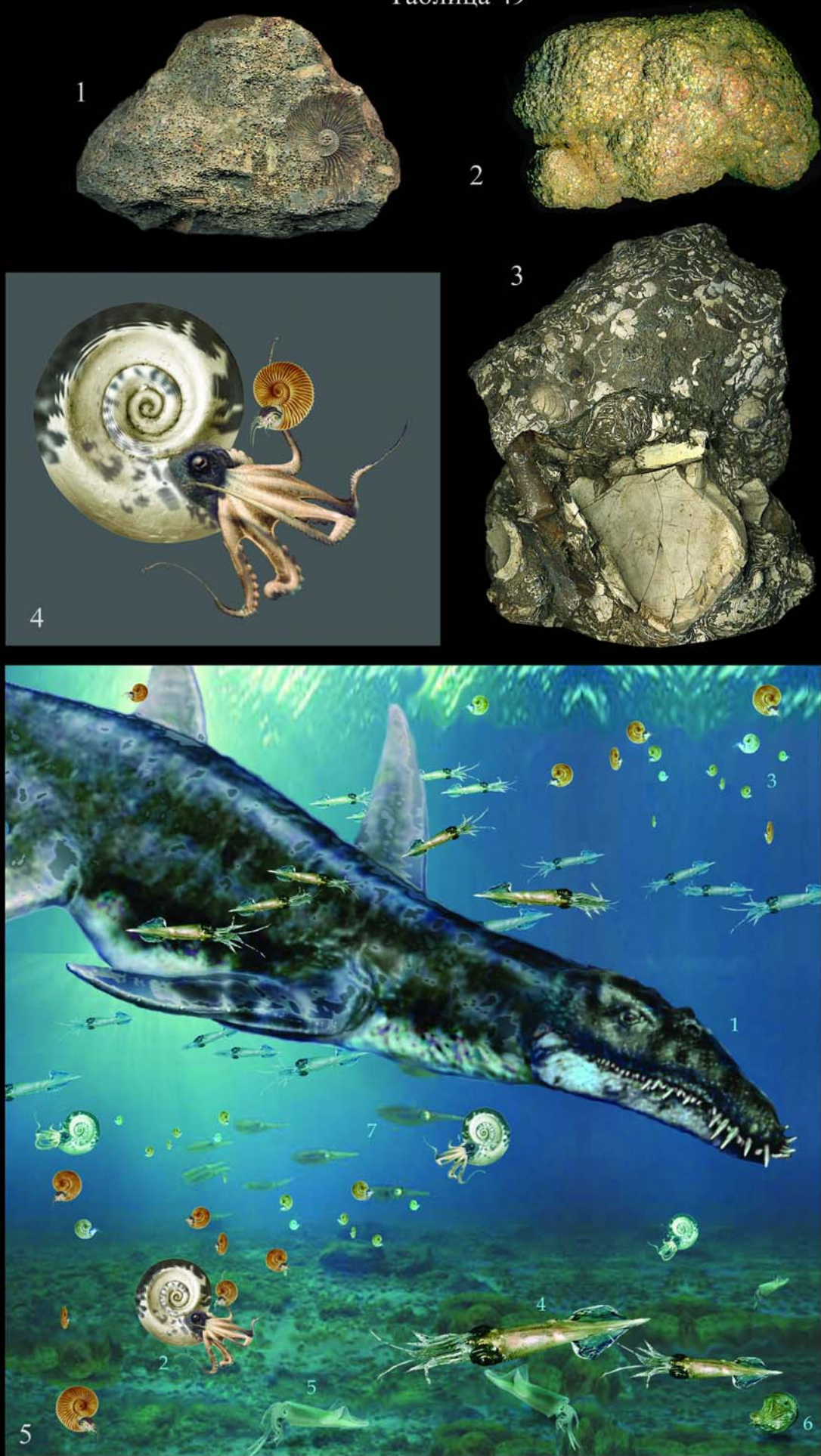


Таблица 50

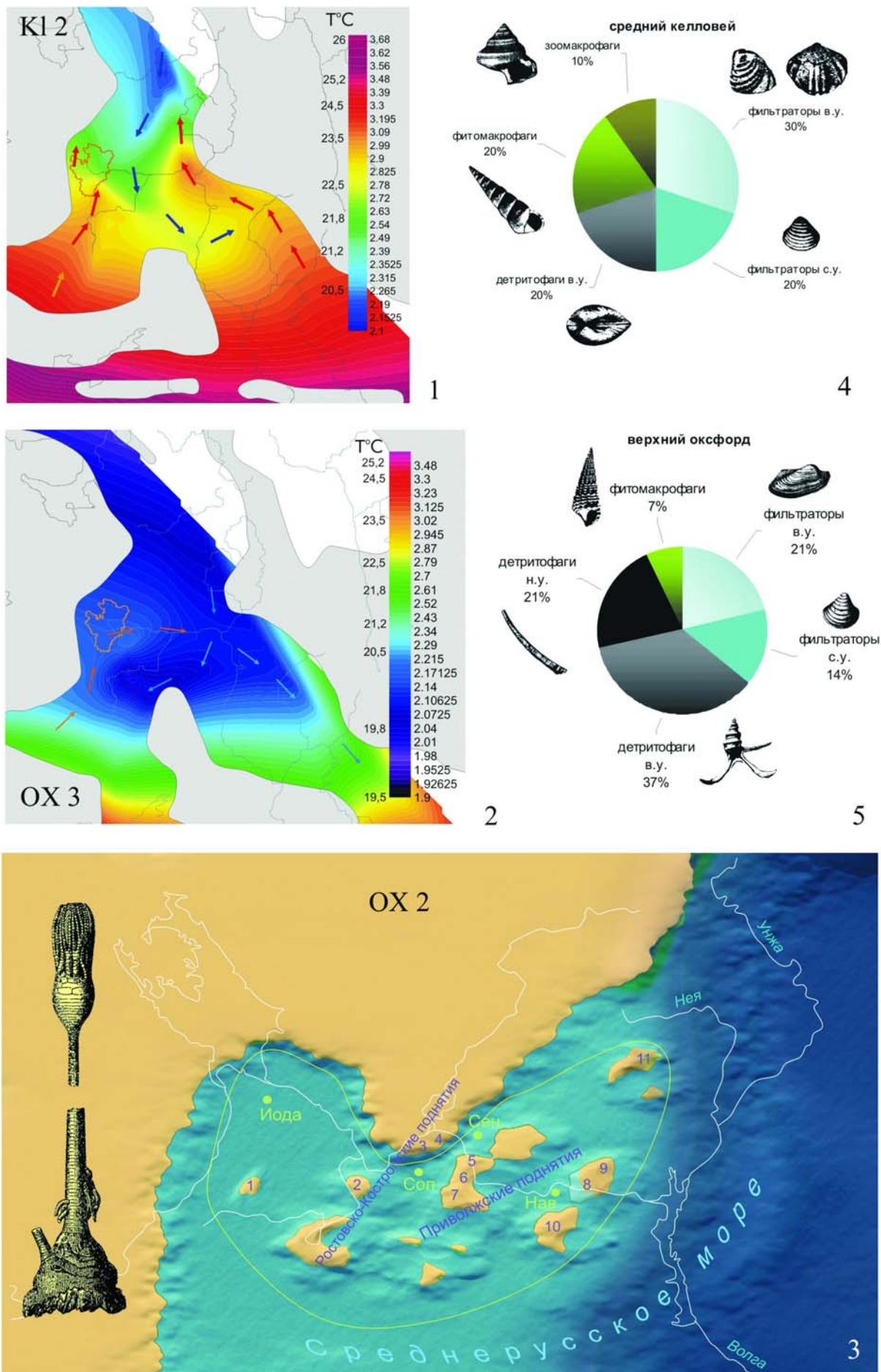
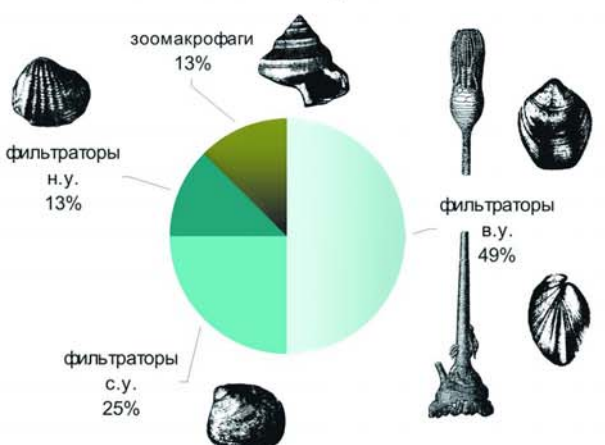
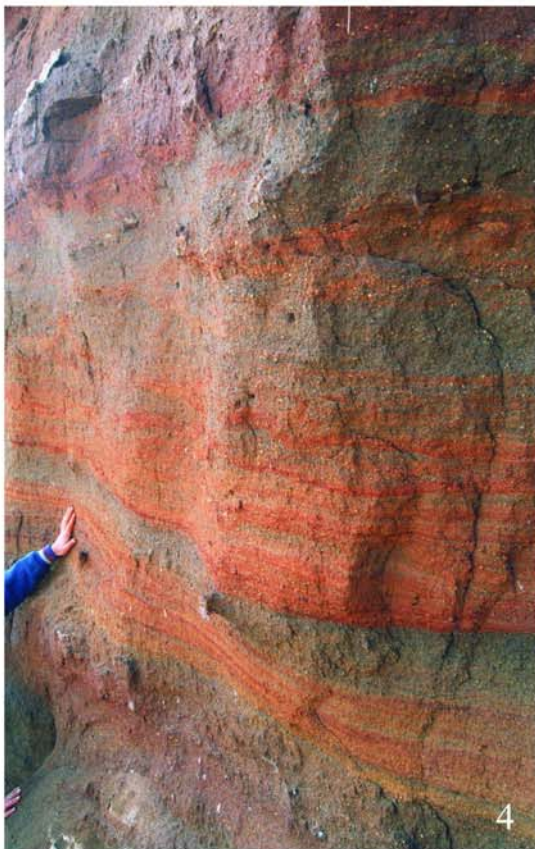
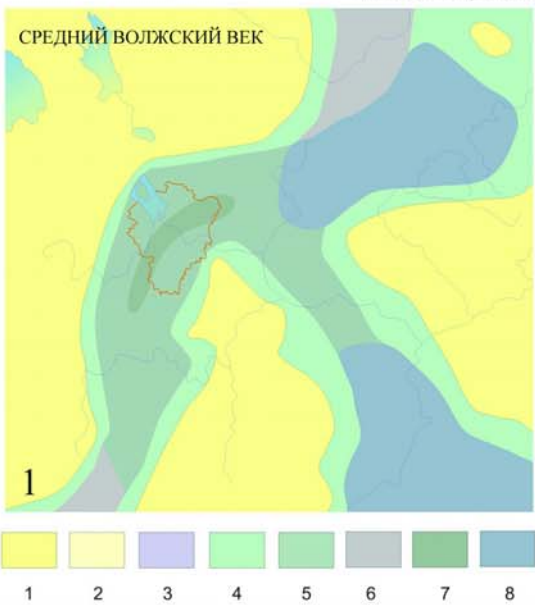


Таблица 51



Таблица 52



**Ôèä. 1.** Юрский (средневолжский) фосфоритовый конгломерат с нижележащим горизонтом нор десятиногих раков. Обнажение у д. Мостово (ГПП «Глебово»). Снимок сделан в 2001 г.

**Ôèä. 2.** Горизонт с ядрами нор десятиногих раков на границе юрских (средневолжских) и меловых (валанжинских) отложений в обнажении у д. Мостово (ГПП «Глебово»). Среди обычных нор, размером до 0,5 м, видно необычное образование из ожелезненного песчаника, по форме напоминающее нору, но отличающееся огромными размерами. Происхождение этой «норы» не совсем понятно.

**Ôèä. 3.** Нижний конец гигантской «норы» в волжском песчанике (ГПП «Глебово»), общий вид которой показан на фиг. 2.

**Ôèä. 4.** Микрофотография средневолжского фосфатизированного песчаника (ГПП «Ивановское-Михалево»). Среди песчинок преобладают кварцевые. Они хорошо окатаны и скементированы темным фосфатным минералом. Увеличено в 25 раз.

**Ôèä. 5.** Реконструкция обстановки морского бассейна на территории Ярославской области для средневолжского времени. На изображении показаны следующие представители морской пелагической фауны этого времени (обозначены цифрами): 1 – длинношейный плезиозавр *Muraenosaurus*; 2 – крупные мегаконховые аммониты рода *Epivirgatites*; 3 – примитивные костистые рыбы фолидофориды; 4 – акулы родов *Sphenodus* и *Notidanus*. Автор рисунка Д. Н. Киселев.

Таблица 52

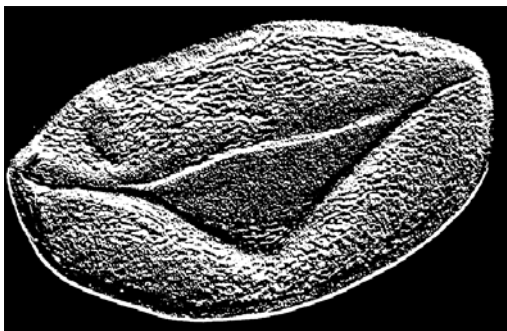
**Ôèä. 1.** Границы и осадочные образования Среднерусского моря в конце юрского периода (средневолжское время) (по Сazonova, Cazonov, 1967, с дополнениями). Границы Ярославской области обозначены красным контуром. Цветной заливкой показаны области распространения морских и сухопутных обстановок, ареалы основных фациальных типов осадочных пород: 1 – суши; 2 – осадки заболоченных низин; 3 – пески и песчаники солоноватоводных и периодически осушаемых зон морского мелководья; 4 – предположительная зона распространения нормально соленого моря, прибрежного мелководья; 5 – область накопления песков и песчаников нормально соленого моря, прибрежного мелководья; 6 - область накопления глинистых отложений нормально соленого моря, прибрежного мелководья; 7 - область накопления фосфатизированных песчаников с пелагической фауной нормально соленого моря; 8 - область накопления битуминозных отложений нормально соленого, умеренно-глубокого моря.

**Ôèä. 2.** Предположительные границы и осадочные образования Среднерусского моря в конце поздневолжского времени (время *Volgidiscus singularis*). Условные обозначения см. в объяснении к фиг. 1. Несмотря на то, что отложения этого времени известны на Русской платформе только в Ярославской области, и достоверные границы моря не известны, предполагается связь Ярославской акватории через Печорский рукав с Арктическим бассейном, откуда могла осуществляться миграция аммонитов бореального рода *Volgidiscus*. Не исключено существование в это время и Прикаспийского рукава Среднерусского моря, поскольку на протяжении юры и раннего мела этот бассейн всегда находился в области устойчивого прогибания земной коры.

**Ôèä. 3.** Предположительные границы и осадочные образования Среднерусского моря в раннемеловое время (берриас-валанжинское время) по Сazonova, Cazonov, 1967; Cazonova, 1977. Условные обозначения см. в объяснении к фиг. 1.

**Ôèä. 4.** Мелководные прибрежно-морские отложения раннеберриасского времени (рязанский век), состоящие из крупнозернистых косослоистых ожелезненных песков и гравелитов (ГПП «Сельцо-Воскресенское»). Вероятно, их образование шло в волноприбойной зоне моря.

**Ôèä. 5-7.** Соотношение экологических групп (по количеству видов, в процентах) донных беспозвоночных в орнитоценозах нижнего (5) и среднего (6) оксфорда и зоны *Kachpurites fulgens* волжского яруса Ярославской области. В.у., с.у. и н.у. - верхний, средний и нижний уровни донного осадка, служившие зоной обитания для донных беспозвоночных.



# ЧЕРЕМОШНИК

Tcheremoshnick

*Óí è êàëëü í ñò ü.* Важнейший опорный разрез четвертичных отложений в Европейской России, где наиболее полно вскрываются погребенные торфяники вместе с озерными отложениями микулинской межледниковой эпохи, а также отложения днепровского и московского оледенений.

*Ñò àò óí.* Комплексный (стратиграфический, историко-геологический) ГПП четвертичной системы федерального ранга. Обнажение выделено как памятник природы решением Ярославского облисполкома от 25 июля 1966 г. № 582, а также решением Малого Совета областного совета народных депутатов от 27 мая 1993 г. № 118.

*Ì áñò í àòî æ äåí è á.* Деревня Черемошник находится вблизи дороги Ростов - Борисоглеб примерно в 5 км юго-западнее от г. Ростова (**дёй. 36**). К северу от деревни с запада на восток протягивается овраг с двумя отвершками. В бортах обоих отвершков вскрываются плейстоценовые слои, составляющие уникальность памятника природы. ГПП расположен на восточной окраине Борисоглебской возвышенности, образованной моренами трех ледниковых эпох. Взаимное наложение морен разного возраста способствовало становлению сильно расчлененного рельефа возвышенности, состоящей из многочисленных холмов, гряд и межгрядовых понижений. В межледниковые эпохи понижения затапливались водой и представляли небольшие озера и болота, где накапливались специфические осадки. Большинство уникальных геологических объектов Ростовского района представляют разрезы межледниковых отложений, находящиеся в подобных западинах. Расчлененный рельеф способствует образованию оврагов, где также описано большинство интересных разрезов плейстоценовой эпохи.

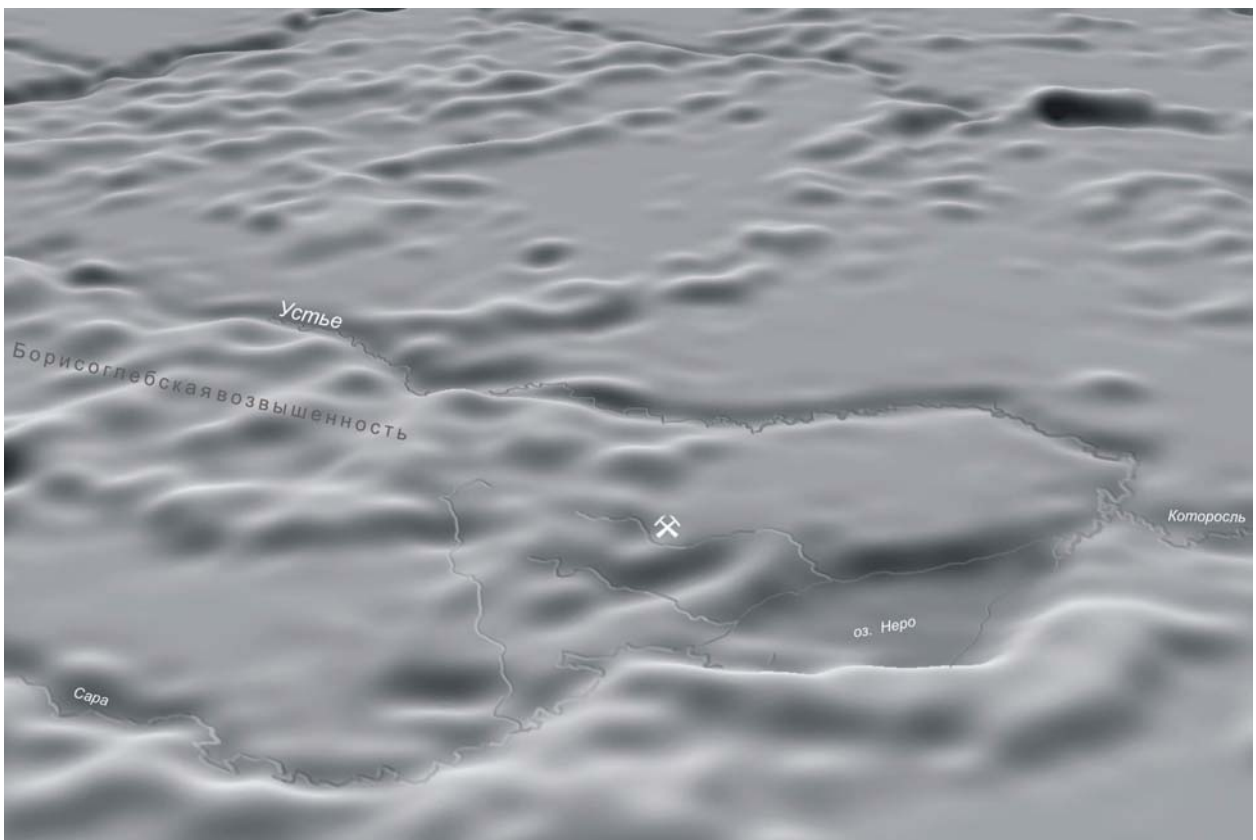
*Èî í ô è áðàäöè ý.* Вершина основного оврага на протяжении 200 м и правый боковой отвершек, длиной около 100 м, расположенный восточнее д. Черемошник. В районе этих оврагов изучено три основных разреза, обозначенных в литературе символами А, В и С. Разрез А находится в левом борту основного оврага напротив деревни, обнажения В и С – в верховьях бокового отвершка. Четвертичные отложения в большинстве случаев залегают оригинально в каждом разрезе. Это связано с их ледниковой природой, проявляющейся в нарушенности первичного залегания, условиями осадконакопления и пр. Поэтому обнажения А, В и С представляют почти самостоятельные разрезы, отличающиеся целым комплексом признаков.

*Ì áðàä í àù çí í á.* 50-метровая полоса вдоль бровки склонов основного оврага на протяжении 400 м вдоль д. Черемошник и правого бокового отвершка.

*Èñò í ðè ý è çó÷áí è ý.* Впервые плейстоценовые отложения и, в частности, погребенные торфяники и озерные гиттии у дер. Черемошник были открыты в 1938 году ростовским краеведом Н. В. Чижиковым.

Детальное изучение обнажений проводилось с 1950-х годов. Высокая мощность торфянистых и гиттиевых толщ, иногда до 10-15 м, насыщенных растительными остатками (преимущественно спора, пыльца и плоды растений), местами содержащих фрагменты скелетов млекопитающих, позволяла выявить подробную последовательность событий плейстоценовых ледниковых и межледниковых. Поэтому обнажения сразу привлекли к себе внимание ведущих палинологов и специалистов по стратиграфии и палеогеографии плейстоцена (Тюремнов, Виноградова, 1952; Сукачев, 1954; Москвитин, 1967; Новский, 1968; 1971; Горлова и др., 1968; Гричук и др., 1973; Судакова, 1974б и др.). В первую очередь ученых сюда привлекало обнажение микулинских погребенных торфяников с прекрасными спорово-пыльцевыми комплексами, а также возможность одновременного изучения днепровской, московской и калининской морен. Их исследования в первую очередь доказали принадлежность межледниковых отложений к микулинской межледниковой эпохе.

Погребенные торфяники оврага Черемошник обладают очень сложным залеганием, которое удалось выявить только после тщательных расчисток, проведенных В. А. Новским (1968; 1971) и одновременно Экспедицией опорных разрезов МГУ (Разрезы.., 1971). Последняя провела комплексные литологические, палеомагнитные и палеоботанические исследования ледниковых, межледниковых и лессовидных образований, как непосредственно в расчистках, так и с использованием бурения. В результате этих исследований выявлено точное стратиграфическое положение большинства плейстоценовых образований, на основе которого проведены палеогеографические реконструкции межледниковых эпох. Также были детально изучены особенности ледниковых отложений – морен, возраст и число которых некоторое время были под вопросом.



**Фиг. 36.** Трехмерное перспективное изображение территории в районе ГПП «Черемошник». Местонахождение памятника отмечено символом.

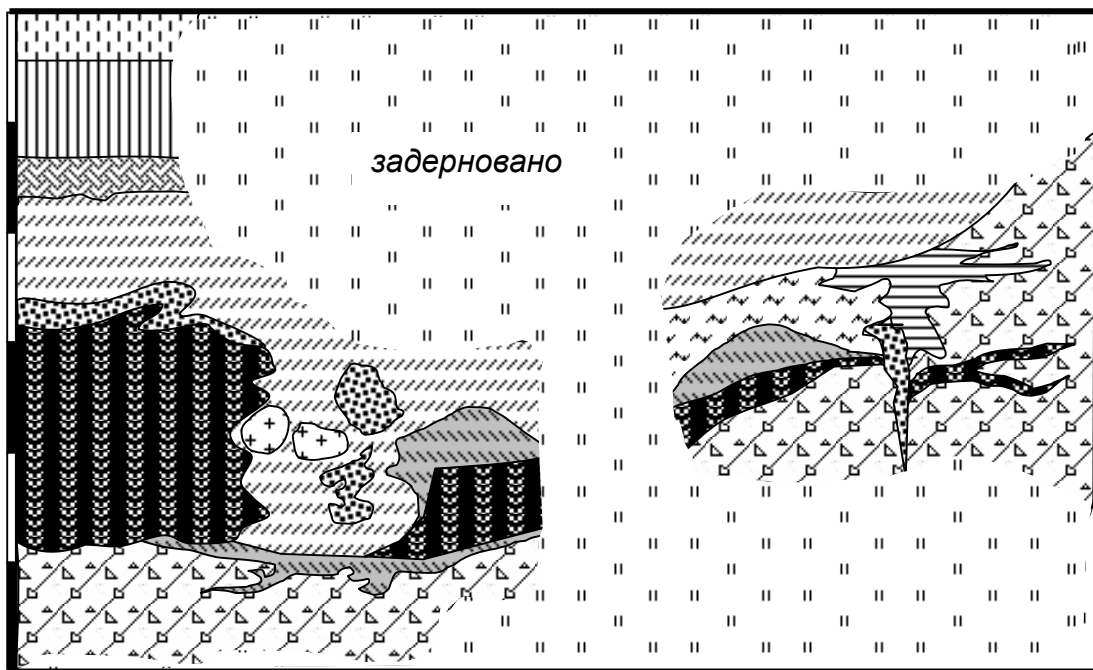
В настоящее время обнажения оврага Черемошник известны широкому кругу отечественных и зарубежных специалистов: «Ввиду полноты стратиграфической колонки, большого разнообразия генетических типов отложений, характеризующих различные палеогеографические условия осадконакопления, и доступности для широкого обозрения разрезы в овраге Черемошник и у дер. Левина Гора демонстрировались участникам международного симпозиума «Палеогеография и перигляциальные явления плейстоцена» в 1969 г., всесоюзных и международных симпозиумов в 1971, 1973, 1981, 1984 гг. Однако до сих пор не потеряла остроты дискуссионность некоторых положений, касающихся, в частности, возраста и генезиса валунных моренных суглинков, вмещающих и перекрывающих межледниковые озерно-болотные отложения, а также возраста последних» (Судакова, 1974б; Судакова и др., 2001).

**Нô ձâð è ձâð է յ è ր ձâð ձâð ձâð է յ.** В обнажениях памятника вскрываются три морены днепровского, московского и калининского оледенений. Между моренами залегают межледниковые отложения, соответственно, одинцовского и микулинского возраста. В связи с тем, что в овраге не существует разрезов с типичным залеганием отложений, где наблюдались бы все их компоненты, ниже приводится сводное описание соответствующих моренных горизонтов (Судакова и др., 2001).

*Днепровская морена* вскрывается в нижней части отвершка оврага у уреза ручья. Она представлена темно-коричневыми плотными суглинками с большим включением средне- и мелкообломочного материала. Последний характеризуется выраженной ориентировкой обломков, преимущественно в северо-восточном направлении. Среди гравийных обломков преобладают известняки (34-35%), гранит (17-22%) и кварц (11-21%). Крупнопесчаные обломки состоят преимущественно из кварца (59-60%). Отмечается относительно высокое содержание глинистых (монтмориллонита) и сульфидных минералов (пирита и марказита), захваченных и подстилающих юрских отложений (келловейских и оксфордских глин).

*Московская морена* лежит выше днепровской морены в главном овраге и его отвершках. Она имеет широкое площадное распространение, но отличается от днепровской морены меньшей мощностью (15 м). Также она отличается от последней красновато-коричневым цветом, повышенным содержанием песка, меньшей плотностью и северо-западной ориентацией обломков. Минералогический состав обломков примерно одинаков. Среди отличий наблюдается повышенной содержание кварца в гравийной фракции. В мелкозернистой фракции более высокое содержание выявлено для роговой обманки – компонента скандинавской питающей провинции. Заметно понижено содержание монтмориллонита – компонента мезозойских глинистых пород, что связано с экранирующим воздействием нижележащей днепровской морены.

*Калининская морена* обнаружена в правом борту отвершка оврага. Она залегает стратиграфически и гипсометрически выше московской морены и имеет небольшую мощность (около 1,5-2 м). Отложения



**Дея́л. 37.** Линза погребенного торфяника микулинского возраста, лежащая выше калининской морены в разрезе главного оврага против д. Черемошник. Цена деления линейки равен 1 м. Правая часть линзы («усы») находится в теле морены, что свидетельствует о ее более древнем возрасте. По мнению В. А. Новского, линза погребенного торфяника была захвачена и деформирована калининским ледником. Изображение сделано с рис. 6 из работы В. А. Новского (1971). Литологические обозначения см. на рис. 3.

характеризуются красновато-коричневым цветом, высокой плотностью, односторонней ориентировкой обломков в юго-восточном направлении. В отличие от днепровской и московской морен возрастает содержание роговой обманки, что означает значительное влияние скандинавской питающей провинции на образование калининской морены. Значительно повышенено содержание магматических горных пород.

Минералогический и петрографический состав обломков и направление их ориентации, а также другие особенности морен свидетельствуют о различиях в условиях их образования и позволяют реконструировать траектории движения ледников в районе Ярославского Поволжья. Для ледникового потока днепровского времени предполагается движение в юго-западном направлении, в то время как московский ледник двигался преимущественно по юго-восточному азимуту (Карпухин, Лавров, 1974; Судакова и др., 2001).

*Отложения микулинского межледникового.* Они залегают на московской морене или между московской и калининской моренами и состоят из озерно-ледниковых отложений – погребенных торфяников, гиттий и супесчаных пород. Чаще всего они имеют линзовидное залегание. Линзы имеют большие размеры – до 30 м<sup>2</sup> км и вскрываются только в серии расчисток. В центральных расчистках мощность отдельных торфянистых и гумусированных слоев может достигать 2 м. В боковых расчистках наблюдаются лишь «усы» слоя. Иногда погребенные торфяники деформированы и «захвачены» вышележащей калининской мореной (**дея́л. 37**).

Высокая мощность микулинских органогенно-гумусированных отложений позволяет провести посантиметровые сборы образцов со споро-пыльцевыми комплексами, а также остатков млекопитающих и растений. Это дает уникальную возможность исследовать детальную хронологию событий межледниковой эпохи. Подобные исследования были проведены в разрезах Черемошник А, Б и С. Ниже приводятся результаты изучения разреза «А» (Горлова, 1968; Гричук и др., 1973; Судакова и др., 2001).

В разрезе Черемошник «А», сверху вниз, вскрывается следующая последовательность слоев (Гричук и др., 1973):

### Адой ёе ёаі

1. Суглинок буровато-серый, с горизонтом эмбриональной почвы лугового типа. Мощность 2,6 м

Адой ёе ёаі ёаі, і ёе ёе ёаі

2. Погребенная почва лугово-болотного типа, мощностью 30-35 см., постепенно переходящая в светло-зеленовато-серый алеврит. В основании слоя – линзочка песка и мелкого гравия. Мощность 0,9 м.

3. Торфянистая порода (аллохтонный торф) с прослойками суглинка. По клиновидным трещинам в ней внедряется алеврит слоя 2. Мощность 0,15 м.

4. Торф древесно-травяной, листоватый. Мощность 0,2 м.

5. Торфянистая гиттия, переходящая в грубодендритовую с прослойками светло-серого песка и обломками древесины. Встречаются галька и валунчики. В подошве осоково-гипновый торф (5-8 см). Мощность 0,95 м.

6. Гиттия тонко-детритовая, тёмно-зеленовато-серая, слоистая. На контакте со слоем 7 - прослой гипнового торфа. Мощность 0,8 м.

7. Глина серая, с большим содержанием гравия и гальки (перемытая морена). Вскрытая мощность – 4 м.

Исследования палинологических комплексов в разрезе (Гричук и др., 1973) позволили выделить в микулинской толще три споро-пыльцевые зоны и определить последовательность изменения растительного покрова в микулинское время (**дён. 38**). Выделяются четыре фазы таких изменений (Базилевская и др., 1984).

**I. Фаза перигляциальной растительности** с преимущественным развитием лесных формаций из ели *Picea obovata* с примесью березы. Травы и кустарнички представлены арктоальпийскими и бореальными видами.

**II. Фаза монодоминантных берёзовых и сосновых лесов** (соответствует нижней споро-пыльцевой зоне). Состав флоры бореальный. Во время потепления климата наблюдается расселение широколиственных пород - дуба, вяза.

**III. Фаза олигодоминантных неморальных лесов** (с вязом, ясенем, клёном, липой и грабом), с орешником в подлеске - отвечает климатическому оптимуму межледниковых (соответствует средней и верхней споро-пыльцевым зонам). В отложениях этого времени обнаружена характерная для микулинского межледниковых бразениевая флора, в составе которой, наряду с *Brasenia schreberi*, присутствуют *Aldrovanda vesiculosa*, *Salvinia natans* и ряд других гигрофитов, размножающихся здесь в настоящее время вегетативно: *Lemna trisulca*, *L. minor*, *Stratiotes aloides* и др..

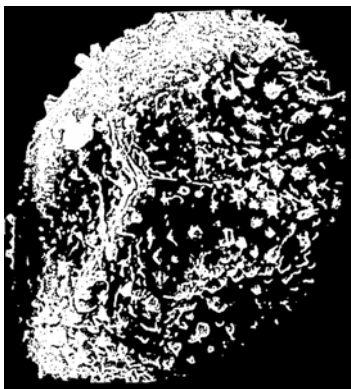
**IV** Фаза отделена от предыдущей длительным перерывом. Она подразделяется на две подфазы: IVa - сосновых и берёзовых лесов с участием арктоальпийских элементов и IVб - берёзовых лесов и ерниковых формаций» (Судакова и др., 2001).

Следует заметить, что, по данным А. К. Агаджаняна (Разрезы ..., 1977), над микулинскими озерно-болотными осадками здесь были найдены многочисленные фрагменты лемминговой фауны, принадлежащие к тундровым видам *Dicrostonyx* и *Lemmus*. Это свидетельствует о заметном похолодании в фазу IV.

**Ñî ïð î ýí èå ð àì ùð í èëà.** В период интенсивного изучения ГПП «Черемошник», овраг периодически искусственно расчищался для целей исследования. Эти действия явились главной силой, способствовавшей обнаженности памятника. Однако из-за отсутствия серьезной эрозионной деятельности в овраге проведенные расчистки задерновываются быстро - в течение последующих двух-трех лет. В настоящее время четвертичные слои и погребенные торфяники практически не обнажаются и недоступны для обозрения. Их наблюдение возможно только после проведения новых расчисток.

Стратиграфические подразделения	Номер слоя	Фаза	Тип раст.	Климатический вектор
Четвертичная система Верхний плейстоцен – микулинский горизонт	2	IV	K	↗
	3		†?	
	4			
	5	III	?	❀
	6		K	□
	7	I	η K	□

**Дён. 38.** Последовательность отложений в линзе микулинского погребенного торфяника и соответствующих им изменений типов растительности и палеоклиматических фаз. Литологические и другие обозначения см. на рис. 5. Составлено по Гричук 1973, Базилевская 1984; Судакова и др. 2001.



# ДОЛГОПОЛКА

Dolgopolka

**№ 20 07.** Комплексный (стратиграфический, историко-геологический) ГПП четвертичной системы федерального ранга. Обнажение выделено как памятник природы решением Ярославского облисполкома от 25 июля 1966 г. № 582, а также решением Малого Совета областного совета народных депутатов от 27 мая 1993 г. № 118.

**Описание.** Один из наиболее полных разрезов верхнего звена плейстоцена в Европейской России, где вскрываются межледниковые и ледниковые отложения. В связи с этим он предложен в качестве опорного разреза Европейской России для средне- и верхневалдайских отложений (Судакова и др., 2001). В межледниковых отложениях присутствуют погребенные торфяники большой мощности. Один из наиболее всесторонне изученных разрезов верхнего плейстоцена в Центральной России.

**Ландшафт.** Обнажение на правом берегу ручья Долгополка (левый приток р. Волги в Тутаевском районе), расположенное в 100 м выше устья. Предлагается также включить в состав памятника обнажения на левом берегу Волги в 2 км выше устья Долгополки. Геологический памятник находится вблизи южного основания Даниловской возвышенности, образованной системой параллельных и субпараллельных гряд, ориентированных преимущественно в северо-восточном направлении (д. 39). Последние сформированы, в основном, мореной московского горизонта. Волга перерезает моренные гряды в поперечном направлении и принимает в себя небольшие притоки. Их долины занимают межгрядовые понижения либо примыкают к северной стороне гряды и активно её размывают. К рекам последнего типа относится р. Печегда, протекающая севернее ярко выраженной в рельфе гряды, протянувшейся на более, чем 20 км. Вдоль субмеридиональных моренных гряд или цепи холмов протекают р. Рыкуша, Эдома, Урдома.

Ручей Долгополка течет в глубоком межгрядовом понижении. Севернее его долины расположена высокая грязь с почти восточным направлением. Два первые, от устья, изгиба ручья подрезают южную сторону гряды, образуя обнажения, уже ставшие классическими. На вершине гряды расположены д. Воротники и Красный Бор. Первая обращена в долину Долгополки, вторая – в долину Волги. Берег Волги здесь образует высокий обрыв (местное название «Дедовы Горы»), протягивающийся к северу на два километра. Обнажения на Долгополке и Волге вскрывают одну и ту же моренную грязь, первые – вдоль гряды, вторые – поперек. Они дают уникальную возможность изучить строение моренной гряды и последовательность напластования с разных сторон. Обнажения на Долгополке составляют главную часть памятника, тщательнейше изученные ведущими специалистами по стратиграфии четвертичной системы. Обнажения «Дедовых Гор» предположительно позволяют наблюдать более древние горизонты плейстоцена, которые на Долгополке находятся ниже уреза воды. Это является серьезным доводом для включения разрезов Волги в ГПП «Долгополка».

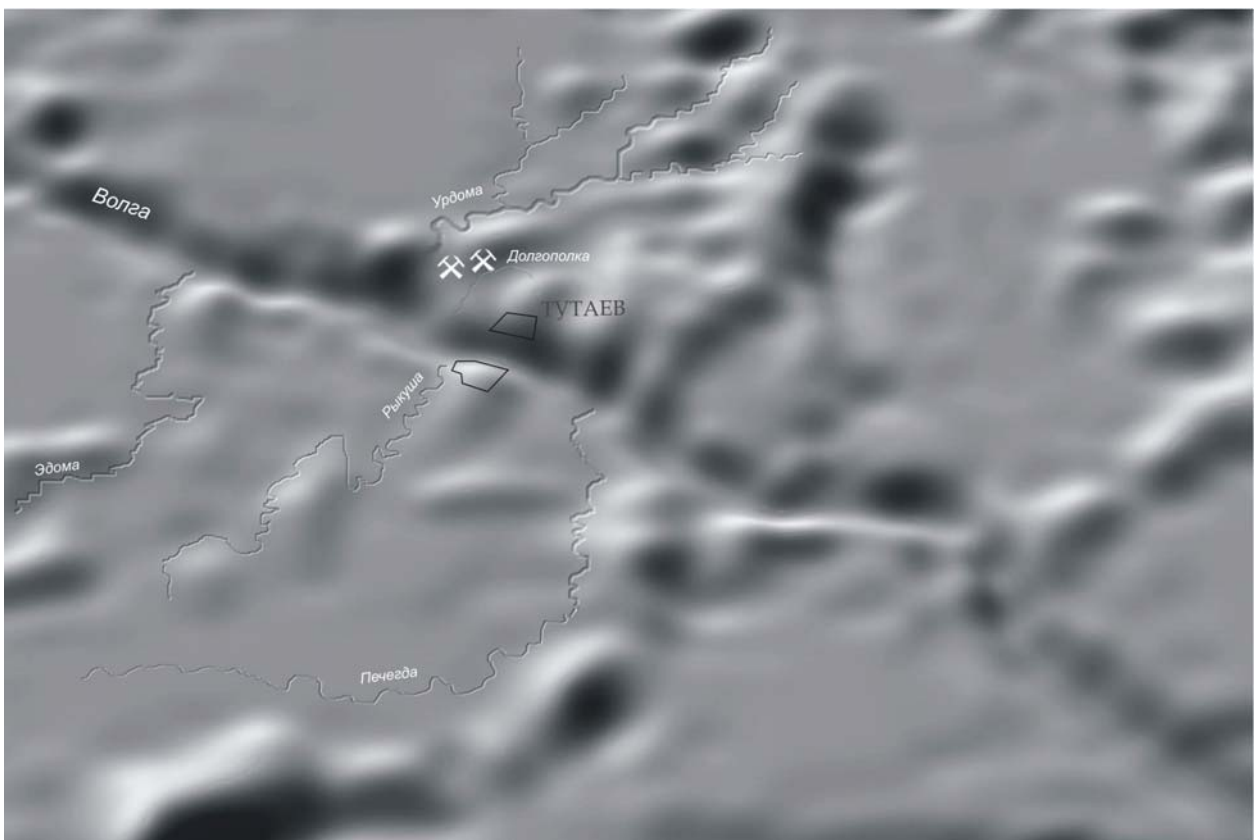
Южная грязь, или система холмов, обнажается лишь в среднем течении Долгополки. На ближайшем холме к ручью расположена д. Отмищево (д. 53, д. 3). Эта грязь соединяется с грядами, на которых расположен г. Тутаев.

**Рельеф.** Ручей Долгополка. Две группы обнажений. Первая группа находится на левом берегу напротив д. Отмищево и состоит из двух обнажений 1 и 2, удаленных на 20-30 м друг от друга, изолированных кустарниковой полосой берега (д. 53, д. 3). Обнажения не превышают в длину 20 м и имеют высоту 15 м. Вторая группа обнажений находится выше первых на 100-120 м. Три из них (3, 4, 5) расположены на левом берегу, четвертое (6) – на правом. Вторая группа обнажений образована расчистками экспедиций МГУ в 1970-х гг., и в настоящее время они задернованы.

«Дедовы Горы». Обнажение вдоль Волги длиной 2 км вверх по Волге от начала дороги на д. Красный Бор (д. 53, д. 3). Мощность разреза около 18 м.

**Ландшафт.** Ручей Долгополка включает 50 м вдольбереговой полосы Долгополки над обнажениями и 50 м коренного берега Волги протяженностью 2 км в районе обнажений «Дедовы Горы».

**Обнажения.** Обнажения на ручье Долгополке принадлежат к числу самых изученных разрезов верхнего плейстоцена и считаются опорными (Судакова, 2001). Они были открыты В. А. Новским в 1945 г., обнаружившим здесь слои погребенных торфяников большой мощности. 1960-70 гг. – время



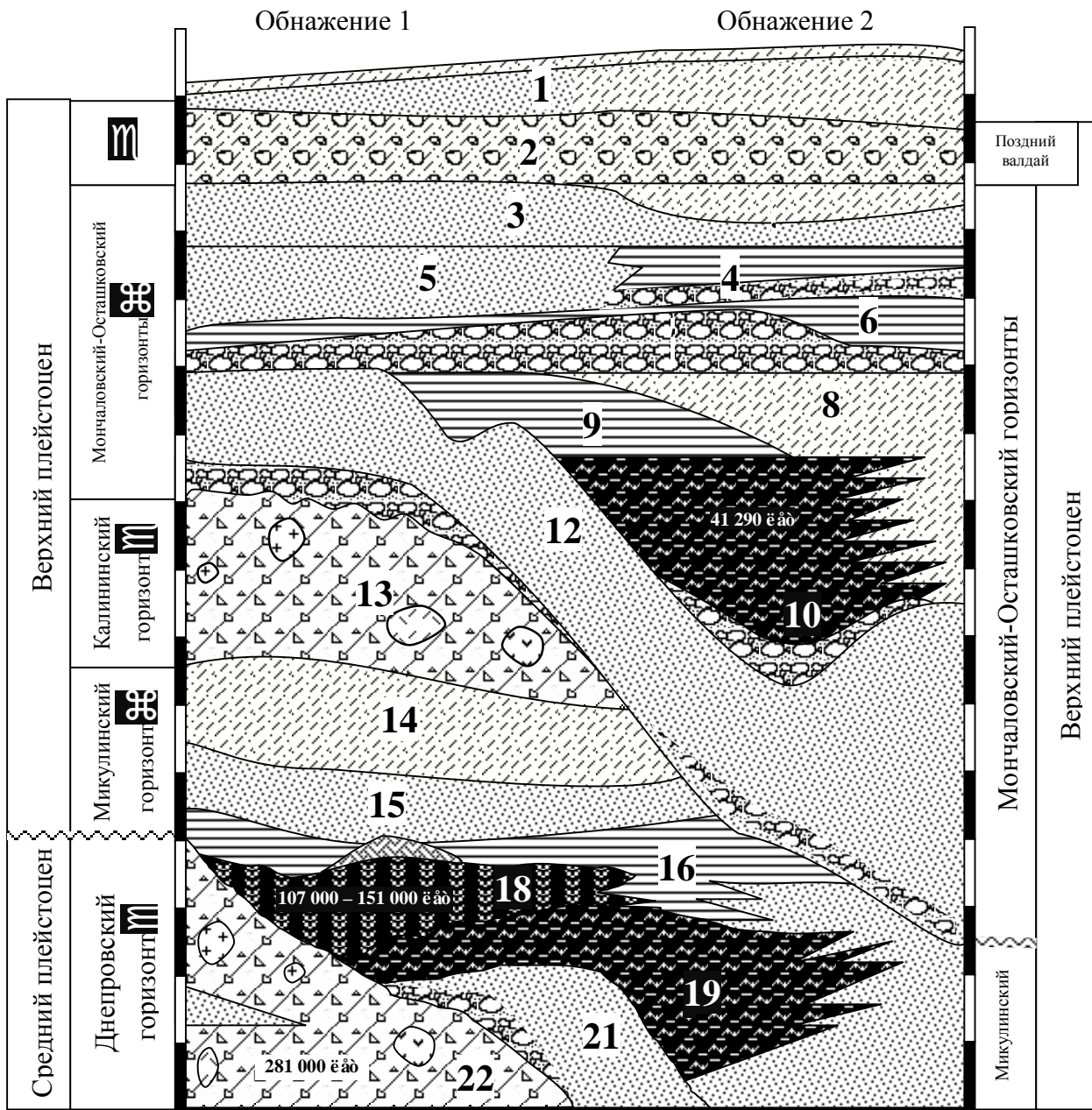
**Фёл. 39.** Трехмерное перспективное изображение территории в районе ГПП «Долгополка». Местонахождение памятника отмечено символом.

наиболее активного изучения разреза, проводимого, преимущественно, московскими специалистами из МГУ и ГУЦР (Горлова и др., 1962; Бреслав, 1971; Разрезы...1971; Арсланов и др., 1974; Новский, 1975 и др.). В процессе изучения были сделаны трудоемкие расчистки в районе обнажений 1-6, заложены шурфы по обоим берегам и пробурено более десятка ручных скважин. Этими методами вскрыто и изучено около 22 слоев, из которых выделяются два уровня морены - днепровской и калининской, и две пачки межледниковых отложений с линзами торфяно-гумусированных пород. Проведение детальных палинологических исследований торфянистых толщ, а также определение абсолютного возраста отложений методом термолюминисцентного датирования, позволило определить стратиграфическое положение и возраст слоев. Нижняя морена оказалась днепровского возраста, верхняя (вторая) – калининской. Межледниковые отложения между ними определяются микулинским горизонтом. Отсутствие морены московского возраста между днепровской и калининской и ряд других данных породил разногласия относительно возраста второй морены и подстилающих их торфянников. Эти вопросы до конца не решены и по сей день, что определяет необходимость дополнительного изучения разреза.

**Ñò ðàò è äðàò è ј.** Основная последовательность отложений плейстоцена на Долгополке выявлена в разрезах 1 и 2 (**фёл. 40**), где выделяется 22 слоя (Судакова, 2001). В основании, у уреза воды, залегает коричневая морена с высоким содержанием марганцовистых стяжений и мелкокристаллического пирита, ассимилированных из мезозойских отложений. Эти признаки, а также установленный абсолютный возраст в 281 000 лет, позволяют относить ее к днепровскому горизонту.

Выше днепровской морены с резким эрозионным несогласием залегают аллювиальные песчано-глинистые отложения с линзами старичных осадков микулинского горизонта (слои 14-21). Максимальная мощность гумусированных и торфянистых осадков не превышает 2,5 м (**ðàäё. 53, фёл. 1**). Их микулинский возраст установлен по споро-пыльцевым комплексам и термолюминесцентной датировке в диапазоне  $107 \pm 11$  тыс. лет до  $151 \pm 24$  тыс. лет. Существуют представления и о более древнем возрасте этих слоев и принадлежности их к одинцовской (или рославльской) межледниковой эпохе. На это указывают палинологические данные (Арсланов и др., 1974) и первые термолюминесцентные датировки (Судакова, Ильичев, 1974) торфянисто-гумусированных слоев ( $244\ 000 \pm 27\ 100$  лет). В настоящей работе приняты представления о микулинском возрасте нижней межмореной толщи (Бреслав, 1971; Судакова, 2001), несмотря на то, что этот вопрос до сих пор остается дискуссионным.

Выше микулинских слоев залегает валунный суглинок красного цвета – калининская морена. Она служит цоколем второй надпойменной террасы. Возраст морены также является дискуссионным. Если принять, что нижележащие слои являются одинцовскими, а не микулинскими, то весьма вероятно, что морена имеет более древний, московский возраст, что отражено в ряде работ (Судакова, Ильичев, 1974; Евдокимов, 1975).



**Рис. 40.** Геологический разрез ГПП «Долгополка» в обнажениях 1 и 2. Литологические обозначения см. на рис. 5.  
Составлено по Судакова 2001 с сохранением нумерации слоев.

Выше залегают послекалининские межледниковые отложения, соответствующие мончаловскому и осташковскому горизонтам верхнего звена плейстоцена (по шкале Шик, Бирюков, 2001). Их максимальная мощность достигает 12 м в обнажении 2, где они залегают на микулинских осадках. Отложения также имеют аллювиальное происхождение и представляют сложную систему переслаивания песчано-глинистых осадков, в середине которой залегает линза гумусированных пород с максимальной мощностью 4,5 м. По кусочкам древесины из них проведено радиоуглеродное датирование, согласно которому возраст гумусированных слоев составляет  $41\ 290 \pm 320$  лет, что подтвердило их принадлежность ко второй половине верхнего плейстоцена (среднему валдаю). Согласно палинологическим данным, гумусированные осадки образовались в период максимального потепления.

Над средневалдайскими межледниковыми отложениями расположены пески и суглинки с валунами, напоминающими морену. Они рассматриваются как отложения, синхроничные поздневалдайскому оледенению (18-20 тыс. лет назад). Ряд признаков не позволяет эти отложения считать мореной. Вероятно, они были образованы водно-ледниковыми потоками на периферии ледника, только подступавшего в позднем валдае к Молого-Шекснинской низине (Судакова, 2001).

Разрез Долгополки обнажает строение моренной гряды в продольном направлении. В обнажении «Дедовы Горы» вскрываются моренные и межледниковые осадки поперечной части моренной гряды. Сверху вниз здесь выходят следующие слои:

Таблица 53



Таблица 54



1. Суглинок легкий, валунный, красновато-бурый. Среди обломков преобладает гравийно-галечниковая фракция. В середине слоя проходит линза песка алевритистого, пылеватого, косослоистого, желтовато-белого цвета с красными примазками (**ðàáë. 53, ô èä. 5**). Песчанистые слои в линзе часто перемяты. Максимальная мощность песчаной линзы 2 м. Вероятно, линза является отторженцем нижележащего слоя. Мощность всего слоя до 4 м.

2. Песок алевритистый, пылеватый, желтовато-серый, ритмично переслаивающийся с тонкими листоватыми прослойками красно-коричневого суглинка. Единичная пачка ритма имеет мощность 0,05-0,15 м (**ðàáë. 53, ô èä. 4, 5**). Мощность всего слоя до 12 м.

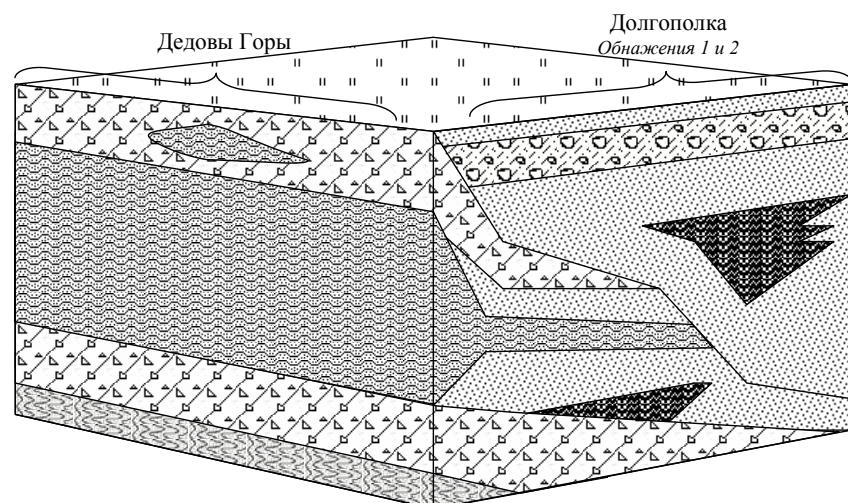
3. Суглинок шоколадно-бурого цвета с валунами и галькой магматических, метаморфических и осадочных пород. До 2 м.

4. Песок слоистый, тонкозернистый, глинистый, тонкослоистый, буровато-охристый. Слой деформирован, что выражается наклоном прослоек под углом 45 градусов или даже прямым углом. Часто прослойки изгибаются в слабые волнистые складки (**ðàáë. 53, ô èä. 6**).

В разрезе наблюдается два горизонта валунных суглинков. Нижний по своим свойствам можно относить к морене днепровского возраста. Она аналогична отложениям слоя 22 на в разрезах Долгополки. Верхний валунный суглинок также имеет типичные свойства морены, в т. ч. и наличие отторженцев нижележащих слоев. Предположительно ее возраст является калининским, аналогично слою 13 разреза Долгополки. Соответственно 12-метровая толща песков, залегающая между валунными суглинками, должна принадлежать микулинскому горизонту и в целом соответствует слоям 14-21 разреза Долгополки. Эти пески, несомненно, принадлежат русловому аллювию, но, в отличие от разреза на Долгополке, не содержит линзы торфянистых и гумусированных отложений. Разрез вскрывает, вероятно, продольный профиль осадков русловых отложений, образованных вдоль русла древней речной долины предположительно в осевом его части. В разрезе

на Долгополке, наоборот, обнажаются речные осадки в поперечном сечении русла. Возможно, поэтому слои так часто меняют свою мощность и размывают предыдущие, что отвечает свойству перемещения русловых потоков с образованием старицных рукавов. Разрез «Дедовы Горы» дополняет представления о строении плейстоценовых напластований в районе памятника и поэтому представляет одно целое с разрезом на Долгополке (**ðèä. 41**). Для более точного сопоставления слоев в обоих разрезах необходимы дополнительные специальные исследования.

**Ñ ï ñ ð ì ý í è á ë àì ýò í èéà.** В настоящее время в долине ручья Долгополка сохранилось только обнажение 1. Остальные обнажения задернованы и заросли кустарником. Обнажения «Дедовы Горы» прекрасно



**Ðèä. 41.** Соотношение напластований в разрезах на Долгополке в обнажениях «Дедовы горы». Литологические обозначения см. на рис. 3.

обнажены во многих местах на протяжении двух километров и доступны для наблюдения и проведения экскурсий.

#### Объяснения к таблице 53. ГПП «Долгополка»

- Ôèä. 1.** Погребенные торфяники микулинского горизонта в обнажении Долгополка-1 (слои 18 и 19). Ниже слоя торфяников видно залегание песка с галькой и гравием (слой 21). Более нижние слои (днепровская морена) закрыты отвалом торфянистых пород. Внутри торфянистой толщи наблюдается «инъекция» песка из нижележащего слоя, вероятно образовавшаяся во время последующего оледенения. Снимок сделан в 2001 г.
- Ôèä. 2.** Общий вид обнажения Долгополка-1. Расчистка вскрыла погребенные торфяники слоев 18 и 19, как и на фиг. 1. В этой расчистке удалось вскрыть под песками слоя 21 и верхнюю часть днепровской морены (она заметна по серому цвету, чуть выше отвала). Снимок сделан в 2002 г.
- Ôèä. 3.** Общий вид на туваевскую моренную гряду с правого берега Долгополки. На заднем плане видна д. Отмищево. Снимок сделан в 2001 г.
- Ôèä. 4.** Аллювиальные пески с косой и волнистой слоистостью, предположительно микулинского возраста, в обнажении «Дедовы горы» (слой 2). Снимок сделан в 2002 г.
- Ôèä. 5.** Общий вид обнажения «Дедовы горы». В основании залегает пачка русловых песков (слой 2). Крупным планом они показаны на фиг. 4. Выше видна красноватая морена (предположительно калининская) с линзой песков, расположенной в теле морены (слой 1). Снимок сделан в 2002 г.
- Ôèä. 6.** Базальные слои в обнажении «Дедовы горы». От уреза воды идет пачка слоистых песков со следами деформации (слой 4). Деформация проявляется в заметном наклоне прослоев песка к северу. Выше этого слоя расположена серовато-коричневая морена (днепровская, слой 3). Снимок сделан в 2002 г.



## ЧЕРМЕНИНО- ЗАБАВА

Tchermenino-Zabava

**№ 20 өй.** Комплексный (стратиграфический, историко-геологический) ГПП четвертичной системы федерального ранга.

**Ой ёёддий тюй.** Опорный разрез среднего и верхнего плейстоцена в Европейской России (Гунова и др., 2001). Здесь вскрываются шесть ледниковых (моренных) горизонтов (из них четыре - в обнажении, два - в скважине), соответствующих четырем-пяти ледниковым эпохам большей части плейстоцена, и пять межморенных горизонтов, соответствующих четырем межледниковым. Столь полное строение разреза плейстоцена уникально не только для Ярославской области, но и для остальных районов Европейской России. Отложения лихвинской и микулинской межледниковых эпох обладают большой мощностью и содержат остатки как флоры (споры, пыльца и макроостатки), так и фауны (моллюсков и позвоночных). Микулинские отложения представлены в полном объеме. ГПП является одним из наиболее всесторонне изученных разрезов плейстоцена в Центральной России.

**І 20 өй айырмашы.** Рыбинский район, правый берег Волги у дер. Черменино и Забава, непосредственно примыкающих к восточному краю Рыбинска. Территория ГПП включает отрезок берега Волги на протяжении 1,5 км ниже вышки высоковольтной линии (у д. Забава). Обнажения плейстоцена расположены в I-IV террасах Волги вплоть до бровки коренного берега, относительная высота над урезом Волги которого достигает 35 м (баяе. 54, бета. 3, 4). У д. Забава, где коренной берег подходит близко к бечевнику, обнажается большая часть слоев плейстоцена с максимальной мощностью. Между дд. Черменино и Забава находится Черменинский ручей, ниже которого коренной берег, III и IV террасы Волги отступают на 100-500 м. Здесь обнажения с преимущественно микулинскими слоями развиты только в районе II-III террасы (баяе. 54, бета. 1). Общая протяженность берега в границах памятника составляет 1,5 км.

**І 20 өй айырмашы.** Бечевник и 50 м вдольбереговой полосы выше бровки склонов III и IV террас Волги.

**Е 20 өй.** Обнажения у дд. Черменино и Забава были открыты В. А. Новским в 1958 г. В том же году они изучались академиком В. Н. Сукачевым и его сотрудниками. Их основное внимание было направлено на изучение микулинских озерных отложений и встречающихся в них богатых остатков флоры. Обнажения данного ГПП неоднократно исследовались коллективами ведущих специалистов по геологии и палеонтологии плейстоцена (Арсланов и др., 1967; Валуева и др., 1969; Новский, 1971; 1975; Карпухин, Судакова, 1972; Спиридовова и др., 1976; Разрезы ..., 1977; Судакова и др., 1992; Гунова и др., 2001). Основное внимание исследователей было направлено на определение возраста моренных и межморенных образований и палеоклиматическую реконструкцию межледниковых эпох плейстоцена, преимущественно для микулинского времени, осадки которого содержат богатую флору и фауну. Изучение вещественного состава морен, применение радиоуглеродных и термолюминисцентных методов определения абсолютного возраста, находки остатков позвоночных и моллюсков, изучение споро-пыльцевых спектров также данные бурения и др. методы позволили надежно обосновать развитие в разрезе отложений ранне-, средне- и позднеплейстоценового возраста, образованных шестью моренами и межморенными осадками. Доказано существование последней, калининской, морены в Рыбинском Поволжье. Выявлено, что микулинский горизонт в разрезе представлен в полном объеме. Изучение палеофлоры микулинских отложений показало, что они были образованы в условиях периодических потеплений и похолоданий в глубоком водоеме вблизи края ледника, вплоть до его отступания (Гунова и др., 2001).

**№ 20 өй.** Ниже приводится сводный разрез четвертичных отложений разреза Черменино-Забава (бета. 42). Разрез описывается снизу вверх (по Гунова и др., 2001; Новский, 1971 и др., с дополнениями).

× 20 өй  
 І 20 өй  
 ?І 20 өй

1. Суглинок тяжелый, с многочисленными преимущественно гравийными обломками (і 20 өй). Самые нижние горизонты плейстоцена находятся ниже уровня Волги и изучены по скважинам (Н. Г. Судаковой из Гунова и др., 2001). Здесь отмечаются два горизонта валунных суглинков, вероятно, принадлежащих донской и окской моренам нижнего плейстоцена. Верхняя, окская морена, нами непосредственно наблюдалась вблизи уреза воды у д. Забава в период низкого стояния Волги в 2002. Видимая мощность от уреза воды – 0,15 м.

№ 20 өй

## Ё ё ð а è í ñ è è é á ð è ç í ð

2. Песок среднезернистый, серовато-бурый или охристый, сыпучий, с выраженной слоистостью. Мощность 8-10 м. Из подошвы слоя происходит находка костных остатков млекопитающих (хазарский териокомплекс) (по Разрезы..., 1977, определения А. К. Агаджаняна), преимущественно копытных леммингов (101 экз. *Dicrostonyx cf. simplicolor* Feifar), настоящих леммингов (37 экз. *Lemmus cf. sibiricus* Kerr.) и серых и водяных полевок (41 экз. *Microtus gregalis* Pall., 1 экз. *Arvicola?* sp.). Возраст слоя по термолюминисцентной датировке оценивается в  $230 \pm 45$  тыс. лет.

## Á í á ð í á ñ è è é á ð è ç í ð

3. Суглинок средний, опесчаненный серовато-бурый, с частыми гравийными и галечниковыми обломками (**ð á í í á á í á ð í á ñ è à y ì í ð á í á**). Для морены характерно высокое содержание хлорита, глауконита и сульфидов железа, ассилированных из мезозойских пород. Обломки ориентированы длинными осями преимущественно на юго-юго-запад. Мощность 1-2 м.

4. Песок среднезернистый, желтовато-серовато-бурый, сыпучий, преимущественно с горизонтальной слоистостью. Мощность 3-4 м.

5. Суглинок средний, опесчаненный, буровато-серый, с частыми гравийными и галечниковыми обломками и редкими валунчиками (**í í ç á í á á í á ð í á ñ è à y ì í ð á í á**). Петрографические и минералогические особенности аналогичны отложениям слоя 3, что определяет её днепровский возраст. Мощность 3-4 м.

## Í ä è í ö í á ñ è è é á ð è ç í ð

6. Порода «ленточного» типа: алевриты пылевато-супесчаные, охристо-бурые или светло-серые (мощность прослоек 1-5 см), переслаивающиеся с глинами плотными, серовато-бурыми (прослойки 0,5-2 см). В кровле наблюдается горизонт тонкоперетертой породы в виде глинистой крошки мощностью до 0,2 м. Мощность всего слоя 2,8-3 м.

## Í í ñ è í á ñ è è é á ð è ç í ð

7. Суглинок средний, плотный, красно-бурый, с гравийно-галечниковыми обломками и редкими валунами (**í í ñ è í á ñ è à y ì í ð á í á**). Мощность 1-2 м.

Вышеописанные отложения обнажаются преимущественно у д. Забава в обнажениях III и IV террас Волги. Слои верхнего плейстоцена описываются по разрезу у д. Черменино (Новский, 1971).

## Â ã ð ð í á á ç á á í Í è è ó ë è í ñ è é á ð è ç í ð

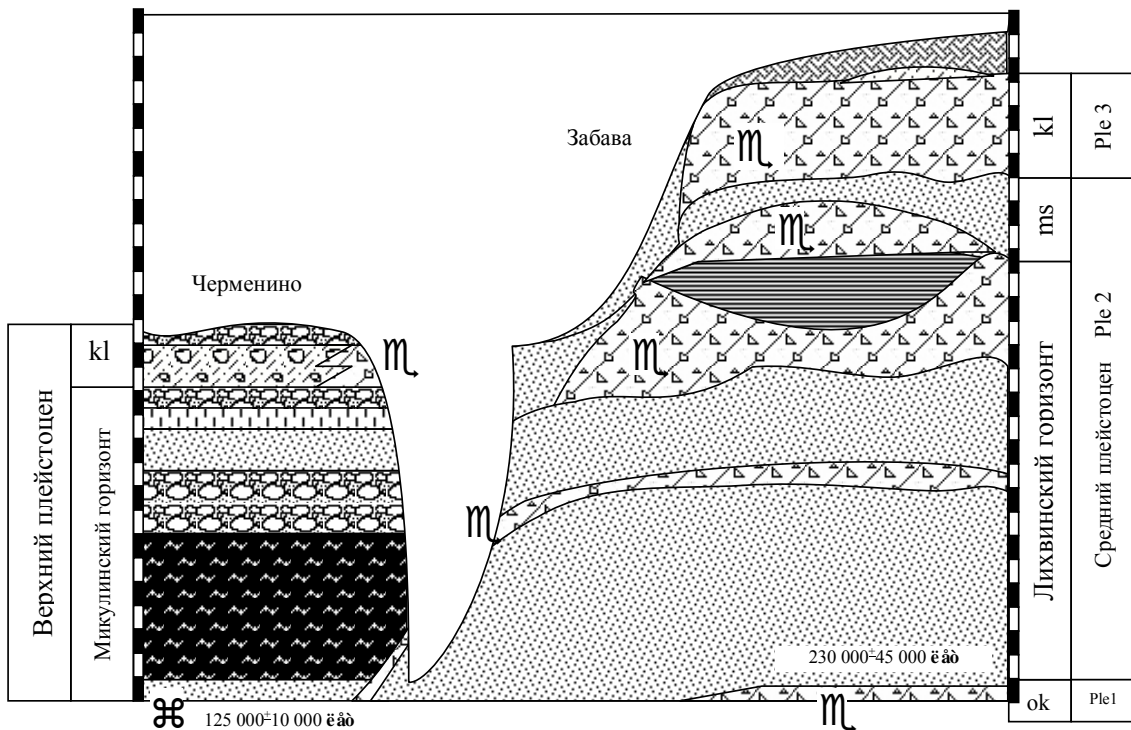
8. «Песок темно-серый, разнозернистый, с банками унионид. Благодаря раковинам заметна горизонтальная слоистость: чередование относительно более или менее грубых прослоев. К этому слою приурочены находки стволов крупных деревьев, залегающие горизонтально. Видимая мощность 0,5 м. Для слоя 8 характерно преобладание пыльцы широколистенных пород - дуба, граба, ольхи и вяза. Он соответствует **é è è í à ð è - ã ñ è í ì ó** **í í ð è í ó** межледникового».

9. Гиттия темно-серая, глинистая, весьма плотная, крупноплитчатая, с раковистым изломом, с оранжевым налетом по плоскостям отдельности, с вивианитом, с рассеянными по слою раковинами, преимущественно унионид (**ð à á ë. 54, ð è á. 2**). Видовой состав фауны моллюсков из нижнего слоя гиттии оказался следующим: *Radix auricularia* (L.), *R. ovata* (Drap.), *Gyraulus albus* (Mull.), *Valvata piscinalis* (Mull.), *V. piscinalis* var. *antigua* Sowerby, *V. pulchella* Studer, *V. cristata* (Mull.), *Bithynia tentaculata* (L.), *Unio pictorum* (L.), *U. sp. cf. tumidus* Philipsson, *Sphaerium rivicola* Lamarck, *S. solidum* (Normand), *Pisidium amnicum* Mull., *P. supinum* Schmidt, *Dreissena polymorpha* (Pallas). Мощность 5 м. В слое 9 преобладает пыльца сосны, с небольшой примесью дуба. Наблюдается пик липы и граба. Слой отвечает условиям относительного похолодания.

10. Гиттия илистая, серая, тонкослойная, с включением раковин и валунов до 20 см. Постепенно, к верху, ил переходит в песок, в котором много валунов. Некоторые из них с пришлифованной поверхностью. Фауна моллюсков состоит из следующих видов: *Bithynia tentaculata* (L.), *Valvata piscinalis* (Mull.); *Sphaerium rivicola* Lamark, *S. solidum* (Normand), *Pisidium supinum* Schmidt. Мощность 1,2 м».

Из слоя гиттий, кроме того, при исследованиях 1958 г., проводившихся В. Н. Сукачевым и его сотрудниками, были определены следующие растительные макроостатки: *Ranunculus sceleratus* L. (плодики); *Najas marina* L. (плодик), *Tilia platyphyllos* Scop. (плодик), *Potamogeton* sp. (плохо сохранившийся плодик), *Corylus avellana* L. (часть околовплодника). В. Н. Сукачев отмечал следующие виды как ныне не встречающиеся в Ярославской области, но произрастающие южнее: *Carpinus betulus*, *Tilia platyphyllos*, *Najas marina* и *Salvinia natans*. В слое 10 резко преобладает пыльца ели (пик) и сосны с сокращением или исчезновением пыльцы остальных групп, что соответствует фазе прогрессирующего похолодания (по рис. 35 из Гунова и др., 2001).

11. «Разнозернистый песок с галькой и валунами 2,8 м.
12. Песок серый, разнозернистый, с гравием и битой ракушкой. Мощность 0,5 м.
13. Песок мелкозернистый, желто-серый, с линзами серого илистого суглинка. Мощность 0,8 м.
14. Супесь серая, илистая, с песком в виде линз до 0,3 м. Мощность 0,7 м.
15. Песок серовато-желтый, разнозернистый с гравием и валунами. Мощность 0,7 м.



**Рис. 42.** Геологический разрез ГПП «Черменино-Забава». Литологические и другие обозначения см. на рис. 3. Составлено по Гунова и др. 2001.

В песках слоев 11-15 комплекс пресноводных моллюсков представлен следующими видами: *Radix ovata* (Drap.), *Bithynia tentaculata* (L.), *Valvata piscinalis* (Mull.), *V. pulchella* Studer, *Dreissena polymorpha* (Pallas) (преобладает), *Unio pictorum* (L.), *Sphaerium rivicola* Lamark, *S. scaldianum* Normand; *Pisidium supinum* Schmidt. Фауна приурочена к русловой фации аллювия, аккумуляция которого, по В. М. Мотузу, происходила в несколько иных климатических условиях, чем аллювия равнинных рек, формирующегося в настоящее время. Раковины двустворчатых и переднежаберных моллюсков несут на себе следы угнетения. Они отличаются значительно меньшими размерами”.

Для песчаных слоев 11-15 характерно преобладание пыльцы ели и сосны с примесью ольхи и карликовой бересклета. Они отражают дальнейшее похолодание в период стадийной подвижки ледника. Лесные сообщества формировались в приледниковой зоне в условиях супрового климата (по рис. 35 из Гунова и др., 2001).

Определение возраста основания микулинских слоев термолюминесцентным методом дало оценку  $125 \pm 10$  тыс. лет (Судакова и др., 1992).

#### Êàëèí èí ñèèé áî ðèçí ð

16. Суглинок средний или легкий, рыхловатый, буровато-красный, с большим количеством крупнообломочного материала (êàëèí èí ñèàý í î ðáí à). Мощность 2-4 м. Слой слагает крышу четвертой террасы Волги (30-35 м) и хорошо выражен у д. Забава. У д. Черменино он находится гипсометрически ниже (13-15 м) и отмечается лишь в западной части разреза.

**Ñí ñò í ýí èá í àí ýò í èéà.** Обнажения в районе д. Забава выходят отдельными пятнами, которые периодически заползают. Старые обнажения задерновываются довольно быстро. Выходы четырех моренных горизонтов являются местными водоупорами, по которым происходит скольжение пластов. Последнее провоцирует большие оползни, которые сползают в Волгу и образуют «полуострова» (ðàáé. 54, ôèä. 4).

У д. Черменино больших оползней не наблюдается, в связи с особенностями рельефа в районе обнажения. Основные изменения связаны с зарастанием нижних террас кустарниками и деревьями. Тем не менее, по наблюдениям 2002 г., склоны второй террасы, где выходят гиттии микулинского горизонта, еще поддаются расчистке.

#### Объяснения к таблице 54. ГПП «Черменино-Забава»

- Ôèä. 1. Выход озерных гиттий микулинской межледниковой эпохи в обнажении у д. Черменино. Снимок сделан в 2002 г.
- Ôèä. 2. Серые озерные гиттии в обнажении у д. Черменино. На сером фоне гиттиевых пород заметны белые обломки раковин двустворчатых моллюсков семейства унионид. Снимок сделан в 2002 г.
- Ôèä. 3. Общий перспективный вид на обнажение в правом берегу Волги у д. Забава. На переднем плане видно устье небольшого оврага, разделяющего дд. Черменино и Забава. Снимок сделан в 2002 г.
- Ôèä. 4. Фронтальный вид обнажения у д. Забава поблизости от высоковольтной линии. В средней части наблюдается свежий оползень, образовавший в Волге небольшой «полуостров». Отложения плейстоцена закрыты от наблюдения осьпями, оплываниями и оползнями почти на всем протяжении разреза.



# ЗАХАРЬИНСКИЙ ВАЛУН

Zaharjinsky boulder

**Ñò àð óñ:** ГПП комплексного типа (петрографический, историко-геологический) четвертичной системы местного ранга. Выделен в памятник природы Рыбинского района по решению Ярославского облисполкома от 25 июля 1966 г., № 582, а также решением Малого Совета областного совета народных депутатов от 27 мая 1993 г. № 118.

**Ó è êäëü í ñò î:** один из самых крупных эратических валунов на территории Ярославской области.

**Í àñò î ï î èî æ áí è å:** Рыбинский район, правый берег Волги (Рыбинского водохранилища) в 300 м выше д. Захарьино. Захарьинский валун находится на территории ГПП «Глебово» на бечевнике в 2 м от подножия берегового склона.

**Èí í ô è àôôåöèý:** валун имеет в плане округленно-трапециевидную форму с длиной 3,4 м, шириной – 2,4 м, и высотой – 2,6 м (**ðàäé. 55, ô è ä. 1-5**). Основание валуна плоское, стенки покатые и несколько сходятся кверху. Южная сторона валуна плоская и шершавая, с острыми пограничными краями, и представляет плоскость скола. Остальные стороны гладкие, отполированные, в особенности западная стенка, и несут неглубокие царапины, образующие параллельную (ледниковую) штриховку.

**Í àð ðî è î ãè ÷åñêàÿ ôàôåò ôå è èà:** Розовый мелко- и равномернозернистый гранито-гнейс или гнейс с неясно слоистой текстурой. Среди породообразующих минералов преобладают полевые шпаты (ортоклаз и плагиоклаз, примерно в равном соотношении) и кварц. По соотношению полевых шпатов соответствует гранитам из группы адамеллитов. Граниты и гранито-гнейсы подобного типа характерны для Карельской питающей провинции, откуда, вероятно, и происходит данный валун.

**Í ôôåí í àÿ çî í à** находится в пределах ГПП «Глебово».

**È ñò î ðè ÷åñêè é í áçî ð:** Ледниковые (эрратические) валуны на территории Ярославской области составляют неотъемлемую часть ландшафта. Они принесены ледниками, как минимум, четырех оледенений (окского, днепровского, московского, калининского). Впоследствии валуны были рассеяны водно-ледниковыми потоками и реками. Этот процесс продолжается и по сей день, преимущественно весной, при участии речного льда, разносящего вниз по течению рек вмерзшие в него обломки. Все эратические валуны состоят из горных пород, не характерных для верхних горизонтов коренных отложений данной территории. В Ярославской области эратические валуны состоят в основном из магматических и метаморфических пород, реже осадочных. Первые происходят из различных районов Балтийского щита, где выходят архейские и протерозойские кристаллические породы фундамента, главным образом, породы гранитного ряда. Именно поэтому по петрологическому составу среди крупных валунов в Ярославской области преобладают граниты, гнейсы, гранито-гнейсы и грано-диориты. Второе место по объему занимают розовые шокшинские кварциты, происходящие из Онежско-Ладожского района (главенствующая питающая провинция для Ярославской области). Среди осадочных пород доминируют окремневшие известняки и кремни каменноугольного возраста, происходящие из северо-западных районов выходов карбона на русской платформе (карбоновое плато, по Судакова, 1974; Евдокимов, 1975) преимущественно Валдайской, Вепсовской возвышенностей и Тихвинской гряды. Определенная часть валунов представлена руководящими формами, могущими указать на источник происхождения эратического материала. Большинство из них происходит из Скандинавской, Карельской, Онежско-Ладожской и, в меньшей степени, Уральской и транзитных питающих провинций (Судакова, 1974; Карпухин, Карпухин, Лавров, 1974; Карпухин, 1974; Евдокимов, 2001 и др.).

Наибольшее количество валунов содержится в московской и калининской моренах. В районе с. Глебово наблюдается развитие только одной морены московской ледниковой эпохи. Она содержит, преимущественно в нижней части, множество крупных валунов, длиной более полуметра. При разрушении берега они концентрируются на бечевнике, образуя крупновалунные поля. Многолетние наблюдения в районе с. Глебово при проведении ежегодных полевых практик студентов педагогического университета позволили составить представление о петрографическом разнообразии средних и крупных валунов, скопившихся на бечевнике в районе ГПП «Глебово». Большинство крупных валунов состоят из крепких магматических и метаморфических пород. Осадочные породы составляют только валуны средних размеров. В основном это окремневшие известняки и кремни. Около 40% крупных валунов представлены породами гранитного ряда: гранитами, гнейсами и гранито-гнейсами. Среди гранитов преобладают розовые плотные мелкокристаллические разновидности (из Карельской питающей провинции), и в меньшей степени – крупнокристаллические, быстро разлагающиеся, рапакиви.



**Де́й. 43.** Валунные россыпи на берегу Волги в северной части с. Глебово, в районе санатория. Снимок сделан в 1980-е г.

Последние происходят из Ладожского района. Около 30% крупных валунов представлено протерозойскими кварцитами, среди которых доминируют розовые шокшинские разновидности. Нередко они встречаются в виде характерных плит с волноприбойными знаками. Остальные валуны примерно поровну представлены габбровидными, перidotитовыми и диоритовыми магматическими породами. Крайне небольшую примесь составляют валуны экзотического состава. К ним относятся гранулиты саамской серии (ранний-средний архей), коренные выходы которого известны в районе Кандалакшского прогиба на Кольском полуострове. Среди редких по составу валунов можно отметить сильно метаморфизованные тиллиты, происходящие из Скандинавской питающей провинции.

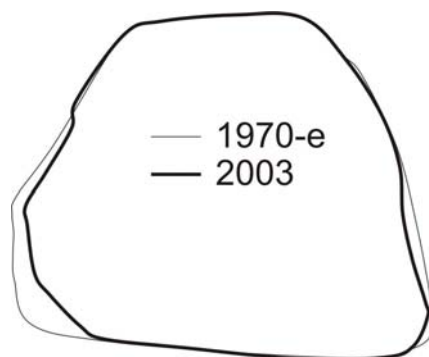
На территории ГПП «Глебово» можно выделить три участка берега с большими скоплениями крупных валунов. Южный участок находится вблизи геологической базы и санатория, за пределами высоких обнажений (**де́й. 43**). Здесь валуны, в среднем 0,5-1 м в диаметре, равномерно рассеяны среди песка и мелкой гальки, образуя живописный «сад камней». Второй валунный участок находится непосредственно под обнажением у с. Глебово. Валуны, иногда размером более полутора метров, расположены среди фосфоритовой гальки, нередко вплотную (**да́е. 55, 6 е́а 6**). Третий валунный участок отмечается под обнажениями в районе д. Мостово и Захарино. Здесь наблюдаются очень крупные валуны до двух и более метров. Известны два валуна длиной более 2 м (**да́е. 56, 6 е́а 1**). Из них самым крупным является Захарьинский валун, представляющий геологический памятник природы.

Захарьинский валун обнаружен в 1940-х гг. преподавателем геологии Ярославского педагогического института А. Н. Ивановым. Вероятно он выпал из морены примерно в это же время. Его длина достигала около 4 м. Валуны такого размера в Ярославской области встречаются нечасто и поэтому являются уникальными геологическими объектами. В связи с этим возникла идея его охраны под официально зарегистрированным статусом геологического памятника природы, который был получен 1966 г. по инициативе А. Н. Иванова. Захарьинский валун был постоянным объектом экскурсий студентов и школьников (**де́й. 44, да́е. 55, 6 е́а 3**), на котором они любили делать традиционные фотоснимки.

В 1970-х гг. во время одной из экскурсий было обнаружено, что валун «потерял» значительную, примерно одну четвертую, часть своей южной стороны. Раньше в южной задней части валуна наблюдалась трещина, делившая его на две неравные части (это видно на старом фотоснимке, **де́й. 44**). Теперь южная часть валуна ограничена ровной плоскостью с острыми краями – северной плоскостью бывшей трещины. При осмотре «места происшествия» исчезнувшая часть обнаружена не была, однако свежее костище, окружавшее валун с двух сторон, предполагало, что его пытались разрушить методом периодического нагревания и охлаждения. Странное исчезновение части валуна совпало со строительством дорожной ветки в сторону вышерасположенных министерских дач. Существует неподтвержденная версия, что часть валуна была использована строителями дороги. Однако достоверные обстоятельства исчезновения меньшей части валуна остаются неустановленными.

**Ñî ñò î ÿí èå î àì ÿò - i èêà.** Естественные изменения связаны в основном с колебанием уровня водохранилища. Бечевник, на кото-ром находится валун, периодически затапливается, и при этом нижняя часть валуна оказывается в волноприбойной зоне. Чаще всего урез воды приходится на высоту 1 м от основания валуна, что заметно по светлым и темным горизонтальным линиям на его стенках. В этом месте вода оказывает медленное разрушающее воздействие на породу, которое можно заметить только сравнивая фотоснимки, сделанные из одного ракурса с большим временным интервалом. На **дёй. 45**, где совмещены контуры валуна 1970-х гг. и 2003 г., заметно появление небольшой пологой выемки в районе преимущественного положения уреза воды. Наблюдаются также исчезновения небольшой части внизу восточной стенки валуна. Несмотря на то, что Захарыинский валун состоит из относительно устойчивой к разрушению гранитной породы, он испытывает заметное воздействие выветривания, преимущественно физического. Однако это воздействие несравненно ниже оказываемого человеком.

Крупные размеры валуна привлекают внимание многих людей, преимущественно отдыхающих. Некоторые из них оставляют заметные надписи на его гладкой западной стенке, что сильно снижает эстетические качества памятника.



**Дёй. 45.** Изменение очертаний Захарыинского валуна с северной стороны за отрезок времени, равному около 30 лет. Сравнение сделано на основе сопоставления двух снимков, сделанных из одной точки. На позднем профиле заметно появление небольшой выемки справа, которая находится на место наиболее продолжительного стояния уреза воды. Слева также заметно исчезновение части валуна, что тоже может быть связано с волноприбойной деятельностью.



**Дёй. 44.** Захарыинский валун в 1950-е г. В южной части валуна проходит трещина (показано стрелкой), которая его делит на две неравные части. Впоследствии, в конце 1970-х г., южная половина валуна «загадочно» исчезнет.

#### Объяснения к таблице 55. ГПП «Захарыинский валун»

**Ôèä. 1.** Вид сверху на Захарыинский валун во время высокого стояния воды. Снимок сделан в 2001 г.

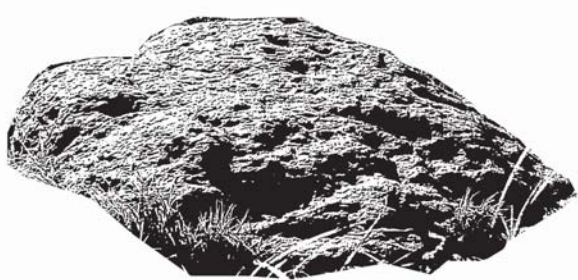
**Ôèä. 2.** Вид на Захарыинский валун крупным планом сверху с южной стороны. Южная часть валуна ограничена ровной плоскостью с острыми краями – следы откола. Снимок сделан в 2001 г.

**Ôèä. 3.** Захарыинский валун в 1970-е годы в момент низкой воды. В районе памятника проходит экскурсия студентов Ярославского педагогического института под руководством профессора А. Н. Иванова.

**Ôèä. 4.** Вид на Захарыинский валун крупным планом с западной стороны. Снимок сделан в 2003 г.

**Ôèä. 5.** Вид на Захарыинский валун крупным планом с северной стороны. Снимок сделан в 2003 г.

**Ôèä. 6.** Фосфоритовая “мостовая” и скопление валунов на бечевнике в районе глебовского “мыса”. Снимок сделан в 2001 г.



# СИНИЙ КАМЕНЬ

Blue Stone

**№ 20 07:** ГПП комплексного типа (петрографический, историко-геологический) четвертичной системы местного ранга. Выделен в памятник природы Переславского района по решению Ярославского облисполкома от 25 июля 1966 г., № 582, а также решением Малого Совета областного совета народных депутатов от 27 мая 1993 г. № 118.

**Он же:** один из самых крупных эрратических валунов на территории Ярославской области, являющийся также этнографическим памятником.

**Лежбище:** Переславский район, северо-восточный берег Плещеева озера у подножия Александровой горы. ГПП «Синий камень» расположен на сырому болотистом лугу, вблизи левого берега ручья, впадающего в озеро. От открытых вод Плещеева озера его отделяет полоса заросшего водной растительностью мелководья, шириной около 50 метров.

**Характеристика:** валун имеет уплощенную, с боков, и округлую, в плане, форму (длина 56, ширина 2). Его диаметр 2,6 м, высота – 0,6-0,7 м. Масса равна приблизительно 12 тоннам. Объем камня примерно оценивается в 4 м<sup>3</sup>. Поверхность испещрена мелкими бугорками и ячейками 3-4 сантиметров в поперечнике. Ледниковая штриховка отсутствует.

**Состав:** кварцево-биотитовый сланец, мелкокристаллический, тонкослоистый, с мелкими беловатыми прожилками на темном фоне. Цвет породы неоднородный: серые, темно-серые и серо-синие тона (длина 56, ширина 3). При увлажнении поверхность блестит и становится темно-синей. Синий цвет образуется вследствие преломления и отражения света поверхностью чешуек черной слюды - биотита.

**История:** валун известен с древнейших времен. Первые сведения о Синем камне отмечены в летописном своде конца XVI века: "... Бысть во граде Переславле камень за Борисом и Глебом в боярку, в нем же вселился демон, мечты творя и привлагая к себе ис Переаславля людей: мужей и жен и детей их и рассевая сердца в праздник великих апостолов Петра и Павла. И они слушали его к нему стекалися из году в год и творили ему почести". До X века территорию района Переславля-Залесского населяли меряне. Считается, что они поклонялись камню как одному из богов и приносили ему жертву. Камень украшали цветами и лентами, водили вокруг него хороводы, посвященные встрече весны. Культ Синего камня просуществовал до середины средних веков и, как отражение существовавшего в то время двоеверия, был предметом тайного поклонения.

Согласно указаниям летописи, до начала XVI века валун находился в районе Борисоглебской слободы. В начале XVI века по требованию Преподобного Иринарха Синий камень был закопан в выкопанной рядом яме дьяконом переславской Семеновской церкви Ануфрием. По легенде, дьякон Ануфрий сразу же после этого заболел тяжелой лихорадкой. Однако вскоре камень опять появился на поверхности, что способствовало увеличению его популярности. Примерно через сто пятьдесят лет церковные власти Переславля-Залесского решили использовать крупный валун при закладке фундамента колокольни церкви в Духовной слободе на левом берегу реки Трубеж. Зимой 1788 года валун был спущен к озеру. Когда камень везли по льду Плещеева озера, лед проломился и камень ушел под воду на глубину около 2 саженей (4 метра). Точное место, где проломился лед и затонул камень, неизвестно. Через 50-60 лет камень показался из воды. Постепенно он переместился к береговой линии и очутился на суше.

Существуют различные предположения о механизме перемещения Синего камня. Большинство из них предполагают, что, валун был транспортирован к сушке придонным льдом озера. Подсчитано, что для подъема 12-тонного валуна необходимо около 120 кубометров льда. Образование донного льда в таких объемах вполне допустимо в условиях озерного мелководья поздней осенью-ранней зимой в условиях интенсивного перемешивания вод, когда переохлажденные на поверхности, они достигают дна.

Другая версия не исключает появление Синего камня на берегу вследствие понижения уровня Плещеева озера, в результате которого могла быть обнажена часть прибрежного мелководья.

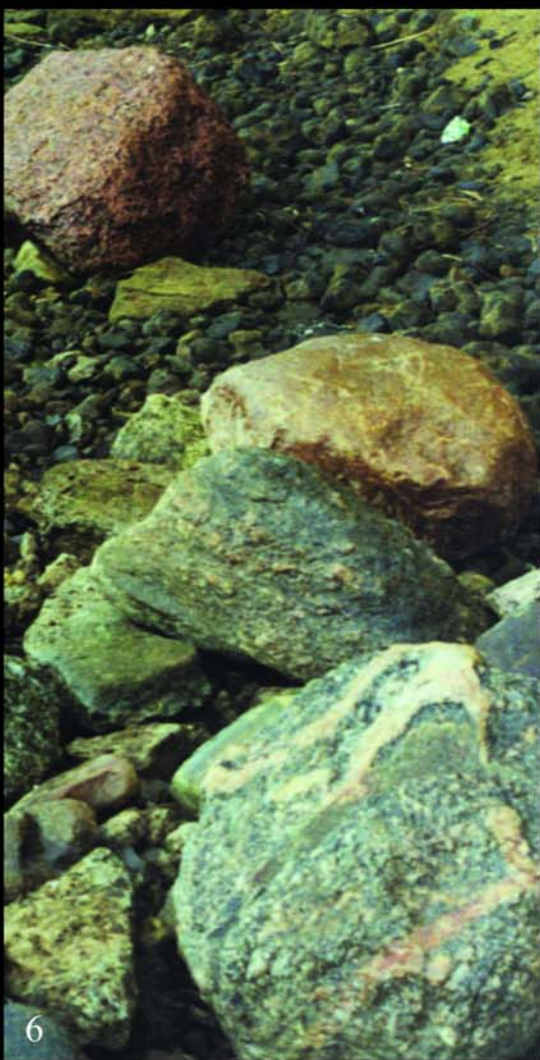
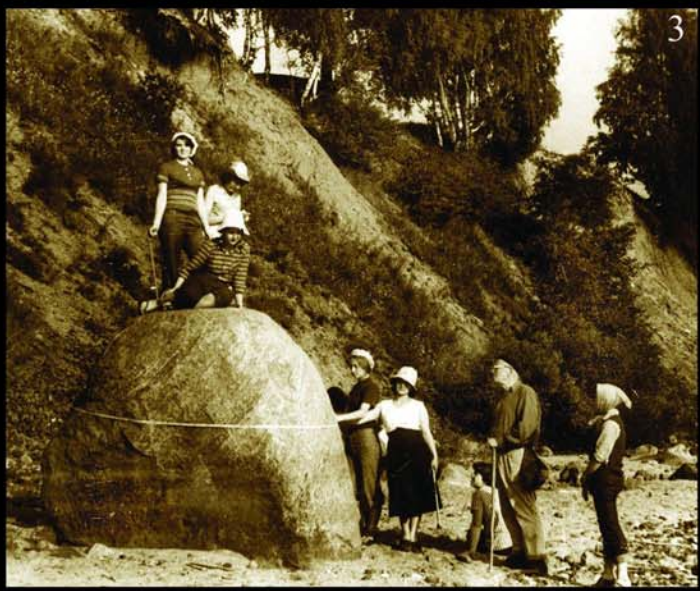
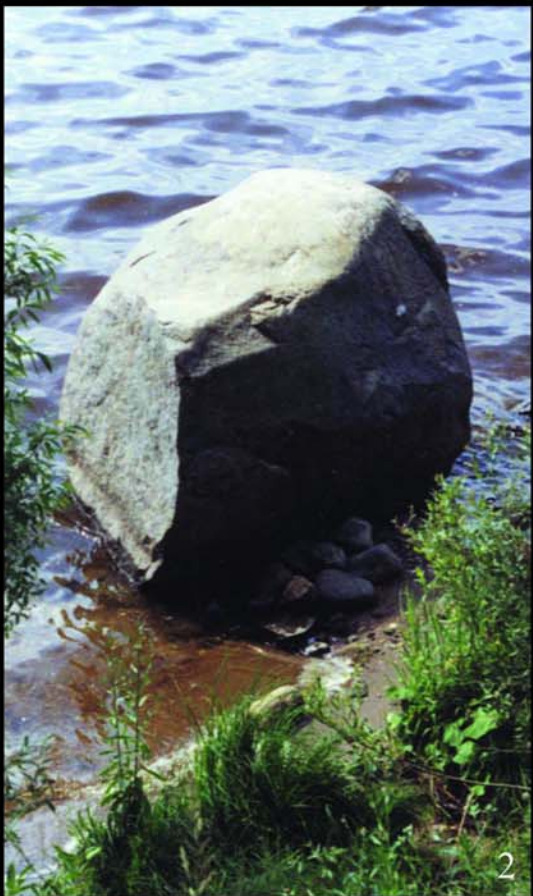
## Объяснения к таблице 56

**Он же.** 1. Мостовский валун - второй по величине в районе ГПП «Глебово», после Захаринского. Расположен под обнажением у д. Мостово. Он состоит из габбро, его длина равна 2,7 м, высота – 1,7 м. Снимок сделан в 2003 г.

**Он же.** 2. Внешний вид валуна «Синий камень». Снимок сделан в 2001 г.

**Он же.** 3. Поверхность валуна «Синий камень» с близкого расстояния. Снимок сделан в 2001 г.

Таблица 55



6

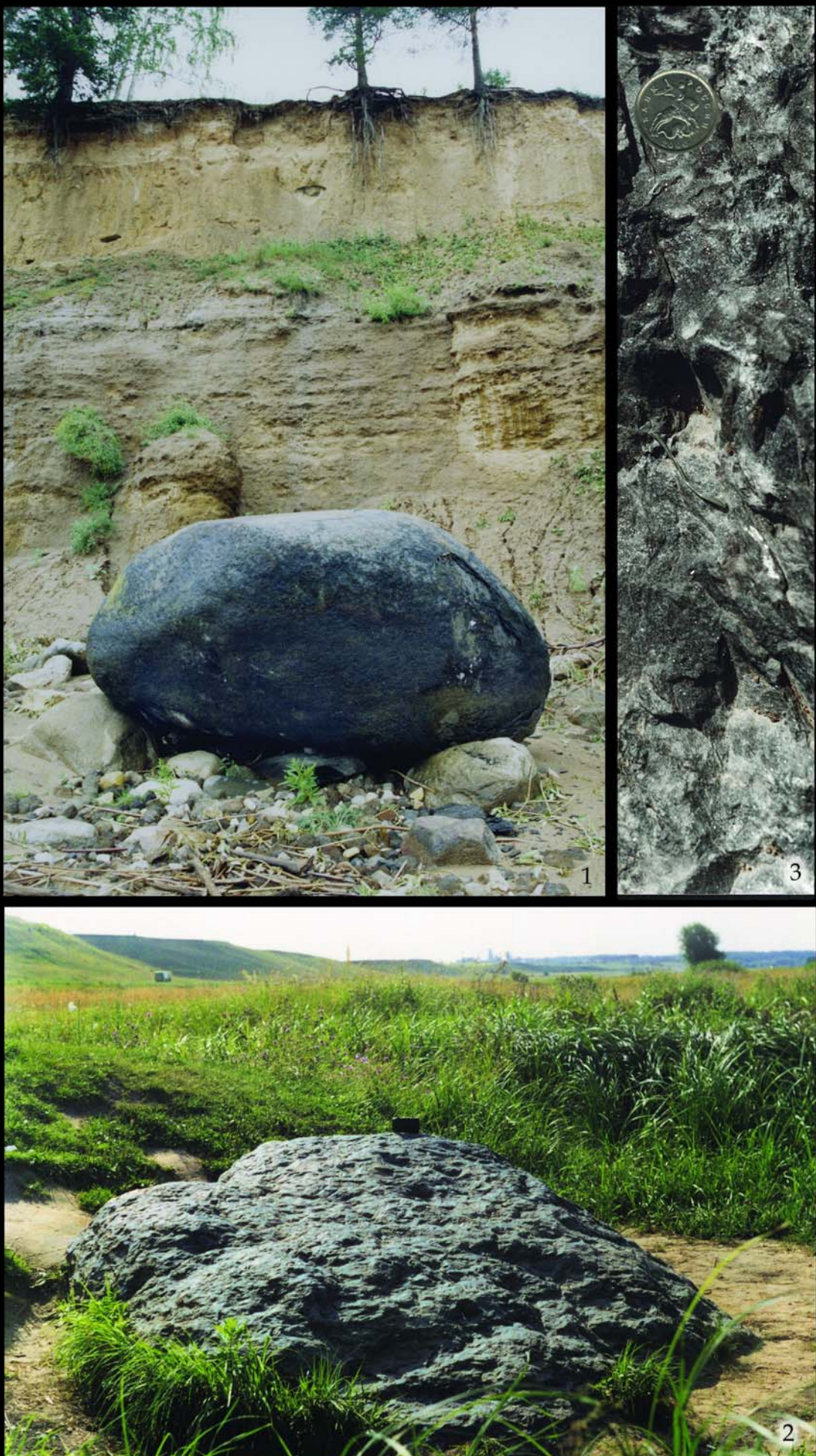
5

4

3

1

Таблица 56



## Краткий словарь специальных терминов

**А́эддэ́дэ́д** – горная порода осадочная, рыхлая, мелкообломочная (размер частиц 0,01-0,1 мм).

**А́эддэ́ді́ ё́ё́д** – горная порода осадочная, сцепментированная, мелкообломочная (размер частиц 0,01-0,1 мм).

**А́лд ө́ ё́й** – озерно-болотный или лагунный ил, состоящий из остатков организмов и экскрементов животных с примесью минеральных веществ.

**А́т ё́ё́д ё́ї** – эталонный экземпляр биологического вида, избранный его автором как типичный при его установлении и указанный при опубликовании.

**А́ёўё́ё́т а́ё́нн ё́ё́ё́т** – нарушения залегания горных пород под давлением ледника и представляющие складки, небольшие надвиги и др.

**А́лд д́ё́д і́д а́лд** – водные беспозвоночные, питающиеся органическим детритом.

**Çí á** – стратиграфическая единица, подчиненная ярусу. Это – отложения, характеризующиеся определенным комплексом видов организмов, не повторяющимся в выше- и нижележащих слоях. Зоны называют по одному-трем наиболее характерным видам (индексам) фауны или флоры.

**Ё́т а́л ё́п і́д а́лд** – спиральная раковина (аммонитов, брюхоногих, фораминифер и др.), имеющая узкий пупок.

**Ё́а́шшэ́ддэ́д а́л** – карбонатные породы, образующиеся у поверхности земли в засушливых районах в результате испарения грунтовых вод.

**Ё́т і́ддэ́дэ́т** – плотные стяжения минеральных компонентов (карбонатных, фосфатных, силикатных, железистых и др.), ясно отличающиеся от вмещающей осадочной породы формой, цветом и другими признаками.

**Ё́а́дді́ т́пд д́дд і́д ё́ї** – типовой (эталонный) разрез стратиграфического подразделения, выделяемый в том случае, если при его первоначальном выделении стратотип указан не был.

**Ё́а́дді́ т́д ё́ї** – эталонный экземпляр биологического вида, избранный любым исследователем как типичный после его установления автором вида.

**Ё́дд і́ддэ́й** – приливно-отливная зона шельфа.

**І́ а́дді́ ё́ї і́д** – аммониты, достигающие крупных размеров (более 5 см). Согласно концепции полового диморфизма, макроконхи являются самками аммонитов.

**І́ а́дді́ ё́дд** – экологическая группа организмов, питающихся макроскопическими растениями (фитомакрофаги) или животными (зоомакрофаги).

**І́ а́ддэ́й** – горная порода осадочная, глинистая, сцепментированная карбонатными минералами.

**І́ ё́дді́ ё́ї і́д** – карликовые аммониты, размеры которых не превышают более 5 см. Согласно концепции полового диморфизма, микроконхи являются самцами аммонитов.

**І́ а́т д́ё́д** – эталонный экземпляр биологического вида, избранный любым исследователем как типичный после утери голотипа или лектотипа.

**І́ т́е́дд а́л** – небольшие (до 5 мм) шаровидные или эллипсовидные образования минералов, обладающие концентрически-слоистым или радиально-лучистым строением.

**І́ д́ё́д і́дді́ і́ц** – группировка организмов, сохранившаяся в ископаемом состоянии («сообщество окаменелостей»).

**І́ д́дд а́л** – стратиграфическая единица, имеющая планетарное распространение, подчиненная системе и состоящая из ярусов. Представляет отложения, образовавшиеся на протяжении геологической эпохи. Названия отделов даются в соответствии с положением в стратиграфической шкале (нижний, средний, верхний). Реже даются собственные названия.

**І́ д́дд і́дді́ і́д** – начальная, эмбриональная раковина аммонитов, как правило не превышающая диаметра 1 мм.

**І́ ѿ́ і́д** (умбо) – часть спиральной раковины беспозвоночных (аммонитов, брюхоногих, фораминифер и др.), расположенная внутри наружного витка спирали.

**Д́ддэ́т ў́дді́** – стратиграфическое подразделение ранга яруса, не имеющее планетарного распространения.

**Д́ддамп́тэ́т** – отступление моря, сопровождающееся осушением участка земной коры на протяжении определенного отрезка геологического времени.

**Н́дд а́л а́** – стратиграфическая единица, имеющая планетарное распространение, подчиненная эратеме и состоящая из отделов. Это – отложения, образовавшиеся на протяжении геологического периода. Названия систем даются по названиям местностей, в которых они были впервые выделены, или древних народностей, либо связаны с особо характерными типами осадков, а также по другим принципам.

**Н́дд і́д** – деталь раковины спирально свернутых головоногих моллюсков, представляющая органическую трубку, пронизывающую газовые камеры. Нередко сохраняется в ископаемом виде.

**Н́дд д́дд е́ддэ́д ё́ў** 1. Раздел исторической геологии, рассматривающий последовательность осадочных, вулканогенных и метаморфических образований (слоев), слагающих земную кору. 2. Описание последовательности залегания геологических образований какой-либо территории.

**Н́дд д́дд і́д ё́ї** – эталонный разрез стратиграфического подразделения.

**Н́дд д́дд е́ддэ́д ё́ї - а́лддэ́д а́л** – отложения, характеризующиеся определенным набором признаков (литологических, палеонтологических и др.) и образованные в течение определенного интервала геологического времени. В зависимости от географического распространения и стратиграфического объема различают с. п. разного ранга, образующих иерархию (эрата, система, отдел, ярус, зона).

**Н́ддэ́д ё́ддэ́т** – зона шельфа, находящаяся ниже литорали в диапазоне глубин 5-200 м.

**О́ддат п́ддамп́тэ́т** – наступление моря, сопровождающееся затоплением участка земной коры на протяжении определенного отрезка геологического времени.

**О́е́нп́д і́д** – начальная игловидная или пластинчатая часть сифона аммонитов, образующаяся в протоконхе.

**О́е́нп́д д́дд і́дд** (сестенофаги) – водные беспозвоночные (губки, брахиоподы, мшанки, двустворчатые моллюски и др.), питающиеся планктоном с помощью фильтрации воды.

**О́ддэ́т** – начальная выпуклая часть сифона аммонитов, образующаяся в протоконхе.

**Ү́дд ё́п і́д а́лдді́ а́лд** – спиральная раковина (аммонитов, брюхоногих, фораминифер и др.), имеющая широкий пупок.

**Ү́дд а́л а́** – стратиграфическая единица крупного ранга, имеющая планетарное распространение и подразделяющаяся на системы. Э. представляет отложения, образовавшиеся на протяжении геологической эры.

**В́дді́** – стратиграфическая единица, имеющая планетарное распространение, подчиненная отделу и состоящая из зон. Представляет отложения, образовавшиеся на протяжении геологического века. Названия ярусов даются по названиям местностей.

## Литература

- Ададий И. И., О аэодай аа И. И. 1991 - Палинологическое обоснование возраста паршинских слоёв нижнего триаса Московской синеклизы // Бюлл. МОИП. Отд. геол. Т.66. Вып. 3. С. 73-77.
- Адеппой А. И. 1965 - Нижний гортерив Ярославского Поволжья и его фауна. Канд. диссертация. 247 с.
- Адеппой А. И. 1967 - О бореальном нижнем гортериве и его фауне в СССР // Геология и геофизика. № 9. С. 16-22.
- Адеппой А. И. 1974 - Об аммонитах рода *Homolsomites* из нижнего мела Русской платформы. В кн.: Биостратиграфия бореального мезозоя. Новосибирск: Наука. С. 149-182.
- Адеппой А. И. 1979 - К вопросу о стратиграфическом значении Ярославского комплекса гортеривских аммонитов. В кн.: Позднемезозойские головоногие моллюски Верхнего Поволжья. Ярославль. Сб. науч. тр. ЯГПИ. С. 55-61.
- Адеппой А. И., Едай А. И. 1967 - О зональном делении нижнегортеривского подъяруса в Бореальной области нижнего мела СССР. Ученые записки Ярославского пед. ин-та. Вып. 87. С. 64-71.
- Адеппой А. И., Едай А. И. 1979 - О пограничных с юрой слоях мела в Ярославском Поволжье. В кн.: Стратиграфия юры и низов мела Бореального пояса. Новосибирск: «Наука». С. 28-34.
- Адеппой А. Н. 2003 - Ревизия семейства Tomidae (Insecta: Grilloblattida) // Палеонтологический журнал. № 1. С.32-39.
- Адеппой А. Р. И. 1962 - К вопросу об истории формирования рельефа Ярославско-Костромской низины и сопредельных территорий. // Доклады на научных конференциях. Т. 1, вып. 4. Ярославль. С. 108-115.
- Адеппой А. Р. А. 1967 - О геологическом возрасте осадков древнего Молого-Шекснинского озера. // ДАН. Т. 172. №1. С. 161-164.
- Адеппой А. Р. А. 1974 - Новые данные о возрасте верхнеплейстоценовых отложений в Калининско-Ярославском Поволжье. ДАН, сер. геол. Т. 195, № 5. С. 1159-1162.
- Адеппой А. Р. А. 1984 - Результаты комплексного изучения четвертичных отложений окрестностей г. Ростова Ярославской области. В кн.: Геология, полезные ископаемые и инженерно-геологические условия Центральных районов Европейской части СССР. М. С. 35-46.
- Адеппой А. А. 1948 - Геологическое строение и перспективы нефтегазоносности палеозойских отложений Среднерусской синеклизы. М.: Гостоптехиздат. 180 с.
- Адеппой А. Р. 2001 - Нижний мел Восточно-Европейской платформы и ее южного обрамления (стратиграфия, палеогеография, бореально - тетическая корреляция). Автореферат диссертации на соискание ученой степени доктора геолого-минералогических наук. М.: МГУ. 50 с.
- Адеппой А. Р. 2003 - Раннемеловые проливы Русской плиты // Бюлл. Моск. о-ва испытателей природы. Отд. геол. Т. 78. Вып. 4. С.35-48.
- Адеппой А. И. 1962 - Неизвестное обнажение триасовых пестроцветных глин в Даниловском районе Ярославской области // Доклады на научных конференциях. Т. 1. Вып. 4. Ярославль. С. 115-119.
- Адеппой А. И. 1966 - Faунистический состав зоны Epivirgatites nikitini в Ярославском Поволжье как один из показателей батиметрического режима бассейна. «Герценовские чтения» серия «География и геология». Программа и тезисы докл. Л. : Изд. ЛГПИ. С. 46-49.
- Адеппой А. И. 1968 - Наблюдения по палеэкологии позднеюрских двустворчатых моллюсков Ярославского Поволжья / / Уч. Зап ЯГПИ, вып. 71. Ярославль. С. 29-35.
- Адеппой А. И. 1971 - К истории позднеюрских морей в Верхнем Поволжье // Уч. Зап ЯГПИ. Вып. 87. Ярославль. С. 49-63.
- Адеппой А. И. 1975 - К вопросу о палеоэкологии позднеюрских аммонитов (на примере Ярославского Поволжья). В кн.: Вопросы эволюции, экологии и тафономии позднемезозойских аммонитов. Уч. зап. ЯГПИ, вып. 3, Ярославль. С. 56-60.
- Адеппой А. И. 1985 - Об остатках икры в жилых камерах поздневолжских аммонитов // Бюлл. МОИП. Отд. геологии. Т. 60. Вып. 2. С. 89-91.
- Адеппой А. И., И. А. 1996 - Стратиграфия келловея и оксфорда Ярославского Поволжья // Бюлл. Моск. о-ва испытателей природы. Отд. геол. Т. 71. Вып. 3. С.69-77.
- Артём А. Е. 1972 - Фации и палеогеография Московской синеклизы и Волжско-Камской антиклизы в раннетриасовую эпоху. Казань: Изд-во Казан. ун-та. 368 с.
- Артём А. Е. 1989 - Полиптихиты (аммониты) и биостратиграфия бореального валанжина. Новосибирск: Наука. 200 с.
- Артём А. Е. 1979. Тихвинское местонахождение триасовых позвоночных // Памятники природы земли Ярославской. Ярославль. С. 15-17.
- Адеппой Н. Е. 1971 - Четвертичная система // Геология СССР. - М. Недра, т.4. 440 с.
- Адеппой А. И., Адеппой А. И., Адеппой А. А., О. А. 1969 - Отложения лихвинского межледникового в Ярославском Поволжье // Бюл. комисс. по изуч. четверт. периода. № 36. М. С. 33-57.
- Адеппой А. Е. 1927 - Геологические изыскания в Рыбинском крае летом 1926 и 1927 г.г. // Родной край. № 6. С. 13-16.
- Адеппой А. Е., Адеппой А. И., Адеппой А. А., Адеппой А. А. 2001 - Литолого-геоморфологическое и палеогеографическое районирование Ярославского Поволжья в связи с геоэкологическим состоянием природной среды. В кн.: Проблемы стратиграфии четвертичных отложений и палеогеографии Ярославского Поволжья. М.: ГЕОС. С. 112-120.
- Адеппой А. Е. 1955 - Минерально-сыревая база и геоэкология Ярославской области. Альбом карт. М. 2000. 19 с.
- Адеппой А. И. А. 1955 - Руководящие ископаемые мезозоя центральных областей Европейской части СССР. М.: Госгеолтехиздат, Ч. I, II. 58 с.
- Адеппой А. И. А. 1960а - Губки подмосковной юры и нижнего мела. В кн.: Материалы по геологии и полезным ископаемым центральных районов Европейской части СССР. Вып. 3. М. С. 5-63.
- Адеппой А. И. А. 1960а - Новые позднеюрские аммониты Русской платформы. В кн: Новые виды древних растений и беспозвоночных СССР. Ч. 2. М.: ГОСГЕОЛТЕХИЗДАТ. С. 168-172.
- Адеппой А. И. А. 1969 - Верхний подъярус волжского яруса центральной части Русской платформы. М.: Наука. 144 с.
- Адеппой А. И. А. 1972 - Южная часть Московской синеклизы // Юрская система // Стратиграфия СССР. М.: Недра. С. 27-50.
- Адеппой А. И. А. 1992 - Гастроподы юрских и пограничных нижнемеловых отложений Европейской России. М.: Наука, 190 с.

- Алданов И.А., Ильин А.А., Егоров А.А.*. 1995 - Ископаемые волжского яруса Центральной России. М.: тр. ВНИГНИ, 116 с.
- Алданов И.А., Чадаев А.А., Егоров А.А.*. 1977 - Новые данные по стратиграфии бореального готерива // Геология и геофизика. № 7. С. 75-82.
- Алданов И.А., Егоров А.А., № 348-372.*. 1971 - Триасовая система. В кн.: Геология СССР. Т 4. С. 348-372.
- Алданов И.А., Егоров А.А., № 314-348.*. 1971 - Пермская система. В кн.: Геология СССР. Т 4. С. 314-348.
- Алданов И.А., Д.И.*. 1968 - Смена растительного покрова в микулинском межледниковых по исследованию торфяников Ярославской области. В кн.: История растительного покрова центральных областей европейской части СССР в антропогене. М.: «Наука». С. 87-98.
- Алданов И.А., Д.И., е. дд.*. 1962 - О межледниковых отложениях с ископаемой флорой близ г. Тутаева на р. Волге. // Бюлл. МОИП, отд. биол. № 1. С. 59-82.
- Алданов И.А., Д.И., е. дд.*. 1968 - Смена растительного покрова в микулинском межледниковых по исследованию торфяников Ярославской области. В кн.: История растительного покрова центральных областей европейской части СССР в антропогене». М.: «Наука». С. 45-50.
- Алданов И.А., А.А.*. 1897 - Верхнеюрские образования в окрестностях г. Ярославля // Ежегодник геологии и минералогии России. Вып. 2. С. 67-82.
- Алданов И.А., Абакумов И.А., Чадаев А.А., Егоров А.А., № 188-203.*. 1973 - Интерглациальные отложения в районе Ростова-Ярославского. // Палинология плейстоцена и плиоцена. М.: Наука. С. 188-203.
- Алданов И.А., Абакумов И.А., Чадаев А.А., Егоров А.А., № 2001* - Опорный разрез плейстоцена Рыбинск-Черемено. В кн.: Проблемы стратиграфии четвертичных отложений и палеогеографии Ярославского Поволжья. М.: ГЕОС. С. 68-77.
- Алданов И.А., Егоров А.А.*. 1994 - Палеонтологические памятники природы: типология и принципы районирования. В кн.: Динамика разнообразия органического мира во времени и в пространстве. Тезисы докладов XL сессии палеонтологического общества. СПб. С. 13-14.
- Алданов И.А., Абакумов И.А., Чадаев А.А., Егоров А.А., № 365.*. 1982 - Триасовые флоры Евразии. М.: Наука. (Тр. Геологического ин-та АН СССР. Вып. 365). 1986.
- Алданов И.А., Чадаев А.А., Егоров А.А., № 132-144.*. 1985 - Морфогенез раковин поздневолжских аммонитов *Craspedites* и *Kachprites* из Ярославского Поволжья. В кн.: Ископаемые головоногие моллюски. М. С. 132-144.
- Алданов И.А., Чадаев А.А., Егоров А.А., № 370 с.*. 1975 - Палеогеографические и стратиграфические исследования на основе изучения крупнообломочного материала ледниковых отложений Ярославского Поволжья. Дисс. канд. географических наук. М. 370 с.
- Алданов И.А., Чадаев А.А., Егоров А.А., № 186 с.*. 1955 - Каталог местонахождений пермских и триасовых наземных позвоночных на территории СССР. М.-Л.: Изд-во АН СССР. (Тр. Палеонтологического ин-та АН СССР, т.46). 186с.
- Чадаев А.А., Альштедт И.И., Егоров А.А., № 927-956.*. 1984 - Корреляция бореального и субтетического валанжина по бухиям и аммонитам. В кн.: Пограничные ярусы юрской и меловой систем. М.: Наука. С. 18-24.
- Чадаев А.А., Альштедт И.И., Егоров А.А., № 1997* - Бореальный зональный стандарт и биостратиграфия мезозоя Сибири // Геология и геофизика. Т. 38. № 5. С. 927-956.
- Чадаев А.А., Ольховский О.Д.*. 1934 - Геологический обзор юрских и меловых фосфоритовых отложений бассейна р. Волги от г. Мышкина до г. Рыбинска // Тр. НИУИФ. Вып. 119. 38 с.
- Чадаев А.А., Щеглов А.А., № 96 с.*. 1950 - Геологические экскурсии по Ярославской области. Ярославль: Ярославское областное государственное издательство.
- Чадаев А.А., Щеглов А.А., № 32-33.*. 1977 - О значении разреза у с. Глебово (Ярославское Поволжье) для изучения зоны *Epivirgatites nikitinii* волжского яруса. В сб.: Международный коллоквиум по верхней юре и границе юры и мела. Тез. Докл. Новосибирск. С. 32-33.
- Чадаев А.А., Щеглов А.А., № 10-12.*. 1978 - Крестовский карьер на южной окраине г. Ярославля. Геологические памятники природы Ярославской области. В кн.: «Природная среда и география населения Верхне-Волжского Нечерноземья». Ярославль. С. 10-12.
- Чадаев А.А., Щеглов А.А., № 1979а* - О результатах ревизии вида *Laugeites stschurovskii* (Nikitin). В. кн.: Позднемезозойские головоногие моллюски Верхнего Поволжья. Сб. науч. тр. ЯГПИ. С. 3-16.
- Чадаев А.А., Щеглов А.А., № 1979а* - О значении разреза у с. Глебово (Ярославское Поволжье) для изучения среднего подъяруса волжского яруса и о результатах ревизии вида *Laugeites stschurovskii* (Nikitin). В кн.: Стратиграфия юры и низов мела Бореального пояса. Новосибирск: Наука. С. 49-54.
- Чадаев А.А., Щеглов А.А., № 1402-1404.*. 1966 - К проблеме бореального нижнего готерива // Доклады Академии наук СССР. Геология. Т. 171. № 6. С. 1402-1404.
- Чадаев А.А., Щеглов А.А., № 84-96.*. 1969 - Новые роды аммонитов из нижнемеловых отложений окрестностей Ярославля и происхождение симбирскитид // Бюлл. МОИП, отд. Геологии. Т. XLIV (6). С. 84-96.
- Чадаев А.А., Чадаев А.А., Щеглов А.А., № 1987* - Памятники природы в изучении летописи Земли (с. Глебово и его окрестности). Ярославль. 84 с.
- Чадаев А.А., Чадаев А.А., Щеглов А.А., № 62-71.*. 1986 - Стратиграфия средневолжских отложений у с. Глебово Ярославской области. В кн.: Юрские отложения Русской платформы. Ленинград. С. 62-71.
- Чадаев А.А., Чадаев А.А., Щеглов А.А., № 223-226.*. 1952 - О куполообразовании в Подмосковной впадине и о Рыбинском куполе // Ученые записки Ярославского пединститута. Вып. 14. Естествознание. Ярославль. С. 223-226.
- Чадаев А.А., Чадаев А.А., Щеглов А.А., № 49-66.*. 1956 - О характере залегания юрских отложений Ярославской области // Краеведческие записки Ярославского областного краеведческого музея. Вып. первый. Ярославль. С. 49-66.
- Чадаев А.А., Чадаев А.А., Щеглов А.А., № 38—141.*. 1959 - Геологическое строение и полезные ископаемые. В кн.: Природа и хозяйство Ярославской области, ч. I. Ярославль, книжное изд-во, с. 38—141.
- Чадаев А.А., Чадаев А.А., Щеглов А.А., № 165-240.*. 1910 - Геологическое описание фосфоритоносных отложений по рекам Нее, Желвати, Мере и Волге в Костромской губернии и по р. Волге в пределах Тверской и Ярославской губерний // Тр. Комиссии Моск. с/х. ин-та по исследованию фосфоритов. Т. 2. Вып. 2. С. 165-240.
- Чадаев А.А., Чадаев А.А., Щеглов А.А., № 331-387.*. 1912 - Геологическое описание фосфоритовых отложений по р. Волге и левым ее притокам в пределах Тверской и Ярославской губерний // Тр. Комиссии Моск. с/х. ин-та по исследованию фосфоритов. Т. 4. Вып. 2. С. 331-387.
- Чадаев А.А., Чадаев А.А., Щеглов А.А., № 233-320.*. 1913 - Геологические исследования фосфоритовых отложений в различных районах 56, 57, 71, 72 и 73 листов общей геологической карты // Тр. Комиссии Моск. с/х. ин-та по исследованию фосфоритов. Вып. 5. С. 233-320.
- Чадаев А.А., Чадаев А.А., Щеглов А.А., № 234 с.*. 1986 - Переславль-Залесский. Ярославль. 234 с.

- Èààí í à Ñ. À., Èî ø èèí à Í. À..* - О карбонатных породах из коренных отложений Чрославской области // Записки ЯПУ, 1959, С. 5-24.
- Èààðí áí èí Í. Ô. 2001* - Тетраподы Восточно-Европейского плакката – позднепалеозойского территориально-прир одного комплекса. Труды палеонтологического института. Т. 283. 200 с.
- Èàðí óí èí A. M., Í ài í í í à Ñ. À., Í èðí áí èí Í. À., Ñí èí èí à Í. D. 1998* - Геологические памятники природы России. СПб. 200c.
- Èàðí óðéí Ñ. Ñ. 1974* – Комплексная характеристика крупнообломочного спектра ледниковых отложений Ярославского Поволжья. В. кн.: Инженерно-геологическое изучение морен. Ярославль. С. 20-29.
- Èàðí óðéí Ñ. Ñ., Áäáí èí i á Í. I. 2001* – Результаты изучения крупнообломочных включений в моренах. В кн. Проблемы стратиграфии четвертичных отложений и палеогеографии Ярославского Поволжья. М.: ГЕОС. С. 68-77.
- Èàðí óðéí Ñ. Ñ., Èäðí á Á. Ñ. 1974* - Направление движения и положение зоны контакта днепровских ледниковых покровов на Русской равнине. ДАН СССР, Т. 216, №1. С. 220-224.
- Èàðí óðéí Ñ. Ñ., Ñöäàéí áá Í. Á. 1972* - Опыт комплексного исследования обломков в морене. В. кн.: Новейшая тектоника, новейшие отложения и человек. вып.3. М. С. 34-42.
- Èåéñ ð. Í. ãñáá í èéí á Í. Ñ., Ø böüäéí á Í. È. 1988* – Аммонитовые зоны пограничных отложений юры и мела в Бореальной области // Известия Академии наук СССР. Серия геологическая. № 10. С. 71-84.
- Кè ñäéä Á. Í. 1998* - Относительные палеотемпературные изменения в Среднерусском море келловей-оксфордского времени. В сб.: Экосистемные перестройки и эволюция биосфера. М.: Изд. ПИН РАН, Вып. 3. С. 96-105.
- Èè ñäéä Á. Í. 1999* - Зональные и подзональные аммонитовые комплексы среднего келловея Центральной России. В кн.: Проблемы стратиграфии и палеонтологии мезозоя. Санкт-Петербург: ВНИГРИ. С. 109-129.
- Èè ñäéä Á. Í. 2001* – О классификации и ранжировании геологических памятников природы. В сб.: Проблемы формирования региональных систем особо охраняемых природных территорий. Мат. науч.-практ. конф. Ярославль. С. 74-82.
- Èè ñäéä Á. Í. Á. i á-àd è* - Динамика термического режима келловей-оксфордских морей Северо-Западной Евразии по относительным палеотемпературным данным // Стратиграфия. Геологическая корреляция.
- Èí èáí áñéé Á. P., Í i ðí cí áá Á. Á. 2001* – Ландшафтное планирование и формирование сетей охраняемых природных территорий. Ярославль. 152 с.
- Èðäéí ád Í. I. 1976* – Геоморфологические наблюдения на правом берегу Волжского отрога Рыбинского водохранилища. В кн. Проблемы геоморфологии и гидрологии северной половины Русской Равнины. Ярославль. С. 30-39.
- Èðú èí á Á. Á. 1872* – Описание Ярославской губернии в геологическом отношении. Труды Ярославского губернского статистического комитета. Вып. 7. Ярославль. 302 с.
- Èóçü áí P. Ò. 1971* – Осадочный чехол. Тектоника. В кн.: Геология СССР. Т 4. С. 643-658.
- Èè ááí á Á. È. 1923* - Работы Рыбинского научного общества по изучению геологии Рыбинского края // Известия Рыбинского научного общества. Вып. 3. С.30-33.
- Èí ááí á Á. È. 2001* - Особенности строения ледниковых толщ и гляциотектоники в окрестностях Ярославля. В кн. Проблемы стратиграфии четвертичных отложений и палеогеографии Ярославского Поволжья. М.: ГЕОС. С. 121-139.
- Èí cí áñéé Á. D. 1967* - Новые данные по стратиграфии нижнетриасовых отложений Московской синеклизы. Сб. статей по геологии и инженерной геологии Второго гидрогеологического управления. М.: Недра. С. 32-38.
- Èí cí áñéé Á. D. 1987* - Триасовые озера Московской и Польско-Литовской синеклиз // История озёр позднего палеозоя и раннего мезозоя. Л.: Наука. С. 199-213.
- Èp ð èåâè ð Á. I. 1937* - О некоторых Phyllopoda СССР. Ежегодник Всеросс. палеонтолог. общ. Л. М. т. XI. С. 67-69.
- Èp ð èåâè ð Á. I. 1938* - Татарский ярус Русской платформы // Бюлл. МОИП, отд. геологии. Т. 16. № 3. С. 25-40.
- Èp ð èåâè ð Á. I. 1955* - Пермские и триасовые отложения севера и северо-запада Русской платформы. Труды Всесоюзного нефтяного научно-исследовательского геолого-разведочного института. Новая серия. Л. 1955, вып. 86. 189 с.
- Èp ð èåâè ð Á. I. 1963* - Русская платформа между Балтийским щитом и Тиманом. Тектоника. В кн.: Геология СССР. Т 2. С. 762-790.
- Í añéí Á. Á., Óñàò p è Ò. È. 1959* - Палеонтологические находки ярославских школьников // Записки ЯПУ. Ярославль. С. 141-155.
- Í ãí i ðñéé Í. I. 1996* - Синий камень – что это? // Газета «Коммуна». Переславль-Залесский.
- Í ãñáæ i èéí á Í. Ñ., Áðàäó-áí P. Á. 1982* - Детальная стратиграфия пограничных слоев юры и мела на восточном склоне Приполярного Урала. В кн: Стратиграфия триасовых и юрских отложений нефтегазоносных отложений СССР. Л.: ВНИГРИ. С. 88-94.
- Í èò ò á Á. Á. 1993* - Аммониты и зональная стратиграфия средневолжских отложений Центральной России. Киев: Геопрогноз. 132 с.
- Í èí èò Á. Á. 1981* - Заурихтисы из триаса СССР // Палеонтол. журн. № 1. С.105-113.
- Í èí èò Á. Á. 1982* - Новые виды заурихтисов из раннего триаса Верхнего Поволжья // Ежегодн. Всесоюзн. Палеонтол. о-ва. Т. 25. С. 205-213.
- Í èí èò Á. Á. 1984* - К тафономии нижнетриасового местонахождения фауны и флоры у с. Тихвинское Ярославской области // Тафономия и вопросы палеогеографии. Саратов: Изд-во Сарат. ун-та. С. 50-62.
- Í èí èò Í. Á. 1977* - Триасовые двоякодышащие рыбы востока Европейской части СССР. Саратов: Изд-во Саратовск. ун-та. 98с.
- Í èí èò Í. Á., Í èí èò Á. Á. 1998* - Рыбы // Граница перми и триаса в континентальных сериях Восточной Европы. М.: ГЕОС. С. 74-88.
- Í i ñéâè ð èí Á. È. 1948* - Ярославский «мамонт» // Бюлл. МОИП, от. геологии. Т. 25, вып. 3.
- Í i ñéâè ð èí Á. È. 1967*- Стратиграфия плейстоцена Европейской части СССР // Труды ГИН АН. М.: Наука. Вып. 156. 238 с.
- Í óð-è-ò ð. È., Áäðí áëü Ý., Èáéçáðéé Á. 1849.* Геологическое описание Европейской России и хребта Уральского. Спб. Ч.1. 1141 с.
- Í óðâæí Á. Ñ. 1975* - Об условиях захоронения аммонитов в позднемезозойских отложениях Ярославского Поволжья. В кн.: Вопросы эволюции, экологии и тафономии позднеюрских аммонитов. Ярославль. Вып. 142. С. 81-86.
- Í óðâæí Á. Ñ. 1979* - Аммониты рода *Lomonosovella* из средневолжских слоев у с. Глебово Ярославской области. В кн.: Позднемезозойские головоногие моллюски Верхнего Поволжья. Ярославль. Сб. науч. тр. ЯГПИ. С. 17-28.
- Í óðâæí Á. Ñ. 1984* - Особенности захоронения мелких аммонитов средневолжского времени по наблюдениям у с. Глебова Рыбинского района. В кн.: тафономия и вопросы палеогеографии. Саратов. С. 116-131.

- І Ѽааїї́ А. Н. 1989* - Волжские аммониты Ярославской области. Канд. диссертация. 221 с.
- І Ѽааїї́ А. Н., Єааїї́ а. А. І. 1978* - Эколого-тафономическое изучение пограничных слоев зон *Virgatites virgatus* и *Epirivatites nikitini* в разрезе у с. Глебово Рыбинского района. В кн.: Природная среда и география населения Верхне-Волжского нечерноземья. Ярославль. Сб. науч. Тр. ЯГПИ. 172. С. 29-34.
- І Ѽааїїїї́ є. А. 1989* - Этапы развития бентоса фанерозойских морей. Палеозой. М.: Наука. 503 с.
- І Ѽааїїїї́ І. О. 1960* - *Pleurotomeia corda* из нижнетриасовых отложений Русской платформы // Тр. Геологического ин-та АН СССР. Вып. 43. М.: Наука. С. 65-94.
- І Ѽааїїїї́ Н.І. 1881* - Юрские образования между Рыбинском, Мологой и Мышиным. Матер. Геол. ком. Т.1, № 2. 131 с.
- І Ѽааїїїї́ Н.І. 1884* - Общая геологическая карта России. Лист 56. Труды геологического комитета. Т. 1, № 2. 135 с.
- І Ѽааїїїї́ Н.І. 1885* - Общая геологическая карта России, лист 71. Кострома, Макарьев, Чухлома, Любим. Труды геологического комитета. СПб. т. 2, № 1. 218 с.
- І Ѽааїїїї́ є. А. 2000* - Уникальные местонахождения пермомезозойских позвоночных в России // Известия высших учебных заведений. Геология и разведка. № 5. С. 22-29.
- І Ѽааїїїї́ є. А., Н.І. Ѽааїїїї́ є. А. 1996* - Раннетриасовое местонахождение Тихвинское: геологическое строение, фауна и флора // V Золотаревские чтения. Тезисы докл. конференции (19-20 дек. 1995 г.). Рыбинск: Рыбинский истор.-арх. и худ. Музей-заповедник. С. 8-10.
- І Ѽааїїїї́ А. А. 1945* - Четвертичные отложения Рыбинского района // Ученые записки Я ГПИ. Ярославль. Вып. 6. С. 1-25.
- І Ѽааїїїї́ А. А. 1968* - К истории изучения межледниковых отложений в Ярославском Поволжье // Очерки по истории геолого-географических знаний. Ярославль. С. 82-103.
- І Ѽааїїїї́ А. А. 1968* - О генетических типах плейстоценовых морен на Русской равнине. В кн.: Очерки по истории геолого-географических знаний. Ярославль. С. 155-164.
- І Ѽааїїїї́ А.А. 1971* - Верхний плейстоцен Ярославского Поволжья // Ученые записки ЯГПИ. Ярославль. Вып. 87. С. 3-48.
- І Ѽааїїїї́ А. А. 1975* - Плейстоцен Ярославского Поволжья. М.: Наука. 220 с.
- І Ѽааїїїї́ є. А. 1975* - Сборник нормативных и руководящих документов по охране природы. Ярославль. 254 с.
- І Ѽааїїїї́ є. А. І. 1965* - Аммониты спитона и их отношения к аммонитам других стран. В кн: Сравнительная стратиграфия boreального мезозоя Европы. М.: Наука. 1965. С. 49-88.
- І Ѽааїїїї́ є. І. 1868* - Геологические экскурсии по губерниям Ярославской и Костромской. Труды Ярославского Статистического Комитета. Вып. 4. Ярославль. 278 с.
- І Ѽааїїїї́ є. А. А. 1985* - Новые мечехвости и эвриптериды из перми и мезозоя СССР // Палеонтол. журн. № 3. С. 115-118.
- Дацдацї* отложений ледниковых районов Русской равнины. Изд-во Моск. ун-та, 1977. 235 с.
- Дао аїїїї́ є. А. 1975* - межведомственного стратиграфического совещания по триасу Восточно-Европейской платформы (Саратов, 1979г.). Л.: ВСЕГЕИ. 1982. 64с.
- Дааїїїї́ є. А. 1998* - Особенности эволюции раннепалеозойских иглокожих. В сб.: Экосистемные перестройки и эволюция биосфера. М.: Изд. ПИН РАН, Вып. 3. С. 66-76.
- Дыаїїїї́ є. А. І. 1926* - *Trematosuchus(?) Jakowlevi* nov. sp. из нижнетриасовых отложений окраины г. Рыбинска. Известия геологического комитета. т. 45 № 5.
- Нааїїїї́ є. А. 1977* - Аммониты пограничных слоев юрской и меловой систем Русской Платформы. М.: Недра. 103 с.
- Нааїїїї́ є. А. Н.І. Ѽааїїїї́ І. О. 1967* - Палеогеография Русской Платформы в юрское и меловое время. Л.: Недра. 260 с.
- Нааїїїї́ є. А. І. 1963* - Стратиграфия юрской и меловой систем севера СССР. М., Л.: Изд-во АН СССР. 227 с.
- Нааїї є. А. І. Ѽааїїїї́ є. А. 1997* - Граница юрской и меловой систем в Бореальной области (биостратиграфия, бореально-тетисская корреляция) // Стратиграфия. Геологическая корреляция. Е. 5. № 1. С. 42-59.
- Нааїї є. А. І. Ѽааїїїї́ є. А. 1999* - Проблемы бореально-тетисской и межбореальной корреляции пограничных отложений юры и мела. В кн.: Проблемы стратиграфии и палеонтологии мезозоя. СПб. С. 41-54.
- Нааїїїї́ є. А. А. 1995* - Ранние текодонты Восточной Европы. (Тр. Палеонтол. ин-та РАН. Т.263.) М.: Наука. 142 с.
- Нааїїїї́ є. А. А. 1996*. Геологические памятники Рыбинского края // V Золотаревские краеведческие чтения. Тезисы докл. конференции (19-20 дек. 1995 г.). Рыбинск: Рыбинский истор.-арх. и худ. музей-заповедник. С. 8-10.
- Нєїї Ѽааїї́ Н.І. 1994* - Палеонтологические заповедники Забайкалья. В кн.: Динамика разнообразия органического мира во времени и в пространстве. Тезисы докладов XL сессии палеонтологического общества. СПб. С. 49-50.
- Ні Ѽааїї є. А. І. 1987* - Новые таксоны поздневолжских и раннегтеривских брахиопод Русской плиты // Палеонтологический журнал, №1. С.30-40.
- Ні Ѽааїї є. А. 1939* - Геологическое строение северной части Ярославской области. Общая геологическая карта европейской части СССР. Лист. 56. Вып. 2. М-Л: ГОНТИ. 55 с.
- Ні Ѽааїї є. А. І. 1976* - Межледниковые и межстадиальные осадки ранневалдайского возраста в разрезе у д. Черменино // Северо-Запад Европейской части СССР. Вып. 10. Л. Изд-во ЛГУ.
- Ні Ѽааїї є. А. І. 1974* - Стратиграфия нижнетриасовых отложений западной и центральной частей Московской синеклизы // Известия высших учебных заведений. Геология и разведка. № 7. С.26-36.
- Ні Ѽааїї є. А. І. 1976* - История развития центральной и западной частей Московской синеклизы в раннетриасовую эпоху // Бюлл. МОИП, отд. геол. Т. 51. № 5. С. 39-47.
- Ні Ѽааїї є. А. І. 1984* - Верхнепермские и нижнетриасовые отложения Московской синеклизы. М.: Недра. 140 с.
- Ні Ѽааїї є. А. І. 1974* - Проблемы изучения ледниковых отложений. В. кн.: Инженерно-геологическое изучение морен. Ярославль. С. 3-13.
- Ні Ѽааїї є. А. І. 1974* - Опорный разрез оврага Черемошник. В. кн.: Инженерно-геологическое изучение морен. Ярославль. С. 35-43.
- Ні Ѽааїї є. А. І. 2001* - Опорный разрез позднего плейстоцена Долгополка. В кн. Проблемы стратиграфии четвертичных отложений и палеогеографии Ярославского Поволжья. М.: ГЕОС. С. 61-67.
- Ні Ѽааїї є. А. І. 1974* - Возраст морен Ярославского Поволжья. В кн.: Инженерно-геологическое изучение морен. Ярославль. С. 14-19.
- Ні Ѽааїї є. А. І. 1992* - Палеогеографические реконструкции по новым результатам комплексного палеогеографического исследования Рыбинского Поволжья. В кн.: Климаты прошлого и климатологический прогноз. М.: изд-во. Института охраны природы и заповедного дела. С. 67-69.

- Ñóäàéî àà Í. Á. è äð. 2001* – Строение разреза, литология и палеомагнетизм. Опорный разрез среднего и позднего плейстоцена Черемошник. В кн. Проблемы стратиграфии четвертичных отложений и палеогеографии Ярославского Поволжья. М.: ГЕОС. С. 50-57.
- Ñóêà-âå Á. Í. 1954* – О совместном нахождении остатков карликовой берески и бразенни в межледниковых отложениях / / Докл. АН СССР. Т. 94. №3.
- Ôþ ðâi i i à Ñ. Í., Áeí i âðâæî àà Á. Á. 1952* - Межледниковые отложения близ г. Ростова Ярославского // Уч. Записки Ярославского пед. ун-та, вып. 14 (24). Ярославль.
- Ôððèt i à Á. È. 1927*. Некоторые итоги геологического изучения западной половины Ярославской губ. (1922-1925 г.г.) / / Родной край. № 6. С. 13-16.
- Xài è í à Á. Í. 1959* - К характеристике кварцевых песков Любимского и Пречистенского районов Ярославской области. Сборник студенческих научных работ, вып. III. Естествознание и география. Ярославль.
- ×óððí Í. Ô. 1929* - Кварцевые пески, известняки и мергели. Даниловского уезда Ярославской губернии. Труды ЯПИ. Естественно-исторический сборник. Ярославль, т. II, в. 2.
- Ù âððâæî à Á. Á. 1976* - Геоморфологический анализ при инженерно-геологических изысканиях. В кн.: Проблемы геоморфологии и гидрологии северной половины Русской Равнины. Ярославль. С. 19-24.
- Ø ëë Ñ. Í., Áeðp èi à È. Í. 2001* – Четвертичные отложения Ярославского Поволжья. В кн. Проблемы стратиграфии четвертичных отложений и палеогеографии Ярославского Поволжья. М.: ГЕОС. С. 8-21.
- Ø õëüäéà í. È., Ááñ Á. Á., Í èðâæéî à P. Á., Ýâðéî à Á. Á. 1979* - Стратиграфия валанжин-готеривских отложений в крестовском заповедном карьере г. Ярославля. В кн.: Позднемезозойские головоногие моллюски Верхнего Поволжья. Ярославль. Сб. науч. тр. ЯГПИ. С. 46-54.
- Ù óðî àññéé Á. Á. 1867* - Геологические экскурсии по губерниям Московской, Калужской и Ярославской // Изв. Московского ун-та. №2. 33 с.
- Ù óðî àññéé Á. Á. 1868* - Геологические экскурсии по Ярославской губернии. // Труды Ярославского губернского статистического комитета. № 4. Ярославль. С. 167-198.
- Þ êâðâðâà Í. È. 1979* - Виргатиты из верхней части зоны *Virgatites virgatus* в классическом обнажении у с. Глебово на Волге. В кн.: Позднемезозойские головоногие моллюски Верхнего Поволжья. Сб. науч. тр. ЯГПИ. Ярославль. С. 29-37.
- Abbink O. A., Callomon J. H., Riding J. B., Williams P. D. B., Wolfard A. 2001* - Biostratigraphy of Jurassic-Cretaceous boundary strata in the Terschelling Basin, The Netherlands // Proc. Of the Yorksh. Geol. Soc. V. 53. Part 4. P. 275-302.
- Bloos G. 2002* – The protection of fossils in Baden-Wurttemberg (federal republic of Germany). In: Martire L. (ed.). 6<sup>th</sup> International Symposium on the Jurassic System, September 12-22 2002, Palermo. Abstracts and program. P. 19.
- Casey R. 1973* - The ammonites succession at the Jurassic-Cretaceous boundary in East England. The Boreal Lower Cretaceous. L. P. 193-266.
- Delvene G, Melendez G, Soria M. 2002* – Protecting the Jurassic outcrops and sections in the Northeastern Iberian Cordillera (E Spain): legal framework, measures for geoconservation and social management. In: Martire L. (ed.). 6<sup>th</sup> International Symposium on the Jurassic System, September 12-22 2002, Palermo. Abstracts and program. P. 46-47.
- Jeletzky J.A., Kemper E. 1988* - Comparative paleontology and stratigraphy of Valanginian Polyptychitinae and Simbirskitinae in Sverdrup Basin (Arctic Canada) and Lower Saxony Basin (Northwest Germany). Geological Survey of Canada. Bulletin 377. Ottawa. 335 p.
- Henriques M. H. 2002* – Jurassic heritage of Portugal: state of the art and open problems. In: Martire L. (ed.). 6<sup>th</sup> International Symposium on the Jurassic System, September 12-22 2002, Palermo. Abstracts and program. P. 89.
- Kemper E. 1978* – Einige neue, biostratigraphisch bedeutsame Arten der Ammoniten-Gattung *Dichotomites* (NW-Deutschland, Obervalangin) // Geol. Jb. A. 45. S. 183-253.
- Kemper E., Jeletzky J. A. 1979* – New stratigraphically and phylogenetically important Olcostephanid (Ammonitida) taxa from the uppermost Lower and Upper Valanginian of Sverdrup basin, N. W. T. // Geol. Surv. of Canada. Pap. 79-19. 25 p.
- Kiselev D. N. 2003* - Reconstruction of thermal and hydrological regimes of the Callovian - Oxfordian sea basins of Northwest Eurasia by distribution of ammonites. In: "Mesozoic palaeoceanography in response to palaeogeographic & palaeoclimatic forcings". Paris. P. 22.
- Koenen A. 1902* – Die Ammoniten des Norddeutschen Neokom // Abh. Konig. Preuss. Geol. Land. und Bergakad. № 24. S. 1-89.
- LeMone D.V. 1987* - White Sands National Monument, New Mexico, in Rocky Mountain Section of the Geological Society of America: Boulder, CO, Geological Society of America Centennial Field Guide Volume 2, P. 451-454.
- I uller A.H. 1969* - Ammoniten mit "Eierbeutel" und die Frage nach dem Sexual dimorphismus der Ceratiten (Cephalopoda) // Monatsberichte. Dt. Akad. Wiss. Berlin. Band 11. Heft 5/6. S. 411-420.
- Rocha-Campos A. C. 2000* - Moutonnee Rock from Salto, Sao Paulo state. In: Schobbenhaus C.; Campos D.A.; Queiroz E.T.; Winge M.; Berbert-Born M. (Edit.) Sitos Geologicos e Paleontologicos do Brasil. Published on Internet at the address <http://www.unb.br/ig/sigep/sitio021/sitio021.htm>.
- Schweigert G., Callomon J. H. 1997* – Der *bauhini* horizon and its correlation value in the Tethyan and Subboreal Late Jurassic / / Stuttgarter Beiträge zur Naturkunde. Serie B (Geologie und Palaontologie). N. 247. 69 s.

## CONTENTS

Preface		<i>D. N. Kiselev</i>	3
Introduction		<i>D. N. Kiselev</i>	4
Distribution features of geological monuments in the Yaroslavl region		<i>D. N. Kiselev</i>	9
Sharna	P	<i>D. N. Kiselev</i>	11
Lunka	T	<i>V. N. Baranov, D. N. Kiselev</i>	16
Tichvinskoe	T	<i>I. V. Novikov, A. G. Sennikov</i>	18
Maximovskoe	T	<i>A. G. Sennikov</i>	29
Perebory	J	<i>D. N. Kiselev</i>	33
Dmitrievka	J	<i>D. N. Kiselev</i>	42
Konyushino	J	<i>D. N. Kiselev</i>	43
Ioda	J	<i>D. N. Kiselev</i>	45
Akulinskoe	J	<i>D. N. Kiselev</i>	51
Ivanovskoe-Michalevo	J	<i>D. N. Kiselev</i>	54
Seltzo-Voskresenskoe	K	<i>D. N. Kiselev</i>	58
Glebovo	J-K	<i>D. N. Kiselev, V. N. Baranov, E. S. Muravin</i>	63
Baburino-Gorodok	J-K	<i>D. N. Kiselev</i>	76
Sutka	J-K	<i>D. N. Kiselev</i>	78
Vasil'ki	K	<i>D. N. Kiselev</i>	81
Krestovsky quarry	K	<i>D. N. Kiselev, V. N. Baranov</i>	83
Paleogeography of the Yaroslavl region in the Jurassic and Cretaceous time		<i>D. N. Kiselev</i>	93
Tcheremoshnick	Q	<i>D. N. Kiselev, V. N. Baranov</i>	100
Dolgopolka	Q	<i>D. N. Kiselev</i>	104
Tchermenino-Zabava	Q	<i>D. N. Kiselev</i>	108
Zaharjinsky boulder	Q	<i>D. N. Kiselev</i>	111
Blue Stone	Q	<i>D. N. Kiselev</i>	114
The brief dictionary of special terms			115
References			116

**Атлас геологических памятников природы Ярославской области**

Редактор Л. К. Шереметьева

Компьютерный набор, художественное оформление, иллюстрации, оригинал-макет  
Д. Н. Киселева

Рисунки, иллюстрации, фотографии, за исключением особо оговоренных, сделаны  
Д. Н. Киселевым

Подписано к печати

Объем 7,4 п.л. Формат 60x90/8. Бумага офсетная. Печать офсетная.

Тираж. 200 экз.

Заказ №.

Типография “Рико пресс”